



## ใบรับรองวิทยานิพนธ์ บัณฑิตวิทยาลัย มหาวิทยาลัยเกษตรศาสตร์

วิศวกรรมศาสตร์มหาบัณฑิต (วิศวกรรมสิ่งแวดล้อม)

ปริญญา

วิศวกรรมสิ่งแวดล้อม

สาขา

วิศวกรรมสิ่งแวดล้อม

ภาควิชา

เรื่อง การใช้วิธีโคเมทในการประเมินความเป็นพิษของก๊าซชีวภาพและสารอินทรีย์ระเหย  
บริเวณหลุมฝังกลบมูลฟ้อยและบริเวณกองมูลฟ้อยเปิดในฤดูฝนและฤดูแล้ง

Use of Plant Comet Assay to Evaluate Toxicity of Landfill Gas and Volatile Organic  
Compounds at Sanitary Landfill and Open Dump in Rainy and Dry Season

ผู้วิจัย นางสาวสุครารัตน์ กุคำอุ

ได้พิจารณาเห็นชอบโดย

อาจารย์ที่ปรึกษาวิทยานิพนธ์หลัก

( รองศาสตราจารย์วิໄโล เจียมไชยศรี, D.Tech.Sc. )

อาจารย์ที่ปรึกษาวิทยานิพนธ์ร่วม

( รองศาสตราจารย์ชาติ เจียมไชยศรี, D.Eng. )

หัวหน้าภาควิชา

( ผู้ช่วยศาสตราจารย์มงคล ดำรงค์ศรี, Dr.Ing. )

บัณฑิตวิทยาลัย มหาวิทยาลัยเกษตรศาสตร์รับรองแล้ว

( รองศาสตราจารย์กัญจนा ชีระกุล, D.Agr. )

คณบดีบัณฑิตวิทยาลัย

วันที่ ..... เดือน ..... พ.ศ. ....

สิบสิบเอ็ด มหาวิทยาลัยเกษตรศาสตร์

วิทยานิพนธ์

เรื่อง

การใช้วิธีโคมเมทในการประเมินความเป็นพิษของก๊าซชีวภาพและสารอินทรีย์ระเหย  
บริเวณหลุมฝังกลบมูลฝอยและบริเวณกองมูลฝอยเปิดในฤดูฝนและฤดูแล้ง

Use of Plant Comet Assay to Evaluate Toxicity of Landfill Gas and Volatile Organic Compounds  
at Sanitary Landfill and Open Dump in Rainy and Dry Season

โดย

นางสาวสุครารัตน์ กุคำอุ

เสนอ

บัณฑิตวิทยาลัย มหาวิทยาลัยเกษตรศาสตร์  
เพื่อความสมบูรณ์แห่งปริญญาวิศวกรรมศาสตร์มหาบัณฑิต (วิศวกรรมสิ่งแวดล้อม)  
พ.ศ. 2553

สิงห์ นตาวิทยาลัยเกษตรศาสตร์

สุดารัตน์ กุคำอุ 2553: การใช้ไวทีโโคเมทในพืชในการประเมินความเป็นพิษของก้าชชีวภาพ และสารอินทรีย์ระเหยบริเวณหลุมฝังกลบมูลฝอยและบริเวณกองมูลฝอยเปิดในถุงฟันและถุงແล้ง ปริญญาวิศวกรรมศาสตรมหาบัณฑิต (วิศวกรรมสิ่งแวดล้อม) สาขาวิศวกรรมสิ่งแวดล้อม ภาควิชาชีวกรรมสิ่งแวดล้อม อาจารย์ที่ปรึกษาวิทยานิพนธ์หลัก: รองศาสตราจารย์วิໄໄ เจียมไชยศรี, D.Tech.Sc. 179 หน้า

การศึกษานี้มีวัตถุประสงค์เพื่อประเมินความเป็นพิษต่อขึ้นของก้าชที่ระบายนอกจากบ่อกำจัดจะ ไวทีโโคเมทในพืชใช้พลูด่างเป็นดัชนีพืชทดสอบ เพื่อหาความสัมพันธ์ระหว่างอัตราการแพร์ระบายน้ำก้าชชีวภาพและระดับการทำลายดีเอ็นเอของพลูด่างในบริเวณหลุมฝังกลบมูลฝอยและกองมูลฝอยเปิดในช่วงถุงฟันและถุงແล้ง ที่หลุมฝังกลบมูลฝอยองค์การบริหารส่วนจังหวัดนนทบุรี ผลการทดลองพบว่า อัตราการแพร์ระบายน้ำก้าชมีเทนและการรับอนไดออกไซด์มีค่าเฉลี่ยสูงสุดบริเวณกองปีกในถุงແล้งเฉลี่ย  $31.8 \pm 14.1$  และ  $20.1 \pm 8.7$  กรัม/ตร.ม./วัน ตามลำดับ และมีค่าต่ำสุดบริเวณหลุมฝังกลบในถุงฟันเฉลี่ย  $1.3 \pm 1.6$  และ  $5.5 \pm 1.2$  กรัม/ตร.ม./วัน ตามลำดับ พบว่าอัตราการแพร์ระบายน้ำก้าชทั้งสองชนิดในกองปีกมีค่าสูงกว่าในหลุมฝังกลบทั้งสองถุง ( $P < 0.05$ ) ทั้งนี้การแพร์ระบายน้ำก้าชดังกล่าวในพื้นที่เดียวกันไม่มีความแตกต่างกันระหว่างถุงกาล (P > 0.05) ส่วนการหาอัตราการแพร์ระบายน้ำสารอินทรีย์ระเหย พบว่า อัตราการแพร์ระบายน้ำอินทรีย์ในกองปีกถุงฟัน ( $84.3 \pm 13.3$  มิลลิกรัมต่ำต้นเมตรต่อวัน) ไม่แตกต่างกันกับถุงແล้ง ( $83.9 \pm 15.1$  มิลลิกรัมต่ำต้นเมตรต่อวัน) ( $P > 0.05$ ) เช่นเดียวกับบริเวณหลุมฝังกลบในถุงฟัน ( $31.2 \pm 3.8$  กรัมต่ำต้นเมตรต่อวัน) ไม่แตกต่างกับถุงແล้ง ( $30.7 \pm 3.8$  กรัมต่ำต้นเมตรต่อวัน) ( $P > 0.05$ ) ตามลำดับ เมื่อพิจารณาต่างพื้นที่กัน พบว่า อัตราการแพร์ระบายน้ำสารอินทรีย์ระเหยบริเวณกองมูลฝอยปีกมีค่าสูงกว่าหลุมฝังกลบทั้งในถุงฟันและถุงແล้ง ( $P < 0.05$ ) และสารที่พบมากที่สุดคือ เบนซิน สำหรับการทดสอบความเป็นพิษที่ระยะเวลาสัมผัส 96 ชั่วโมง พบว่าระดับการทำลายดีเอ็นเอของพลูด่างมีค่าเฉลี่ยบริเวณกองปีกสูงกว่าหลุมฝังกลบ ในถุงແล้งมีค่าร้อยละ  $60.6 \pm 13.5$  และ  $41.7 \pm 10.5$  ตามลำดับ ซึ่งสูงกว่าในถุงฟัน ( $P < 0.05$ ) ที่มีค่าร้อยละ  $42.9 \pm 10.5$  และ  $31.4 \pm 4.1$  ตามลำดับ จากการศึกษาสามารถสรุปได้ว่า ระดับการทำลายดีเอ็นเอของพลูด่างแปรผันตามกับอัตราการแพร์ระบายน้ำก้าชชีวภาพและสารอินทรีย์ระเหยในบ่อกำจัดจะมูลฝอย ( $R^2 = 0.703-0.807$ )

Sudarat Kucamau 2010: Use of Plant Comet Assay to Evaluate Toxicity of Landfill Gas and Volatile Organic Compounds at Sanitary Landfill and Open Dump in Rainy and Dry Season. Master of Engineering (Environmental Engineering), Major Field: Environmental Engineering, Department of Environmental Engineering. Thesis Advisor: Associate Professor Wilai Chiemchaisri, D.Tech.Sc. 179 pages.

The study aims to investigate the potential genetic damages of the gas emissions from solid waste disposal sites by applying the Plant Comet Assay approach and using the Pothos (*Epipremnum aureum*) as the sample. In order to find the correlations of the methane gas emissions and DNA damage in different settings and seasons, the experiments were conducted at an open-dump site and a landfill during dry and rainy seasons at Nonthaburi province. The results appeared that high emission rates of methane and carbon dioxide were found during dry season in open-dump site ( $31.8 \pm 14.1$  and  $20.1 \pm 8.7 \text{ g/m}^2 \cdot \text{d}$ , respectively), and low emission rates of those appeared during rainy season in landfill ( $1.3 \pm 1.6$  and  $5.5 \pm 1.2 \text{ g/m}^2 \cdot \text{d}$ , respectively). Their emissions from the open-dump site were higher than those from the landfill all seasons ( $P < 0.05$ ). There were no difference in rates of each gas emission between dry and wet seasons ( $P > 0.05$ ) in each disposal site. The emissions of volatile organic compounds(VOCs) during rain season in open-dump site( $84.3 \pm 13.3 \text{ mg/m}^2 \cdot \text{d}$ ) were not different from those in dry season ( $83.9 \pm 15.1 \text{ mg/m}^2 \cdot \text{d}$ ) ( $P > 0.05$ ), similarly those in rainy season in landfill site( $31.2 \pm 3.8 \text{ mg/m}^2 \cdot \text{d}$ ) were not different from those in dry season ( $30.7 \pm 3.8 \text{ mg/m}^2 \cdot \text{d}$ ) ( $P > 0.05$ ). However, VOCs emissions in open-dump were significantly higher than in landfill site ( $P < 0.05$ ) and the highest concentration was benzene. The average of DNA damage of Pothos at 96 exposing hours in the open dump ( $60.6 \pm 13.5\%$ ) was significantly higher than that in the landfill ( $41.7 \pm 10.5\%$ ). Besides, they were higher than those in rainy season both in the open dump ( $42.9 \pm 10.55$ ) and in the landfill ( $31.4 \pm 4.1\%$ ), ( $P < 0.05$ ). The results suggest that DNA damage degrees of Pothos directly correlated to the biogas and volatile organic compound emission rates ( $R^2 = 0.703-0.807$ ).

---

Student's signature

---

Thesis Advisor's signature

## กิตติกรรมประกาศ

ข้าพเจ้าขอกราบขอบพระคุณ รองศาสตราจารย์ ดร. วีโอล เจียม ไชยศรี อารยที่ปรึกษา  
วิทยานิพนธ์หลัก ที่ให้ความกรุณาอย่างดียิ่งในการช่วยเหลือวางแผนงานวิจัยในวิทยานิพนธ์  
ตลอดจนให้คำปรึกษาแนะนำ หาทุนสนับสนุนงานวิจัยและตรวจแก้ไขข้อบกพร่องต่าง ๆ

ขอกราบขอบพระคุณ รองศาสตราจารย์ ดร.ชาติ เจียม ไชยศรี อารยที่ปรึกษาวิทยานิพนธ์  
ร่วมที่กรุณาให้คำปรึกษาแนะนำและช่วยเหลือในการทำงานวิทยานิพนธ์ให้สำเร็จลุล่วงไปได้  
ด้วยดี

ขอบพระคุณนางสาวประดิษฐา ณ ร้อยเอ็ด นิสิตปริญญาเอก ภาควิชาวิศวกรรมสิ่งแวดล้อม  
คณะวิศวกรรมศาสตร์ มหาวิทยาลัยเกษตรศาสตร์ ที่ให้คำปรึกษาและแนะนำในการทดสอบโภเมท

ขอบพระคุณเจ้าหน้าที่ห้องปฏิบัติการและเจ้าหน้าที่ทุก ๆ ท่านในภาควิชาวิศวกรรม  
สิ่งแวดล้อม คณะวิศวกรรมศาสตร์ มหาวิทยาลัยเกษตรศาสตร์ ที่ช่วยอำนวยความสะดวกในการ  
ดำเนินงานวิจัยของขอบคุณสถาบันวิจัยและพัฒนาแห่งมหาวิทยาลัยเกษตรศาสตร์ที่ให้ทุนสนับสนุน  
งานวิจัยรหัส วท(ค)7251 จนสำเร็จลุล่วงไปได้ด้วยดี

สุดท้ายนี้ขอกราบขอบพระคุณ คุณพ่อ คุณแม่ พี่และน้อง รวมถึงเพื่อน ๆ ทุกคน ที่เคยให้  
กำลังใจ ให้ความช่วยเหลือ และสนับสนุนการทำวิทยานิพนธ์ฉบับนี้จนสำเร็จลุล่วงไปได้ด้วยดี

สุครรัตน์ ฤกามุ  
เมษายน 2553

## สารบัญ

	หน้า
สารบัญ	(1)
สารบัญตาราง	(2)
สารบัญภาพ	(7)
คำนำ	1
วัตถุประสงค์การวิจัย	4
การตรวจสอบสาร	5
อุปกรณ์และวิธีการ	49
อุปกรณ์และสารเคมี	49
วิธีการ	53
ผลและวิจารณ์	61
สรุปและข้อเสนอแนะ	92
สรุป	92
ข้อเสนอแนะ	93
เอกสารและสิ่งอ้างอิง	94
ภาคผนวก	104
ภาคผนวก ก ข้อมูลก้าชมีเทน かる์บอนไดออกไซด์ และสารอินทรีไซร์เรห์	105
ภาคผนวก ข ข้อมูลการทำลายดีอีนเอพีช(พลูด่าง)	145
ภาคผนวก ค การเตรียมสารเคมีและภาพสถานที่และอุปกรณ์การเก็บก้าช	162
ภาคผนวก ง การคำนวณอัตราการแพร์รະบายและความเข้มข้นก้าช	168
ภาคผนวก จ ข้อมูลปริมาณน้ำฝน อุณหภูมิ จังหวัดนนทบุรีและข้อมูลทางสถิติ	173
ประวัติการศึกษาและการทำงาน	179

## สารบัญตาราง

ตารางที่	หน้า
1 ส่วนประกอบของก๊าซในพื้นที่ฝังกลบที่(Lulea)	11
2 ก๊าซที่เกิดขึ้นจากการฝังกลบมูลฟ้อยของกรุงเทพมหานคร	13
3 อัตราการแพร่ระบาดก๊าซมีเทนและการรับอนไดออกไซด์ของชั้นมูลฟอย	15
4 ข้อมูลการปฏิบัติการการหมุนเวียนน้ำชั้นมูลฟอยในหลุมฝังกลบมูลฟอย	16
5 ผลความเข้มข้นของก๊าซต่อพื้น	20
6 สรุปการวัดการแพร่ระบาดของมีเทนในพื้นที่ต่างๆ โดยวิธี Close Flux Chamber	24
7 ตัวอย่างของ halogenated hydrocarbons ที่พบได้ในสิ่งแวดล้อม	26
8 วิธีการวัดองค์ประกอบและอัตราการแพร่ระบาดของก๊าซจากหลุมฝังกลบมูลฟอยชุมชน	28
9 วิธีการตรวจสารอินทรีย์ระเหยในสนาม	32
10 วิธีการวิเคราะห์สารอินทรีย์ระเหยในอากาศ	34
11 ขนาดของดีเอ็นเอกับความเข้มข้นของอะกาโรสเจลที่เหมาะสม	37
12 แสดงผลองค์ประกอบทางเคมีของมูลฟอยขององค์การบริหารส่วนจังหวัดนนทบุรี	48
13 อัตราการแพร่ระบาดก๊าซมีเทนและการรับอนไดออกไซด์ในงานวิจัยที่หลุมฝังกลบองค์การบริหารส่วนจังหวัดนนทบุรี(ไทรน้อย)โดยใช้วิธี close flux chamber	62
14 อัตราการแพร่ระบาดก๊าซมีเทนบริเวณกองเปิดและหลุมฝังกลบในถูกูฝน	63
15 อัตราการแพร่ระบาดก๊าซมีเทนบริเวณกองเปิดและหลุมฝังกลบในถูกูเหล็ก	63
16 อัตราการแพร่ระบาดก๊าซคาร์บอนไดออกไซด์บริเวณหลุมฝังกลบและกองเปิดในถูกูฝน	64
17 อัตราการแพร่ระบาดก๊าซคาร์บอนไดออกไซด์บริเวณหลุมฝังกลบและกองเปิดในถูกูเหล็ก	64
18 อัตราส่วนระหว่างอัตราการแพร่ระบาดก๊าซมีเทนต่อก๊าซคาร์บอนไดอออกไซด์	66

### สารบัญตาราง(ต่อ)

ตารางที่		หน้า
19	อุณหภูมิในChamber และในบรรยายกาศ	67
20	ความเข้มข้นในบรรยายกาศของก๊าซมีเทนบริเวณหลุมฝังกลบและกองเปิด ในถูกุ忿 วันที่ 26-30/09/51 และ 20-24/10/51	70
21	ความเข้มข้นในบรรยายกาศของก๊าซมีเทนบริเวณหลุมฝังกลบและกองเปิด ในถูกุเหลือง วันที่ 2-6/03/52 และ 25-29/04/52	70
22	ความเข้มข้นในบรรยายกาศของก๊าซการ์บอนไดออกไซด์บริเวณหลุมฝังกลบ และกองเปิด ในถูกุ忿 วันที่ 26-30/09/51 และ 20-24/10/51	71
23	ความเข้มข้นในบรรยายกาศของก๊าซการ์บอนไดออกไซด์บริเวณหลุมฝังกลบ และกองเปิด ในถูกุเหลือง วันที่ 2-6/03/52 และ 25-29/04/52	71
24	อัตราส่วนระหว่างความเข้มข้นในบรรยายกาศของก๊าซมีเทนต่อ ก๊าซ การ์บอนไดออกไซด์	72
25	อัตราการแพร่ระบาดสารอินทรีย์ระเหยบริเวณหลุมฝังกลบในถูกุเหลือง	73
26	อัตราการแพร่ระบาดสารอินทรีย์ระเหยบริเวณหลุมฝังกลบในถูกุ忿	75
27	อัตราการแพร่ระบาดสารอินทรีย์ระเหยบริเวณหลุมฝังกลบในถูกุเหลือง	77
28	อัตราการแพร่ระบาดสารอินทรีย์ระเหยบริเวณกองมูลฟอยเปิดในถูกุ忿	79
29	การทำลายดีเอ็นเอพีชุดควบคุม	84
30	การทำลายดีเอ็นเอพีชบริเวณกองเปิดและหลุมฝังกลบที่ระยะเวลาสั้นผิด 96 ชั่วโมง	84

## สารบัญตาราง(ต่อ)

ตารางผนวกที่	หน้า
ก1 ข้อมูลกราฟมาตรฐานของเครื่อง GC 14B	106
ก2 ความเข้มข้นก๊าซมีเทนและการ์บอนไดออกไซด์ในกองเปิด ในถุ่ฟน ครั้งที่ 1 วันที่ 19 กันยายน 2551	107
ก3 ความเข้มข้นก๊าซมีเทนและการ์บอนไดออกไซด์ในกองเปิด ในถุ่ฟน ครั้งที่ 2 วันที่ 4 ตุลาคม 2551	108
ก4 ความเข้มข้นก๊าซมีเทนและการ์บอนไดออกไซด์ในกองเปิด ในถุ่ฟน ครั้งที่ 3 วันที่ 3 พฤศจิกายน 2551	109
ก5 ความเข้มข้นก๊าซมีเทนและการ์บอนไดออกไซด์ในกองปิด ในถุ่ฟน ครั้งที่ 1 วันที่ 23 กันยายน 2551	110
ก6 ความเข้มข้นก๊าซมีเทนและการ์บอนไดซ์ออกไซด์ในกองปิด ในถุ่ฟน ครั้งที่ 2 วันที่ 17 ตุลาคม 2551	111
ก7 ความเข้มข้นก๊าซมีเทนและการ์บอนไดซ์อักไซด์ในกองปิด ในถุ่ฟน ครั้งที่ 3 วันที่ 14 พฤศจิกายน 2551	112
ก8 ความเข้มข้นก๊าซมีเทนและการ์บอนไดซ์อักไซด์ในกองเปิด ในถุ่แล้ง <sup>*</sup> ครั้งที่ 1 วันที่ 5 กุมภาพันธ์ 2552	113
ก9 ความเข้มข้นก๊าซมีเทนและการ์บอนไดซ์อักไซด์ในกองเปิด ในถุ่แล้ง <sup>*</sup> ครั้งที่ 2 วันที่ 1 มีนาคม 2552	114
ก10 ความเข้มข้นก๊าซมีเทนและการ์บอนไดซ์อักไซด์ในกองเปิด ในถุ่แล้ง <sup>*</sup> ครั้งที่ 3 วันที่ 30 มีนาคม 2552	115
ก11 ความเข้มข้นก๊าซมีเทนและการ์บอนไดซ์อักไซด์ในกองปิด ในถุ่แล้ง <sup>*</sup> ครั้งที่ 1 วันที่ 16 กุมภาพันธ์ 2552	116
ก12 ความเข้มข้นก๊าซมีเทนและการ์บอนไดซ์อักไซด์ในกองปิด ในถุ่แล้ง <sup>*</sup> ครั้งที่ 2 วันที่ 20 มีนาคม 2552	117
ก13 ความเข้มข้นก๊าซมีเทนและการ์บอนไดซ์อักไซด์ในกองเปิด ในถุ่แล้ง <sup>*</sup> ครั้งที่ 3 วันที่ 4 เมษายน 2552	118
ก14 ความเข้มข้นก๊าซมีเทนในบรรยายกาศบริเวณกองเปิดถุ่ฟน	119

## สารบัญตาราง(ต่อ)

	ตารางผนวกที่	หน้า
ก15	ความเข้มข้นกําชีมีเทนในบรรยาศบริเวณหลุมฝังกลบถูกฟัน	120
ก16	ความเข้มข้นกําชีมีเทนในบรรยาศบริเวณกองเปิดถูกแล้ง	121
ก17	ความเข้มข้นกําชีมีเทนในบรรยาศบริเวณหลุมฝังกลบ	122
ก18	ความเข้มข้นกําชีชาร์บอนไดออกไซด์ในบรรยาศบริเวณกองเปิดถูกฟัน	123
ก19	ความเข้มข้นกําชีชาร์บอนไดออกไซด์ในบรรยาศบริเวณหลุมฝังกลบถูกฟัน	124
ก20	ความเข้มข้นกําชีชาร์บอนไดออกไซด์ในบรรยาศบริเวณกองเปิดถูกแล้ง	125
ก21	ความเข้มข้นกําชีชาร์บอนไดออกไซด์ในบรรยาศบริเวณหลุมฝังกลบถูกแล้ง	126
ก22	ข้อมูลกราฟมาตราฐานของเครื่อง GCMS	127
ก23	ความเข้มข้นของสารอินทรีย์ระเหยในช่วงเวลาต่าง ๆ จากการใช้เครื่อง GCMS บริเวณกองเปิดในถูกฟัน	133
ก24	ความเข้มข้นของสารอินทรีย์ระเหยในช่วงเวลาต่าง ๆ จากการใช้เครื่อง GCMS บริเวณกองเปิดในถูกแล้ง	135
ก25	ความเข้มข้นของสารอินทรีย์ระเหยในช่วงเวลาต่าง ๆ จากการใช้เครื่อง GCMS บริเวณหลุมฝังกลบในถูกฟัน	137
ก26	ความเข้มข้นของสารอินทรีย์ระเหยในช่วงเวลาต่าง ๆ จากการใช้เครื่อง GCMS บริเวณหลุมฝังกลบในถูกแล้ง	139
ก27	ตัวอย่างสารอินทรีย์ระเหยที่สามารถตรวจพบโดยใช้เครื่อง GCMS	141
ข1	ระดับการทำลายดีเอ็นเอกองเปิดถูกฟัน	146
ข2	ระดับการทำลายดีเอ็นเอกองเปิดถูกฟัน	148
ข3	ระดับการทำลายดีเอ็นเอกองเปิดถูกแล้ง	150
ข4	ระดับการทำลายดีเอ็นเอกองเปิดถูกแล้ง	152
ข5	ระดับการทำลายดีเอ็นเอควบคุมถูกฟันที่ 0 ชั่วโมง	154
ข6	ระดับการทำลายดีเอ็นเอควบคุมถูกแล้งที่ 0 ชั่วโมง	156
ข7	ระดับการทำลายดีเอ็นเอควบคุมถูกฟันที่ 96 ชั่วโมง	158
ข8	ระดับการทำลายดีเอ็นเอควบคุมถูกแล้งที่ 96 ชั่วโมง	160

## สารบัญตาราง(ต่อ)

รายการพนวกที่		หน้า
ข1	อุณหภูมิเฉลี่ย สูงสุด ต่ำสุด ของจังหวัดนนทบุรี ระหว่างปี พ.ศ.2548 – 2551	174
ข2	ปริมาณน้ำฝนในอำเภอไทยน้อย จังหวัดนนทบุรี	176
ข3	ค่าสถิติ t-test ที่ความเชื่อมั่น 95%	178

## สารบัญภาพ

ภาพที่		หน้า
1	(ก) วิธีการฝังกลบแบบกลบบนพื้นที่ (Area Method)	6
	(ข) วิธีการฝังกลบแบบบุคคลร่อง (Trench Method)	6
2	การเกิดก้าชในพื้นที่ฝัง	9
3	กราฟความเข้มข้นมีเทนกับเวลา	22
4	การวิเคราะห์ภาพเซลล์โโคเมท	38
5	ขั้นตอนการทดสอบด้วยวิธีโโคเมท ประกอบด้วย 6 ขั้นตอนหลัก	39
6	ขบวนการจัดการมูลฝอยของ อบจ. นนทบุรี	46
7	ปริมาณมูลฝอย เทศบาลกรุงเทพมหานคร ปี พ.ศ.2536-2549	47
8	ภาพจำลอง close flux chamber	51
9	สถานที่กำจัดมูลฝอยที่ทำการทดลอง	55
10	อัตราการแพร่ระบาดก้าชชีวภาพในกองเปิดและหลุมฝังกลบตามช่วงเวลา	65
11	อุณหภูมิในกองเปิดและหลุมฝังกลบตามช่วงเวลา	68
12	ร้อยละการตรวจพบของสารอินทรีย์ระเหยบริเวณหลุมฝังกลบในฤดูแล้ง	74
13	ร้อยละการตรวจพบของสารอินทรีย์ระเหยบริเวณกองมูลฝอยเปิดในฤดูฝน	76
14	ร้อยละการตรวจพบของสารอินทรีย์ระเหยบริเวณกองมูลฝอยเปิดในฤดูแล้ง	78
15	ร้อยละการตรวจพบของสารอินทรีย์ระเหยบริเวณหลุมฝังกลบในฤดูฝน	80
16	อัตราการแพร่ของสารอินทรีย์ระเหยบริเวณกองเปิดในฤดูฝนและฤดูแล้ง	81
17	อัตราการแพร่ของสารอินทรีย์ระเหยบริเวณหลุมฝังกลบในฤดูฝนและฤดูแล้ง	81
18	อัตราการแพร่ระบาดสารอินทรีย์ระเหยรวมทั้งหมดทุกชนิดในแต่ละพื้นที่ แต่ละฤดู	82
19	ตัวอย่างการทำลายดีอีนเอพลูด่าง	85
20	กราฟการเคลื่อนที่ของดีอีนเอ และระดับการทำลายดีอีนเอพีช(พลูด่าง)	86
21	กราฟความสัมพันธ์ระหว่าง ลักษณะของอัตราการแพร่ระบาดก้าชชีวภาพ และร้อยละของระดับการทำลายดีอีนเอ	89

## สารบัญภาพ(ต่อ)

	ภาพที่	หน้า
22	กราฟความสัมพันธ์ระหว่างความเข้มข้นก้าชชีวภาพในบรรยายกาศ และร้อยละของระดับการทำลายดีเอ็นเอ	90
23	กราฟความสัมพันธ์ระหว่างอัตราการแพร่ระบาดสารอินทรีย์ระเหย และร้อยละของระดับการทำลายดีเอ็นเอ	91
ภาพผนวกที่		
ก1	กราฟมาตรฐานมีเทน	106
ก2	กราฟมาตรฐานความเข้มข้นสารอินทรีย์ระเหยกับพื้นที่กราฟ	128
ค1	บริเวณกองมูลฝอยเปิด อ.ไทรน้อย จ.นนทบุรี	165
ค2	บริเวณหลุมฝังกลบเปิด อ.ไทรน้อย จ.นนทบุรี	165
ค3	Chamber เก็บตัวอย่างก้าช	166
ค4	ด้านบนของ Chamber เก็บตัวอย่างก้าช	166
ง1	ตัวอย่างกราฟเส้น Regression ของความสัมพันธ์ระหว่างความเข้มข้นของก้าชกับเวลา	169
ง2	ตัวอย่างกราฟเส้นมาตรฐานของเบนซีน	171
ง1	ปริมาณน้ำฝนเฉลี่ยแต่ละเดือนของจังหวัดนนทบุรี ปี พ.ศ.2548 – 2551	175

### คำอธิบายสัญลักษณ์และคำย่อ

DNA	=	Deoxy – ribonucleic acid
VOCs	=	volatile organic compounds
1,2-DCP	=	1,2-Dichloropropane
BEN	=	Benzene (CAS) Phene
1,3-DCP	=	1,3-Dichloropropane
TOL	=	Toluene
TCE	=	Tetrachloroethylene
p-XYL	=	p-Xylene
m-XYL	=	m-Xylene
STY	=	Styrene
IPB	=	Isopropylbenzene
m-ETOL	=	m-Ethyltoluene
TMB	=	1,3,5-Trimethylbenzene,
BUB	=	sec-Butylbenzene,
p-CYM	=	p-Cymene
DCB	=	o-Dichlorobenzene
▫ C	=	องศาเซลเซียส
F	=	อัตราของกําชที่ระบบออกมาต่อพื้นที่ต่อเวลา (Flux, g/m <sup>2</sup> /d)
$\rho$	=	ความหนาแน่นของกําช (kg/m <sup>3</sup> )
V	=	ปริมาตรของ Chamber (m <sup>3</sup> )
A	=	พื้นที่หน้าตัดของ Chamber (m <sup>2</sup> )
OP	=	กองมูลฝอยเปิด (Open dump)
LF	=	หลุมฝังกลบมูลฝอย (Landfill)

# การใช้วิธีโคเมทในพืชในการประเมินความเป็นพิษของก้าชชีวภาพและสารอินทรีย์ ระหว่างบริเวณหลุมฝังกลบมูลฝอยและบริเวณกองมูลฝอยเปิดในฤดูฝนและฤดูแล้ง

## Use of Plant Comet Assay to Evaluate Toxicity of Landfill Gas and Volatile Organic Compounds at Sanitary Landfill and Open Dump in Rainy and Dry Season

### คำนำ

การเจริญเติบโตของชุมชนเมืองและการเพิ่มจำนวนประชากรส่างผลให้มีปริมาณมูลฝอยจากชุมชนที่ต้องนำไปกำจัดเพิ่มมากขึ้น การกำจั沫ลฝอยส่วนใหญ่ในประเทศไทยในอดีตที่ผ่านมาดำเนินการโดยวิธีการเทกของกลางแจ้ง ซึ่งไม่ถูกหลักสุขาภิบาลและก่อให้เกิดผลกระทบต่อสิ่งแวดล้อมและประชาชนที่อยู่อาศัยในบริเวณใกล้เคียงได้มาก

ในปัจจุบันนี้ได้มีการดำเนินการปรับปรุงระบบการจัดการมูลฝอยในชุมชนต่างๆ โดยการก่อสร้างระบบกำจัดมูลฝอยด้วยวิธีการฝังกลบแบบถูกหลักสุขาภิบาล เพื่อรับปริมาณมูลฝอยจากชุมชนที่เพิ่มมากขึ้นและลดผลกระทบที่เกิดจากการกำจัดมูลฝอยอย่างไม่ถูกหลักสุขาภิบาล สำหรับประเทศไทยมีทั้งหลุมฝังกลบมูลฝอยและหลุมกองเปิด (open dumping sites) รวมจำนวน 425 แห่งในปี พ.ศ.2547 และมีแนวโน้มสูงขึ้นตามอัตราการทิ้งมูลฝอยและปริมาณประชากรที่เพิ่มขึ้นทุกปี (พิพิธสุริย์ และคณะ, 2549)

ผลกระทบจากการหนึ่งที่เกิดขึ้นจากการกำจัดมูลฝอยด้วยวิธีการย่อยสลายทางชีวภาพ ไม่ว่าดำเนินการด้วยวิธีการฝังกลบอย่างถูกหลักสุขาภิบาลหรือการเทกของกลางแจ้งคือ การแพร่ระบาดของก้าชชีวภาพที่เกิดขึ้นจากการย่อยสลายสารอินทรีย์ในมูลฝอยโดยจุลินทรีย์ ก้าชชีวภาพดังกล่าว มีองค์ประกอบส่วนใหญ่เป็นก้าชมีเทนและก้าชคาร์บอนไดออกไซด์ ซึ่งจัดเป็นก้าชเรือนกระจก (greenhouse gases) ที่เป็นสาเหตุที่สำคัญในการเพิ่มขึ้นของอุณหภูมิบรรยายกาศโลก พื้นที่กำจัดมูลฝอยเหล่านี้จัดเป็นแหล่งกำเนิดของก้าชเรือนกระจกจากกิจกรรมของมนุษย์ที่สำคัญแหล่งหนึ่ง โดยเฉพาะการเกิดก้าชมีเทนซึ่งมีศักยภาพในการเพิ่มอุณหภูมิของบรรยายกาศโลก ได้มากกว่าก้าชคาร์บอนไดออกไซด์ถึง 25 เท่า (Palanthakumar, 1999)

การติดตามตรวจสอบผลกระทบพิษทางสิ่งแวดล้อมต่าง ๆ จากหมุนผังกลบน้ำ ส่วนใหญ่นักใช้วิธีวิเคราะห์ลักษณะสมบัติทางกายภาพและทางเคมีอย่างต่อเนื่อง ซึ่งวิธีการตรวจวัดทางกายภาพและเคมีสามารถบ่งชี้ได้เฉพาะปริมาณความเข้มข้นแนวโน้มการเปลี่ยนแปลงและโอกาสการปนเปื้อน แต่ไม่สามารถบ่งชี้ถึงผลกระทบต่อสิ่งแวดล้อมที่แท้จริงในพื้นที่ศึกษาได้ ในการดำเนินการตรวจวัดและติดตามยังก่อให้เกิดสารพิษเนื่องจากการวิเคราะห์นั้นอีกด้วย

การตรวจคุณภาพโดยใช้สิ่งมีชีวิต (bio-monitoring) ในปัจจุบันนี้ เริ่มมีบทบาทมากขึ้น และใช้กันมากขึ้น ซึ่งการตรวจคุณภาพโดยใช้สิ่งมีชีวิตจะสามารถบอกระดับความปนเปื้อนเป็นแบบเชิงคุณภาพ (qualitative) และสามารถเก็บข้อมูลการเพิ่มขึ้นของภาวะมลพิษสิ่งแวดล้อมในพื้นที่กว้างอย่างต่อเนื่องและยาวนาน นอกจากนี้ยังตรวจวัดภาวะมลพิษเชิงช้อนในภาพรวมได้ ในการเลือกใช้พืชเป็นดัชนียังมีประโยชน์ในการนำมาใช้จำแนกประเภทของสารมลพิษได้อีกด้วย (กรมโรงงานอุตสาหกรรม,2547)

ในการตรวจคุณภาพโดยใช้สิ่งมีชีวิต (bio-monitoring) วิธีหนึ่งคือ วิธีโโคเมท (comet assay or single cell gel electrophoresis assay) วิธีโโคเมทเป็นวิธีหนึ่งที่ใช้วิเคราะห์การเปลี่ยนแปลงในระดับชีวโมเลกุล มีประโยชน์ในการนำมาใช้ตรวจสอบสารเคมีที่ทำให้ดีเอ็นเอขาดและแตก (DNA damage) ทำได้โดยการใช้สารเคมีที่มีความเข้มข้นสูงในการสกัดเซลล์ จากนั้นทำให้ดีเอ็นเอคลายเกลียวออกจากกัน(DNA unwinding) ด้วยสารละลายที่เป็นด่างแก่ (Singh *et al.*,1988) แล้วนำไปผ่านสนามไฟฟ้าที่มีสารละลายด่างเป็นตัวกลาง ทำการวิเคราะห์โดยอาศัยความแตกต่างในการเคลื่อนที่ของโมเลกุลดีเอ็นเอในสนามไฟฟ้า ทั้งดีเอ็นเอซึ่งมีประจุลบจะวิ่งไปหาขั้นบวก ดีเอ็นเอที่ถูกทำลายจะมีขนาดเล็กกว่า สามารถวิ่งในสนามไฟฟ้าได้เร็วกว่า จะกระจายตัวไปส่วนหาง (tail) ดีเอ็นเอที่ไม่ถูกทำลายจะมีขนาดใหญ่จะจับกลุ่มรวมตัวกันที่ส่วนหัว (head) (Gichner,2003) เมื่อย้อมด้วยสารเรืองแสงฟлуออเรสเซนต์ แล้วมองผ่านกล้องจุลทรรศ์จะเห็นเซลล์ของดีเอ็นเอที่ถูกทำลาย มีลักษณะคล้ายดาวหาง ความยาวของเซลล์จะขึ้นกับดีเอ็นเอที่ถูกทำลายในเซลล์ ถ้าเซลล์มีดีเอ็นเอถูกทำลายมากเซลล์นั้นจะทำให้มีส่วนหางยาวมาก เซลล์ดีเอ็นเอที่ไม่ถูกทำลายก็จะไม่มีส่วนหาง สามารถใช้เป็นวิธีทดสอบเบื้องต้น (screening test of mutagen and carcinogen) ทำได้ทั้งในเซลล์พืชและเซลล์สัตว์ ข้อดีของวิธีโโคเมท คือ เป็นการทดสอบที่ไม่ยุ่งยากมาก ทำได้รวดเร็วมีความไวสูง ใช้ตัวอย่างเซลล์เพียงเล็กน้อย และทดสอบกับเซลล์ยุงคาโรตได้เกือบทุกชนิด (McCarthy *et al.*,1997)

จากการศึกษาที่ผ่านมา พบว่า สามารถใช้วิธีโคมทในการตรวจติดตามและชี้วัดผลพิษทางสิ่งแวดล้อม เช่น ผลกระทบอากาศที่เกิดจากการจราจรบนท้องถนนหรือมลพิษที่เกิดในบริเวณเดาเพาบะ พืชที่สัมผัสกับมลพิษถูกทำลายดีอีนเอกสารขึ้นเมื่อระยะเวลาที่สัมผัสและความเข้มข้นของมลพิษนั้นเพิ่มขึ้น แต่อย่างไรก็ตาม ในการศึกษาโดยการใช้วิธีโคมทในการติดตามระดับผลกระทบของก้าชชีวภาพมีการศึกษาในระดับห้องปฏิบัติการ(ประดิษฐา,2550) พบว่าการทำลายดีอีนอาจมีความสอดคล้องกับความเข้มข้นของก้าชชีวภาพ

การศึกษานี้มีวัตถุประสงค์เพื่อหาอัตราการแพร่รังษียก้าชมีเทนและสารอินทรีย์ระเหยได้จากพื้นที่ฝั่งกลบมูลฟอยและกองมูลฟอยกลางแจ้งในฤดูฝนและฤดูแล้ง เพื่อเปรียบเทียบความแตกต่างของอัตราการแพร่รังษียก้าชมีเทนและสารอินทรีย์ระเหยได้ และมีการศึกษาติดตามผลกระทบระดับการทำลายดีอีนของพืชดังเดิมและใช้พลูค่างในการเปรียบเทียบเนื่องจากในการศึกษาการทำลายดีอีนของพืชจากก้าชมีเทนมากที่สุดคือใบพลูค่าง จึงนำมาใช้ในการเป็นตัวชี้วัดเพื่อเปรียบเทียบในสถานที่จริงและแบบจำลอง โดยจะนำอัตราการแพร่รังษียก้าชมีเทนและสารอินทรีย์ระเหยได้มาทำการวิเคราะห์ความสัมพันธ์กับระดับการทำลายดีอีนของพืชดังเดิมและพลูค่าง ซึ่งจะเป็นประโยชน์ในการประเมินผลกระทบทางด้านสิ่งแวดล้อม และพัฒนาวิธีการติดตามตรวจสอบให้มีประสิทธิภาพและประโยชน์สูงสุดในอนาคต

## วัตถุประสงค์

- เพื่อศึกษาอัตราการแพร่ระบาดของก๊าซชีวภาพและสารอินทรีย์ระเหยจากหลุมฝังกลบมูลฟ้อย และบริเวณกองมูลฝอยเปิด ในฤดูฝน และฤดูแล้ง
- เพื่อศึกษาความสัมพันธ์ของอัตราการแพร่ระบาดก๊าซชีวภาพและสารอินทรีย์ระเหยที่เกิดขึ้นจริงจากหลุมฝังกลบ และบริเวณกองเปิด ต่อการทำลายดีเย็นของพืชที่ทำการทดสอบ (พลูด่าง) ในฤดูฝน และฤดูแล้ง

### ขอบเขตการวิจัย

- ทำการวัดอัตราการแพร่ระบาดก๊าซชีวภาพ โดยใช้วิธี close flux chamber method ส่วนสารอินทรีย์ละเหยง่าย (VOCs) ทำการเก็บตัวอย่างโดยใช้ปั๊มดูดอากาศผ่านหลอดตัวดูดซับ (adsorbent tube)
- หาอัตราการแพร่ระบาดของก๊าซ บริเวณหลุมฝังกลบ และบริเวณกองเปิด ของเทศบาลนครนนทบุรี (ไทรน้อย) โดยจะวัดในฤดูฝนและฤดูแล้ง
- พืชที่ใช้ในการทดสอบ คือ พลูด่าง (*Epipremnum aureum*)
- ตรวจระดับการถูกทำลายดีเย็นของพืชด้วยวิธีโคเมท (comet assay)

## การตรวจเอกสาร

### 1. กระบวนการกำจัดมูลฝอยโดยวิธีการฝังกลบ

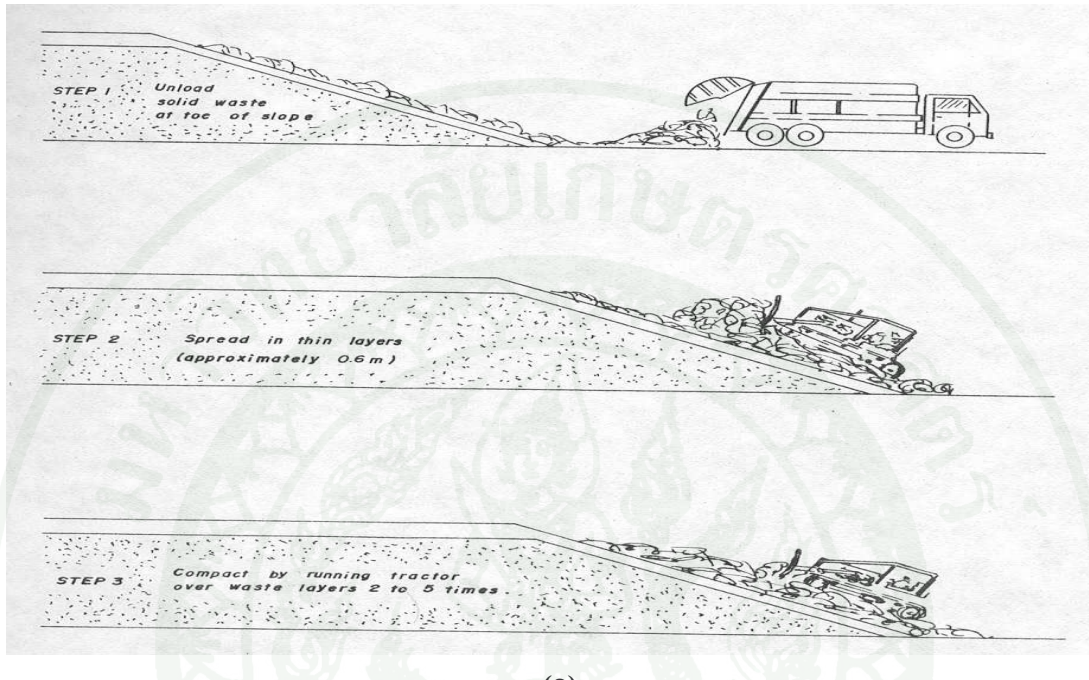
การกำจัดมูลฝอยตั้งแต่อดีตจนถึงปัจจุบันนี้มีอยู่หลายรูปแบบ อาทิเช่น นำไปกองทึ่งบนพื้นดิน (dumping on land) ทิ้งลงทะเล (dumping at sea) ทำปุ๋ยหมัก (composting) เผากลางแจ้ง (open burning) เผาในเตาเผา (incineration) และการฝังกลบอย่างถูกสุขาภิบาล (sanitary landfill) แต่การกำจัดมูลฝอยที่เหมาะสมสมมืออยู่ 3 วิธี คือ การเผา การทำปุ๋ยหมัก และวิธีฝังกลบอย่างถูกสุขาภิบาล ซึ่งวิธีการฝังกลบมูลฝอยอย่างถูกหลักสุขาภิบาลเป็นการกำจัดมูลฝอยที่นิยมใช้อยู่ในประเทศไทย เนื่องจากต้นทุนและค่าบำรุงรักษาย่อมากกว่าวิธีการกำจัดอื่น

การกำจัดมูลฝอยด้วยวิธีฝังกลบอย่างถูกหลักสุขาภิบาลนั้น เป็นการกำจัดมูลฝอยด้วยการนำมูลฝอยมาทิ้งลงในหลุมหรือพื้นที่ซึ่งเตรียมไว้ แล้วทำการบดอัดมูลฝอยด้วยเครื่องจักรกลเพื่อให้มูลฝอยขุบตัวหรือมีความหนาแน่นเพิ่มขึ้นแล้วทำการกลบทับด้วยวัสดุกลบทับ (cover material) ที่เหมาะสม วิธีการกำจัดมูลฝอยแบบฝังกลบอย่างถูกสุขาภิบาล ทำได้หลายแบบขึ้นอยู่กับลักษณะพื้นที่ซึ่งแบ่งได้เป็น 2 แบบ คือ (Tchobanoglous *et al.*, 1993)

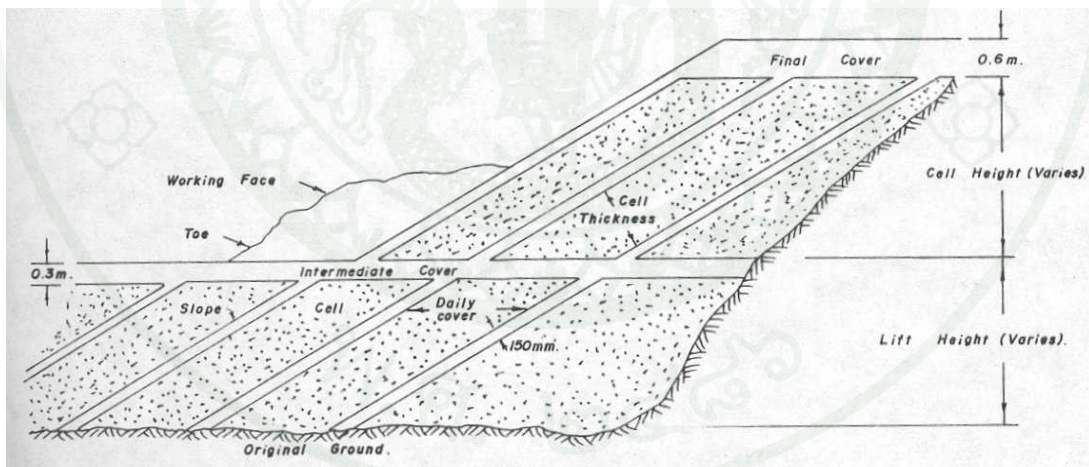
แบบที่ 1 วิธีการฝังกลบแบบกลบบนพื้นดิน (area method) เป็นวิธีฝังกลบที่เริ่มจากระดับดินเดิมโดยไม่มีการขุดดิน โดยบดอัดขยะตามแนวราบก่อนแล้วค่อยบดอัดทับในชั้นดัดไปจนถึงระดับที่กำหนดไว้叫做ันดิน (embankment or berm) ตามแนวของพื้นที่ก่อนเพื่อทำหน้าที่เป็นผนังหรือขอบขั้น สามารถป้องกันน้ำเสียที่เกิดจากการย่อยสลาย ไม่ให้น้ำเสียซึมออกด้านนอก ดังแสดงภาพที่ 1(ก) การฝังกลบมูลฝอย ลักษณะภูมิประเทศของพื้นที่เป็นที่ราบลุ่ม หรือที่มีระดับน้ำได้ดินสูงหรือน้ำได้ดินอยู่ต่ำกว่าผิวดินเล็กน้อย (ไม่เกิน 1 เมตร) ไม่สามารถขุดดินเพื่อกำจัดด้วยวิธีกลบแบบขุดร่องได้ เพราะจะทำให้เกิดการปนเปื้อนของน้ำโสโคโรกจากยะต่อหน้าได้ดิน

แบบที่ 2 วิธีการฝังกลบแบบขุดร่อง (trench method) เป็นวิธีการฝังกลบที่เริ่มจากระดับที่ต่ำกว่าระดับดินเดิม โดยการขุดดินลึกลงไปให้ได้ระดับตามที่กำหนดแล้วจึงเริ่มนบดอัดมูลฝอยให้เป็นชั้นบาง ๆ ทับกันหนาขึ้นไปเรื่อย ๆ จนได้ความหนาของชั้นมูลฝอยตามที่ต้องการ ในแต่ละชั้น

โดยทั่วไปความลึกของการขุดร่องควรสูงกว่าระดับน้ำใต้ดินไม่น้อยกว่า 1 เมตร โดยยึดระดับน้ำในดักฟันเป็นเกณฑ์เพื่อป้องกันไม่ให้เกิดการปนเปื้อนต่อน้ำใต้ดิน ดังแสดงภาพที่ 1(ข)



(น)



(บ)

ภาพที่ 1 (ก) วิธีการฝังกลบแบบกลบบนพื้นที่ (area method)

(บ) วิธีการฝังกลบแบบขุดร่อง (trench method)

ที่มา: Tchobanoglous *et al.*(1993)

## 2. ก้าชชีวภาพที่เกิดจากหลุมฝังกลบ

### การเกิดก้าชชีวภาพจากหลุมฝังกลบมูลฝอย

การเกิดก้าชชีวภาพจากหลุมฝังกลบมูลฝอยเปลี่ยนแปลงตามเวลาขึ้นอยู่กับสารอินทรีย์ในหลุมฝังกลบ ความชื้น การบดอัดมูลฝอย สารอาหาร ฯลฯ การเกิดก้าชสามารถแบ่งช่วงเวลาได้ 5 ระยะดังนี้ (ภาพที่ 2)

ระยะที่ 1 การปรับสภาพเริ่มต้น(initial adjustment phase) เป็นระยะแรกของการย่อยสลาย ซึ่งในระยะนี้จะเป็นการย่อยสลายแบบใช้อากาศ (aerobic condition) เนื่องจากยังมีออกซิเจนเหลืออยู่ในหลุมฝังกลบ

ระยะที่ 2 การเปลี่ยนแปลง(transition phase) เป็นระยะที่เกิดขึ้นเมื่อออกซิเจนเริ่มขาดแคลน กำลังจะเกิดสภาพไร้อากาศ(anaerobic condition) ในระยะนี้จะใช้ในครอบและเซลล์ในกระบวนการย่อยสลายเกิดผลิตภัณฑ์เป็นก้าช ในไตรเจน( $N_2$ ) และก้าชไฮโดรเจนซัลไฟด์( $H_2S$ ) ในระยะที่ 2 นี้ ค่าพีเอชของน้ำจะมูลฝอยจะเริ่มลดต่ำลงเนื่องจากเกิดกรดอินทรีย์ (organic acid) และก้าชคาร์บอนไดออกไซด์ ( $CO_2$ ) ขึ้นในกระบวนการย่อยสลาย

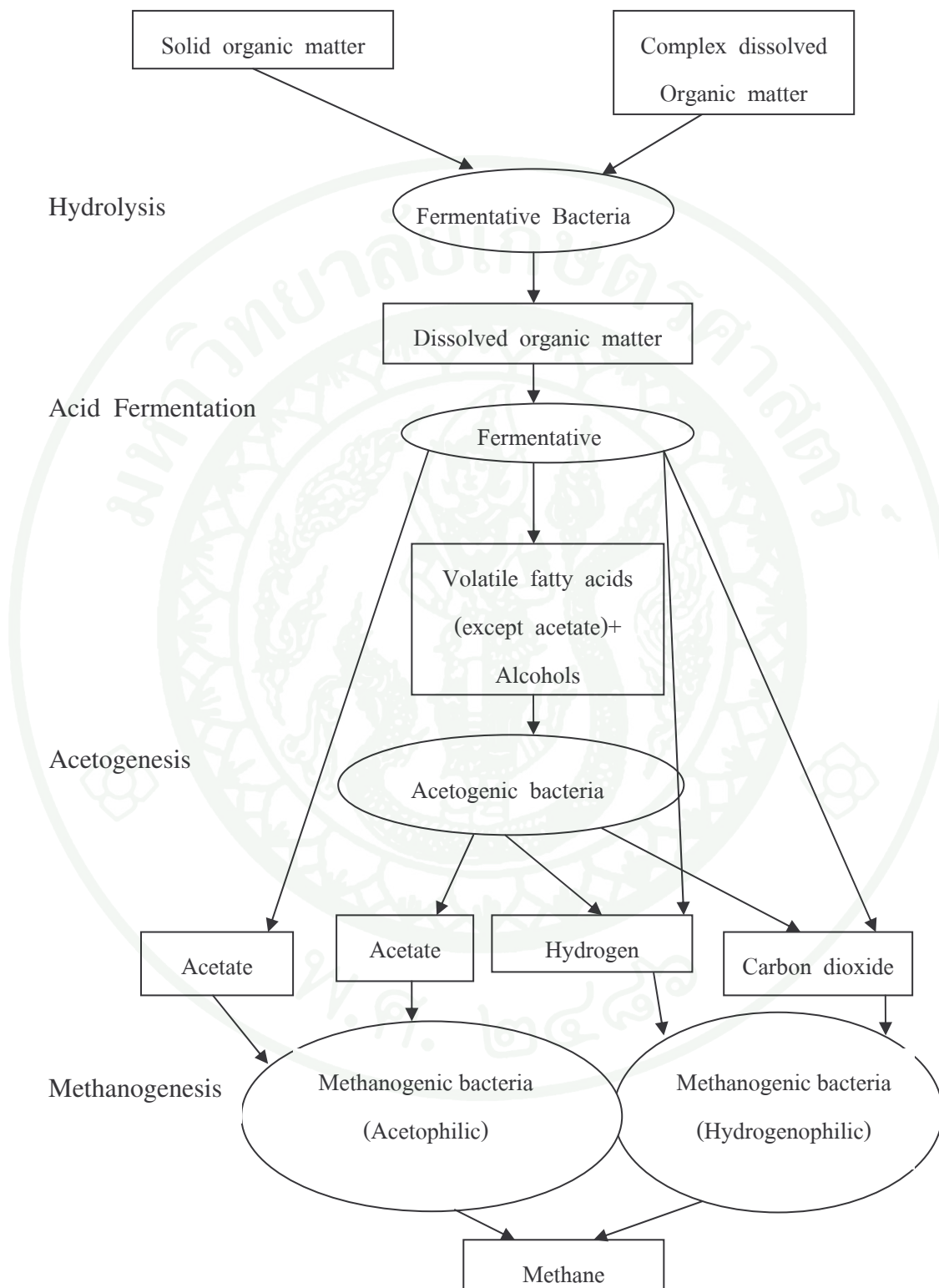
ระยะที่ 3 การสร้างกรด(acid phase) ในระยะนี้จะแบ่งออกเป็น 2 ขั้นตอนย่อย ๆ คือ การเปลี่ยนรูปของสารประกอบที่มีมวลโมเลกุลสูง( เช่น ไบมัน และ โปรตีน เป็นต้น) ไปเป็นสารประกอบที่เหมาะสมสำหรับจุลินทรีย์เพื่อให้เป็นแหล่งพลังงานและเซลล์carbонถัดไปเป็นระยะการเปลี่ยนสารประกอบที่ได้จากขั้นตอนแรกไปเป็นสารประกอบที่มีมวลโมเลกุลต่ำประเภทกรดอะซิติก(acetic acid) และสารประกอบที่มีความเข้มข้นต่ำๆ ของกรดฟูลวิก(fulvic acid) และกรดอินทรีย์ประเภทอื่น ๆ ในระยะที่ 3 นี้ ก้าชที่เกิดส่วนใหญ่จะเป็นก้าชคาร์บอนไดออกไซด์ ( $CO_2$ ) ส่วนก้าชไฮโดรเจน( $H_2$ ) จะเกิดเพียงเล็กน้อย จุลินทรีย์ที่เกี่ยวข้องในขั้นตอนนี้เรียกว่า facultative and obligate anaerobic bacteria ในระยะนี้ค่าพีเอช (pH) จะลดต่ำลง เนื่องจาก การเพิ่มขึ้นของกรดอินทรีย์(organic acid) และปริมาณก้าชคาร์บอนไดออกไซด์( $CO_2$ ) ส่วนค่าความสกปรกในรูปของบีโอดี (BOD) ซีโอดี (COD) และค่าการนำไฟฟ้า(conductivity) ของน้ำจะมูลฝอยจะเพิ่มขึ้น เนื่องจากพีเอชที่ต่ำจะทำให้ความสามารถในการละลายของกรดอินทรีย์และชาตุอาหารต่าง ๆ ในน้ำจะมูลฝอยได้ดีขึ้น

ระยะที่ 4 การสร้างมีเทน(methane fermentation phase) จุลินทรีย์ในระบบนี้จะเปลี่ยนกรดอะซิติกและกําชไฮโดรเจนที่เกิดแบคทีเรียนิดที่สร้างกรด(acid forming bacteria)ในระยะที่ 3 ไปเป็นกําซมีเท(Ch<sub>4</sub>) และกําชคาร์บอนไดออกไซด์(CO<sub>2</sub>) จุลินทรีย์ที่เกี่ยวข้องกับกระบวนการบ่อยสลายนี้เป็นจุลินทรีย์ที่สร้างกําซมีเทน(methane forming bacteria) ซึ่งอยู่ได้ในสภาพไร้อกซิเจนเท่านั้น ในระยะนี้แบคทีเรียนิดที่สร้างกรดและมีเทนจะทำงานควบคู่กันโดยอัตราการสร้างกรดจะลดลงเรื่อย ๆ ส่งผลให้ค่าพิอे�ชของน้ำระบายน้ำมูลฟ้อยเพิ่มสูงขึ้น ทำให้โลหะหนักละลายน้ำได้น้อยลง ส่งผลให้ปริมาณโลหะหนักในน้ำระบายน้ำมูลฟ้อยลดลงด้วย

ระยะที่ 5 การบ่ม(ripening phase) ระยะสุดท้ายนี้จะเกิดขึ้นหลังจากสารอินทรีย์ที่บ่อยสลายได้ถูกเปลี่ยนไปเป็นกําซมีเทนและกําชคาร์บอนไดออกไซด์แล้ว เมื่อความชื้นยังคงหลงเหลืออยู่ในช่องว่างของมูลฟ้อย อินทรีย์สารที่ยังไม่ได้สัมผัสถกความชื้นจะถูกย่อยสลายและเปลี่ยนรูปต่อไป ในขั้นตอนนี้อัตราการเกิดกําชจะลดลงเรื่อย ๆ เมื่อจากสารอินทรีย์ที่เหลืออยู่เป็นประเภทที่บ่อยสลายยาก กําชที่เกิดส่วนใหญ่ได้แก่กําซมีเทนและกําชคาร์บอนไดออกไซด์ ส่วนน้ำระบายน้ำมูลฟ้อยจะมีอิมิค(humic) และกรดฟูลวิค(fulvic acid) เป็นองค์ประกอบ เนื่องจาก เป็นสารที่บ่อยสลายได้ยาก

### 3. องค์ประกอบกําชจากหลุมฝังกลบมูลฟ้อย

กําชซึ่งภาพจากหลุมฝังกลบมูลฟ้อยโดยทั่วไป ได้แก่ คาร์บอนไดออกไซด์(CO<sub>2</sub>) มีเทน(CH<sub>4</sub>), คาร์บอนมอนอกไซด์(CO), แอมโมเนีย(NH<sub>3</sub>), ไฮโดรเจน(H<sub>2</sub>), ไฮโดรเจนซัลไฟด์(H<sub>2</sub>S), ไนโตรเจน(N<sub>2</sub>) ในกําชที่เกิดขึ้นมีกําซมีเทนและกําชคาร์บอนไดออกไซด์เป็นกําชที่เกิดขึ้นมากที่สุดถึงร้อยละ 45 ถึง 60 และร้อยละ 40 ถึง 50 ตามลำดับ(Emcon Associate,1980) และยังพบกําชบางชนิดในหลุมฝังกลบมูลฟ้อย คือ สารประกอบอินทรีย์ระเหย(VOCs) ซึ่งโดยทั่วไป VOCs เป็นสารอันตรายส่งผลกระทบต่อสุขภาพและสิ่งแวดล้อม องค์ประกอบของมูลฟ้อยส่วนใหญ่จะประกอบด้วย คาร์บอน ออกซิเจน ไฮโดรเจน ในไนโตรเจน และซัลเฟอร์ ดังแสดงในตารางที่ 1 จุลินทรีย์จะบ่อยสลายองค์ประกอบเหล่านี้ทำให้เกิดกําช คือ คาร์บอนไดออกไซด์และมีเทน ตามทฤษฎีแล้วมูลฟ้อย 0.453 กิโลกรัม จะทำให้เกิดกําชคาร์บอนไดออกไซด์ 0.076 ลูกบาศก์เมตร และกําซมีเทน 0.11 ลูกบาศก์เมตร(สำนักวิทยาศาสตร์ความสะอาด ,2539)



ภาพที่ 2 การเกิดก๊าซในพื้นที่หลุมฝังกลบ

ที่มา: Yuen et al.(1994)

มูลฟอยแห้งและมูลฟอยเปียกจะให้ก้าชที่เกิดขึ้นมีปริมาณ 0.001 และ 0.006 ลูกบาศก์เมตรต่อหน่วยน้ำกษะแห้งตามลำดับ และการเคลื่อนที่ของก้าช(migration) ที่เกิดขึ้นตามแนวดึงอัตรา 0.067 – 0.244 เมตรต่อวัน และอัตรา 0.073 – 0.426 เมตรต่อวัน ตามแนวระดับ (สำนักวิจัยความสะอาด ,2539)

มีการศึกษาหาอัตราการแพร่ระบาดก้าชมีเทนบริเวณหลุมฝังกลบมูลฟอย (อนุชิต,2547) จะเห็นได้ว่า ผลวัดอัตราการแพร่ระบาดอยู่ในช่วง 0.14-5.21 กรัมต่อตารางเมตรต่อวัน และจาก การศึกษาของ(สุรัตน์,2546) พบว่า อัตราการแพร่ต่อลอดพื้นที่หลุมฝังกลบ มีอัตราการแพร่สูงสุด เท่ากับ 23.47 กรัมต่อตารางเมตรต่อวัน ที่หลุมฝังกลบนครปฐม และวิจารณ์,2543 ได้ทำการศึกษา อัตราการแพร่ระบาดก้าชมีเทนผ่านชั้นดินกลบทับพบว่า อัตราการแพร่ระบาดก้าชมีเทน และ คาร์บอนไดออกไซด์มีค่าเท่ากับ 82.2 และ 82.2 กรัมต่อตารางเมตรต่อวัน ตามลำดับ

มีการรายงานปริมาณและชนิดของก้าชที่พบทั้งในบริเวณหลุมฝังกลบมูลฟอยและนอก บริเวณหลุมฝังกลบมูลฟอย สารระเหยอินทรี เป็นสารประกอบไฮโดรคาร์บอนประเทท อัลเคน (alkanes) ไฮโคลอัลเคน(cycloalkane) และชาโลเจน(halogenated compounds) เป็นส่วน ใหญ่ (Ward *et al.*,1996) มีการศึกษาอัตราการแพร่ระบาดของสารอินทรีระเหย ได้แก่ ไฮดรอก โรเจทิลีน เบนซีน โทกูอีน เอทธิลเบนซีน และไฮคลีน จากหลุมฝังกลบมูลฟอยขององค์การ บริหารส่วนจังหวัดนนทบุรี พบว่า กองมูลฟอยเปิดมีอัตราการแพร่ระบาดของสารอินทรีระเหยใน รูป ก้าช ของเบนซีนสูงที่สุด มีอัตราเฉลี่ย 160.74 กรัมต่อวัน ก้าช ส่วนใหญ่ที่แพร่ระบาดออกสู่ บรรยายกาศโดยตรงเป็นส่วนใหญ่ คือ เบนซีน เอทธิลเบนซีนและไฮคลีน (มนีรัตน์, 2549) และมี การศึกษาสารอินทรีระเหยที่แพร่ระบาดผ่านชั้nmูลฟอยของก้าช จากพื้นที่กำจัดมูลฟอยกองเปิด อบจ. นนทบุรี มีการแพร่ระบาดของ เบนซีน โทกูอีน ไฮโลฟอร์ม และ พีซีอี ไม่สมำเสมอ มีความ เปลี่ยนแปลงในช่วง 0.16-2.64, 0.05-0.30, 2.69-6.72 และ 0.17-1.32 นาโนโมลต่อลูกบาศก์เมตร ตามลำดับ (อันชรี, 2547)

ตารางที่ 1 ส่วนประกอบของก๊าซในหلامฝังกลบที่ Lulea

ก๊าซ	มวล จำเพาะ (kg/m <sup>3</sup> )	ช่วงจุดดีฟ ในอากาศ (vol-%)	ส่วนประกอบ ของก๊าซในพื้นที่ ฝังกลบ (vol-%)	คุณสมบัติ
มีเทน	0.717	5 – 15	0 – 85	ไม่มีสี ไม่มีกลิ่น ไม่เป็นพิษ
คาร์บอนไดออกไซด์	1.977	-	0 – 88	ไม่มีสี ไม่มีกลิ่น ไม่เป็น พิษที่ความเข้มข้นต่ำ
คาร์บอนมอนอกไซด์	1.250	12.5 – 74	0 – 3	ไม่มีสี ไม่มีกลิ่น เป็น พิษ ไม่ติดไฟ
ไฮโดรเจน	0.090	4 – 74	0 – 3.6	ไม่มีสี ไม่มีกลิ่น ไม่ เป็นพิษ ติดไฟ
ออกซิเจน	1.429	-	0 – 21	ไม่มีสี ไม่มีกลิ่น ไม่เป็นพิษ
ไนโตรเจน	1.250	-	0 – 82.5	ไม่มีสี ไม่มีกลิ่น เป็น พิษ
ไฮโดรเจนซัลไฟด์	1.539	4.3 – 45.5	0 – 0.00007	ไม่มีสี เป็นพิษ

ที่มา: Maurice and Lagerkvist (1998)

#### 4. ปัจจัยที่มีผลต่อกระบวนการผลิตก๊าซมีเทน

พีอช

แบคทีเรียพากลร่างมีเทน (methane forming bacteria) เป็นแบคทีเรียที่ต้องการสภาวะ  
แวดล้อมร่วมทั้งพีอชที่อยู่ในช่วงระหว่าง 6.6 ถึง 7.6 เพื่อที่จะให้การผลิตก๊าซมีเทนเป็นไปได้อย่าง  
มีประสิทธิภาพ ดังนั้นโดยทั่วไปการนำพารามิเตอร์ในการควบคุมระบบ ถังหมักแบบไร้ออกซิเจน  
มาประยุกต์ใช้กับระบบฝังกลบมูลฝอย ดังรายงานของ McCarty(1964) ว่าระบบจะทำงานได้ดี  
ในช่วงพีอชระหว่าง 6.6 ถึง 7.6 สำหรับค่าที่เหมาะสมจะประมาณ 7.0 ถึง 7.2 ส่วน Klink and

Ham(1982) รายงานว่าพื้นที่เหมาะสมควรมีค่าประมาณ 6.8 ถึง 7.5 ในหมุนผังกลบมูลฝอยเพื่อให้มีอัตราการแพร่ระบาดก้าซมีเทนอย่างสม่ำเสมอ

### อุณหภูมิ

อุณหภูมิเป็นปัจจัยที่สำคัญในการควบคุมกระบวนการผลิตก้าซมีเทน โดยพบว่าอุณหภูมิที่เหมาะสมในช่วง mesophilic มีค่า 30 องศาเซลเซียส ถึง 40 องศาเซลเซียส และในช่วง thermophilic มีค่า 55 องศาเซลเซียส ถึง 65 องศาเซลเซียส นอกจากนี้ยังพบว่า อุณหภูมิสูงกว่า 40 องศาเซลเซียส ในช่วง mesophilic และ 55 องศาเซลเซียส ในช่วง thermophilic การแปรเปลี่ยนของอุณหภูมิมีผลเสียต่อกระบวนการผลิตก้าซ Cooney and Wise(1975) ใช้มูลฝอยบดมาทำการหมักที่ระยะเวลา 30 วัน ที่อุณหภูมิ 65 องศาเซลเซียส พบร่วงการทำงานของระบบดีขึ้น และให้ปริมาตรของก้าซมากกว่าช่วง mesophilic ถึงร้อยละ 50

สุรัตน์(2546) จากการศึกษาตรวจวัดอุณหภูมิอากาศและวัดอุณหภูมิหน้าดิน ระหว่างเวลา 8.00-16.00 น. พบร่วงการทำงานของก้าซมีเทน ที่อุณหภูมิสูงสุดของอากาศและดินอยู่ช่วงเวลา 13.00-14.00 น. ซึ่งอุณหภูมิดินประมาณ 31 องศาเซลเซียส เหมาะสำหรับ methanotroph bacteria ที่อยู่สลายก้าซมีเทน (Whalen *et al.*,1990)

### ความชื้น

ความชื้นเป็นปัจจัยที่สำคัญที่มีผลต่อการเกิดก้าซมีเทน เนื่องจากแบคทีเรียที่สร้างมีเทนจะทำงานได้เมื่อมีความชื้นเพิ่มมากขึ้น และจะทำงานได้อย่างมีประสิทธิภาพสูงสุดเมื่อแช่ในน้ำดังเช่นในกรณีถังหมักตะกอน (sludge digester) Merz and Stone (1964) พบร่วงการลดความชื้นลงต่ำกว่าระดับ ร้อยละ 100 ของน้ำหนักแห้ง หรือร้อยละ 50 ของน้ำหนักเปียก มีผลทำให้อัตราการผลิตก้าซชีวภาพลดลงทั้งในกองมูลฝอยที่ผังกลบอย่างถูกหลักสุขาภิบาลในระดับห้องปฏิบัติการจากรายงานของ EMCON Associates(1980) ระบุว่าเมื่อเพิ่มความชื้นให้แก่กองมูลฝอยจะทำให้อัตราการผลิตก้าซเพิ่มมากขึ้น ระดับความชื้นที่พอดีเหมาะสมอยู่ในช่วงร้อยละ 60-80 ของน้ำหนักเปียกซึ่งสอดคล้องกับผลการทดลองของ Klink and Ham (1982) ว่าการเพิ่มความชื้นแก่มูลฝอยจะทำให้อัตราการผลิตก้าซมีเทนเพิ่มขึ้นร้อยละ 25-50 และวิจารณ์,2543 ได้ศึกษาพบว่าการแตกของชั้นดิน

กลบทับมูลฝอย เมื่อдинมีความชื้นลดลง ส่งผลให้การแพร่ระบาดของก้าชชีวภาพสู่บรรณาการเพิ่มสูงขึ้นได้

### แร่ธาตุ

แบคทีเรียจำพวกที่ไม่ต้องการออกซิเจน(anaerobic bacteria) ที่มีความต้องการสารอาหารจำพวกไนโตรเจน(N), ฟอสฟอรัส(P) และสารอาหารอื่น ๆ ที่ช่วยในการเจริญเติบโต จะน้ำน้ำ การควบคุมสภาพให้เหมาะสม ก็คือการใส่อาหารเสริมลงไปให้เพียงพอแก่ความต้องการ เพราะว่าของเสียที่จะเข้าสู่ระบบน้ำน้ำมีลักษณะสมบัติแตกต่างกันออกไป McCarty(1964) ได้คำนวณปริมาณของไนโตรเจนและฟอสฟอรัสที่ต้องการโดยคิดจากค่าเฉลี่ยของสูตรเคมีของเซลล์  $C_5H_9O_3N$  ซึ่งจะต้องมีไนโตรเจนอยู่ประมาณร้อยละ 11 ของน้ำหนักเซลล์ที่เป็นของแข็งระหว่าง และต้องการฟอสฟอรัสประมาณ 1 ใน 5 ของน้ำหนักเซลล์ที่เป็นของแข็งระหว่าง นอกจากไนโตรเจนและฟอสฟอรัสแล้วยังมีสารชนิดอื่นที่ทำหน้าที่ในการกระตุ้น เมื่อมีความเข้มข้นต่ำ และจะยับยั้งการเจริญเติบโตที่ความเข้มข้นสูงขึ้น

### ตารางที่ 2 ก้าชที่เกิดขึ้นจากการฝังกลบมูลฝอยของกรุงเทพมหานคร

ลักษณะสมบัติ	อายุของมูลฝอย	
	3 เดือนถึง 3 ปี	มากกว่า 3 ปี
การย่อยสลาย	เร็ว	ช้า
อัตราการผลิตก้าช $CH_4(g/m^2/d)$	229.2	570
อัตราการผลิตก้าช $CO_2(g/m^2/d)$	57.6	121.2

ที่มา: สำนักทรัพยากรากวัสดุ ,2539

### การเปลี่ยนแปลงของถั่วถุง

Borjesson and Svensson (1997) พบว่าการแพร่ระบาดของมีเทนเป็นไปตามลักษณะของถั่วถุง การแพร่ระบาดจะมีมากในระหว่างเดือนสิงหาคมถึงเดือนพฤษภาคม และมีอัตราการแพร่ระบาดของมีเทนต่ำเมื่อยู่ในถั่วถุง ซึ่งสอดคล้องกับการศึกษาของ Christphersen *et al.*

(2001) ซึ่งรายงานว่าการแพร่ระบายน้ำในช่วงเดียวกัน เนื่องจากอุณหภูมิในดินเหมาะสมสำหรับการเกิดกระบวนการย่อยสลายก้าซมีเทน อย่างไรก็ตามรายงานขัดแย้งกับ Jones and Nedwell (1993) ที่พบว่าอัตราการแพร่ระบายน้ำมีเทนในฤดูร้อนมีมากกว่าในฤดูหนาว Boeckx and Cleemput (1996) ได้ศึกษาการแพร่ระบายน้ำก้าซมีเทนโดยวิธี close flux chamber โดยผลที่ได้จากการวิจัยในภาคสนามดังแสดงในตารางที่ 5

จากข้อมูลพบว่าการแพร่ระบายน้ำก้าซมีเทนสุทธิ (net emission) ต่ำมากและเปลี่ยนแปลงไปตามฤดูกาล ช่วงฤดูร้อน (มิถุนายน – กันยายน) การแพร่ระบายน้ำสุทธิของมีเทนต่ำกว่า ช่วงฤดูใบไม้ร่วง (ตุลาคม – ธันวาคม) นอกจากนี้ปัจจัยควบคุมอื่น เช่น ความดันบรรยากาศ ความเร็วลม และการควบคุมทางวิศวกรรม ซึ่งความชื้นของดินกลับทับ เป็นปัจจัยที่สำคัญที่ควบคุมการแพร่ระบายน้ำของก้าซมีเทนจากหลุมฝังกลบ (Bogner, 1992) และเมื่อความชื้นของดินกลับทับที่เป็นดินเนื้อละเอียด (ดินเหนียว) มากขึ้นทำให้เพิ่มประสิทธิภาพในการป้องกันการแพร่ระบายน้ำของก้าซ (Bogner, 1992; Kjeldsen and Fischer, 1995; Tosh *et al.*, 1994) ซึ่งมีผลในการลดการแพร่ระบายน้ำในแนวตั้งของก้าซในชั้นดินและเพิ่มความดันก้าซในชั้นมูลฝอย สุรัตน์ (2546) กล่าวไว้ว่า อัตราการแพร่ระบายน้ำก้าซสูงสุดในฤดูฝนและต่ำสุดในช่วงฤดูแล้งช่วงเดือนมีนาคม

มีการศึกษาองค์ประกอบของก้าซจากแปลงทดลองหลุมฝังกลบมูลฝอยที่แพร่ระบายน้ำผ่านชั้นหลับทับมูลฝอยที่ระดับความลึกต่าง ๆ พบว่า องค์ประกอบก้าซจากหลุมฝังกลบมูลฝอยมีการเปลี่ยนแปลงตามความลึก โดยที่องค์ประกอบของก้าซมีเทน และก้าซคาร์บอนไดออกไซด์มีแนวโน้มเพิ่มขึ้นตามความลึก และการแพร่ระบายน้ำของก้าซผ่านชั้นกลับทับมูลฝอยมีการเปลี่ยนแปลงตามฤดูกาล คือ องค์ประกอบก้าซจากหลุมฝังกลบมูลฝอยในฤดูฝนสูงกว่าฤดูหนาว และฤดูร้อน ตามลำดับ องค์ประกอบก้าซมีเทนที่แพร่ระบายน้ำผ่านชั้นดินกลับทับมูลฝอยมีการเปลี่ยนแปลงตามฤดูกาล โดยช่วงฤดูฝน (มิถุนายน-กันยายน) เนลี่ยร้อยละ 40.3 – 60.3 โดยปริมาตร ในช่วงฤดูร้อน (กุมภาพันธ์–เมษายน) เนลี่ยร้อยละ 30.0 – 51.9 โดยปริมาตร ในช่วงฤดูร้อน ร่องลงมาคือฤดูหนาว และฤดูฝน ตามลำดับ พนบว่า ในช่วงฤดูแล้งจะมีอัตราการแพร่ระบายน้ำของก้าซมีเทนสูงกว่าฤดูฝน 1.5-4.2 เท่า เช่นเดียวกับอัตราการแพร่ระบายน้ำก้าซคาร์บอนโดยออกไซด์ในช่วงฤดูแล้งมีค่าสูงกว่าช่วงฤดูฝน 1.4-10.6 เท่า

### การเปลี่ยนแปลงของความดันบรรยายกาศ

Christophersen *et al.* (2001) รายงานว่าความดันบรรยายกาศที่เพิ่มขึ้นเป็นผลให้อัตราการแพร่รับabyของก๊าซชีวภาพลดลง เนื่องจากความแตกต่างระหว่างความดันในห้องฟังกลับมูลฟอยกับบรรยายกาศลดลง

### การเปลี่ยนแปลงระหว่างวัน

Borjesson and Svensson (1997) พบว่าการเปลี่ยนแปลงระหว่างวันมีความสัมพันธ์กับการแพร่รับabyของก๊าซมีเทน เมื่อเปรียบเทียบอัตราการแพร่รับabyระหว่างกลางวันและกลางคืนมีความแตกต่างที่เห็นได้ชัด โดยวัดที่เวลา 13.00 น. และเวลา 21.00 น. มีอัตราการแพร่รับaby 82.56 และ 163.2 กรัม มีเทนต่อตารางเมตรต่อวัน ตามลำดับ เนื่องจากอุณหภูมิและความดันบรรยายกาศที่เปลี่ยนแปลงไปในระหว่างวัน เช่นเดียวกับ Bogner (1992) ได้ศึกษาการเปลี่ยนแปลงในแต่ละวันของการปลดปล่อยมีเทนจากห้องฟังกลับมูลฟอย ซึ่งศึกษาในช่วงสั้น ๆ พบว่าช่วงกลางวันและช่วงกลางคืน การแพร่รับabyแตกต่างกันอย่างชัดเจน เนื่องจากอุณหภูมิและความดันบรรยายกาศที่แตกต่างในช่วงเวลาดังกล่าว

ตารางที่ 3 อัตราการแพร่รับabyก๊าซมีเทนและการรับอนไดออกไซด์ของชั้นมูลฟอย

Point	Methane emission rate g/m <sup>2</sup> /d		Carbon dioxide emission rate g/m <sup>2</sup> /d	
	Rang	Average	Rang	Average
A	2.26-54.29	20.74	37.51-21.25	132.99
B	0-0.4.84	0.94	34.91-132.72	61.61
C	0-6.07	1.51	42.49-106.89	62.28
D	5,51-88.94	40.05	140.24-348.01	218.62

ที่มา: สุรัตน์ (2546)

## การหมุนเวียนน้ำระบบน้ำมูลฟอย

การวัดการแพร่ระบาดของก้าชในหลุมฝังกลบมูลฟอย ที่มีการหมุนเวียนน้ำระบบน้ำมูลฟอยใน Alachua Country, Florida พบว่า อัตราการผลิตก้าชเป็น 2 เท่า เมื่อมีการหมุนเวียนน้ำระบบน้ำมูลฟอย โดยเทียบกับที่ไม่มีการหมุนเวียนน้ำระบบน้ำมูลฟอย คือ 0.0236 ลูกบาศก์เมตรต่อวัน และ 0.0096 ลูกบาศก์เมตรต่อวัน ตามลำดับ (Palumbo, 1995) ส่วน Klink and Ham (1982) ได้ทำการวิจัยหมักมูลฟอยชุมชนด้วยการป้อนมูลฟอยครั้งเดียว พบว่า ปริมาณก้าชมีเทนจะเพิ่มมากขึ้นถึงร้อยละ 25 – 50 จากถังที่มีการหมุนเวียนน้ำระบบน้ำมูลฟอยเมื่อเปรียบเทียบกับถังที่ไม่มีการหมุนเวียน

การหมุนเวียนน้ำระบบน้ำมูลฟอยทำให้มีการเพิ่มอัตราการทรุดตัวของหลุมฝังกลบมูลฟอยโดยการศึกษาใน Sonoma Country, California หลุมฝังกลบที่มีการหมุนเวียนน้ำระบบน้ำมูลฟอยทรุดลงเป็นร้อยละ 20 ของความลึกของมูลฟอย ส่วนหลุมฝังกลบที่ไม่มีการหมุนเวียนน้ำระบบน้ำมูลฟอยทรุดน้อยกวาร้อยละ 8 (Leckie *et al.*, 1979) เช่นเดียวกับ Buivid *et al.*, 1981 พบว่าหลุมฝังกลบมูลฟอยที่อยู่ที่ mountain view landfill, California หลุมฝังกลบมูลฟอยเป็นกมีการทรุดตัวประมาณร้อยละ 13 – 15 ส่วนหลุมฝังกลบมูลฟอยแห้งมีการทรุดตัวเพียงร้อยละ 8 – 12 ตลอด 4 ปี

ตารางที่ 4 ข้อมูลการปฏิบัติการการหมุนเวียนน้ำระบบน้ำมูลฟอยในหลุมฝังกลบมูลฟอย

สถานที่	ปริมาณน้ำระบบน้ำมูลฟอยที่ผลิต ( $m^3/ha/day$ )	ปริมาตรหมุนเวียนน้ำระบบน้ำมูลฟอย ( $m^3/ha/day$ )	ประสิทธิภาพเก็บกัก ( $m^3/ha$ )	ปริมาตรบำบัด ( $m^3/ha/day$ )	พื้นที่อโกแบบ area(ha)	พื้นที่ใช้ปัจจุบัน (ha)
Alachua Country	7.8	4.3	124	4.3	11	11
Worcester Country	2.6	2.1	220	0.64	6.9	6.9
Winfield Country	19	13.8	66.8	0.55	2.8	2.8
Pecan Row	2.7	1.1	689	0	16	4.5
Lower Mt. Washington Valley	14.6	9.5	11.7	4.2	3.2	0.45
CRSWMA Landfill	16.6	11.7	1600	0	8.9	5.7
Lemons Mill Seat	2.2	5	108	-	30	-
- Test Cell 2	2.8	6.8	35	-	2.8	-
- Test Cell 3	2.8	5.2	41	-	2.2	-

ที่มา: Reinhart (1996)

## 5. ปัจจัยที่มีต่อการเจริญเติบโตของพืชในบริเวณฝังกลบมูลฝอย

พืชที่เจริญในแต่ละพื้นที่ฝังกลบจะมีลักษณะ และชนิดแตกต่างกัน ไปตามสิ่งแวดล้อมของแต่ละพื้นที่ ส่วนใหญ่พบว่า พืชในพื้นที่ฝังกลบจะเจริญเติบโตช้า เนื่องจากก้าชที่แพร่จากพื้นที่ฝังกลบ ความแห้งแล้ง และการบดอัดดิน ซึ่งที่มีอิทธิพลต่อการเจริญเติบโตของพืช การศึกษาพืชที่เจริญในพื้นที่ฝังกลบของห้อง Kong พบว่า ความเข้มข้นของมีเทน ออกซิเจน การบอนไดออกไซด์ เอทิลีนและตะกั่ว มีผลลบต่อการเจริญเติบโตของพืช Moffat and Houston (1991) พบว่าเมื่อเปลี่ยนความหนาของวัสดุกลบทับจาก 0.2 เมตร เป็น 1.5 เมตร ช่วยลดผลกระทบของก้าชที่แพร่ต่อพืช ทำให้พืชสามารถเติบโตและรอดชีวิตได้ (Wong and Yu ,1989) และจากการศึกษาของ สุรัตน์(2546) สรุปได้ว่าการระดับน้ำระบายน้ำมูลฝอยที่มีความเข้มข้นเหมาะสมสามารถช่วยในการเจริญเติบโตของพืชได้

### ความเข้มข้นของออกซิเจน

Gendebien (1992) พบว่าก้าชที่แพร่จากพื้นที่ฝังกลบส่งผลทำให้รากพืชขาดออกซิเจน และยังช่วยกระตุ้นให้บริเวณรากผลิตสารประ躬บที่เป็นพิษต่อ เกิดสภาวะที่ไม่เหมาะสมต่อการเจริญเติบโตของพืช ในพื้นที่ลักษณะซีดเหลือง เนื่องจากคลอร็อกฟิลล์สังเคราะห์อาหารน้อยลง Maurice and Langerkvist (1997) รายงานว่า ความเข้มข้นออกซิเจนเหลือเพียงช่วงร้อยละ 5 – 10 ในพื้นที่ฝังกลบจะเริ่มส่งผลจะเริ่มส่งผลลบต่อการเจริญเติบโตของพืชในหน้าดินกลบทับมูลฝอย

### ความเข้มข้นของคาร์บอน ไดออกไซด์

การบอนไดออกไซด์เป็นปัจจัยสำคัญในการสังเคราะห์แสง โดยมีช่วงความเข้มข้นที่เหมาะสมประมาณ 0.04 – 2 เปรอร์เซ็นต์ อย่างไรก็ตามความเข้มข้นของการบอนไดออกไซด์ในพื้นที่ฝังกลบมูลฝอยมีปริมาณสูงมากซึ่งอาจส่งผลกระทบต่อพืช แม้ว่าปริมาณออกซิเจนในดินเพียงพอ ปริมาณความเข้มข้นการบอนไดออกไซด์มากกว่า 20 เปรอร์เซ็นต์ จะส่งผลลบต่อการสังเคราะห์แสงและระบบการหายใจของพืช Gendebien (1992)

## ความเข้มข้นของมีเทน

Flower *et al.*(1981) พบว่าปฏิกิริยาออกซิเดชั่นของก๊าซมีเทนช่วยกระตุ้นความต้องการก๊าซออกซิเจนของพืช เนื่องจากพืชต้องใช้พลังงานมากขึ้นในการขอนไชราก กล่าวโดยสรุปได้ว่าความเข้มข้นของออกซิเจน และการบ่อนไดออกไซด์มีผลต่อพืชโดยตรงมากกว่าก๊าซมีเทน โดยก๊าซมีเทนจะส่งผลกระทบอ้อมต่อพืช เนื่องจากปฏิกิริยาออกซิเดชั่น ของก๊าซมีเทน ทำให้ปริมาณออกซิเจนในดินน้อยลง ทำให้รากพืชขาดออกซิเจน นอกจากนี้ปฏิกิริยาออกซิเดชั่นนี้เป็นปฏิกิริยาถ่ายความร้อนทำให้ดินมีอุณหภูมิสูงขึ้น ทำให้เกิดสภาพที่ไม่เหมาะสมต่อการเจริญเติบโตของพืช (Gendebien, 1992 ; Leone *et al.*,1977; Moffat and Houston,1991) สำหรับในประเทศไทยได้มีการศึกษาของอนุชิต,2547 พบว่า ดินกลุ่มทับมูลฝอยมีความสามารถในการลดการแพร่ระบาดของก๊าซมีเทนได้แตกต่างกัน โดยพบว่ากลไกการลดการแพร่ระบาดของก๊าซมีเทนในหน้าดินร่วนปนทรายที่มีการปลูกพืชเกิดจากปฏิกิริยาออกซิเดชั่นของก๊าซมีเทน และกิตติพลด (2547) ทำการทดลองหน้าดินที่ปลูกหญ้าโคลสครอสตัวบัน้ำจะมูลฝอยที่มีความเข้มข้น 20% ในปริมาณ 200 มล. ทุก 4 วัน ส่งผลให้มีปฏิกิริยาออกซิเดชั่นของก๊าซมีเทนสูงสุด

## 6. การตรวจวัดมลพิษโดยใช้พืช (Bio monitoring)

สิ่งมีชีวิตที่มีความไวต่อการเปลี่ยนแปลง ต่อเงื่อนไขของสิ่งแวดล้อมเป็นพิเศษนี้ จะเรียกว่า สิ่งมีชีวิตบ่งชี้ในสิ่งแวดล้อม เช่น ในแม่น้ำ ทะเล ซึ่งส่วนใหญ่จะนำสัตว์ เช่น ปลา มาใช้เป็นสิ่งมีชีวิตบ่งชี้ แต่สำหรับสิ่งแวดล้อมบนบกนั้นมักจะใช้พืชเป็นสิ่งมีชีวิตบ่งชี้ ซึ่งสามารถทำได้สะดวกกว่าใช้สัตว์ เนื่องจากมลพิษอากาศ เริ่มมีการทดลองที่จะใช้พืชบ่งใช้ในการตรวจวัดมลพิษทางอากาศมากขึ้น

ในการกล่าวถึงระดับความปนเปื้อนโดยวิธีใช้สิ่งมีชีวิตจะเป็นแบบเชิงคุณภาพ (qualitative) ไม่สามารถแสดงผลเชิงปริมาณ เช่นเดียวกับเครื่องตรวจวัดตามหลักการทำงานฟิสิกส์ และเคมีได้ แต่สามารถเก็บข้อมูลการเพิ่มขึ้นของภาวะมลพิษสิ่งแวดล้อมในพื้นที่กว้างอย่างต่อเนื่อง และยาวนาน นอกจากนี้ยังตรวจวัดภาวะมลพิษเชิงช้อนในภาพรวมได้ ในการเลือกใช้พืชเป็นตัวชี้บ่งชี้มีประโยชน์ในการนำมาใช้จำแนกประเภทของสารมลพิษได้อีกด้วย

การใช้พีชบงช์เพื่อแสดงภาวะมลพิษอากาศนี้ ต้องสังเกตสภาพความเสี่ยหายนอกพีชบงช์ใช้เป็นดัชนีที่บ่งบอกความชำติในพื้นที่ซึ่งมีภาวะมลพิษ ซึ่งจะช่วยให้รู้ถึงระดับของมลพิษได้จาก การเปรียบเทียบกับพีชบงช์เดียวกันที่บ่งบอกในพื้นที่ซึ่งไม่มีมลพิษ หรือด้วยการนำพีชบงช์ที่เหมะสมซึ่งมีความไวต่อสารก่อมลพิษตามที่ต้องการเข้าไปปลูกโดยตรงหรือใส่กระถางนำไปวางในพื้นที่ที่มีปัญหาเพื่อทำการสังเกต (กรมโรงงานอุตสาหกรรม,2547)

การตรวจสอบโดยการวิเคราะห์ใบไม้พืชไม่มีระบบขับถ่ายในลักษณะเดียวกับสัตว์ เกื่อบไม่มีการขับสารมลพิษที่คุดซึมเข้าไปภายในลำต้นของการทางรากเลย โดยทั่วไปสารพิษส่วนใหญ่จะคงสะสมอยู่ในจุดที่คุดซึมเข้าไปหรือจุดใกล้เคียงการนำลักษณะเช่นนี้ของพืชมาใช้ ประโยชน์ก็คือ การวิเคราะห์องค์ประกอบทางเคมีของใบไม้ ซึ่งจะทำให้สามารถตรวจสอบสารมลพิษได้จากการเก็บรากและตัดใบมาใช้กับสารมลพิษได้ทุกชนิด โดยทั่วไปถ้ององค์ประกอบของสารที่ต้องการตรวจหาเป็นสิ่งแผลปลอมสำหรับพืชก็จะยิ่งทำให้ตรวจหาได้ง่าย และเป็นวิธีที่ใช้ได้ ตามปกติในพื้นที่ซึ่งมีภาวะมลพิษอากาศ จะมีการเก็บตัวอย่างใบพืชที่แสดงอาการของความเสี่ยหายนอกโดยใช้พีชบงช์เดียวกันในตระกูลเดียวกัน จากหลาย ๆ จุด เป็นจำนวนหลายร้อยกรัม โดยให้ครอบคลุมทั้งอายุของใบและตำแหน่งของใบบนต้น ขณะเดียวกัน ก็จะต้องมีการเก็บใบไม้ปกติจากพื้นที่ซึ่งไม่มีภาวะมลพิษ จำนวน 2-3 แห่งจากตำแหน่งเดียวกันบนต้นมาเป็นตัวอย่างสำหรับเปรียบเทียบด้วยจากนั้นก็นำตัวอย่างเหล่านี้ไปทำให้แห้งและบดเพื่อวิเคราะห์หา

ตัวอย่างเช่น พลูอโอลริดซึ่งมีการสะสมอยู่ในใบพืชเพียงเล็กน้อย ตามปกติจะมีค่าน้อยกว่าหลักสิบส่วนในล้านส่วน (ppm) องค์ประกอบที่ต้องการ สำหรับใบไม้แห้ง และมีลักษณะพิเศษคือ จะไปสะสมอยู่ที่ปลายใบและของใบในการตรวจหาสภาพสภาวะมลพิษอากาศเนื่องจากสารประกอบพลูอโอลริด โดยการนำไปไม้มวิเคราะห์องค์ประกอบสารพลูอโอลริดซึ่งมีประโยชน์มาก และการวิเคราะห์ใบไม้สำหรับกำมะถันซึ่งถึงแม้จะไม่สามารถวิเคราะห์ได้เท่าพลูอโอลริด แต่ก็สามารถนำมาใช้ประโยชน์ในการตรวจภาวะมลพิษอากาศที่เกิดจาก  $\text{SO}_x$  คลอรินและก๊าซคลอรินหรือไฮโดรเจนคลอไรด์ได้ นอกจากนี้การวิเคราะห์ใบไม้สำหรับกรณีที่สารมลพิษที่เป็นอนุภาคซึ่งรวมถึงโลหะหนัก เช่น แคนเดเมียมแมงกานีส ตะกั่ว มีการเกะติดที่ผิวใบหรือถูกดูดซึมเข้าไปในในการวิเคราะห์ใบไม้เพื่อตรวจหาสารโลหะหนักเหล่านี้ก็ทำได้ย่างมีประสิทธิภาพ

ตารางที่ 5 ผลความเข้มข้นของก๊าซต่อพืช

พืชที่ศึกษา	%O <sub>2</sub>	%CO <sub>2</sub>	%CH <sub>4</sub>	ผลกระทบต่อพืช
Apple tree	5 – 10	-	-	เจริญเติบโตช้า
Red raspberry	10	-	-	เจริญเติบโตช้า
Black raspberry	10	-	-	เจริญเติบโตช้า
Tomato (Lycopersicon esculentum)	-	18	-	ส่วนต่าง ๆ ของพืชเสียหาย
Tomato (Lycopersicon esculentum)	20	-	-	เจริญเติบโตผิดปกติ
Tomato (Lycopersicon esculentum)	7	-	-	เจริญเติบโตผิดปกติ
Tomato (Lycopersicon esculentum)	7	-	45	เจริญเติบโตผิดปกติ
Tomato (Lycopersicon esculentum)	7	34	-	พืชตาย
Tomato (Lycopersicon esculentum)	17	18	-	พืชตาย
Pea seed (Pisum sativum L.)	-	1	-	พืชตาย
Barley (Hordeum vulgare L.)	-	20	-	เจริญเติบโตผิดปกติ
Cotton seed	7.5	10	-	เจริญเติบโตผิดปกติ
Cotton seed	-	30 – 45	-	พืชตาย
Broad bean	-	5.5	-	ส่งผลต่อรากพืช
Kidney bean	-	5.5	-	ส่งผลต่อรากพืช
Red Maple (Acer rubrum)	3	40	50	เจริญเติบโตช้า
Sugar Maple (Acer rubrum)	3	40	50	เจริญเติบโตช้า
Cystisis racemosis	11.5	15	22	พืชตาย

ที่มา: Maurice and Langerkvist (1997)

## 7. การวัดอัตราการแพร่ระบาดของก๊าซชีวภาพในหลุมฝังกลบมูลฝอย

อัตราการแพร่ระบาดของก๊าซชีวภาพสามารถวัดได้หลายวิธี เช่น flux chamber method และ micrometeorological method แต่วิธีที่นิยมใช้ในการวัดอัตราการแพร่ระบาดของก๊าซที่เกิดจากหลุมฝังกลบมูลฝอย คือ วิธี flux chamber

flux chamber method ที่ใช้ในการวัดอัตราการแพร่ระบาดของก๊าซสามารถแบ่งได้ 2 แบบ (Hettiaratchi,1996) คือ open flux chamber method และ close flux chamber method

1) Open flux chamber or dynamic chamber เป็นวิธีการวัดอัตราการแพร่ระบาดของก๊าซโดยที่อากาศหรือก๊าซที่อยู่ภายนอก chamber ไหลเข้าและไหลออกใน chamber ได้ และทำการวัดความเข้มข้นของก๊าซและอัตราการไหลของก๊าซที่ไหลเข้าและออก การวัดอัตราการแพร่ระบาดของก๊าชนี้ สภาพของอากาศจะมีอิทธิพลในการวัดความเข้มข้นของก๊าซ เพราะฉะนั้นการเก็บตัวอย่างก๊าซเพื่อนำมาวิเคราะห์จะต้องเป็นวิธีหรือมีเครื่องมือเฉพาะ และการวัดต้องอาศัยข้อมูลที่ได้จากห้องปฏิบัติการ

ข้อดี สามารถเก็บข้อมูลได้ต่อเนื่อง ปรับสภาพภายใน chamber ให้มีสภาพใกล้เคียงกับสภาพภายนอก chamber

ข้อเสีย มีความไวต่อความดันที่เปลี่ยนไปใน chamber เนื่องจากก๊าซภายนอกที่เข้ามาทำให้ค่าที่วัดได้มีค่ามากกว่าความเป็นจริง (แก้โดยการเพิ่มขนาดของทางที่ก๊าซเข้าให้มีขนาดใหญ่กว่าทางที่ก๊าซออก) อุปกรณ์และค่าใช้จ่ายในการปฏิบัติการมีราคาสูง ต้องการข้อมูลจากห้องปฏิบัติการ เช่น ประสิทธิภาพการผสม อัตราการไหลของก๊าซในขณะเก็บก๊าซ

2) Close flux chamber or static chamber เป็นการวัดอัตราแพร่ระบาดจากการเปลี่ยนแปลงความเข้มข้นของก๊าซที่แพร่ออกมานอกจากก๊าซที่อยู่ภายนอก chamber ไม่สามารถถ่ายเทเข้ามาได้ เพื่อรับร่วมก๊าซ ความเข้มข้นของก๊าซที่เหมือนกันใน chamber จะเพิ่มขึ้น ทำการเก็บตัวอย่างก๊าซในช่วงเวลาต่าง ๆ ที่กำหนดเพื่อวิเคราะห์หาความเข้มข้นที่เปลี่ยนไป นำค่าที่ได้มาเทียบกับกราฟความสัมพันธ์ระหว่างความเข้มข้นและเวลา

ข้อดี สามารถวัดก๊าซได้ในกรณีที่ก๊าซมีปริมาณน้อย ไม่ต้องใช้พลังงานในการปฏิบัติการ สะดวกในการติดตั้งและเคลื่อนย้ายอุปกรณ์ ก๊าซที่อยู่ใน chamber จะไม่ถูกรบกวนจากก๊าซที่อยู่ภายนอกเกิดการผสมอย่างทั่วถึง สามารถตรวจวัดในพื้นที่ที่มีขนาดเล็ก

ข้อเสีย เกิดการเปลี่ยนแปลงความดันและอุณหภูมิของก๊าซในดินเนิ่องจากการฝัง chamber จะทำให้ผลการทดลองคลาดเคลื่อน อาจเกิดการปนเปื้อนหรือการผสมของก๊าซตรงรอยต่อระหว่าง chamber กับชั้นดินถ้าไม่มีการอุดรอยต่อให้ดี การที่ก๊าซถูกเก็บสะสมไว้ใน chamber ทำให้ความเข้มข้นของก๊าซเพิ่มมากขึ้นทำให้เวลาวัดความเข้มข้นของก๊าซเกิดการคลาดเคลื่อน

อัตราการแพร่ระบาดของก้าชจากหลุ่มฝังกลบมูลฝอยสามารถหาได้ โดยการนำ chamber มาฝังครอบตรงบริเวณที่ต้องการศึกษา ก้าชที่ระบบออกม่าจะสะสมอยู่ใน chamber และเก็บก้าชมาในช่วงเวลาที่กำหนดแล้วนำก้าชมาวิเคราะห์หาความเข้มข้น แล้วนำค่ามาคำนวณการเปลี่ยนแปลงความเข้มข้นกับเวลาดังแสดงภาพที่ 3 จะนั้นสามารถหาอัตราการระบาดของก้าชสามารถหาได้จากสมการต่อไปนี้ (Hettiaratchi, 1996)

$$F = \frac{\rho V \Delta C}{A \Delta t} \quad (1)$$

โดยที่

$F$  คือ อัตราของก้าชที่ระบาดออกม่าต่อพื้นที่ต่อเวลา,  $g/m^2.s$

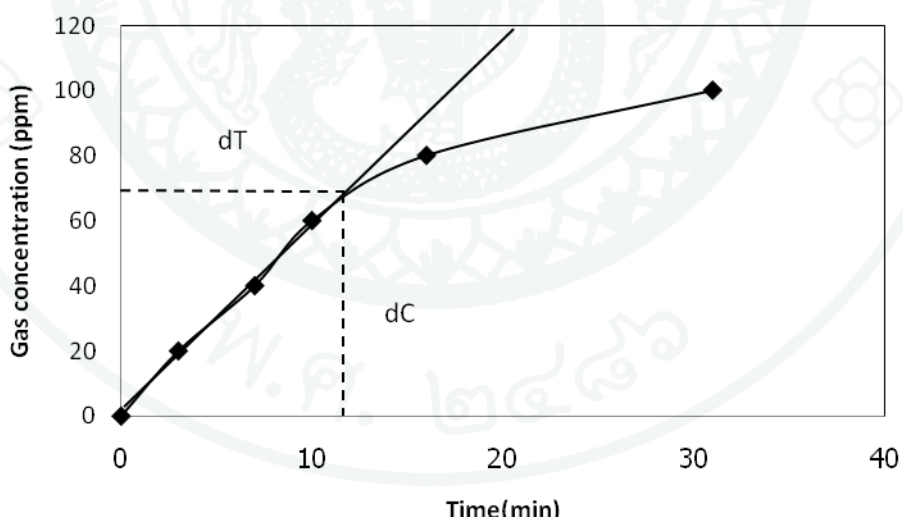
$\rho$  คือ ความหนาแน่นของก้าช,  $kg/m^3$

$V$  คือ ปริมาตรของ Chamber,  $m^3$

$A$  คือ พื้นที่หน้าตัดของ Chamber,  $m^2$

$\Delta C$  คือ ความเข้มข้นของก้าชที่เปลี่ยนแปลง, ppm

$\Delta t$  คือ ช่วงเวลาที่ใช้ในการเก็บตัวอย่างก้าช, s



ภาพที่ 3 กราฟความเข้มข้นมีเทนกับเวลา

ผลกระทบของอุณหภูมิที่มีต่อการวัดโดยใช้ close flux chamber สามารถแก้ไขได้โดยการทำที่บังಡเดกให้กับ chamber ส่วน Borjesson and Svensson(1997) พบว่า อุณหภูมิใน chamber เพิ่มขึ้นน้อยกว่า 1 องศาเซลเซียส ในการวัดวิธีดังกล่าว

Mathias *et al.*(1980) พบว่ากําชที่อยู่ใน chamber ผสมอย่างทั่วถึง โดยทดลองติดตั้งพัดลมขนาดเล็กไว้ใน chamber ในขณะอีกใบหนึ่งไม่ได้ติดพัดลมเมื่อนำกํามาวิเคราะห์ ปรากฏว่าไม่พบความแตกต่างกัน รอยต่อระหว่าง chamber กับหน้าดินเป็นจุดที่มีการระบุน้อยที่สุด หลักเดี่ยงไม่ได้ เพื่อเป็นการลดการระบุน้อย chamber ควรมีอัตราส่วนระหว่างพื้นที่กับเส้นรอบวงสูง chamber วงกลมให้อัตราส่วนดีที่สุดเมื่อเทียบกับทรงสี่เหลี่ยมหรือทรงสามเหลี่ยม (Maurice and Lagerkvist , 1998)

จากการทดลองโดยใช้วิธีต่างๆ ในการวัดปริมาณกํามีเทนที่ระบายออกมาจากหลุมฝังกลบมูลฝอยต่างๆ มีค่าอยู่ระหว่าง 0.003 ถึง 3000 กรัมต่อตารางเมตรต่อวัน (Lagerkvist ,1995 ; Bogner and Scott, 1995) ตารางที่ 6 สรุปการวัดการแพร่ระบายของมีเทนในพื้นที่ต่างๆ โดยวิธี close flux chamber

สุรัตน์(2546) ได้ศึกษาอัตราการแพร่ระบายของกํามีเทนและกําชคาร์บอนไดออกไซด์โดยวิธี close flux chamber ของหน้าดินชนิดต่างๆ ของสถานที่กำจัดมูลฝอยขององค์กรบริหารส่วนจังหวัดนนทบุรี อำเภอไทรน้อย จังหวัดนนทบุรี ระหว่างเดือนกรกฎาคมถึงเดือนธันวาคม 2545 (162 วัน) พบว่ากํามีเทนและกําชคาร์บอนไดออกไซด์ มีอัตราการแพร่ระบายอยู่ในช่วง 0-111.92 และ ช่วง 0-143.67 กรัมต่อตารางเมตรต่อวัน ตามลำดับ ทั้งนี้อัตราการแพร่ระบายของกํามีเทนและกําชคาร์บอนไดออกไซด์ของหน้าดินชนิดที่ 1-6 ซึ่งเป็นดินเหนียว พบว่ามีอัตราการแพร่ระบทั่วไป เท่ากับในกรณีที่หน้าดินแตกของหน้าดินชนิดที่ 2 ดินเหนียวครดด้วยน้ำ (C+W) สัปดาห์แรก ส่วนอัตราการแพร่ระบายของกํามีเทนและกําชคาร์บอนไดออกไซด์ของหน้าดินชนิดที่ 7-12 ซึ่งเป็นดินร่วนปนทราย พบว่า อัตราการแพร่ระบายของกํามีเทน ไม่แตกต่างกันเมื่อเทียบกับหน้าดินที่เป็นดินเหนียว แต่อัตราการแพร่ระบายกําชคาร์บอนไดออกไซด์ของดินร่วนปนทราย ส่วนใหญ่สูงกว่าดินเหนียว 2-3 เท่า

ตารางที่ 6 สรุปการวัดการแพร่ระบาดของมีเทนในพื้นที่ต่างๆ โดยวิธี close flux chamber

สถานที่	$CH_4 (g / m^2 / d)$		ขนาดของ Chamber	หน้าดินกลบหับ	ขนาดพื้นที่ (ha)
	ค่าเฉลี่ย	ค่าสูงสุด			
Hokhuvud, Swenden	0.013-7.68	18.43	สีเหลืองจักรัสด้าน ละ 27.5 cm	динร่วันปนทรราย	1.6
Schototen, Belgium	-0.005-0.914	-	เส้นผ่านศูนย์กลาง 15 cm , สูง 60 cm	динร่วันปนทรราย	0.5
Skellingsted, Denmark*	<0.192-9.6	72.57	เส้นผ่านศูนย์กลาง 60 cm , สูง 20 cm	-	-
Nashua Four Hills , USA	44.93	1494.9	สีเหลืองจักรัสด้าน ละ 60 cm	динร่วันปนดิน เหมียวและดิน ทรราย	35.5
UK , several sites*	0.8217	5.184	-	-	-
Martin Farm , UK*	21.8-39.9	-	-	-	-
Lulea , Swenden*	0-2.01	5.33	-	-	-
Schoten , Belgium*	0.007-0.92	-	เส้นผ่านศูนย์กลาง 15 cm , สูง 60 cm	динร่วันปนทรราย และ dinร่วันคลุม ด้วยหญ้า	เล็ก
Hogbytorp , Swenden	0.96	3.2	-	-	-
Malmo , Swenden	2.24	5.76	-	-	-
Helsingborg , Swenden	0.256	0.96	-	-	-
Nonthaburi	12.26	-	ปริมาตร 0.049	динเหมียว	เล็ก
	1.19	-	ลูกบาศก์เมตร	динร่วันปนทรราย	เล็ก

ที่มา: Boeckx and Cleemput(1996) ; Borjesson and Svensson(1997) ; Mosher *et al.* (1996); ศรีตัน(2546)

## 8. ประเภทของสารอินทรีย์ระเหย

ออกตามลักษณะของ โมเลกุล เป็น 2 กลุ่มใหญ่ ๆ คือ

1. Non-chlorinated VOCs หรือ Non-halogenated hydrocarbons ได้แก่ กลุ่ม ไอโอดีนรับอนระเหยที่ไม่มีชาตุคลอรีนในโมเลกุล ประกอบด้วย aliphatic hydrocarbons ( เช่น fuel oils, ก๊าซโซลิน(gasoline) ,hexane ,industrial solvents, ในอุตสาหกรรม alcohols, aldehydes, ketone,hexane) และกลุ่มสาร aromatic hydrocarbons ( เช่นสารตัวทำละลาย toluene, benzene, ethylbenzene, xylenes, styrene, phenol) สาร VOCs กลุ่มนี้มาจากการสิ่งแวดล้อม การเผาไหม้กองขยะ พลาสติก วัสดุ สารตัวทำละลาย สีทาวัสดุ เป็นต้น มีผลเสียต่อสุขภาพ ดังนี้ พนักงานดับเพลิง คนงานเผาขยะ คนเผาถ่าน มักป่วยด้วยโรค ทางเดินลมหายใจบ่อย เพราะได้รับ VOCs ประมาณ 144 ชนิด เป็นประจำจากควันไฟและเชื้อเพลิง ในรูปของ benzene, toluene, naphthalene propene, และ 1,3-butadiene, styrene และ alkyl-substituted benzene compounds อื่นๆ xylenes, 1-butene/2-methylpropene, propane, 2-methylbutane, ethylbenzene, naphthalene, isopropylbenzene รวมกันในปริมาณสูงถึงร้อยละ 76.8 ของ VOCs ทั้งหมดที่วัดได้ (Austin CC, Wang D.,2001)

2. Chlorinated Vocs หรือ halogenated hydrocarbons ได้แก่ กลุ่ม ไอโอดีนรับอนระเหยที่มีชาตุคลอรีนในโมเลกุล ได้แก่ สารเคมีที่สังเคราะห์ใช้ในอุตสาหกรรมสาร chlorinated VOCs นี้มีความเป็นพิษมากกว่าและเสถียรตัวในสิ่งแวดล้อมมากกว่าสารกลุ่มแรก (non-chlorinated VOCs) เพราะมีโครงสร้างที่มีพันธะระหว่างคาร์บอนและชาตุกลุ่มชาโลเจนที่ทนทานมาก ยากต่อการสลายตัวในธรรมชาติ ทางชีวภาพ ทางกายภาพ หรือโดยทางวิธีเคมีทั่วไป มีความคงตัวสูงและสะสมได้นาน สลายตัวทาง ชีวภาพได้ยาก รบกวนการทำงานของสารพันธุกรรม หรือ ยับยั้งปฏิกิริยาเคมีในเซลล์ และมีฤทธิ์ในการก่อมะเร็ง หรือกระตุ้นการเกิดมะเร็งได้ (Cockerham, LG,1994)

ตารางที่ 7 ตัวอย่างของ halogenated hydrocarbons ที่พบได้ในสิ่งแวดล้อม

สารอินทรีย์ระเหยที่พบในสิ่งแวดล้อม		
1,1,1,2-Tetrachloroethane	Bromofor	Glycerol trichlorohydrin
1,1,1-Trichloroethane	Bromomethane	Hexachlorobutadiene
1,1,2,2-Tetrachloroethane	Carbon tetrachloride	Hexachlorocyclopentadiene
1,1,2-Tetrachloroethane	Chlorodibromomethane	Hexachloroethane
1,1-Dichloroethane	Chloroethane	Methylene chloride
1,1-Dichloroethylene	Chloroform	Neoprene
1,2,2-Trifluoroethane (Freon 113)	Chloromethane	Pentachloroethane
1,2-Dichloroethane	Chloropropane	Perchloroethylene
1,2-Dichloropropane	Cis-1,2-dichloroethylene	Propylene dichloride
1,2-Trans-dichloroethylene	Cis-1,3-dichloropropene	Trichlorotrifluoroethane
1,3-cis-dichlor-1-propene	Dibromochloropropane	Monochlorobenzene
1,3-trans- dichlorpropene	Dibromomethane	Tetrachloroethylene (Perchloroethylene) (PCE)
1-chloro-2-propene	Dichlorobromomethane	Trichloroethylene (TCE)
2-butylene dichloride	Dichloromethane(DCM)	Vinyl chloride
Acetylene tetrachloride	Ethylene dibromide	Vinyl trichloride
Bromodichloromethane	Fluorotrichloromethane	Vinylidene chloride
	(Freon 11)	

ที่มา: Andelman (1985)

## 9. การเก็บตัวอย่างและการวิเคราะห์สารอินทร์ระเหย

### การเก็บตัวอย่างละวิเคราะห์ก๊าซในบรรยากาศ

การเก็บตัวอย่างก๊าซที่แหล่งแพร่ระบาด (source sampling) คือ การวัดความเข้มข้นของก๊าซจากกองมูลฝอย สามารถวัดได้หลายตำแหน่ง เช่น จากท่อระบายน้ำก๊าซ (passive vents) และใช้ probe วัดความเข้มข้นได้ผ่านกอง เป็นต้น โดยการเก็บตัวอย่างก๊าซจากระบบบรรจุรวมก๊าซแบบ active และ passive จะให้ข้อมูลองค์ประกอบของก๊าซซึ่งแตกต่างไปจาก องค์ประกอบที่แพร่ระษายสู่อากาศ เนื่องจากระบบรวมรวมก๊าซทั้ง 2 ระบบจะรวมรวมก๊าซจากหลายความลึกได้หลุมฝังกลบ ซึ่งก๊าซเหล่านี้จะไม่ผ่านกิจกรรมทางชีวภาพ ปฏิกิริยาทางเคมี และการคุดซับภายในหลุมฝังกลบ ดังนั้นการเก็บตัวอย่างก๊าซชีวภาพจากการบรรจุรวมจะมีปริมาณ มีเทน และก๊าซอื่นมากกว่า และเป็นที่ทราบดีว่า การเกิด methane oxidation ในช่องว่างของดิน ดังนั้นการเก็บตัวอย่างจากระบบรวมรวมก๊าซจะไม่ใช่ ประเมินค่าการแพร่ระษายของก๊าซชีวภาพสู่บรรยากาศ

อีกవิธี คือ การใช้ probe จุ่มลงไปในดิน เพื่อเก็บตัวอย่างและวิเคราะห์ ซึ่งจะเป็นตัวแทนองค์ประกอบก๊าซที่แพร่ระษายสู่บรรยากาศได้ดีกว่า สำหรับวิธีที่ยอมรับสำหรับการวัดองค์ประกอบและการวัดอัตราการแพร่ระษาย เช่น active collection system, static chamber method และ concentration gradient method เป็นต้น (Bogner *et al.*, 1997)

การวัดอัตราการแพร่ระษายของก๊าซในหลุมฝังกลบ LFG จาก active collection system สามารถทำได้ง่ายแต่จะไม่สามารถเป็นตัวแทนของก๊าซทั้งหมดที่ออกมานะแพร่ระษายจากหลุมฝังกลบ โดยการแพร่ระษายดังกล่าวได้รับอิทธิพลมาจากการใช้ปั๊มดูดอากาศจากภายในหลุมฝังกลบ ซึ่งจะควบคุมสภาวะสมดุลการระเหยของก๊าซ รวมทั้งปริมาตรของอัตราการแพร่ระษายจะไม่เป็นตัวแทนเนื่องจากไม่ผ่านการคุดซับ ปฏิกิริยาเคมี และกระบวนการย่อยสลายในหลุมฝังกลบ ซึ่งไม่มีในระบบ active collection system ทั้งนี้อัตราการแพร่ระษายจาก active collection system อาจเป็นตัวแทนของอัตราแพร่ระษายจากหลุมฝังกลบได้หากการเคลื่อนที่และการแพร่ระษายของก๊าซบริเวณผิวน้ำเป็นศูนย์

วิธี static chamber method จะมีความเหมาะสมและเป็นที่ยอมรับโดยทั่วไปในการวัดอัตราการแพร่ระษายโดยตรงที่ง่ายในการดำเนินงาน สามารถลดผลกระทบจากสิ่งรบกวนที่มาระบุ

แหล่งอื่น เช่น โรงงานไกล์เกียง หรือ ระบบบำบัดอื่น รวมทั้งการรับว่าไอลของก๊าซธรรมชาติอย่างไรก็ตามมีหลายวิธีในการวิเคราะห์อัตราการแพร่ระบาด การเลือกวิธีการจะอยู่บนพื้นฐานตามข้อกำหนด ความพร้อมของอุปกรณ์ โดยมีรายละเอียด ดังนี้

**ตารางที่ 8** วิธีการวัดองค์ประกอบและอัตราการแพร่ระบาดของก๊าซจากหลุมฝังกลบมูลฝอยชุมชน

วิธีการ	พารามิเตอร์	หลักการ
Active system	LFG Composition and Flux	ต้องเก็บและวิเคราะห์อัตราการไอล
Tracer Method	LFG emission rate from entire landfill	ต้องรู้อัตราการปลดปล่อย ( $Q_t$ ) ของ $SF_6$ หรือ $N_2O$ วัดความเข้มข้น $SF_6(C_t)$ และ $LFG(C)$ โดยใช้สูตร $Q_c = Qt^*(C/C_t)$
Static chamber method	Flux and LFG Composition	ต้องไม่มีการรับไอล วัด $dc/dt$ รู้ขนาดของ chamber จำนวนตัวอย่างมากกว่า 100 ชิ้นไป เสียบ probe ใต้ผิวกอง หรือ สายเก็บตัวอย่างแล้วนำไปวิเคราะห์
Below covers sample probe	LFG Composition	ต้องเก็บและวิเคราะห์ตัวอย่าง
Passive system sample ports	LFG Composition	ต้องเก็บและวิเคราะห์ตัวอย่าง
Micrometeorological	Flux across large surface area in a landfill	ต้องวัดความเร็วลมในแนวตั้ง , ความเข้มข้นขององค์ประกอบก๊าซที่แปรปรวนเหนือพื้นผิว , ใช้สมการทางคณิตศาสตร์ในการคำนวณอัตราการแพร่ระบาด วัด soil gas ที่ความลึกต่างๆ ( $dc/dx$ ) , Effective diffusion coefficient โดยใช้ Fick's law คำนวณอัตราแพร่ระบาด
Subsurface gradient technique	Measure flux and concentration	ต้องวัดความเร็วลมในแนวตั้ง , ความเข้มข้นขององค์ประกอบก๊าซที่แปรปรวนเหนือพื้นผิว , ใช้สมการทางคณิตศาสตร์ในการคำนวณอัตราการแพร่ระบาด วัด soil gas ที่ความลึกต่างๆ ( $dc/dx$ ) , Effective diffusion coefficient โดยใช้ Fick's law คำนวณอัตราแพร่ระบาด

ที่มา: Walkes *et al.*(1992) ; Eklund *et al.* (1998) ; Mosher *et al.* (1999) ; Bogner *et al.*(2000)

## วิธีการเก็บตัวอย่าง (sampling techniques)

การเก็บตัวอย่างก้าชแบ่งออกเป็น 2 ประเภท คือ Capture techniques และ concentration techniques (Rafson *et al.*,1998) โดยมีรายละเอียดดังนี้

1) Capture techniques ก้าชจะถูกเก็บบริเวณจุดทางออกที่ระบบรวบรวมก้าชจากห้องฟังกลบ วิธีนี้เหมาะสมสำหรับสารที่มีความคงตัวและมีความดันไอสูงที่อุณหภูมิปกติ สามารถเก็บก้าชในปริมาณมากและต่อเนื่องในหลายช่วงเวลา ซึ่งลดความผิดพลาดในการเก็บตัวอย่างและวิเคราะห์ในภาคสนาม ซึ่งวิธีนี้จะหลีกเลี่ยงขั้นตอนการดูดซับและการ sorption-desorption ช่วยลดการปนเปื้อน แต่อาจได้รับผลกระทบจากปฏิกิริยาการดูดซับของก้าชที่ผนังของภาชนะเก็บก้าชที่ผนังของภาชนะเก็บก้าช

2) Concentration techniques เป็นการเก็บตัวอย่างก้าชผ่านตัวกลาง(media) ซึ่งดูดซับสารที่ต้องการ ข้อดีของวิธีนี้เมื่อเทียบกับ capture techniques คือ ความเข้มข้นของสารจะถูกทำให้เพิ่มขึ้น (preconcentration) ซึ่งทำให้เพิ่มความสามารถที่จะตรวจพบก้าชที่ความเข้มข้นต่ำมากๆ มีหลายตัวกลางดูดซับที่สามารถใช้สำหรับเก็บตัวอย่าง ซึ่งมีข้อดีและข้อเสียแตกต่างกันไปดังนี้

- tenax เป็นตัวกลางที่เชื่อมั่นว่าเก็บตัวอย่างได้เมื่อความเข้มข้นต่ำมากๆ (Krost *et al.*,1982) เหมาะกับสารที่มี 6 คาร์บอนอะตอมหรือมากกว่า (Countant *et al.*,1986) และไม่เหมาะสมกับสารที่มีความสามารถระเหยได้สูง เช่น vinyl chloride และ methylene chloride รวมทั้งก่อให้เกิดสารอื่น เช่น benzaldehyde และ phenol ในหลอด ซึ่งต้องหา recovery ของสารและการสกัดสารต้องใช้ความร้อน (thermal desorption) โดยต้องใช้เครื่อง thermal desorptivon equipment

- porous polymers เป็นตัวกลางที่ดีและปลดปล่อยสารโดยปราศจากการเปลี่ยนแปลงของสาร มีหลายชนิด เช่น XAD resin และ GC column packing materials วิธีนี้เป็นวิธีพื้นฐานในการหาความเข้มข้นของสารจากการดูดซับ ซึ่งต่อมาก็ใช้ความร้อนในการสกัดสาร (thermal desorption)

- charcoal มีหลักการเหมือนกับ porous polymers ยกเว้นวิธีการสกัดสาร (desorption) ไม่เหมาะสมกับการสกัดด้วยความร้อน(thermal elution) เพราะไม่เลกูลมีแนวโน้มจะ

ถูกความร้อนทำลาย ไม่เลกุลที่ถูกดูดซับจะถูกชะล้างด้วยตัวทำละลาย เช่น carbon disulphide ตัวอย่างชนิดนี้ไม่เหมาะสมกับสารที่มีปริมาณต่ำ โดยทั่วไปใช้กับ VOCs ความเข้มข้นอยู่ในช่วง 1-100 ppm คือ ง่ายในการขนส่งและมีความสามารถในการดูดซับสูงเมื่อเทียบกับ porous polymers

- polyurethane foam เป็นทางเลือกหนึ่งของการเก็บตัวอย่าง ประเภท pesticides และ PCBs ซึ่งมีหลักการเหมือนกับ porous polymers ใน การดูดซับและสกัดสาร แต่จะมีความ เนไฟ้าะเจาะจงต่อชนิดของสารที่ต้องการเก็บ

- cryogenic techniques เป็นวิธีที่ใช้ในการเก็บสารในสภาพภาวะจุดเยือกแข็ง โดยท่อรูปด้า ย (U-shaped tube) ที่จุ่มอยู่ในน้ำแข็ง หรือ liquid nitrogen หรือ liquid helium โดยไม่เลกุลจะถูกเก็บในท่อ อย่างไรก็ตาม ถ้าแหล่งกำเนิดมีความชื้นสูง น้ำจะถึงจุดเยือกแข็งและทำให้ห่ออุดตัน จะทำให้กระบวนการเก็บตัวอย่างพิดพลาด(Rafson, 1998)

- impingers เป็นอุปกรณ์เก็บตัวอย่างที่มีของเหลวบรรจุภายใน สารที่ต้องการจะถูกเก็บ ในของเหลวสำหรับนำไปวิเคราะห์ อุณหภูมิที่คงที่ระหว่างการเก็บจะช่วยเพิ่มประสิทธิภาพการดูดซับ โดยของเหลวที่มักใช้ในการเก็บตัวอย่างสารอินทรีย์ระเหย จาก LFG คือ tetragylme ซึ่งจะถูกดูดซับใน tetragylme และจะถูกนำออกและแพร่กระจายในน้ำเมื่อต้องการวิเคราะห์ (Troost,1997) มีข้อเสีย คือ มีปริมาณของของเหลวมากซึ่งใช้ในการเก็บสารเป็นอย่างมาก โดยจะมีเส้นใย หรือ cellulose filter, porous polymers หรือตัวกลางอื่นที่จุ่มลงในสารละลายนี้ซึ่งมี ความเฉพาะเจาะจงกับสาร หรือกลุ่มของสารที่ต้องการเก็บ วิธีนี้นิยมใช้เมื่อต้องการหาสารเชิง คุณภาพมากกว่าเชิงปริมาณ เนื่องจากจะทำปฏิกิริยากับของเหลวทำให้เปลี่ยนสี ซึ่งจะเป็นตัวบอก ความเข้มข้นของสาร

- multisorbent systems เป็นตัวกลางหลายชนิดเรียงต่อกัน ใช้ดูดซับสารต่างชนิดกันกัน ได้ในช่วงกว้าง เช่น ใน multi-sorption systems มี tenax เป็นตัวกลางส่วนหน้า ต่อด้วย charcoal โดย tenax จะเก็บสารอินทรีย์ระเหยในปริมาณมาก และactivated charcoal เก็บส่วนที่ breaks through ซึ่งผ่านออกจาก tenax

นอกจากนี้ยังมีวิธีการวิเคราะห์ก้าชตัวอย่างในสนาม (field measurement techniques) ซึ่งเป็นวิธีการตรวจวัดการแพร่ระบาดของ VOCs โดยตรงและสามารถรู้ค่าได้ในสนามบริเวณแหล่งกำเนิด (ตารางที่ 9)

### การวิเคราะห์ตัวอย่างในห้องปฏิบัติการ (laboratory analytical methods)

วิธีการวิเคราะห์สารอินทรีย์ระเหยในห้องปฏิบัติการด้วยเครื่อง gas chromatography (GC) มีหลายวิธีขึ้นกับ detector ที่ใช้ โดยตัวอย่างจะถูกแยกด้วยเครื่อง gas chromatography (GC) ซึ่งมี detector หลายชนิดให้เลือกใช้ เช่น flame ionization detector (FID) ใช้แยกสารประกอบบางชนิดที่มีการอนุมัติโดย electron capture detector (ECD) และ mass spectrometry (MS) ซึ่งมีความสามารถในการวิเคราะห์สารได้หลายชนิด โดย mass spectrometry จะทำลายสารให้แตกตัวและระบุชนิดของสารโดยใช้คุณสมบัติเฉพาะตัว ซึ่งสามารถแยกและระบุสารได้มากกว่า 50,000 ชนิด โดยมีหลายหน่วยงานที่วิจัยและพัฒนาวิธีการใหม่ ๆ ในการเก็บตัวอย่างและวิเคราะห์สารอินทรีย์ระเหยในก้าชอยู่เสมอ เช่น US.EPA, NIOSH, และ OSHA เป็นต้น (ตารางที่ 10 )

ในอดีตมีรายงานพบอัตราการแพร่ระบาดของสารอินทรีย์ระเหย จากหลุมฝังกลบมูลฝอยไม่มีระบบควบคุมประมาณ  $4.18 \times 10^{-5}$  ถึง  $1.06 \times 10^{-3}$  กิโลกรัมต่อตารางเมตรต่อวัน ส่วนพื้นที่ที่มีระบบการควบคุมมีอัตราการแพร่ระบาดประมาณ  $1.30 \times 10^{-5}$  ถึง  $2.16 \times 10^{-4}$  กิโลกรัมต่อตารางเมตรต่อวัน(US.EPA,1987) ซึ่งนอกจากจะพบในหลุมฝังกลบแล้วยังสามารถพบสารอินทรีย์ระเหยบริเวณนอกพื้นที่ฝังกลบมูลฝอย และบางชนิดมีความเข้มข้นมากกว่าภายในบริเวณหลุมฝังกลบมูลฝอยอีกด้วย (Ward *et al.*, 1996) นอกจากนี้พบว่าในหลุมฝังกลบมูลฝอยของประเทศไทยจำนวน 7 แห่ง มีอัตราการแพร่ระบาดของสารอินทรีย์ระเหยประมาณ 10 ตันต่อปี โดยพบว่ามีสารอินทรีย์ระเหยมากกว่า 140 ชนิด ที่แพร่ระบาดออกมานะ เช่น กลุ่ม halogenated cycloalkanes และ ketones เป็นต้น (Allen *et al.*, 1997 ; Rettenberger and Stegmann, 1993 ; Eklund *et al.*, 1998)

### ตารางที่ 9 วิธีการตรวจสารอินทรีย์ระเหยในสนา�

วิธี	หลักการ
Organic Vapor Analyzer (OVA)	เป็น GC ที่ไม่มีคอลัมน์สำหรับแยก มีเพียง detector วัด Total organic vapors ทั้งหมด การใช้งานในสนาમง่ายและสะดวก เหมาะสำหรับพื้นที่มีการแพร่ระบาดของสารสูง Detection limit : เท่ากับ 500 ppb ซึ่งเหมาะสมกับการสำรวจในงานสุขศาสตร์อุตสาหกรรม (Industrial hygiene) ไม่เหมาะสมกับสถานการณ์ที่หากความสัมพันธ์ของกลิ่น
Absorption Tubes	เกิดปฏิกิริยาเคมีกับสารตัวกลางที่ดูดซับทำให้สีเปลี่ยน เหมาะกับการวิเคราะห์แบบกึ่งปริมาณ (semi quantitative analysis) ซึ่งมักใช้ในงานสุขศาสตร์อุตสาหกรรม
Portable GC and GC-MS	ประกอบด้วย (single electronics ; fewer bells and whistles) ต้องระมัดระวังในการเก็บตัวอย่าง และได้รับการอบรมจากผู้เชี่ยวชาญ เป็นอุปกรณ์ที่ติดอยู่บริเวณจุดแพร์รับบาย มักใช้กับการตรวจวัด ammonia , total organic หรือ hydrogen sulphide
Monitors	

ที่มา: Rafson (1998) ; Tebbett (1992)

ปัจจุบันบางประเทศในทวีปเอเชียเริ่มมีการศึกษาการแพร์รับบายของสารอินทรีย์ระเหยจากหلامฝังกลบมูลฝอยมากขึ้น เช่น ในกรุงโชล ประเทศไทย พบการแพร์กระจายของกลุ่ม aromatic hydrocarbon ได้แก่ benzene, toluene, ethylbenzene และ xylene (BTEX) ในบรรยากาศเหนือหلامฝังกลบมูลฝอย Nan-Ji-Do ในความเข้มข้นระดับ ppb (Kim *et al.*, 2002) ส่วนในเมืองหลวง ปารีส ประเทศฝรั่งเศส พบอัตราการแพร์กระจายของสารอินทรีย์ระเหยจำนวน 38 ชนิด ในฤดูหนาว และ 60 ชนิด ในฤดูร้อน บริเวณบรรยากาศเหนือหلامฝังกลบมูลฝอย Datianshan โดยกลุ่มหลักที่พบ คือ กลุ่ม aromatic hydrocarbon เช่นเดียวกันทั้ง 2 ฤดูกาล (Zou, 2003) สำหรับในประเทศไทยพบ chloroform, benzene, toluene และ PCE ในปริมาณที่ค่อนข้างมากและเด่นชัดจากพื้นที่กำจัดมูลฝอยของเปิด อบจ. นนทบุรี (อันชรี, 2547) ศึกษาอัตราการแพร์รับบายของสารอินทรีย์ระเหย ได้แก่ ไตรคลอโรเอทธิลีน เบนซิน โทลูอิน เอทิลเบนซิน และ ไซลิน จากหلامฝังกลบมูลฝอยขององค์การบริหารส่วนจังหวัดนนทบุรี พบว่า กองมูลฝอยเปิด มีอัตราการแพร์รับบายของสารอินทรีย์ระเหยในรูป ก้าชของเบนซินสูงที่สุด มีอัตราเฉลี่ย 160.74

กรรมต่อวัน ก้าชส่วนใหญ่ที่แพร่ระบาดออกสู่สาธารณะโดยตรงเป็นส่วนใหญ่ คือ เบนซิน เอธิลเบนซินและไชลิน มณีรัตน์ (2549)

#### 10. หลักการวิธีโคมท (comet assay or single cell gel electrophoresis assay)

วิธีโคมทเป็นวิธีหนึ่งที่ใช้เคราะห์การเปลี่ยนแปลงในระดับชีวโมเลกุล ผู้ริเริ่มใช้วิธีโคมทคนแรก คือ Ostling and Johanson (1984) ได้ทำการทดสอบในสภาพที่เป็นกลาง ต่อมาก็มีการพัฒนาโดย Singh *et al.* (1988) ซึ่งทำการทดสอบในสภาพที่เป็นด่าง ( $\text{pH} > 13$ ) ทำให้การทดสอบมีความไว (sensitivity) มากขึ้น และมีการปรับปรุงพัฒนาเรื่อยมาจนถึงปัจจุบันประโภชน์ในการนำมาใช้ตรวจสอบสารเคมีที่ทำให้เกิดอันตรายและแตก (DNA damage) สามารถใช้เป็นวิธีทดสอบเบื้องต้น (screening test of mutagen and carcinogen) ทำได้ทั้งในเซลล์พืชและเซลล์สัตว์ ข้อดีของวิธีโคอมท คือ เป็นการทดสอบที่ไม่ยุ่งยากมาก ทำได้รวดเร็วมีความไวสูง ใช้ตัวอย่างเซลล์เพียงเล็กน้อย และทดสอบกับเซลล์ยุงคาโร ไอต ได้เกือบทุกชนิด (McCarthy *et al.*, 1997)

วิธีการทดสอบ ทำได้โดยการใช้สารเคมีที่มีความเข้มข้นสูงในการสกัดเซลล์ จากนั้นทำให้ดีเอ็นเอคลายเกลียวออกจากกัน (DNA unwinding) ด้วยสารละลายที่เป็นด่างแก่ และนำไปผ่านสนามไฟฟ้าที่มีสารละลายด่างเป็นตัวกลาง ทำการวิเคราะห์โดยอาศัยความแตกต่างในการเคลื่อนที่ของโมเลกุลดีเอ็นเอในสนามไฟฟ้า ทั้งดีเอ็นเอซึ่งมีประจุลบจะวิ่งไปทางขั้นบวก ดีเอ็นเอที่ถูกทำลายจะมีขนาดเล็กกว่า สามารถวิ่งในสนามไฟฟ้าได้เร็วกว่า จะกระจายตัวไปส่วนหาง (tail) ดีเอ็นเอที่ไม่ถูกทำลายจะมีขนาดใหญ่จะจับกลุ่มรวมตัวกันที่ส่วนหัว (head) เมื่อย้อมด้วยสารเรืองแสงฟлуออเรสเซนต์ แล้วมองผ่านกล้องจุลทรรศน์จะเห็นเซลล์ของดีเอ็นเอที่ถูกทำลาย มีลักษณะคล้ายดาวหาง ความยาวของเซลล์จะขึ้นกับดีเอ็นเอที่ถูกทำลายในเซลล์ ถ้าเซลล์มีดีเอ็นเอถูกทำลายมากเซลล์นั้นจะทำให้มีส่วนหางยาวมาก เซลล์ดีเอ็นเอใดที่ไม่ถูกทำลายก็จะไม่มีส่วนหาง (Gichner, 2003)

### ตารางที่ 10 วิธีการวิเคราะห์สารอินทรีย์ระเหยในอากาศ

วิธี	สาร	การเก็บและวิเคราะห์ตัวอย่าง
EPA.TO-01	เหมาะกับ aromatics และ chlorinated compounds ที่มีการบ่อนองอะตอนมากกว่า 6 อุณหภูมิของแหล่งเพริ่งภายในต้องไกล์คีบงบรรยายกาศ จุดเดือดของสารที่คุณชั้นอยู่ในช่วง 80-200°C	Tenax adsorption & GC-MS
EPA.TO-02	เหมาะกับ highly volatile และ non-polar organics จุดเดือดของสารที่คุณชั้นอยู่ในช่วง -15-120°C	Carbon molecular sieve adsorption & GC-MS
EPA.TO-05	Aldehyde & Ketones ในบรรยายกาศที่มีอุณหภูมิสูงกว่าบรรยายกาศถ้าแหล่งเพริ่งบรรยายมีความเข้มข้น aldehydes สูง มากใช้วิธี EPA 0011 method	Impingers filled with dinitrophenylhydrazine collection & HPLC
EPA.TO-06	Phosgene ในบรรยายกาศ	Midget impinger filled with aniline/toluene for collection & HPLC
EPA.TO-07	N-Nitrosodimethylamine ในบรรยายกาศ ซึ่งใช้ solvent, thermal, หรือ ใช้อุณหภูมิของ GC column 77 K ในการสกัด	Porous polymer & GC
EPA.TO-08	Phenol และ Methyl Phenol ในบรรยายกาศที่มีความเข้มข้นระหว่าง 1-5 ppb	Midget impinger filled with sodium hydroxide & HPLC
EPA.TO-11	Formaldehyde, aldehydes และ ketons ในบรรยายกาศโดยเฉพาะ aldehydes ที่มีความเข้มข้นสูง	Impingers filled with dinitrophenylhydrazine collection & HPLC
EPA.TO-14	ไม่เหมาะกับแหล่งเพริ่งที่มีอุณหภูมิสูง เพราะจะเกิดการควบแน่นของโอมากลุ่มที่อุณหภูมิต่ำและล้มเหลวในการเคลื่อนย้ายของตัวอย่างที่จะวิเคราะห์โดยใช้อุณหภูมิของ GC column 77°K ในการสกัดซึ่งต้องแยกสารหลายชนิด	Summa Polished Canister sampling & GC

### ตารางที่ 10 (ต่อ)

วิธี	สาร	การเก็บและวิเคราะห์ตัวอย่าง
NIOSH 1501	Aromatic Hydrocarbon ในบรรยายกาศ นิยมใช้ในงานสุขศาสตร์อุตสาหกรรม โดยใช้ Sampling Pump ดูดอากาศผ่านตัวคัดซับและสกัดด้วยตัวทำละลาย	Solid Sorbent Tube & GC/FID
NIOSH 1007	Vinyl Chloride ในบรรยายกาศ นิยมใช้ในงานสุขศาสตร์อุตสาหกรรม โดยเฉพาะการวัดปริมาณความเข้มข้นในสถานที่ทำงาน	Solid Sorbent Tube & GC/FID

ที่มา: ดัดแปลงจาก Rafson (1998)

#### ปัจจัยการเคลื่อนที่ของดีเอ็นเอ ดังนี้

ขนาดของดีเอ็นเอ พบว่า ดีเอ็นเอขนาดใหญ่จะผ่านเจลได้ช้ากว่าดีเอ็นเอขนาดเล็ก ดังนั้น ในเวลาเท่ากันและสภาวะเดียวกันดีเอ็นเอขนาดใหญ่จะเคลื่อนที่ได้ช้ากว่าดีเอ็นเอขนาดเล็ก

รูปร่างของดีเอ็นเอ (conformation of DNA) ดีเอ็นเอที่มีรูปร่างที่ต่างกันแม้จะมีนิวรังษ์ไม่แตกต่างกัน เช่น รูปร่างเป็นวง (super helical circular) เคลื่อนที่ได้เร็วกว่าดีเอ็นเอที่มีรูปร่างเป็นเส้น (linear DNA) และดีเอ็นเอที่มีรูปร่างเป็นเส้นจะเคลื่อนที่ได้เร็วกว่าดีเอ็นเอที่คลายเกลียว (open circular or Nick circular DNA)

ความเข้มของเจล (gel concentration: pore size of the gel) เจลที่มีความเข้มข้นสูง จะมีช่องระหว่างโมเลกุล (pore) น้อย ทำให้ดีเอ็นเอเคลื่อนที่ผ่านได้ช้ากว่าเจลที่มีความเข้มข้นต่ำ ดังนั้นเจลที่มีความเข้มข้นสูงจะหมายความว่าเจลที่มีความสามารถในการเข้าสู่โมเลกุลของดีเอ็นเอต่ำ แต่เจลที่มีความเข้มข้นต่ำจะหมายความว่าเจลที่มีความสามารถในการเข้าสู่โมเลกุลของดีเอ็นเอสูง ดังแสดงใน(ตารางที่ 11)

ความต่างศักย์ไฟฟ้า (applied voltage) อัตราการเคลื่อนที่ของดีอีนอาจเป็นสัดส่วนโดยตรงกับความต่างศักย์ไฟฟ้า ในสภาวะที่ความต่างศักย์ไฟฟ้าต่ำๆ ดีอีนอาจเคลื่อนที่เร็วขึ้นเมื่อความต่างศักย์ไฟฟ้ามากขึ้น (ประมาณ 1 โวลต์ต่อเซนติเมตร) แต่ถ้าใช้ความต่างศักย์สูงขึ้น การเคลื่อนที่ของดีอีนอาจไม่เลกุดใหญ่ๆ จะเพิ่มมากกว่าพวกรึมีขนาดไม่เกิน 2 กิโลเมตร การใช้ความต่างศักย์ต่ำๆ คือ ไม่เกิน 5 โวลต์ต่อเซนติเมตร

ทิศทางของกระแสไฟฟ้า (direction of the electric field) ดีอีนอาจมีขนาดอยู่ในช่วงไม่เกิน 100 กิโลเมตร จะเคลื่อนที่ด้วยอัตราเร็วเดียวกันถ้าอยู่ในสถานที่ที่มีทิศทางเดียวกันและคงที่

ส่วนประกอบของเบสและอุณหภูมิ (base composition and temperature) พบว่า ส่วนประกอบของเบสและอุณหภูมิไม่มีผลอย่างมีนัยสำคัญต่อการเคลื่อนที่ของดีอีนอาจในอัตราเร็วเดียวกันถ้าอยู่ในช่วงอุณหภูมิ 4 – 30 องศาเซลเซียส ดังนั้นจึงมักทำที่อุณหภูมิห้อง แต่อัตราเร็วที่มีความเข้มข้นน้อยกว่าร้อยละ 0.5 จะมีความหนาแน่นน้อยส่งผลต่อการเคลื่อนที่ของดีอีนอาจในขณะทำการผ่านกระแสไฟฟ้าที่อุณหภูมิห้อง ดังนั้นการผ่านกระแสไฟฟ้าจึงควรทำที่อุณหภูมิ 4 องศาเซลเซียส จะช่วยให้เจลแข็งขึ้น มีความหนาแน่นมากขึ้น ทำให้การเคลื่อนที่ของดีอีนอาจช้าลง

บัฟเฟอร์ (buffer) การเคลื่อนที่ของดีอีนอาจในสถานที่ที่มีทิศทางเดียวกัน ของบัฟเฟอร์ ถ้ามีการเตรียมความเข้มข้นของบัฟเฟอร์ติด เซน เลือจามาก ตัวนำกระแสไฟฟ้าจะนำกระแสไฟฟ้าได้ไม่ดี และดีอีนอาจเคลื่อนที่ได้ช้ามาก และในกรณีที่เตรียมความเข้มข้นของบัฟเฟอร์ สูงมากเกินไป จะทำให้การนำกระแสไฟฟ้ามีประสิทธิภาพดี แต่ความร้อนจะเพิ่มมากจนเจลคละลายและดีอีนอาจสูญเสียธรรมชาติ บัฟเฟอร์ที่ใช้ต้องปรับ pH ให้สองขั้วเท่ากัน เพราะเมื่อทำการผ่านกระแสไฟฟ้าไประยะหนึ่ง ขั้วนอกมักจะมีค่า pH สูงขึ้นและขั้วนอกจะมีค่า pH ต่ำลง ดังนั้น จึงนิยมใช้บัฟเฟอร์ที่มีความจุสูง (buffer capacity) บัฟเฟอร์ที่นิยมใช้ในกระบวนการผ่านกระแสไฟฟ้า ประกอบด้วย EDTA กับ TSIS-acetate (TAE) หรือ TRIS-borate (TBE) ที่ pH ประมาณ 7.5 – 8.0 บัฟเฟอร์มีหลายชนิด และมักเตรียมในรูปสารละลายที่มีความเข้มข้นสูงกว่าความเข้มข้นที่ใช้จริง 10 เท่า เมื่อต้องการใช้จึงนำมาทำให้เจือจางให้ได้ความเข้มข้นปกติ

ตารางที่ 11 ขนาดของดีอีนเอกับความเข้มข้นของอะกาโรสเจลที่เหมาะสม

ความเข้มข้นของ อะกาโรสเจล (%)	ขนาดของดีอีนเอ (กิโลกรัม)
0.3	5 – 60
0.6	1 – 20
0.7	0.8 – 10
0.9	0.5 – 7
1.2	0.4 – 6
1.5	0.2 – 3
2.0	0.1 – 2

ที่มา: ศิริพร (2531)

### การเลือกใช้บัฟเฟอร์ชนิดใดขึ้นอยู่กับบัฟเฟอร์ชนิดนั้นๆ ดังนี้

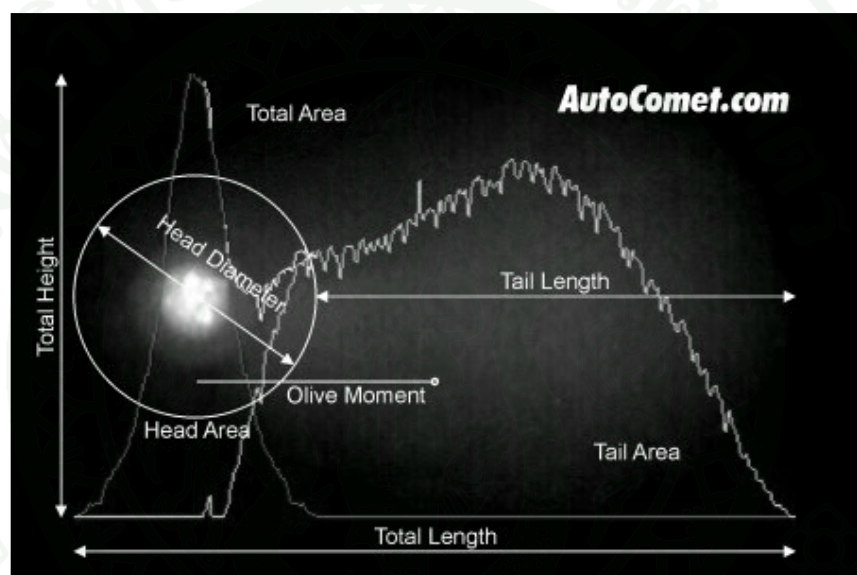
TSIS-acetate (TAE) เป็นบัฟเฟอร์ที่มีความจุต่ำ แต่นิยมใช้กันมาก ดังนั้นระหว่าง electrophoresis ต้องค่อยผสมบัฟเฟอร์ระหว่างชั้วทั้งสองให้เข้ากัน การเก็บบัฟเฟอร์ให้ได้นาน ต้องนำไปปั่นง่า เชื้อก่อโรค และเก็บในอุณหภูมิ 4 องศาเซลเซียส เพราะจุลินทรีย์จะสามารถเจริญเติบโตได้

TRIS-borate (TBE) เป็นบัฟเฟอร์ที่มีความจุสูง แอบดีอีนเอที่แยกได้จะคมชัดและเล็ก เมื่อเตรียมที่ความเข้มข้น 10 เท่า สามารถเก็บได้ที่อุณหภูมิห้องเป็นเวลานาน โดยไม่มีจุลินทรีย์เจริญเติบโต เนื่องจากมี boric acid เป็นตัวขับยับการเจริญของเชื้อ

### การวิเคราะห์เซลล์ที่ได้จากการทดสอบ

เปรียบเทียบการวัดขนาดของเซลล์ที่ได้จากการทดสอบโดยคอมพิวเตอร์ software image analysis และ manual image analysis โดยใส่ hydrogen peroxide ในเซลล์ 707 FEL ที่อุณหภูมิ 4 องศาเซลเซียส เป็นเวลา 30 นาที เพื่อให้ดีอีนเอเกิดการแตกหัก แล้วนำมาทดลองตามขั้นตอนของการทดสอบโดยคอมพิวเตอร์ ตรวจวิเคราะห์เซลล์จำนวน 50 เซลล์ ด้วยกล้องจุลทรรศน์ฟลูออเรส

เช่นต์ McCarthy *et al.*(1997) แล้วใช้ (1) software image analysis ในการวิเคราะห์ร้อยละ head DNA , % tail DNA, tail length, tail length/head radius (L/H) และ tail moment ดังแสดงในภาพที่ 4 manual image analysis ถ่ายภาพเซลล์แล้วนำมามาวัดเส้นผ่าศูนย์กลางส่วนหัวของเซลล์ ความยาวตั้งแต่หัวจรดหาง และส่วนหาง ผลปรากฏว่าทั้งสองวิธีให้ผลที่ดี เชื่อถือได้และไม่แตกต่างกัน แต่วิธี manual image analysis มีข้อเสีย คือ การทำซ้ำยากและใช้เวลามาก ซึ่งในแต่ละระดับการถูกทำลายดีอีนของเซลล์ที่แตกต่างกัน พบร่วงภาพของเซลล์โโคเมทจะมีลักษณะแตกต่างกัน



ภาพที่ 4 การวิเคราะห์ภาพเซลล์โโคเมท

ที่มา: TriTek Corporation.(2007)



ภาพที่ 5 ขั้นตอนทั่วไปของการทดสอบด้วยวิธีโโคเมท ประกอบด้วย 6 ขั้นตอนหลัก

ที่มา: ศิริพร (2531)

การตรวจวิเคราะห์เซลล์โคมท์ด้วยกล้องจุลทรรศน์ฟลูออเรสเซนต์ที่มีฟิลเตอร์สำหรับกระตุ้นสารฟลูออเรสเซนต์ (excitation filter) ความยาวคลื่น 515 นาโนเมตร และมีฟิลเตอร์สำหรับป้องกันผลกระทบจากฟลูออเรสเซนต์ (barrier filter) ความยาวคลื่น 590 นาโนเมตร ข้อมูลนิวเคลียสของเซลล์ด้วยเอชีเดียม บอร์ไนค์นั้น ทำได้ 4 วิชี คือ (Speit *et al.*, 1998)

- นับจำนวนเซลล์ที่มีหาง (tail) และเซลล์ที่ไม่มีหาง

- ประเมินเซลล์เป็น 5 ระดับตามความยาวของหาง คือ 0, 1, 2, 3, 4 โดย 0 หมายถึง เซลล์ที่ไม่มีหาง 4 หมายถึง เซลล์ที่มีหางยาวที่สุด ทำการประเมินอย่างน้อย 50 เซลล์ และนับคะแนนจากระดับคุณด้วยจำนวนเซลล์ นำคะแนนแต่ละระดับมารวมกันในการประเมิน 50 เซลล์ และนับคะแนนจากการดับศูนย์ด้วยจำนวนเซลล์ นำคะแนนแต่ละระดับมารวมกันในการประเมิน 50 เซลล์ จะได้คะแนนต่ำสุดเป็น 0 และคะแนนสูงสุด เป็น 200

- วัดความยาวของเซลล์โดยใช้ eyepiece micrometer วัดความยาวของเซลล์ตั้งแต่หัวจรดหาง โดยมีหน่วยความยาวเป็นไมโครเมตร วัดอย่างน้อย 50 เซลล์

- ใช้เครื่อง image analyzer ที่เชื่อมต่อกับ CCD camera วัดเส้นผ่าศูนย์กลางของส่วนหัวของเซลล์ (head diameter) ความยาวของหาง (tail length) ความเข้มของหาง (tail intensity) พื้นที่ส่วนหัว (head area) พื้นที่ส่วนหาง (tail area) และ tail moment (DNA migration x tail intensity) แต่ละ image analysis systems อาจใช้พารามิเตอร์ที่แตกต่างกัน

ในการคำนวณระดับการถูกทำลายดีเอ็นเอของแต่ละเซลล์ตัวอย่าง ทำได้โดยคำนวณจากสมการ (Sriussadaporn *et al.*, 2003)



$$\text{ระดับการถูกทำลายดีอีนเอ} = \frac{\sum_{i=1}^n \left( \frac{T}{T+H} \right)_i}{\sum_{i=1}^n \left( \frac{T}{T+H} \right)_{i,\max}} \quad (2)$$

โดยที่

T คือ พื้นที่ส่วนหางของเซลล์โคเมท

H คือ พื้นที่ส่วนหัวของเซลล์โคเมท

i คือ ลำดับของภาพเซลล์โคเมท

n คือ จำนวนภาพเซลล์โคเมททั้งหมด

$\sum_{i=1}^n \left( \frac{T}{T+H} \right)_i$  คือ ผลรวมของสัดส่วนการเคลื่อนที่ของดีอีนเอจากภาพเซลล์โคเมท  
จำนวน n ภาพ

$\sum_{i=1}^n \left( \frac{T}{T+H} \right)_{i,\max}$  คือ ผลรวมของสัดส่วนการเคลื่อนที่ของดีอีนเอที่มีค่ามากที่สุด  
จากภาพเซลล์โคเมทจำนวน n ภาพ

ในกรณีที่มีพื้นที่ส่วนหางมากเนื่องจากมีการทำลายดีอีนเอมาก ( $T >> H$ )

$$\sum_{i=1}^n \left( \frac{T}{T+H} \right)_{i,\max} \cong n$$

ดังนั้น

$$\text{ระดับการถูกทำลายดีอีนเอ} = \frac{\sum_{i=1}^n \left( \frac{T}{T+H} \right)_i}{n} \quad (3)$$

## การใช้วิธีโคมทในงานวิจัยที่ผ่านมา

### การศึกษาในประเทศไทย

การศึกษาปัจจัยที่มีผลต่อการใช้เทคนิค DNA comet assay เพื่อใช้ในการตรวจสอบเม็ดถั่วเขียวที่ผ่านการฉายรังสีแกรมมาโดยเน้น 2 ปัจจัยหลัก ได้แก่ ปริมาณ ตัวอย่าง และเวลาที่ใช้ย่อยเซลล์ โดยนำเมล็ดถั่วเขียวหนัก 300 และ 450 มิลลิกรัม มาฉายรังสีแกรมมาจากต้นกำนันครั้งสีซีเซียม-137 ให้ได้ปริมาณรังสีดูดคลื่น 0 , 0.5 , และ 1 กิโลกรัม แล้วข้อมูลสีไลด์ด้วยเทคนิค silver staining ผลจากการตรวจสอบสไลด์ด้วยกล้องจุลทรรศน์ชนิด transmission พบว่า ในสภาวะที่ใช้ตัวอย่างถั่วเขียวหนัก 450 มิลลิกรัม เวลาอยู่นาน 30 นาที สำหรับเมล็ดถั่วเขียวจากฉายรังสี จะมองเห็นชิ้นส่วนของดีเอ็นเอเคลื่อนที่ไปยังขี้วัวโโนดมีลักษณะคล้ายดาวหาง และความยาวของส่วนหางจะเพิ่มขึ้นตามปริมาณรังสี สำหรับตัวอย่างเมล็ดถั่วเขียวที่ไม่ได้ผ่านการฉายรังสี (control) พบว่า เซลล์ส่วนใหญ่มีลักษณะคลื่นข้างกลมหรือมีเพียงหางสั้นๆ สรุปว่า สภาวะดังกล่าวเป็นสภาวะที่เหมาะสมสำหรับใช้ตรวจสอบเม็ดถั่วเขียวจากฉายรังสีด้วยเทคนิค DNA comet assay วันวิสาและคณะ(2549)

มีการศึกษาผลผลกระทบของสารกำจัดศัตรูพืชก่อกลุ่มօร์แกโนฟอสฟอรัสต่อสัตว์น้ำ โดยทดสอบความเป็นพิษของคลอร์ไพริฟอสต่อเซลล์เม็ดเลือดกุ้งกุ้ล่าดำ ด้วยวิธีซิงเกิลเซลล์เจลオリเอตโต�퍼อเรชิส หรือ วิธีโคมท ผู้วิจัยได้นำเซลล์เม็ดเลือดจำนวน  $10^4$  เซลล์มาทดสอบทดสอบเป็นเวลา 6 ชั่วโมง พบว่ามีการเพิ่มขึ้นของเทลล์โนเมนตอย่างมีนัยสำคัญที่ความเข้มข้น 0.05 และ 0.25 ไมโครกรัมต่อลิตร ของสารละลายน้ำคลอร์ไพริฟอสเมื่อเปรียบเทียบกับกลุ่มควบคุม นอกจากนั้นยังพบว่า ความรุนแรงของการทำลายดีเอ็นเอเพิ่มขึ้นตามความเข้มข้นของสารละลายน้ำจากการทดลอง สรุปได้ว่าคลอร์ไพริฟอสเป็นพิษต่อเซลล์เม็ดเลือดกุ้งกุ้ล่าดำ ทั้งนี้ยังคงต่อไป(2550)

มีการใช้วิธีไนโตรนิวเครียสและโคอมทในการทดสอบความเป็นพิษของสารสีที่ได้จากการเพาะเลี้ยงหัวร่างเงิน รังทอง และรังนาก พบว่า เมื่อทำการสกัดสารสีด้วยอะซีโตนและระเหยให้อยู่ในรูปผง นำสารสีมาทดสอบความเป็นพิษด้วยการทดสอบไนโตรนิวเครียสจาก reticulocyte ในกระเพาะเลือดของหนูมาส์และการทดสอบโคอมทจากกลิ่นไฟไซด์ของคนหลังจากป้อนสารสี 1 กรัมต่อกิโลกรัมน้ำหนักหนูให้หนูเป็นเวลา 24 , 48 , 72 และ 96 ชั่วโมงแล้วพบว่าจำนวน

reticulocyte ที่มีไมโครนิวเคลียสแตกต่างจาก negative control อย่างไม่มีนัยสำคัญ ในการทรีต เลือดของคนด้วยสารสีความเข้มข้น 0.3 , 0.7 และ 1.4 มิลลิกรัมต่อมิลลิลิตรเลือด เป็นเวลา 3 ชั่วโมง เพื่อศึกษาเส้นผ่าศูนย์กลาง ความยาวทาง และ โมเมนต์ทางของเซลล์โคมะทันพบว่า มีเพียงกลุ่มไฟไซต์ที่ทรีตด้วยสารสีจากการนากความเข้มข้น 1.4 มิลลิกรัมต่อมิลลิเมตรเลือดเท่านั้นที่ DNA มี ความเสียหายและมีค่าโมเมนต์ทางแตกต่างจาก solvent control และ negative control อย่างมี นัยสำคัญ ส่วนทรีตเมนต์อื่นของสารสีไม่เป็นพิษต่อลิมไฟไซต์ มนธิรา (2550)

และมีการศึกษาการทำลายดีเอ็นเอของพืชเมียนนาโน้มสูงขึ้นเมื่อพืชได้สัมผัสก้าชชีวภาพที่มี ความเข้มข้นสูงมากขึ้นและมีระยะเวลาในการสัมผasmากขึ้น พบรดับการถูกทำลายดีเอ็นเอของใบ พลูด่างสูงสุดเท่ากับร้อยละ  $62 \pm 0.20$  ที่ระดับความเข้มข้นของมีเทนในบรรยากร้อยละ 10 ที่มี ระยะเวลาสัมผัส 288 ชั่วโมง และเมื่อเปรียบเทียบระดับการถูกทำลายดีเอ็นเอของใบพลูด่าง ในแต่ ละระดับความเข้มข้นของมีเทนพบว่ามีความแตกต่างกันอย่างมีนัยสำคัญทางสถิติ และแตกต่างกัน มากที่สุด ที่ระยะเวลาสัมผัส 72 ชั่วโมง ( $p<0.05$ ) เมื่อเปรียบเทียบพืชที่ใช้ทดสอบห้องสมนัก พบร 乎ุ้โโคสครอส เป็นพืชที่เหมาะสมในการใช้เป็นดัชนีชี้วัดผลกระทบจากพื้นที่ฝังกลบมูลฝอย การ ทดสอบด้วยน้ำชา มูลฝอย พบร แนวโน้มของการทำลายดีเอ็นเอมีทิศทางเดียวกันกับก้าชชีวภาพ แต่เมื่อระดับการทำลายต่างกันกว่าที่ระยะเวลาสัมผัสใกล้เคียงกัน โดยที่น้ำชา มูลฝอยลดให้ระดับการทำ ลายดีเอ็นเอสูงกว่าน้ำชา มูลฝอยเท่าที่ค่าความเข้มข้นของซีโอดีเท่ากัน ผลที่ได้จากการวิจัย สรุป ได้ว่า วิธีโคอมะทในพืชสามารถนำมาใช้เป็นเครื่องมือในการติดตามและบอกระดับของผลกระทบต่อ ลิงมีชีวิตเนื่องจากก้าชชีวภาพและน้ำชา มูลฝอยได้ดี ประดิษฐา (2551) ซึ่งการศึกษาในครั้งนี้เป็น การศึกษาต่อจากการศึกษานี้

### การศึกษาในต่างประเทศ

มีการศึกษาความเป็นไปได้ในการใช้วิธีโคอมะทในพืช ( $pH>13$ ) ในการตรวจสอบการถูก ทำลายดีเอ็นเอของพืช 10 ชนิด คือ *Arabidopsis thaliana*, *Convolvulus arvensis*, *Bellis perennis*, *Urtica dioica*, *Lamium album*, *Chenopodium rubrum*, *Plantago media*, *Poa annua*, *Taraxacum officinale*, *Agropyron repens* โดยทำการแปรผันความเข้มข้นของ สารเคมีที่ใช้ในการทำลายดีเอ็นเอ Ethylmethanesulphonate (EMS) 2 และ 10 mM และแปร ผันเวลาที่ใช้ในการแยกไมโครกรดดีเอ็นเอด้วยสนาไฟฟ้า 0 , 20 , และ 45 นาที แล้วทำการตรวจวัด โดยใช้โปรแกรม Komet version 3.1 พบร ว่า ระดับการถูกทำลายดีเอ็นเอของพืชแต่ละชนิดมีค่า

เพิ่มขึ้นเมื่อสัมผัสกับสารพิษที่มีความเข้มข้นมากขึ้นอย่างมีนัยสำคัญทางสถิติ Gichner and Muhlfeldove (2002)

การศึกษาคัดเลือกพืชที่เหมาะสมที่จะใช้เป็นตัวชี้วัดมลพิษทางอากาศ โดยใช้วิธีโคมไฟ ติดตามการถูกทำลายดีเอ็นเอ ในการทดลองผู้วิจัยได้ใช้พืชสามชนิด คือ ต้นแป๊ะก๊วย (*Ginkgo biloba*) ต้นพลูค่าง (*Epipremnum aureum*) และต้นแพงพวยฝรั่ง (*Vinca rosea*) ว่างไรที่ข้างถนน(roadside) และบริเวณที่ไม่ใช้ข้างถนน (non-roadside) ภายในมหาวิทยาลัย โตเกียว ประเทศญี่ปุ่น แล้วเก็บตัวอย่างพืชมาทดสอบด้วยวิธีโคมไฟ ค่าความแตกต่างการกระจายของการเคลื่อนที่ของดีเอ็นเอ (DNA migration ratio) ของพืชแต่ละชนิด ถูกนำมาคำนวณเป็นเปอร์เซ็นต์ การถูกทำลายดีเอ็นเอ ผลการทดลองพบว่า ตัวอย่างพืชที่ว่างไว้บริเวณข้างถนนถูกทำลายดีเอ็นเอมากกว่าพืชที่ตั้งบริเวณอื่น อย่างมีนัยสำคัญทางสถิติ และผลการทดลองในแต่ละช่วงเวลา ถูกนำมาอธิบายการเพิ่มขึ้นของการถูกทำลายดีเอ็นเอด้วยสมการ regression สัดส่วนการถูกทำลายดีเอ็นเอของพืชที่วางและไม่ได้ว่างข้างถนนถูกนำมาใช้อธิบาย ผลกระทบต่ออีน ซึ่งมีสาเหตุจากมลพิษทางอากาศ Sriussdaporn *et al.*(2003)

การศึกษาความเป็นพิษ (toxicity) และการถูกทำลายดีเอ็นเอ (DNA damage) ของต้นยาสูบ (*Nicotiana tobacum*) และมันฝรั่ง (*Solanum tuberosum*) โดยนำพืชทั้งสองชนิดปลูกบนหลุมฝังกลบที่มีการปนเปื้อนโลหะหนัก (Stirmice site) เปรียบเทียบกับพืชที่ปลูกบนหลุมฝังกลบที่มีการปนเปื้อนของโลหะหนัก (Jeseri site) ซึ่งหลุมฝังกลบทั้งสองตั้งอยู่ที่ North Bohemia Czech เมื่อทำการวิเคราะห์ห้องคปประกอบของโลหะ ด้วยวิธี flame atomic absorption spectrometry พบโลหะหนักชนิด Cd, Cu, Pb, และ Zn ปนเปื้อนอยู่ในดินและراكพืช ผลการทดสอบพบว่า พืชที่ปลูกในบริเวณที่มีการปนเปื้อนของโลหะหนัก มีจำนวนใบและอัตราการเจริญเติบโตลดลงอย่างมีนัยสำคัญทางสถิติ เมื่อทำการทดสอบการถูกทำลายดีเอ็นเอของพืชทั้งสองชนิดด้วยวิธีโคมไฟ พบว่า พืชที่ปลูกบนบริเวณที่มีการปนเปื้อนมีการเพิ่มขึ้นของการถูกทำลายดีเอ็นเอเล็กน้อยอย่างมีนัยสำคัญ เมื่อเปรียบเทียบกับ control แต่การถูกทำลายดังกล่าวเกิดขึ้นเนื่องจากการบาดเจ็บ (injured) ที่สังเกตได้จากความผิดปกติของใบพืช และไม่มีการเพิ่มขึ้นของ somatic mutation จึงสรุปได้ว่า ดินที่มีการปนเปื้อนของโลหะก่อให้เกิดความเป็นพิษ toxicity แต่ไม่มีผลต่อความเป็นพิษในระดับยืนของพืช Gichner *et al.*(2006)

## 11. พืชที่นำมาศึกษา

พลูค่าง (Epipremnum aureus)

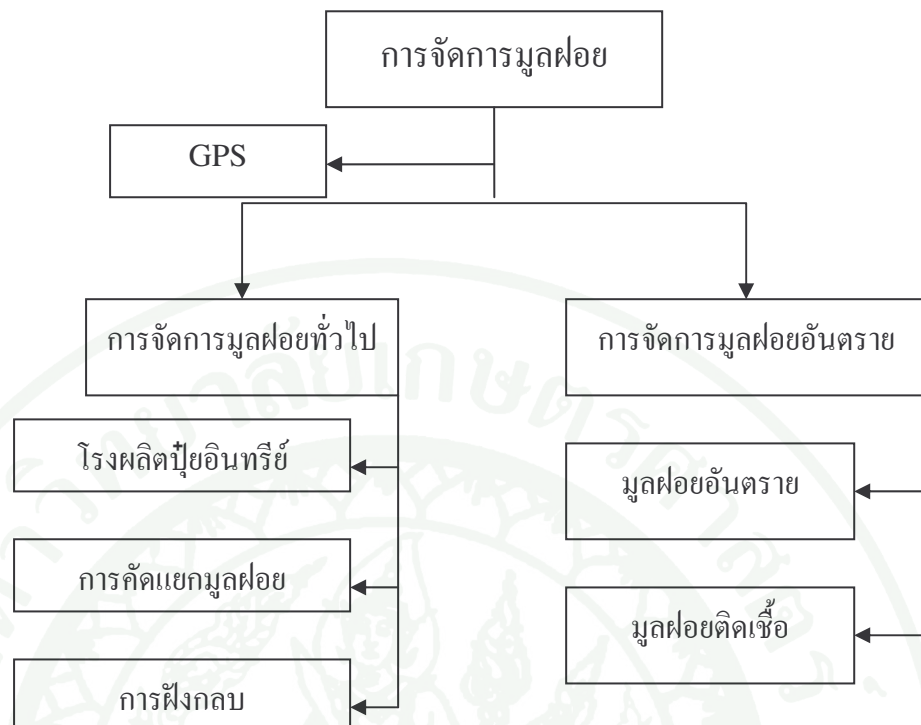
ชื่อสามัญ (ภาษาอังกฤษ): Golden Pothos , Devil's Ivy , Hunter's Robe.

แหล่งกำเนิด: โพลินิเซีย เกาะโซโลมอน

พลูค่าง เป็นไม้เลื้อยขนาดต้นที่รุ่งกันอย่างแพร่หลาย ในมีลักษณะเป็นรูปหัวใจสีเขียวสด สลับกับสีเหลืองนวล ต้นมีลักษณะอ่อนช้อด พลูค่างนี้ ถ้านำมาปลูกใส่กระถางแบบให้ห้อยข้อย จะสวยงามมาก พลูค่างมีดอก เหมือนกันแต่ดอกไม่สวยงามจึงไม่ได้รับความสนใจเท่าใด พลูค่าง เป็นพืชที่มีรากอากาศ และจะเจริญเติบโต เร็วมากเมื่อมันเจริญเติบโตจนยาวมากเกินไป เราต้องมา ขุดไวน์เจกัน หรือขุดมันก็จะเจริญเติบโตต่อไปได้ พลูค่างเป็นพืชที่ชอบแสงสว่างถ้านำไปปลูก ประดับในห้องหรืออาคารสถานที่จะต้องให้ได้รับแสงสว่างพอสมควร ถ้าแสงไม่พอจะใช้แสง ไฟฟ้าแทนก็ได้ นักวิจัยแห่งสถาบันวิจัยอาหารน้ำชา ได้ทดสอบความสามารถของไม้ประดับในการจำกัดสารพิษหรือลักษณะในอาหารบางชนิด เช่น ฟอร์มัลดีไฮด์ คาร์บอนมอนอกไซด์ เป็นเช่น ไตรคลอโรเอทิลีน เป็นต้น ผลการทดลองพบว่า พลูค่าง สามารถลดกําชาร์บอนมอนอกไซด์ได้ ร้อยละ 75 เมื่อเวลาผ่านไป 24 ชั่วโมง Wolverton (1996)

## 12. ข้อมูลลักษณะของพื้นที่ศึกษา

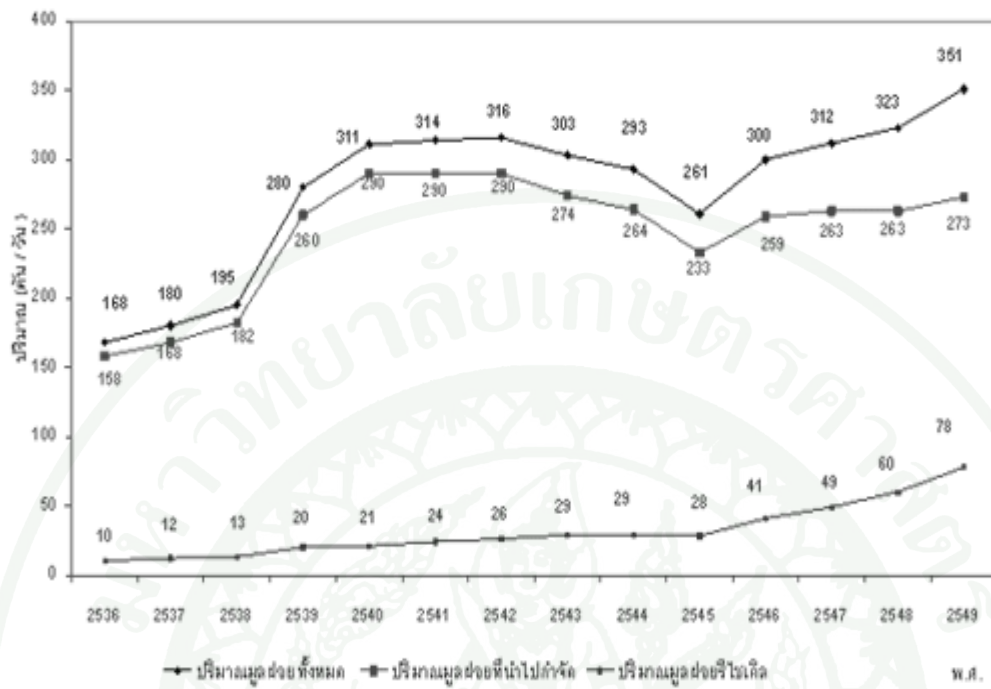
การศึกษานี้ดำเนินการที่สถานที่กำจัดมูลฝอยขององค์กรบริหารส่วนจังหวัดคนทบูรี ซึ่ง ตั้งอยู่ที่ ตำบลคลองขวาง อำเภอไทรน้อย จังหวัดคนทบูรี การจำกัดมูลฝอยใช้แบบเทกของกลางแจ้ง แต่ปัจจุบันมีการใช้ดินกลบทับบ้างบางส่วน จึงมีพื้นที่แบ่งเป็น 2 โซนด้วยกัน คือ แบบกองกลาง แจ้ง และแบบมีชั้นดินปกคลุม มีพื้นที่จำกัดรวมทั้งสิ้นประมาณ 58 ไร่ โดยปริมาณมูลฝอย เฉลี่ย 350 ตัน/วัน (ปี 2548) อัตราเกิดขยะมูลฝอยเฉลี่ย 1.310 กิโลกรัม/คน/วัน



#### ภาพที่ 6 ขบวนการจัดการมูลฝอยของ อบจ. นนทบุรี

**ที่มา:** ศูนย์ปฏิบัติการวิศวกรรมพลังงานและสิ่งแวดล้อม คณะวิศวกรรมศาสตร์ มหาวิทยาลัยเกษตรศาสตร์ (2545)

ผลการวิเคราะห์สมบัติมูลฝอยทางเคมีดังแสดงในตารางที่ 10 พบว่าร้อยละ โดยน้ำหนักของสมบัติมูลฝอยทางเคมี มีปริมาณของชาตุcar์บอน, ไนโตรเจน, ฟอสฟอรัส และโปตassium เท่ากับ 16.42 , 1.66 , 0.42 และ 0.57 ตามลำดับ โดยมีค่าความชื้น เท่ากับ 59.54 และมีปริมาณมูลฝอยที่เพาใหม่ได้ เท่ากับ 97.52 โดยหลังจากผ่านมูลฝอยแล้วจะเกิดเศ้า ร้อยละ 9.45 เมื่อพิจารณาค่า C/N ratio (อัตราส่วนของการ์บอนต่อไนโตรเจน) พบว่ามีค่าเท่ากับ 9.9 (ศูนย์ปฏิบัติการวิศวกรรมพลังงานและสิ่งแวดล้อม คณะวิศวกรรมศาสตร์ มหาวิทยาลัยเกษตรศาสตร์ ,2545)



ภาพที่ 7 ปริมาณนักศึกษาในแต่ละปี พ.ศ.2536-2549

ที่มา: ศูนย์ปฏิบัติการวิศวกรรมพลังงานและสิ่งแวดล้อม คณะวิศวกรรมศาสตร์  
มหาวิทยาลัยเกษตรศาสตร์ (2545)

**ตารางที่ 12 แสดงผลองค์ประกอบทางเคมีของมูลฝอยขององค์การบริหารส่วนจังหวัดนนทบุรี**

รายการ	ร้อยละ โดยน้ำหนัก
ปริมาณความชื้น (Moisture Content)	59.54
ปริมาณของแข็งทั้งหมด (Total Solid)	40.46
ปริมาณสารที่ไหมไฟได้ (Combustible Solids)	97.52
ปริมาณเถ้า (Ash Content)	9.45
ปริมาณสารที่เผาไหม้ได้ (Volatile Solids)	29.55
ค่า Dry Solid Calorific Value (กิโลแคลอรี/กิโลกรัม)	4.917
ค่า Lower Solid Calorific Value (กิโลแคลอรี/กิโลกรัม)	1.446
ปริมาณคาร์บอน	16.42
ปริมาณไนโตรเจนรวม	1.66
ปริมาณฟอสฟอรัสรวม	0.42
ปริมาณโพแทสเซียมรวม	0.57

**หมายเหตุ:** รายการที่ 1 -3 มีหน่วยเป็น ร้อยละ โดยน้ำหนักเปยกของมูลฝอย  
 รายการที่ 4 – 11 มีหน่วยเป็นร้อยละ โดยน้ำหนักแห้งของมูลฝอย

**ที่มา:** ศูนย์ปฏิบัติการวิศวกรรมพลังงานและสิ่งแวดล้อม คณะวิศวกรรมศาสตร์  
 มหาวิทยาลัยเกษตรศาสตร์ (2545)

## อุปกรณ์และวิธีการ

### อุปกรณ์และสารเคมี

1. พลูด่าง (*Epipremnum aureum*)

2. อุปกรณ์และเครื่องมือในการทดสอบโโคเมท

2.1 ชุดอิเล็กโทรฟอริซิส ซึ่งประกอบด้วย power supply และ electrophoresis chamber

2.2 กล้องจุลทรรศน์แบบใช้แสงฟลูออเรสเซนต์ ยี่ห้อ OLYMPUS

2.3 Comet<sup>TM</sup>Slide ชนิด 2 หลุน ยี่ห้อ Travigen , cover slip

2.4 หม้อนึ่งความดัน (autoclave) ยี่ห้อ Yamato และ โถสูญญากาศ (desicator)

2.5 อ่างต้มน้ำควบคุมอุณหภูมิ (water bath) ยี่ห้อ Memmert และ hot plate

2.6 ปากกีบ ใบมีด ตะเกียงแอลกอฮอล์ งานเดียงเชื้อ และ coplin jar

3. สารเคมีสำหรับการทดสอบโโคเมท

3.1 low melting point agarose (LMA) ยี่ห้อ Research organics

3.2 dimethylsulfoxide (DMSO) ยี่ห้อ AMRESCO

3.3 ethelenediamine teraacetic acid (EDTA) ยี่ห้อ UNIVAR

3.4 syber safe green

### 3.5 phosphate buffer saline (PBS)

3.6 tris(Tris [hydroxymethyl] aminomethane) ยี่ห้อ AOROS ORGANICS

### 3.7 triton X – 100 ยี่ห้อ AOROS ORGANICS

#### 4. อุปกรณ์ในการหาอัตราการแพร่ระบาดก้าวมีเทน

4.1 close flux chamber ประกอบด้วย 2 ส่วน ส่วนแรกคือ chamber ทำจาก stainless steel มีช่องสำหรับเก็บก๊าซ 1 ช่อง อยู่ตรงกลางและมีอีก 1 ช่องสำหรับใส่เทอร์โมมิเตอร์ ส่วนฐานทำจาก stainless steel ขอบบนทำร่องตามแนวของวงเส้นรอบวง เพื่อวาง chamber ขนาดเส้นผ่านศูนย์กลาง 30 เซนติเมตร สูง 30 เซนติเมตร

4.2 เครื่อง gas chromatograph (GC) ยี่ห้อ Agilent 6890 และ gas chromatograph (GC) ยี่ห้อ Shimadzu รุ่น GC-14B

4.3 เข็มเก็บตัวอย่างกําช (gas tight syringe) ขนาด 0.5 มิลลิลิตร

## 5. อุปกรณ์ในการหาอัตราการแพร่ระบาดของสารอินทรีย์ระเหย

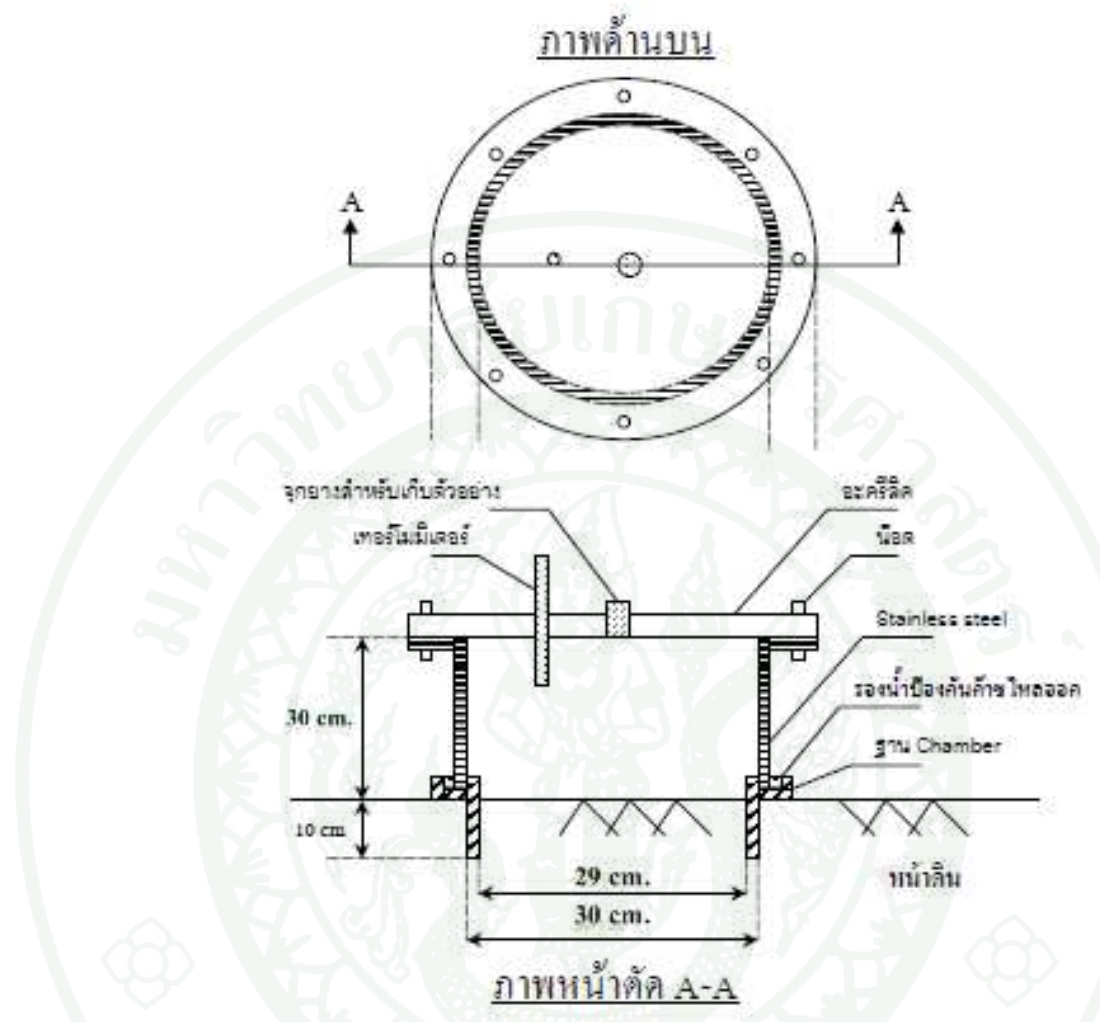
5.1 ปั๊มสำหรับเก็บตัวอย่างอากาศรุ่น airlite sample pump ยี่ห้อ SKC

5.2 หลอดเก็บตัวอย่างอากาศ (adsorbent tube) ชนิด coconut charcoal ยี่ห้อ SKC

### 5.3 เทอร์โนมิเตอร์

5.4 เทป ชนิด teflon ขนาด 0.5 มิว

### 5.5 ที่ตัดหลอดแก้ว (cutter for glass tubing)



## ภาพที่ 8 ภาพจำลอง close flux chamber

5.6 ขวดแก้วพร้อมฝาปิด (vial) ขนาด 1 มิลลิลิตร ยี่ห้อ SUNSRI

5.7 เจ็มเม็ดไมโครลิตร (microliter syring) ขนาด 10 ไมโครลิตร

5.8 ໄມໂຄຣປີເປີຕ ຂນາດ 100-1,000 ໄມໂຄຣລິຕ ຍ້້ອ Witeg

## 5.9 តួគុណកវ៉ាន (hood)

5.10 เครื่อง Gas Chromatograph Mass Spectrometer(GCMS) ยี่ห้อ Shimadzu รุ่น GCMS-QP2010Plus

5.11 คาร์บอนไคซัลไฟด์ (carbon disulfide) GC Grade

5.12 สารอินทรีย์ระเหยมาตรฐาน (calibration standards, VOCs Mix)

## 6. อุปกรณ์และเครื่องมือทั่วไป

6.1 เครื่องชั่งน้ำหนักละเอียด

6.2 เครื่องวัดพีเอช (pH meter)

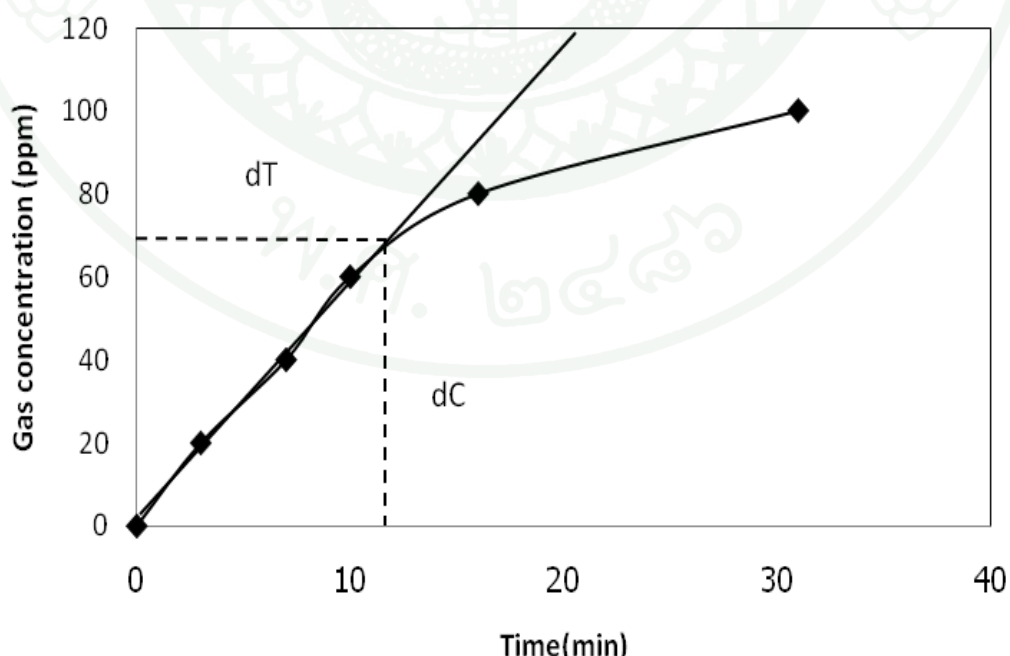
6.3 ตู้ทำความเย็นอุณหภูมิ 4 องศาเซลเซียส และ 20 องศาเซลเซียส

6.4 เครื่องแก้วต่างๆ ได้แก่ ปิเปต แท่งแก้วคน บีกเกอร์ ฯลฯ

## วิธีการ

### 1. การหาอัตราการแพร่ระบาดก๊าซมีเทนและการบันทุณไดออกไซด์บิริเวนหลุมฝังกลบ และบิริเวน กองเปิด

ทำการกำหนดจุดเก็บตัวอย่างแบบสุ่มบิริเวนหลุมฝังกลบที่ปิดแล้วและบิริเวนกองเปิด โดยที่อายุของหลุมฝังกลบมูลฝอย ประมาณ 2 ปี ส่วนกองมูลฝอยเปิดมีอายุประมาณ 7 เดือน จุดที่เก็บบิริเวนใกล้กับจุดที่วางพืชทดสอบ (พลูด่าง) โดยจะเก็บตัวอย่างก๊าซเพื่อหาอัตราการแพร่ระบาดถูก ละ 3 ครั้งต่อพื้นที่ โดยแต่ละครั้งจะเก็บที่ 7.00-9.00 น. 10.00-12.00 น. และ 13.00-15.00 น. โดยการติดตั้ง chamber ที่ตำแหน่งเก็บตัวอย่างแล้วทำการเก็บตัวอย่างก๊าซ ทุก 10 นาที ภายในเวลา 60 นาที (สูตรน์, 2546) เก็บก๊าซโดยใช้หลอดแก้วสูญญากาศขนาด 6 มิลลิลิตร จากนั้นนำไปวิเคราะห์ด้วยเครื่อง gas chromatograph (GC) ยี่ห้อ Agilent 6890 เพื่อหาความเข้มข้นของคาร์บอนไดออกไซด์ และ gas chromatograph (GC) ยี่ห้อ Shimadzu รุ่น GC-14B เพื่อหาความเข้มข้นของมีเทน สำหรับก๊าซมีเทนนำมาเขียนกราฟระหว่างความเข้มข้นและเวลา แล้วนำไปหาอัตราการแพร่ระบาดต่อไป โดยที่จะได้ค่าอัตราการแพร่ระบาดก๊าซทั้งสองชนิด 9 ค่า ต่อๆ ต่อพื้นที่ (สมการที่ 1)



$$F = \frac{\rho V \Delta C}{A \Delta t} \quad (1)$$

โดยที่

$F$  คือ อัตราของแก๊สที่ระบายออกม่าต่อพื้นที่ต่อเวลา,  $g/m^2/d$

$\rho$  คือ ความหนาแน่นของแก๊ส,  $kg/m^3$

$V$  คือ ปริมาตรของ Chamber,  $m^3$

$A$  คือ พื้นที่หน้าตัดของ Chamber,  $m^2$

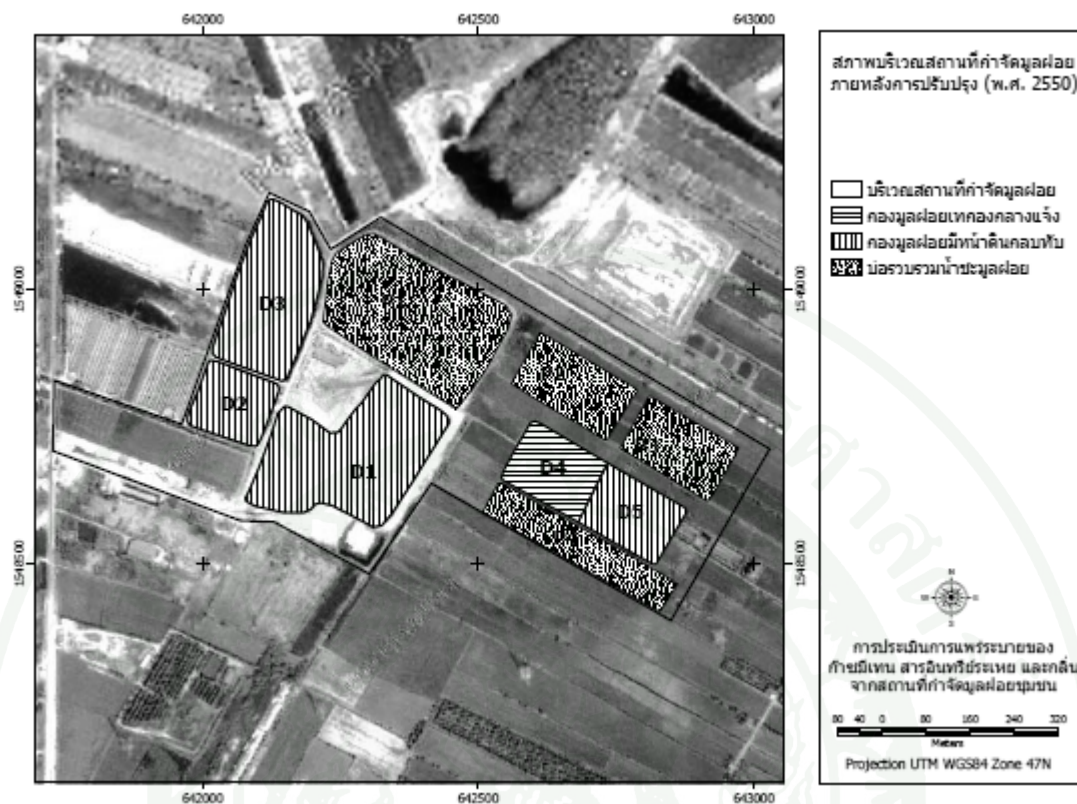
$\Delta C$  คือ ความเข้มข้นของแก๊สที่เปลี่ยนแปลง, %

$\Delta t$  คือ ช่วงเวลาที่ใช้ในการเก็บตัวอย่างแก๊ส, d

นำมาวิเคราะห์หารือยละเอียดมีเห็น โดยวิธี gas chromatography นำค่าที่ได้มาเขียนกราฟแสดงความสัมพันธ์ระหว่าง ความเข้มข้นกับเวลา เพื่อหาอัตราการแพร่ระบายของแก๊สจากสมการ (1) ( Sass et. al., 1990) ส่วนแก๊สคาร์บอนไดออกไซด์นำมาหาความเข้มข้นโดยคูณด้วยค่าคงที่ (factor) จะได้ค่าความเข้มข้นของแก๊สคาร์บอนไดออกไซด์นำไปคำนวณอัตราการแพร่ระบายต่อไป(สมการที่ 1)

## 2. การความเข้มข้นแก๊สมีเทนและคาร์บอนไดออกไซด์บริเวณหุบผ่านฟังกลบ และบริเวณกองเปิด

ทำการเก็บตัวอย่างแก๊สในบรรยากาศเพื่อหาความเข้มข้นโดยจะเก็บในวันที่ทำการวางแผนพืชตัวอย่างโดยเก็บ 7.00-9.00 น. 10.00-12.00 น. และ 13.00-15.00 น. ช่วงเวลาละ 3 ตัวอย่าง เก็บเป็นระยะเวลา 5 วันต่อครั้ง หรือ 45 ตัวอย่างต่อครั้ง ทำการเก็บ 2 ครั้งต่อฤดู (เช่นเดียวกับการเก็บตัวอย่างพืช) รวมเก็บโดยเก็บตัวอย่างทั้งหมด 90 ตัวอย่างต่อพื้นที่ต่อฤดู เก็บที่ระดับไม่เกิน 1 เมตร จากผิวดินหรือผิวขยะมูลฝอย หรือระดับใกล้เคียงกับการวางแผนต้นพืช ใช้วิธีการเก็บแบบสุ่มจากนั้นนำไปวิเคราะห์ด้วยเครื่อง gas chromatograph (GC) ยี่ห้อ Agilent 6890 เพื่อหาความเข้มข้นของคาร์บอนไดออกไซด์ และ gas chromatograph (GC) ยี่ห้อ Shimadzu รุ่น GC-14B เพื่อหาความเข้มข้นของมีเทน



**ภาพที่ 9** สถานที่กำจัดมูลฝอยที่ทำการทดลอง เก็บตัวอย่างที่บริเวณ กองมูลฝอยกลางแจ้ง (D4)  
และ กองมูลฝอยมีหน้าดินกลบทับ (D5)

ที่มา: สรรสุขย์ (2551)

### 3. การหาอัตราการแพร่ระบาดสารอินทรีย์ระหว่างบริเวณหลุมฝังกลบ และบริเวณกองเปิด

ติดตั้ง chamber ที่ผิวน้ำดินหรือกองขยะมูลฝอย เก็บตัวอย่างอากาศที่ผ่านกองมูลฝอย เปิดและหลุมฝังกลบ โดยวิธี concentration techniques ใช้หลอดเก็บตัวอย่าง (adsorbent tube) จำนวน 1 หลอดต่อเข้ากับปั๊มเก็บตัวอย่างอากาศ แล้วใช้ปั๊มดูดอากาศผ่านหลอดเก็บตัวอย่างด้วย อัตราการไหล 30 มิลลิลิตรต่อนาที เป็นเวลา 1 ชั่วโมง (ศุนย์วิจัยและฝึกอบรมด้านสิ่งแวดล้อม, 2543) โดยจะต้องมีการแยกเปลี่ยนอากาศเวียนกลับเข้าไปใน chamber โดยใช้หลอดแก้วใส่กับ แอคติเวตเต็ดคาร์บอน จากนั้นปิดหลอดเก็บตัวอย่างด้วยฝาปิดพลาสติก และพันด้วยเทปปืนิด teflon เก็บตัวอย่างไว้ที่อุณหภูมิ 4 องศาเซลเซียส โดยใช้บลูไอซ์ (blue ice) เพื่อรักษาอุณหภูมิของ ตัวอย่างและป้องกันเรื่องความชื้นที่จะมีผลกับตัวอย่างนำตัวอย่างที่เก็บรักษาไว้ที่อุณหภูมิ 4 องศา

เซลเซียส โดยจะเก็บตัวอย่างวันเดียวกันกับการเก็บตัวอย่างมีเทนและการ์บอนไดออกไซด์ เก็บตั้งแต่เวลา 8.00-14.00 น. จะเก็บได้ 6 ตัวอย่างต่อวัน ในแต่ละคุณจะเก็บทั้งหมด 18 ตัวอย่างต่อพื้นที่ วิเคราะห์หานินิและปริมาณสารอินทรีย์ระเหยในพื้นที่กำจัดนูลฝอยกองเป็นวิเคราะห์โดยวิธี gas chromatography นำค่าที่ได้มาวิเคราะห์หานินิของสารอินทรีย์ระเหยที่จะศึกษา

สักดิ์สารอินทรีย์ระเหยจากหลอดเก็บตัวอย่างอากาศ โดยหักปลายหลอดเก็บตัวอย่างอากาศ เทเลาเฉพาะส่วนของแอคติเวตเต็ดคาร์บอนโดยแยกส่วนหน้าและส่วนหลังใส่ในขวดแก้วอย่างละ ขวด จากนั้นใช้ไมโครปิป็อกดสารคาร์บอนไดซัลไฟฟ์ 1 มิลลิลิตร ใส่ในขวดแก้วที่บรรจุแอคติเวตเต็ดคาร์บอนแล้วปิดฝาอย่างรวดเร็ว (ทำในตู้ดูดควัน) เทย่างวดเบาๆ เป็นช่วงๆ ในระยะเวลา 30 นาที ก่อนนำไปวิเคราะห์ด้วยเครื่อง gas chromatograph mass spectrometer(GCMS)

ใช้เข็มฉีดในโครลิตร ขนาด 1 ไมโครลิตร คุณสารละลายน้ำตัวอย่างที่เตรียมไว้ 0.5 ไมโครลิตร นำไปปั๊บฉีดเข้าเครื่อง gas chromatograph mass spectrometer(GCMS) ยี่ห้อ Shimadzu รุ่น GCMS-QP2010Plus เมื่อได้ค่าพื้นที่พีก (peak area) นำค่าดังกล่าวมาเทียบกับค่ากราฟมาตรฐาน คำนวนหาความเข้มข้นของสารอินทรีย์ระเหยและอัตราการแพร่ระบาดสารอินทรีย์ระเหยต่อไป (ภาคผนวกที่ ง)

การทำ Laboratory Blank และ Field Blank โดยหลอด Laboratory Blank เก็บไว้ที่อุณหภูมิ 4 องศาเซลเซียส ณ ห้องปฏิบัติการ และนำมายิเคราะห์พร้อมกับตัวอย่าง ส่วนหลอด Field Blank ถูกนำไปที่ในพื้นที่ศึกษาพร้อมหลอดเก็บตัวอย่าง เมื่อทำการเก็บตัวอย่างจะเปิดฝาหลอด Field Blank เดี๋ยวปิดฝาอย่างรวดเร็วที่จุดเก็บตัวอย่าง (สูญญากาศและฝึกอบรมด้านสิ่งแวดล้อม, 2543) โดยที่จะทำ Field Blank 1 ตัวอย่างต่อการเก็บตัวอย่าง 12 ตัวอย่าง จากนั้นนำ Field Blank มา yiเคราะห์ ณ ห้องปฏิบัติการเช่นเดียวกับการวิเคราะห์ตัวอย่าง

การวิเคราะห์การเกิด Breakthrough สามารถทำได้โดยการเปรียบเทียบค่าปริมาณสารอินทรีย์ระเหยที่สักดิ์ได้จากหลอดส่วนหน้า (Wf) และปริมาณสารอินทรีย์ระเหยที่สักดิ์ได้จากหลอดส่วนหลัง (Wb) โดยถ้า  $Wb > Wf / 10$  จะ yiเคราะห์ว่าเกิด Breakthrough

#### 4. วิชีวิเคราะห์ตัวอย่างอากาศโดยวิธี Gas Chromatography

การตรวจวัดปริมาณสารอินทรีย์ระเหยในบรรยากาศวิธีการเก็บตัวอย่างอากาศและวิธีการวิเคราะห์อ้างตาม NIOSH Manual of Analytical Methods (NMAM), 1994; Method 1003 และMethod 1501 ของ U.S. Department of Health and Human Services

##### 4.1 สารเคมี

- สารคาร์บอนไดซัลไฟด์ (Carbon disulfide) GC Grade

- สารอินทรีย์ระเหยมาตรฐาน (Calibration Standards, VOCs Mix)

- ก๊าซไฮเดรียม ความบริสุทธิ์สูง 99.99 % ของ TIG (Thailand)

- ก๊าซไฮโดรเจน ความบริสุทธิ์สูง 99.99 % ของ TIG (Thailand)

- อากาศ ความบริสุทธิ์สูง 99.99 % ของ TIG (Thailand)

##### 4.2 เครื่องมือและอุปกรณ์

- หลอดเก็บตัวอย่างอากาศ (adsorbent tube) ใช้หลอดchar'โคลที่มีเส้นผ่าศูนย์กลางภายใน 4 มิลลิเมตรภายนอก 6 มิลลิเมตร ยาว 7 เซนติเมตร ภายในบรรจุแอคติเวตเต็ดคาร์บอน (activated coconut shell charcoal) ขนาด 20/40 เมช ปริมาณ 150 มิลลิกรัม โดยแยกเป็น 2 ส่วน ส่วนหนึ่ง 100 มิลลิกรัม ส่วนหลัง 50 มิลลิกรัม ซึ่งถูกแบ่งด้วยยูรีเซนโฟม (urethane foam) หนา 2 มิลลิเมตร และมียูรีเซนโฟมหนา 3 มิลลิเมตร กันระหว่างแอคติเวตเต็ดคาร์บอนส่วนหลังกับปลายทางออกของหลอด ส่วนปลายทางเข้าของหลอดมีไยแก้ว (glass wool) ปิดท้ายอยู่บนแอคติเวตเต็ดคาร์บอนส่วนหนึ่ง และกำหนดให้ค่าความดันลด (pressure drop) ของหลอดchar'โคลจะต้องไม่เกิน 1 นิวปอนท์ที่อัตราการไหลของอากาศ 1 ลิตรต่อนาที

- ปั๊มเก็บตัวอย่างอากาศ ที่วัดอัตราการไหลระหว่าง 0.01-1 ลิตรต่อนาที

- เครื่อง Gas Chromatograph Mass Spectrometer(GCMS) ยี่ห้อ Shimadzu  
รุ่น GCMS-QP2010Plus

- ขวดแก้ว (vial) ขนาด 1 มิลลิลิตร พร้อมฝาปิดซิลิโคนเคลือบเทปปิด

#### 4.3 การปรับเครื่อง Gas Chromatograph Mass Spectrometer(GCMS)

การปรับเครื่อง Gas Chromatograph Mass Spectrometer(GCMS) เพื่อใช้เคราะห์หาปริมาณสารอินทรีย์ระเหย โดยปรับค่าของ GC ดังนี้ Column oven temperator 40 องศาเซลเซียส Injection temperator 250 องศาเซลเซียส Detector 200 องศาเซลเซียส 50.2 กิโลพาสกาล Pressure 50.2 กิโลพาสกาล Total flow 14 มิลลิลิตรต่อนาที ปรับค่า MS ดังนี้ Ion source temperator 230 องศาเซลเซียส Interface 280 องศาเซลเซียส

#### 5. การเตรียมและการเก็บตัวอย่างพืชทดสอบ (พลูด่าง) เพื่อติดตามผลกระทบต่อการทำลายดีอีนโดยวิธีโคมาก

นำต้นของพลูด่างที่ต้องการทดสอบมาทำการเพาะในกระถาง ในแต่ละกระถางมีต้นพลูด่างประมาณกระถางละ 10 ต้น เพาะในบริเวณที่สะอาดแสงเพียงพอ แล้วรดน้ำทุกวันเป็นเวลาประมาณ 1 เดือน เมื่อต้นพลูด่างเจริญเติบโตและแข็งแรงดีแล้ว คัดเลือกต้นพลูด่างที่มีขนาดของต้นเท่าๆ กัน นำไปใช้ในการทดสอบในหลุมฝังกลบ โดยแบ่งชุดการทดลองเป็น 3 ชุดค้ายกัน คือ ชุดที่ 1 วงที่หลุมฝังกลบที่เป็นกองเปิด ชุดที่ 2 วง ໄว้ที่หลุมฝังกลบที่ปิดแล้ว และชุดที่ 3 เป็นชุดควบคุม วงໄว้ที่ห้องปฏิบัติการ โดยแต่ละชุดมีจำนวนประมาณ 10 กระถาง หรือ 100 ต้น

นำพืชทดสอบ (พลูด่าง) ไปตั้งไว้บริเวณหลุมฝังกลบที่ปิดแล้ว และวางพลูด่างไว้บริเวณกองเปิด เลือกบริเวณที่ป้องกันการรบกวนมากที่สุด บังแสงค้ายาข่าย โดยจะเก็บตัวอย่าง 96 ชั่วโมง (4 วัน) โดยเก็บบริเวณละ 10 ตัวอย่างและคอนโทลอีก 10 ตัวอย่าง ต่อ หนึ่งรอบเก็บช้าทั้งหมด 2 รอบ โดยเก็บใบพลูด่างที่มีลักษณะปกติ mana หนักประมาณ 1 กรัม หรือประมาณ 3 ใบ กิดเป็นร้อยละ 10 ของตัวอย่างทั้งหมด ใส่ลงในถุงพลาสติก ปิดปากถุง และแช่ในน้ำแข็งไว้ตัวอย่างจะต้องสอดอยู่เสมอ จนถึงห้องปฏิบัติการในการทดสอบโดยวิธีการโคมากต่อไป

## 6. การเก็บตัวอย่างและการทดสอบด้วยวิธีโคมาก

ทำการเก็บตัวอย่าง โดยเลือกใบที่มีลักษณะปกติ ไม่หจิกงอ มีสีเขียวสด ขนาดของใบควรจะใกล้เคียงกัน ล้างใบให้สะอาดด้วยน้ำกลั่น เช็คให้แห้งเบาๆ ตัดเป็นชิ้นสี่เหลี่ยมจัตุรัสเล็ก ๆ ขนาดประมาณ 2 เซนติเมตร แล้วซึ่งมา 0.6 กรัม เติมสารละลาย Sorenson buffer (50 mM KH<sub>2</sub>PO<sub>4</sub>, 50 mM Na<sub>2</sub>HPO<sub>4</sub>·12H<sub>2</sub>O, 0.1 mM Ethylenediamine tetraacetic acid :EDTA , 0.5 % Dimethyl sulfoxide : DMSO , pH 6.8) 2 มิลลิลิตรลงในขานเพาะเพื่อที่วงไว้นาดนำ้แข็ง แล้วตัดใบพืชให้เป็นแผ่นบางด้วยใบมีด ตั้งทิ้งไว้ 30 นาที เพื่อสกัดเซลล์ออกจากใบพืช

กรองสารละลายด้วยฟิลเตอร์ที่มีขนาดช่องพลุน 20 ไมโครเมตร จากนั้นผสมสารละลายดังกล่าว 150 ไมโครลิตร กับ 300 ไมโครลิตร ของ Low Melting Point Agarose ( ละลาย LMA 0.15 กรัม ใน Phosphate Buffer Solution 10 มิลลิลิตร ) เพื่อให้ได้ความเข้มข้น 1% LMA ใช้อโตปีเปตผสมเนื้อสารให้เข้ากัน โดยการคุณดแล้วปล่อยหายใจ เมื่อผสมกันดีแล้วหยดสารละลายตัวอย่าง 75 ไมโครลิตรลงบน CometSlide™ ที่วางบนแผ่นความร้อนอุณหภูมิ 50 องศาเซลเซียส นำสไลด์แข็งในตู้เย็น 4 องศาเซลเซียส อีก 30 นาที เพื่อให้เจลแข็งตัว จากนั้นนำสไลด์จุ่มลงใน Lysis Solution 45 มิลลิลิตร (2.5 M NaCl , 100 mM EDTA , 10 mM Trisma Base) 5 มิลลิลิตร DMSO และ 0.5 มิลลิลิตร Triton X-100 ที่อุณหภูมิ 4 องศาเซลเซียส ทิ้งไว้ไม่น้อยกว่า 12 ชั่วโมงเพื่อให้ดีอีนเอกสารละลายเกลี่ยส

จากนั้นนำสไลด์มาวางบน horizontal gel electrophoresis tank ที่วางอยู่บนภาชนะ้ำแข็งภายในบรรจุด้วยalkaline solution(NaOH 4.2 กรัม ,200 mM EDTA 1.75 มิลลิลิตรpH > 13) ผ่านกระแสไฟฟ้า AC : 300 mA , 15 Volt เป็นเวลา 25 นาที แล้วล้างสไลด์โดยแซล์สไลด์ใน Neutralization buffer (Tris – hydroxymethyl – aminomethane 48.5 กรัม ,pH 7.5) 2 ครั้ง ครั้งละ 10 นาที แล้วซับน้ำด้านนอกออกเบาๆ ด้วยทิชชู ทำให้แห้งโดยวางสไลด์บนแผ่นความร้อนที่อุณหภูมิ 50 องศาเซลเซียส

หลังจากสไลด์แห้งทำการย้อมสีโดยหยดสีย้อม SYBERsafe™ Green ยี่ห้อ Invitrogen 1 หยดปิดด้วยกระเจลปิดสไลด์ นำสไลด์ไปตรวจสอบด้วยกล้องจุลทรรศน์ฟลูออเรสเซนต์ และถ่ายภาพด้วยกล้องซีซีดี (CCD Camera) รับสัญญาณภาพและโปรแกรมแปลงสัญญาณแสดงทางจักษณ์พิวเตอร์

## 7. การวิเคราะห์ผลการทดสอบ

ใช้กล้องจุลทรรศน์ฟลูออร์เรสเซนต์ Excitation filter ความยาวคลื่น 515 นาโนเมตร และ Barrier filter ความยาวคลื่น 590 นาโนเมตร กำลังขยาย 10 เท่า เพื่อตรวจหาบริเวณที่เซลล์มีการกระจายตัวพอดี และใช้กล้องซีซีดี (Charge-coupled device,CCD) รับสัญญาณภาพถ่ายทอดไปยังคอมพิวเตอร์ (Monteith and Vanstone,1995) แต่ละการทดลองทำการศึกษาโดยใช้เซลล์จำนวน 50 เซลล์ตัวอย่าง โดยใช้โปรแกรม Tritek Comet [Score] Freeware Version 1.5 วัดค่าพื้นที่ส่วนหัว (head area : H) และพื้นที่ส่วนหาง (tail area : T) จากภาพเซลล์โคมไฟ ตามวิธีของ Sriussadaporn *et al.*(2003) และนำค่าที่ได้ไปคำนวณร้อยละการถูกทำลายดีเอ็นเอ และวิเคราะห์ข้อมูลทางสถิติด้วยโปรแกรม SPSS version 1.5 for window ดังสมการที่ 3

$$\text{ร้อยละการถูกทำลายดีเอ็นเอ} = \frac{\sum_{i=1}^n \left( \frac{T}{T+H} \right)_i}{n} \quad (3)$$

โดย  $T$  คือ พื้นที่ส่วนหางของเซลล์  $H$  คือพื้นที่ส่วนหัวของเซลล์ และ  $n$  คือ จำนวนเซลล์ทั้งหมด

## ผลและวิจารณ์

การศึกษานี้มีวัตถุประสงค์เพื่อหาอัตราการแพร่ระบาดก้าชมีเทนและสารอินทรีย์ระเหยได้จากพื้นที่ฝั่งกลบมูลฟอยและกองมูลฟอยกลางแจ้ง ในฤดูฝนและฤดูแล้ง เพื่อเปรียบเทียบความแตกต่างของอัตราการแพร่ระบาดก้าชมีเทนและสารอินทรีย์ระเหยได้ และมีการศึกษาติดตามผลกระทบระดับการทำลายดีเอ็นเอของพืชดังเดิมและใช้พลูค่าในการเปรียบเทียบเนื่องจากในการศึกษาการทำลายดีเอ็นเอของพืชจากก้าชมีเทนมากที่สุดคือใบพลูค่า จึงนำมาใช้ในการเป็นตัวชี้วัดเพื่อเปรียบเทียบในสถานที่จริงและแบบจำลอง โดยจะนำอัตราการแพร่ระบาดของก้าชมีเทนและสารอินทรีย์ระเหยได้มาทำการวิเคราะห์ความสัมพันธ์กับระดับการทำลายดีเอ็นเอของพืช (พลูค่า) ซึ่งมีผลการทดลองดังนี้

### 1. อัตราการแพร่ระบาดก้าชมีเทนและก้าชค่าร์บอนไดออกไซด์บริเวณกองปีดและหลุมฝังกลบ ในฤดูฝนและฤดูแล้ง

วัดอัตราการแพร่ระบาดก้าชชีวภาพบริเวณหลุมฝังกลบและกองมูลฟอยเปิดเปิดฤดูฝน ช่วงเวลา เดือนกันยายน ถึง พฤศจิกายน 2551 และฤดูแล้ง ช่วงเวลาเดือนกุมภาพันธ์ ถึง เมษายน 2552 ซึ่งเก็บที่เวลา 7.00-9.00 น., 10.00-12.00 น. และ 13.00-15.00 น. ผลการทดลอง พบว่า อัตราการแพร่ระบาดก้าชมีเทนและการรับอนไดออกไซด์ในกองมูลฟอยเปิดเปิดมีค่าเฉลี่ยในฤดูฝน  $20.0 \pm 14.1$  และ  $17.0 \pm 6.4$  ( $\text{g}/\text{m}^2.\text{d}$ ) ในฤดูแล้ง  $31.8 \pm 14.1$  และ  $20.1 \pm 8.7$  ( $\text{g}/\text{m}^2.\text{d}$ ) ตามลำดับ และบริเวณหลุมฝังกลบที่มีค่าเฉลี่ยในฤดูฝน  $1.32 \pm 1.56$  และ  $5.54 \pm 1.2$  ( $\text{g}/\text{m}^2.\text{d}$ ) ในฤดูแล้ง  $2.5 \pm 1.4$  และ  $8.7 \pm 5.6$  ( $\text{g}/\text{m}^2.\text{d}$ ) ตามลำดับ (ตารางที่ 14-17) สรุปได้ว่า อัตราการแพร่ระบาดของก้าชทั้งสองบริเวณกองมูลฟอยเปิดมีค่าสูงกว่าบริเวณหลุมฝังกลบ อย่างมีนัยสำคัญทางสถิติ ( $P < 0.05$ ; ตาราง พนวนที่ 3) ทั้งในฤดูฝนและฤดูแล้ง เนื่องจากหลุมฝังกลบมีวัสดุกลบทับมีส่วนช่วยลดการแพร่ระบาดก้าชได้มาก

นอกจากนี้ เมื่อเปรียบเทียบพื้นที่เดียวกันแต่ต่างฤดูกาล พบว่า อัตราการแพร่ระบาดก้าชทั้งสองชนิด ไม่มีความแตกต่างกันตามนัยสำคัญทางสถิติ ( $P > 0.05$ ; ตารางพนวนที่ 3) ทั้งบริเวณกองปีดและหลุมฝังกลบ ซึ่งการศึกษาที่ผ่านมา(อนุชิต, 2547) ที่ฤดูแล้งมีค่ามากกว่าฤดูฝน และการศึกษาของสุรัตน์(2546) ที่ฤดูฝนมีค่าสูงกว่าฤดูแล้ง (ตารางที่ 13) จะเห็นได้ว่าผลการทดลองแต่ละครั้งใน

พื้นที่ศึกษาเดียวกันมีความแตกต่างกัน ซึ่งผลจากการศึกษารังนี้ไม่มีความแตกต่างกัน อาจเนื่องมาจากทำการทดลองทั้งคุณภาพและคุณเลี้งช่วงที่ทำการทดลองมีปริมาณน้ำฝนในคุณภาพน้ำฝนในคุณภาพน้ำฝน 304.2 มิลลิเมตร และในคุณเลี้ง ช่วงเดือน กันยายน-พฤษภาคม 2551 มีปริมาณน้ำฝน 136.8 มิลลิเมตร วัดที่สถานีอำเภอไทรน้อย (กรมอุตุนิยมวิทยา) ซึ่งปัจจัยที่มีผลต่อการแพร่ระบาดก้าชาซีวภาพในหลุมฝังกลบมีหลายปัจจัย เช่น การเปลี่ยนแปลงของคุณภาพ การเปลี่ยนแปลงระหว่างวัน เนื่องจากระหว่างวันมีอุณหภูมิและความดันบรรยายกาศแตกต่างกัน ลักษณะสภาพอากาศ ลักษณะหน้าดินกลบ เป็นดิน Christoffersen *et al.*,(2000); Borjesson and Svensson (1997)

**ตารางที่ 13 อัตราการแพร่ระบาดก้าชาซีวภาพและcarbонไดออกไซด์ในงานวิจัยที่หลุมฝังกลบ องค์การบริหารส่วนจังหวัดนนทบุรี(ไทรน้อย)**

อัตราการแพร่ระบาด (g/m <sup>2</sup> .d)	พิมลรัตน์ ,2544**	สุรัตน์,2546*	อนุชิต,2547*	งานวิจัยนี้*
มีเทน	-คุณร้อน 35.37 -หน้า 1.00 -ฟน 0.0083 บริเวณกองมูล ฟอยเปิด	-คุณฝน 23.47 -คุณร้อน 0.42 -วัดบริเวณหลุม ฝังกลบ -กองเปิดเฉลี่ย ทั้งหมด 40.05	-อยู่ในช่วง 0.14-5.21 บริเวณหลุม ฝังกลบ	-หลุมฝังกลบเฉลี่ง 2.5 -หลุมฝังกลบฝน 1.32 -กองเปิดเฉลี่ง 31.8 -กองเปิดฟน 20
carbon dioxide	-คุณร้อน 31.68 -หน้า 0.79 -ฟน 0.0104	-กองเปิดเฉลี่ย ทั้งหมด 218.62		-หลุมฝังกลบเฉลี่ง 8.7 -หลุมฝังกลบฝน 5.54 -กองเปิดเฉลี่ง 20.1 -กองเปิดฟน 17
หมายเหตุ	องค์ประกอบ ก้าชาซูสุดคู ฟนต่ำสุดคู ร้อน	การแพร่ระบาด ไม่สม่ำเสมอ ตลอดพื้นที่ หลุมฝังกลบ	อัตราการแพร่ ก้าชาสองชนิด คุณเลี้งสูงกว่า คุณฝน	อัตราการแพร่ก้าชา สองชนิดคุณเลี้งสูง กว่าคุณฝน

หมายเหตุ : \* วัดโดยวิธี Close flux และ \*\* วัดโดยเครื่อง GAS LANTEC : GEM-500

ตารางที่ 14 อัตราการแพร่ระบาดก้าซมีเทนบริเวณหลุมฝังกลบและกองเปีด ในฤดูฝน

พื้นที่	อัตราการแพร่ระบาดมีเทน ( $\text{g}/\text{m}^2 \cdot \text{d}$ )(n=9)			
	ช่วง	ค่ากลาง	เฉลี่ย	SD
<b>1.ฝังกลบ</b>				
- 23/09/51	1.5-4.2	1.073	3.11	0.425
- 17/10/51	0.27-1.1	0.268	0.49	1.962
- 14/11/51	0.13-0.63	0.134	0.34	2.349
เฉลี่ย	0.13-4.2	0.626	<b>1.32</b>	1.558
<b>2.กองเปีด</b>				
- 19/09/51	4.4-14.8	14.81	7.98	19.501
- 04/10/51	12.9-26.2	26.07	21.74	14.111
- 03/11/51	11.5-47.6	11.49	30.13	11.085
เฉลี่ย	4.4-47.6	14.81	<b>20.03</b>	14.102

ตารางที่ 15 อัตราการแพร่ระบาดก้าซมีเทนบริเวณหลุมฝังกลบและกองเปีด ในฤดูแล้ง

พื้นที่	อัตราการแพร่ระบาดมีเทน ( $\text{g}/\text{m}^2 \cdot \text{d}$ )(n=9)			
	ช่วง	ค่ากลาง	เฉลี่ย	SD
<b>1.ฝังกลบ</b>				
- 05/02/52	0.8-5.1	1.57	3.01	1.261
- 01/03/52	2.4-3.4	2.82	2.90	2.125
- 30/03/52	0.5-3.1	2.77	1.72	0.542
เฉลี่ย	0.5-5.1	2.77	<b>2.53</b>	1.386
<b>2.กองเปีด</b>				
- 16/02/52	14.8-30.4	28.84	24.71	8.593
- 20/03/52	16.8-56.2	46.23	39.74	20.523
- 04/04/52	19.0-41.3	32.46	30.90	11.211
เฉลี่ย	14.8-56.2	30.40	<b>31.76</b>	14.077

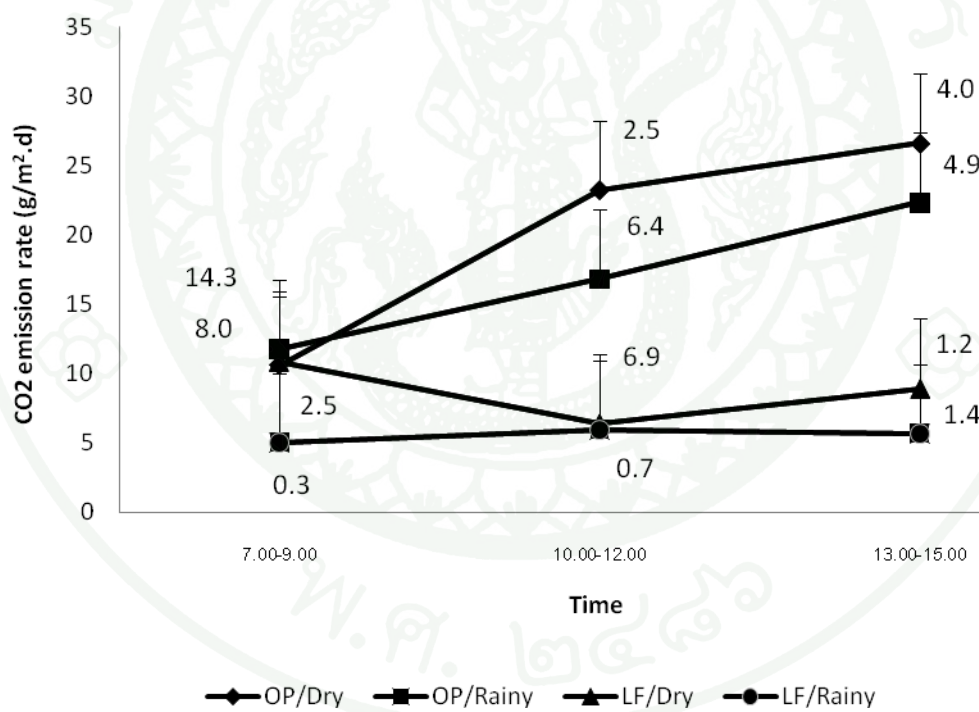
ตารางที่ 16 อัตราการแพร่ระบาดก๊าซคาร์บอนไดออกไซด์บริเวณหลุมฝังกลบและกองเปิดในฤดูฝน

พื้นที่	อัตราการแพร่ระบาดก๊าซคาร์บอนไดออกไซด์( $\text{g}/\text{m}^2 \cdot \text{d}$ )(n=9)			
	ช่วง	ค่ากลาง	เฉลี่ย	SD
<b>1.ฝังกลบ</b>				
- 23/09/51	6.2-6.7	6.449	6.45	0.243
- 17/10/51	5.2-6.7	5.354	5.76	0.810
- 14/11/51	3.3-5.8	4.137	4.42	1.301
เฉลี่ย	3.3-6.7	5.841	<b>5.54</b>	1.183
<b>2.กองเปิด</b>				
- 19/09/51	14.8-29.1	20.077	21.31	7.201
- 04/10/51	9.6-17.0	13.628	13.43	3.715
- 03/11/51	11.7-22.3	13.385	16.21	7.175
เฉลี่ย	9.6-29.1	14.845	<b>17.00</b>	6.432

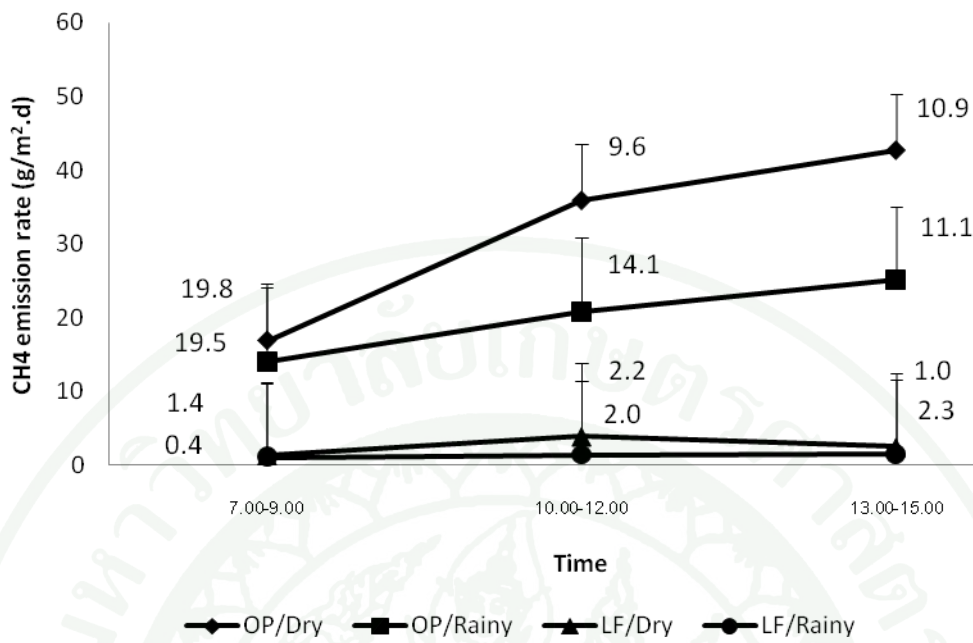
ตารางที่ 17 อัตราการแพร่ระบาดก๊าซคาร์บอนไดออกไซด์บริเวณหลุมฝังกลบและกองเปิดในฤดูแล้ง

พื้นที่	อัตราการแพร่ระบาดก๊าซคาร์บอนไดออกไซด์( $\text{g}/\text{m}^2 \cdot \text{d}$ )(n=9)			
	ช่วง	ค่ากลาง	เฉลี่ย	SD
<b>1.ฝังกลบ</b>				
- 05/02/52	10.0-14.5	10.951	11.76	2.369
- 01/03/52	6.4-19.2	8.153	11.32	6.937
- 30/03/52	1.8-4.1	3.407	3.14	1.182
เฉลี่ย	1.8-19.2	8.153	<b>8.69</b>	5.616
<b>2.กองเปิด</b>				
- 16/02/52	3.5-32.2	27.013	10.60	15.294
- 20/03/52	9.9-23.5	22.024	24.21	7.412
- 04/04/52	18.2-24.1	20.686	26.64	2.933
เฉลี่ย	3.5-24.1	22.024	<b>20.08</b>	8.712

เมื่อพิจารณาอัตราการแพร่รังษียก้าชชีวภาพตามช่วงเวลา (ภาพที่ 10) คือ 7.00-9.00 น., 10.00-12.00 น. และ 13.00-15.00 น. พบว่า อัตราการแพร่รังษียก้าชชีวภาพตามช่วงเวลา ได้ออกไซด์บราเวนกองเปิดในฤดูฝนและฤดูแล้งมีแนวโน้มทิศทางเดียวกัน โดยมีค่าต่ำสุดที่เวลา 7.00-9.00 น. และเพิ่มขึ้นตามเวลา สูงสุดที่เวลา 13.00-15.00 น. ซึ่งสอดคล้องกับแนวโน้มการเปลี่ยนแปลงของอุณหภูมิบรรยายกาศ (ภาพที่ 11) เนื่องจากระหว่างวันมีอุณหภูมิต่างกันมากจะทำให้มีความต้านบรรยายกาศเพิ่มมากขึ้น ความต้านบรรยายกาศที่เพิ่มขึ้นจะทำให้อัตราการแพร่รังษียก้าชลดลง (Bogner,1992) ส่วนอัตราการแพร่รังษียก้าชชีวภาพและcarbondioxide ได้ออกไซด์ที่หลุมฝังกลบทั้งในฤดูฝนและฤดูแล้งมีค่าใกล้เคียงกัน เนื่องจากหลุมฝังกลบมีวัสดุกลบทับสามารถลดอัตราการแพร่รังษียก้าชชีวภาพได้มาก



ภาพที่ 10 ค่าเฉลี่ยอัตราการแพร่รังษียก้าชชีวภาพในกองเปิดและหลุมฝังกลบตามช่วงเวลา



ภาพที่ 10 (ต่อ)

จากตารางที่ 18 แสดงให้เห็นถึงอัตราส่วนระหว่างอัตราการแพร่ระบาดก๊าซมีเทนต่ออัตราการแพร่ระบาดก๊าซคาร์บอนไดออกไซด์ พ布ว่า อัตราการแพร่ระบาดก๊าซมีเทนสูงกว่าก๊าซคาร์บอนไดออกไซด์บวกกับของมูลฝอยเปิดและหลุมฝังกลบในฤดูแล้งที่ 1.176 และ 1.582 เท่าตามลำดับ และ อัตราการแพร่ระบาดก๊าซมีเทนต่ำกว่าก๊าซคาร์บอนไดออกไซด์บวกกับของมูลฝอยเปิดและหลุมฝังกลบในฤดูฝนที่ 0.238 และ 0.287 ก๊าซที่เกิดขึ้นจากหลุมฝังกลบมีก๊าซมีเทนและก๊าซคาร์บอนไดออกไซด์เป็นก๊าซที่เกิดขึ้นมากที่สุดถึงร้อยละ 45 ถึง 60 และร้อยละ 40 ถึง 50 ตามลำดับ (Emcon Associate, 1997) ในฤดูแล้งมีค่าสูงกว่าฤดูฝนอาจเนื่องมาจากในฤดูแล้งมีความชื้นค่อนข้างสูงและมีอุณหภูมิพอยหมายที่ทำให้เกิดปฏิกิริยาออกซิเดชั่นของก๊าซมีเทนและก๊าซคาร์บอนไดออกไซด์ ซึ่งค่าปกติของอัตราส่วนระหว่างก๊าซมีเทนและคาร์บอนไดออกไซด์ เท่ากับ 1.0-1.2 คือ คาร์บอนไดออกไซด์สูงกว่ามีเทน (Maurice et al., 1995)

ตารางที่ 18 อัตราส่วนระหว่างอัตราการแพร่ระบาดก๊าซมีเทนต่อก๊าซคาร์บอนไดออกไซด์

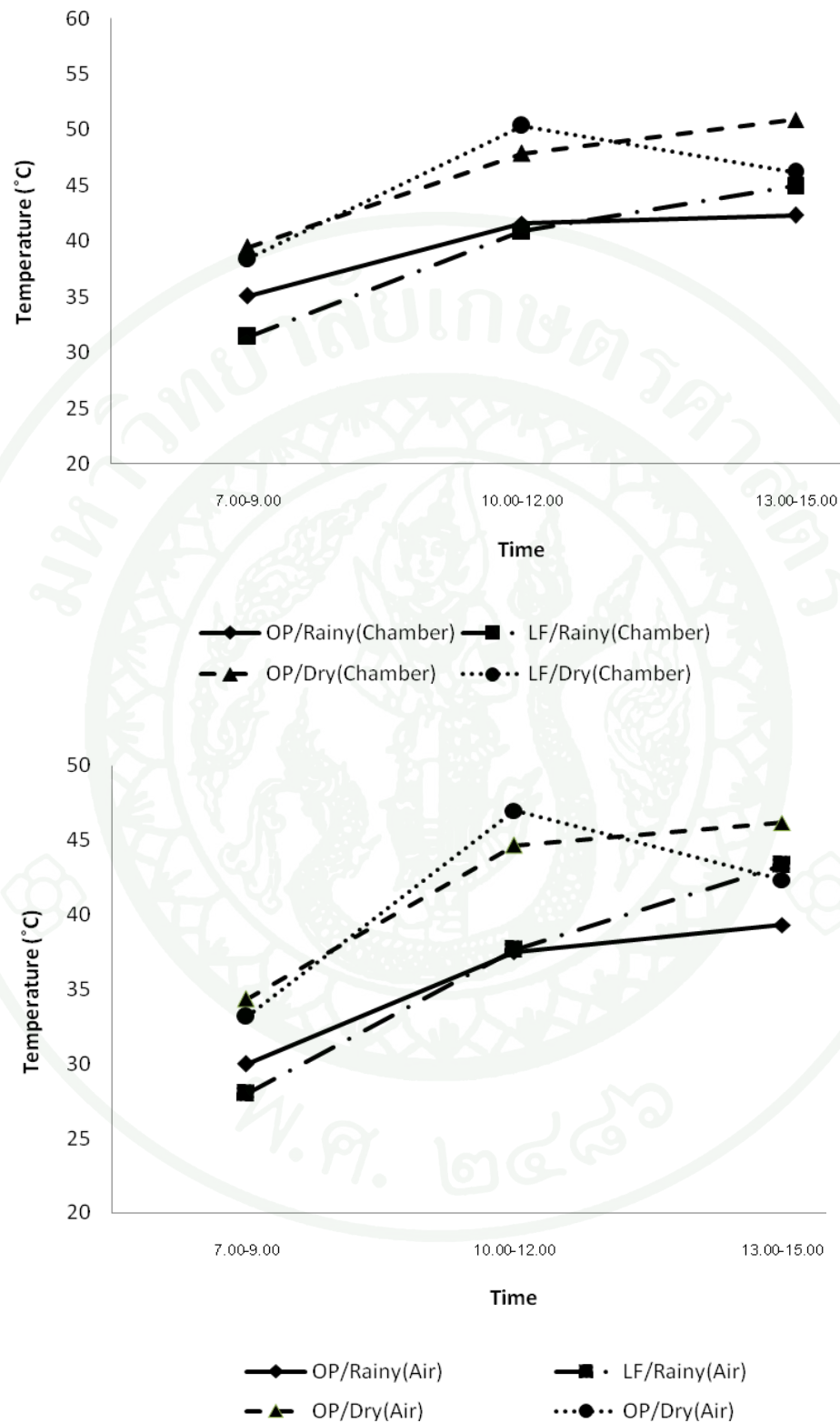
พื้นที่	หลุมฝังกลบฝน	หลุมฝังกลบแล้ง	กองเปิดฝน	กองเปิดแล้ง
CH <sub>4</sub> /CO <sub>2</sub> Ratio	0.238	0.287	1.176	1.582

พิจารณาอุณหภูมิเฉลี่ย พบว่า อุณหภูมิเฉลี่ยภายในกองเปิดและหลุมฝังกลบ ใกล้เคียงกัน ใน  
ฤดูฝนมีค่าเฉลี่ยประมาณ 39 องศาเซลเซียส มีค่าต่ำกว่าในฤดูแล้งมีค่าเฉลี่ยประมาณ 46 องศา  
เซลเซียส และอุณหภูมิอากาศมีค่าเฉลี่ยในฤดูฝนมีค่าเฉลี่ยประมาณ 36 องศาเซลเซียส มีค่าต่ำกว่าใน  
ฤดูแล้งมีค่าเฉลี่ยประมาณ 41 องศาเซลเซียส การศึกษาที่ผ่านมาวัดอุณหภูมิในดินเฉลี่ยอยู่ในช่วง  
32-42 องศาเซลเซียส ส่วนอุณหภูมิอากาศเฉลี่ยอยู่ในช่วง 34-49 องศาเซลเซียส (สุรัตน์,2546) พบว่า  
การศึกษารังน้อุณหภูมิสูงกว่าที่ผ่านมา

#### ตารางที่ 19 อุณหภูมิใน Chamber และในบรรยายกาศ

พื้นที่	อุณหภูมิในกล่อง (องศาเซลเซียส)			อุณหภูมิในบรรยายกาศ (องศาเซลเซียส)		
	ช่วง	เฉลี่ย	SD	ช่วง	เฉลี่ย	SD
<b>1.ฝังกลบ</b>						
-ฤดูฝน	26-48	39.09	2.440	26-45	35.61	2.780
-ฤดูแล้ง	27.5-54.5	46.16	3.264	27-48.5	40.83	3.365
<b>2.กองเปิด</b>						
-ฤดูฝน	27-49	39.16	2.461	26.5-46	36.33	3.533
-ฤดูแล้ง	30-56.5	46.07	4.382	28-50	41.72	3.128

แต่ถ้าเปรียบเทียบระหว่างกองเปิดและหลุมฝังกลบ ไม่มีค่าแตกต่างกัน และถ้าพิจารณาตาม  
ช่วงเวลา พบว่า อุณหภูมิเพิ่มขึ้นตามช่วงเวลา ตั้งแต่ 7.00-9.00 น. และสูงสุดที่เวลา  
13.00-15.00น. (ภาพที่ 11) ทั้งนี้ อุณหภูมิในบรรยายกาศมีค่าต่ำกว่าในกล่อง(chamber) ประมาณ  
3-5 องศาเซลเซียส เนื่องจากก๊าซที่แพร่ระบาดออกมากำทำให้อุณหภูมิในกล่อง (chamber) สูงมากขึ้น  
ซึ่งสอดคล้องกับ (สุรัตน์,2546) มีการศึกษาอุณหภูมิของอากาศและผิวน้ำดิน พบว่า อุณหภูมิสูงสุด  
พบว่าอยู่ช่วงเวลา 13.00-14.00 น.



ภาพที่ 11 อุณหภูมิในกองเปปิดและหลุมฝังกลบตามช่วงเวลา (เก็บพร้อมกับตัวอย่างก้าช)

## 2. ความเข้มข้นกําชมีเทนและกําชคาร์บอนไดออกไซด์ในบรรยากาศ บริเวณกองเปิดและหลุมฝังกลบ ในถูกุ忿และถูกุแล้ง

วัดความเข้มข้นกําชชีวภาพในบรรยากาศบริเวณหลุมฝังกลบและกองเปิดถูกุ忿ช่วงเวลาเดือนกันยายน ถึง พฤศจิกายน 2551 และถูกุแล้ง ช่วงเวลาเดือนกุมภาพันธ์ ถึง เมษายน 2552 ซึ่งเก็บที่เวลา 7.00-9.00 น., 10.00-12.00 น. และ 13.00-15.00 น. ผลการทดลอง พบว่า ความเข้มข้นกําชมีเทนและกําชคาร์บอนไดออกไซด์ในบรรยากาศบริเวณกองเปิดมีค่าเฉลี่ยในถูกุ忿ร้อยละ  $0.38 \pm 0.07$  และ  $0.58 \pm 0.06$  ในถูกุแล้งร้อยละ  $0.40 \pm 0.09$  และ  $0.60 \pm 0.05$  ตามลำดับ บริเวณหลุมฝังกลบมีค่าเฉลี่ยในถูกุ忿ร้อยละ  $0.30 \pm 0.02$  และ  $0.26 \pm 0.05$  ในถูกุแล้งร้อยละ  $0.31 \pm 0.02$  และ  $0.28 \pm 0.06$  ตามลำดับ ความเข้มข้นกําชทั้งสองชนิดในบรรยากาศ บริเวณกองเปิดมีค่าสูงกว่าในหลุมฝังกลบอย่างมีความแตกต่างกันตามนัยสำคัญทางสถิติ ( $P < 0.05$ ; ตารางผนวกที่ จ3) ทั้งถูกุ忿และถูกุแล้ง เนื่องจาก อัตราการแพร่ระบาดของบริเวณกองเปิดมีค่าสูงกว่าหลุมฝังกลบ ความเข้มข้นในบรรยากาศซึ่งมีค่ามากกว่า เช่นกัน และถ้าเปรียบเทียบพื้นที่เดียวกันแต่ต่างถูกุ พบว่า กําชคาร์บอนไดออกไซด์ในสองถูกุและกําชมีเทนของบริเวณหลุมฝังกลบทั้งสองมีค่าสูงกว่าถูกุ忿อย่างมีนัยสำคัญทางสถิติ ( $P < 0.05$ ; ตารางผนวกที่ จ3) เนื่องมาจาก ถูกุแล้งอากาศแห้ง มีกระแสลมน้อยกว่าถูกุ忿ซึ่งมีอากาศแปรปรวน มีฝนตกและลมที่ช่วยในการเจือจางความเข้มข้นกําช ทำให้ความเข้มข้นกําชในบรรยากาศถูกุแล้งมีค่าสูงกว่าถูกุ忿 แต่ความเข้มข้นกําชมีเทนในถูกุ忿และถูกุแล้งในบริเวณกองเปิดไม่มีค่าแตกต่างกันอย่างมีนัยสำคัญทางสถิติ ( $P > 0.05$ ; ตารางผนวกที่ จ3) เนื่องมาจากปัจจัยภายนอกต่าง ๆ ในช่วงการเก็บตัวอย่าง เป็นต้น

เมื่อพิจารณาความเข้มข้นกําชชีวภาพในบรรยากาศตามช่วงเวลา คือ 7.00-9.00 น., 10.00-12.00 น. และ 13.00-15.00 น. พบว่า อัตราการแพร่ระษายกําชมีเทนและกําชคาร์บอนไดออกไซด์ บริเวณกองเปิดและหลุมฝังกลบทั้งในถูกุ忿และถูกุแล้งมีค่าใกล้เคียงกัน โดยมีค่าต่ำสุดที่เวลา 7.00-9.00 น. และเพิ่มขึ้นตามเวลา เนื่องจากอุณหภูมิสูงขึ้นทำให้กําชลดอยู่สูงขึ้นและแพร่ระษายได้สูงขึ้นด้วย ทำให้ช่วงเวลาเที่ยงและช่วงบ่ายมีค่าสูงกว่าเวลาเช้าเล็กน้อย

**ตารางที่ 20 ความเข้มข้นในบรรยายกาศของก้าชมีเทนบริเวณหลุมฝังกลบและกองเปิด ในฤดูฝน**  
**วันที่ 26-30/09/51 และ 20-24/10/51**

พื้นที่	ความเข้มข้นในบรรยายกาศของก้าชมีเทน (%) (n=90)			
	ช่วง	ค่ากลาง	เฉลี่ย	SD
<b>1.ฝังกลบ</b>				
- 7.00-9.00 น.	0.27-0.31	0.290	0.29	0.0135
-10.00-12.00 น.	0.28-0.34	0.303	0.31	0.0141
-13.00-15.00 น.	0.26-0.34	0.304	0.30	0.017
เฉลี่ย	0.26-0.34	0.299	<b>0.30</b>	0.015
<b>2.กองเปิด</b>				
- 7.00-9.00 น.	0.28-0.49	0.329	0.35	0.053
-10.00-12.00 น.	0.30-0.78	0.375	0.40	0.0961
-13.00-15.00 น.	0.31-0.64	0.356	0.38	0.073
เฉลี่ย	0.28-0.78	0.354	<b>0.38</b>	0.074

**ตารางที่ 21 ความเข้มข้นในบรรยายกาศของก้าชมีเทนบริเวณหลุมฝังกลบและกองเปิด ในฤดูแล้ง**  
**วันที่ 2-6/03/52 และ 25-29/04/52**

พื้นที่	ความเข้มข้นในบรรยายกาศของก้าชมีเทน (%) (n=90)			
	ช่วง	ค่ากลาง	เฉลี่ย	SD
<b>1.ฝังกลบ</b>				
- 7.00-9.00 น.	0.26-0.31	0.293	0.29	0.013
-10.00-12.00 น.	0.29-0.36	0.314	0.32	0.0178
-13.00-15.00 น.	0.29-0.35	0.310	0.31	0.015
เฉลี่ย	0.26-0.36	0.306	<b>0.31</b>	0.015
<b>2.กองเปิด</b>				
- 7.00-9.00 น.	0.31-0.48	0.346	0.36	0.039
-10.00-12.00 น.	0.26-0.71	0.375	0.43	0.117
-13.00-15.00 น.	0.33-0.62	0.375	0.40	0.072
เฉลี่ย	0.26-0.71	0.365	<b>0.40</b>	0.076

**ตารางที่ 22 ความเข้มข้นในบรรยากาศของก๊าซคาร์บอนไดออกไซด์บริเวณหุ่มฝั่งคลับและกองเปิด ในฤดูฝน วันที่ 26-30/09/51 และ 20-24/10/51**

พื้นที่	ความเข้มข้นในบรรยากาศของก๊าซคาร์บอนไดออกไซด์ (%) (n=90)			
	ช่วง	ค่ากลาง	เฉลี่ย	SD
<b>1.ฝั่งคลับ</b>				
- 7.00-9.00 น.	0.12-0.32	0.222	0.23	0.048
-10.00-12.00 น.	0.21-0.35	0.274	0.28	0.037
-13.00-15.00 น.	0.22-0.36	0.268	0.27	0.038
เฉลี่ย	0.12-0.36	0.254	<b>0.26</b>	0.041
<b>2.กองเปิด</b>				
- 7.00-9.00 น.	0.50-0.67	0.59185	0.59	0.050
-10.00-12.00 น.	0.40-0.66	0.58815	0.57	0.059
-13.00-15.00 น.	0.48-0.70	0.5962	0.59	0.055
เฉลี่ย	0.40-0.70	0.592067	<b>0.58</b>	0.055

**ตารางที่ 23 ความเข้มข้นในบรรยากาศของก๊าซคาร์บอนไดออกไซด์บริเวณหุ่มฝั่งคลับและกองเปิด ในฤดูแล้ง วันที่ 2-6/03/52 และ 25-29/04/52**

พื้นที่	ความเข้มข้นในบรรยากาศของก๊าซคาร์บอนไดออกไซด์ (%) (n=90)			
	ช่วง	ค่ากลาง	เฉลี่ย	SD
<b>1.ฝั่งคลับ</b>				
- 7.00-9.00 น.	0.17-0.32	0.236	0.24	0.043
-10.00-12.00 น.	0.21-0.44	0.298	0.30	0.049
-13.00-15.00 น.	0.20-0.43	0.294	0.30	0.062
เฉลี่ย	0.17-0.44	0.276	<b>0.28</b>	0.052
<b>2.กองเปิด</b>				
- 7.00-9.00 น.	0.48-0.72	0.605	0.61	0.055
-10.00-12.00 น.	0.49-0.71	0.572	0.58	0.045
-13.00-15.00 น.	0.54-0.78	0.294	0.61	0.062
เฉลี่ย	0.48-0.78	0.490	<b>0.60</b>	0.054

ตารางที่ 24 อัตราส่วนระหว่างความเข้มข้นในบรรยากาศของก๊าซมีเทนต่อก๊าซคาร์บอนไดออกไซด์

พื้นที่	หลุมฝังกลบฝน	หลุมฝังกลบแล้ง	กองเปิดฝน	กองเปิดแล้ง
CH <sub>4</sub> /CO <sub>2</sub> Ratio	1.154	1.107	0.655	0.667

จากตารางที่ 24 แสดงให้เห็นถึงอัตราส่วนระหว่างความเข้มข้นในบรรยากาศของก๊าซมีเทนต่ออัตราการแพร่ระบาดของก๊าซคาร์บอนไดออกไซด์ พบว่า ความเข้มข้นในบรรยากาศของก๊าซมีเทนสูงกว่าก๊าซคาร์บอนไดออกไซด์บริเวณหลุมฝังกลบในฤดูแล้งและฤดูฝน ที่ 1.154 และ 1.107 เท่า ตามลำดับ และ ความเข้มข้นในบรรยากาศของมีเทนต่ำกว่าก๊าซคาร์บอนไดออกไซด์บริเวณกองมูลฝอยเปิดในทึ่งสองฤดู ที่ 0.655 และ 0.667 เท่า ความเข้มข้นของก๊าซสองชนิดในบรรยากาศมีค่าใกล้เคียงกัน

### 3. อัตราการแพร่ระบาดสารอินทรีย์ระเหย บริเวณกองเปิดและหลุมฝังกลบ ในฤดูฝนและฤดูแล้ง

วัดความเข้มข้นสารอินทรีย์ระเหยบริเวณกองเปิดและหลุมฝังกลบโดยเก็บในฤดูฝน ช่วงเวลา เดือนกันยายน ถึง พฤศจิกายน 2551 และฤดูแล้ง ช่วงเวลาเดือนกุมภาพันธ์ ถึง เมษายน 2552 ในหนึ่งตัวอย่างเก็บทุก ๆ ชั่วโมง ตั้งแต่เวลา 8.00 น. ถึง 14.00 น. เก็บวันเดียวกันกับการเก็บก๊าซมีเทนและการบันทึกอุณหภูมิ

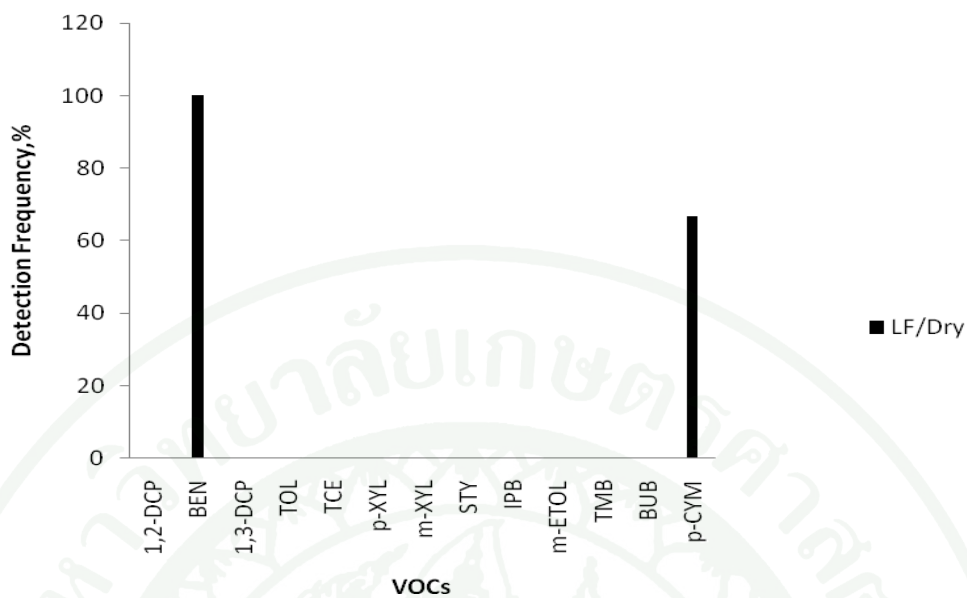
ในการเก็บตัวอย่างนี้นำมาวิเคราะห์พบสารอินทรีย์ระเหยจำนวนมาก อาทิ เช่น Benzene, Thiofuran, Chloropropene, Toluene, Ethylpentane, Tetramethylbutane, Dimethylcyclohexane, Dimethyloctane, Tetrachloroethylene, Dimethylpentane, Ethylbenze, Xylene, Styrene, Isopropylbenzene, Ethyltoluene, Butylcyclohexane, Trimethylbenzene, Cymene, Trithiapentane, Butylbenzene, Diethylbenzene, Cyclopropylbenzene, Propyl hexanoate, Ethyl heptanoate, Methylacetophenone เป็นต้น จึงต้องคัดเลือกสารอินทรีย์ระเหยที่พบความเข้มข้นสูงและตรวจพบบ่อยมากและตรงกับสารละลายน้ำอินทรีย์ระเหยมาตรฐาน น้ำมันเครื่อง น้ำมันเชื้อเพลิง และน้ำมันเครื่อง ที่มีปริมาณและหาอัตราการแพร่ระบาดต่อไป

สารอินทรีย์ระเหยที่เลือกมา ได้แก่ 1,2-Dichloropropane, Benzene (CAS) Phene, 1,3-Dichloropropane, Toluene, Tetrachloroethylene, p-Xylene, m-Xylene, Styrene, Isopropylbenzene, m-Ethyltoluene, 1,3,5-Trimethylbenzene, sec-Butylbenzene, p-Cymene และ o-Dichlorobenzene

ตารางที่ 25 อัตราการแพร่ระบาดสารอินทรีย์ระเหยบริเวณหลุมฝังกลบในดินดูแล้ว

สาร	อัตราการแพร่ระบาดสารอินทรีย์ระเหย (mg/m <sup>2</sup> .d)(n=18)				
	ค่าต่ำสุด	ค่าสูงสุด	ค่ากลาง	เฉลี่ย	SD
1,2-Dichloropropane	-	-	-	-	-
Benzene (CAS) Phene	17.768	34.355	29.143	28.791	3.563
1,3-Dichloropropane	-	-	-	-	-
Toluene	-	-	-	-	-
Tetrachloroethylene	-	-	-	-	-
p-Xylene	-	-	-	-	-
m-Xylene	-	-	-	-	-
Styrene	-	-	-	-	-
Isopropylbenzene	-	-	-	-	-
m-Ethyltoluene	-	-	-	-	-
1,3,5-Trimethylbenzene	-	-	-	-	-
sec-Butylbenzene	-	-	-	-	-
p-Cymene	1.622	2.188	1.979	1.941	0.205
o-Dichlorobenzene	-	-	-	-	-

หมายเหตุ : - หมายความว่า ตรวจไม่พบ



ภาพที่ 12 ร้อยละการตรวจพบของสารอินทรีย์ระเหยบริเวณหลุมฝังกลบในถดถ卜

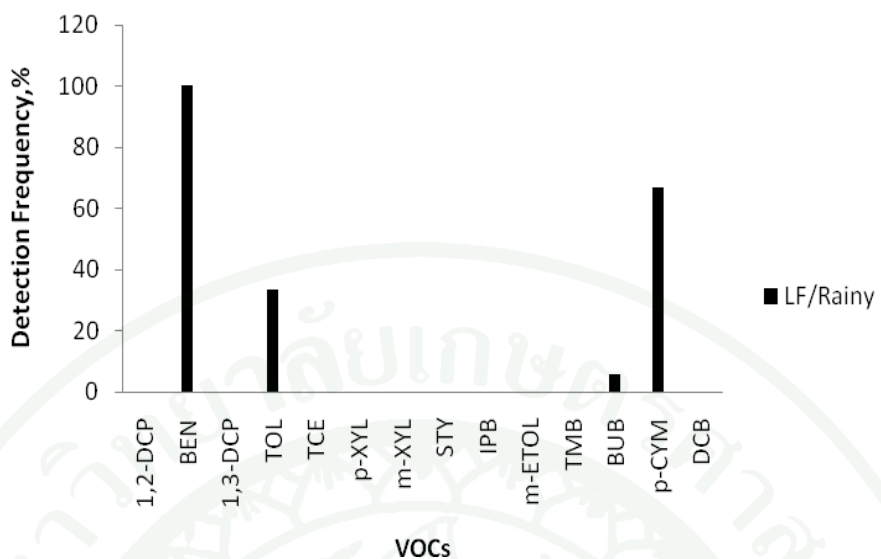
ผลการทดลอง พบว่า อัตราการแพร่รับนายน้ำสารอินทรีย์ระเหยบริเวณหลุมฝังกลบในถดถ卜 และความถี่ของการตรวจพบแสดงในตารางที่ 25 และภาพที่ 12 ตามลำดับ พบสารอินทรีย์ระเหย กีอี เบนซีน (Benzene (CAS) Phene) มีค่าเฉลี่ย 28.791 มิลลิกรัมต่อตารางเมตรต่อวัน ตรวจพบทั้งหมดทุกตัวอย่าง คิดเป็นร้อยละ 100 และ p-Cymene มีค่าเฉลี่ย 1.941 มิลลิกรัมต่อตารางเมตรต่อวัน ตรวจพบคิดเป็นร้อยละ 66.67 ของตัวอย่างทั้งหมด

อัตราการแพร่รับนายน้ำสารอินทรีย์ระเหยบริเวณหลุมฝังกลบในถดถ卜 และความถี่ของการตรวจพบแสดงในตารางที่ 26 และภาพที่ 13 ตามลำดับ พบสารอินทรีย์ระเหย กีอี เบนซีน (Benzene (CAS) Phene) มีค่าเฉลี่ย 26.398 มิลลิกรัมต่อตารางเมตรต่อวัน ตรวจพบทั้งหมดทุกตัวอย่าง คิดเป็นร้อยละ 100 โทคลูอีน(Toluene) มีค่าเฉลี่ย 2.493 มิลลิกรัมต่อตารางเมตรต่อวัน ตรวจพบคิดเป็นร้อยละ 33.33 Trimethylbenzene มีค่าเฉลี่ย 0.486 มิลลิกรัมต่อตารางเมตรต่อวัน ตรวจพบคิดเป็นร้อยละ 5.56 และ p-Cymene มีค่าเฉลี่ย 1.853 มิลลิกรัมต่อตารางเมตรต่อวัน ตรวจพบคิดเป็นร้อยละ 66.67 ของตัวอย่างทั้งหมด

**ตารางที่ 26 อัตราการแพร์ระบายสารอินทรีย์ระเหยบริเวณหลุมฝังกลบในฤดูฝน**

สาร	อัตราการแพร์ระบายสารอินทรีย์ระเหย (mg/m <sup>2</sup> /d)(n=18)				
	ค่าต่ำสุด	ค่าสูงสุด	ค่ากลาง	เฉลี่ย	SD
1,2-Dichloropropane	-	-	-	-	-
Benzene (CAS) Phene	22.196	32.946	26.409	26.398	3.555
1,3-Dichloropropane	-	-	-	-	-
Toluene	2.362	2.683	2.459	2.493	0.120
Tetrachloroethylene	-	-	-	-	-
p-Xylene	-	-	-	-	-
m-Xylene	-	-	-	-	-
Styrene	-	-	-	-	-
Isopropylbenzene	-	-	-	-	-
m-Ethyltoluene	-	-	-	-	-
1,3,5-Trimethylbenzene	0.486	0.486	0.486	0.486	0.000
sec-Butylbenzene	-	-	-	-	-
p-Cymene	1.608	2.125	1.857	1.853	0.139
o-Dichlorobenzene	-	-	-	-	-

หมายเหตุ : - หมายความว่า ตรวจไม่พบ



ภาพที่ 13 ร้อยละการตรวจพบของสารอินทรีย์ระเหยบริเวณหลุมฝังกลบในฤดูฝน

อัตราการแพร่ระบาดสารอินทรีย์ระเหยบริเวณกองเปิดในฤดูแล้งและความถี่ของการตรวจพบแสดงในตารางที่ 27 และภาพที่ 14 ตามลำดับ พบสารอินทรีย์ระเหย คือ เบนซีน (Benzene (CAS) Phene) มีค่าเฉลี่ย 38.276 มิลลิกรัมต่อตารางเมตรต่อวัน ตรวจพบทั้งหมดทุกตัวอย่าง คิดเป็นร้อยละ 100 1,3-Dichloropropane มีค่าเฉลี่ย 4.594 มิลลิกรัมต่อตารางเมตรต่อวัน ตรวจพบคิดเป็นร้อยละ 33.33 โทลูอีน(Toluene) มีค่าเฉลี่ย 2.911 มิลลิกรัมต่อตารางเมตรต่อวัน ตรวจพบคิดเป็นร้อยละ 33.33 ไทรคลอโรเอทธิลีน Tetrachloroethylene มีค่าเฉลี่ย 0.028 มิลลิกรัมต่อตารางเมตรต่อวัน ตรวจพบคิดเป็นร้อยละ 5.56 p-Xylene มีค่าเฉลี่ย 0.625 มิลลิกรัมต่อตารางเมตรต่อวัน ตรวจพบคิดเป็นร้อยละ 83.33 m-Xylene มีค่าเฉลี่ย 21.741 มิลลิกรัมต่อตารางเมตรต่อวัน ตรวจพบคิดเป็นร้อยละ 83.33 Ethyltoluene มีค่าเฉลี่ย 2.611 มิลลิกรัมต่อตารางเมตรต่อวัน ตรวจพบคิดเป็นร้อยละ 77.78 Trimethylbenzene มีค่าเฉลี่ย 1.449 มิลลิกรัมต่อตารางเมตรต่อวัน ตรวจพบคิดเป็นร้อยละ 66.67 sec-Butylbenzene มีค่าเฉลี่ย 1.880 มิลลิกรัมต่อตารางเมตรต่อวัน ตรวจพบคิดเป็นร้อยละ 5.56 p-Cymene มีค่าเฉลี่ย 6.623 มิลลิกรัมต่อตารางเมตรต่อวัน ตรวจพบคิดเป็นร้อยละ 88.89 ของตัวอย่างทั้งหมด และ o-Dichlorobenzene มีค่าเฉลี่ย 3.20 มิลลิกรัมต่อตารางเมตรต่อวัน ตรวจพบคิดเป็นร้อยละ 5.56 ของตัวอย่างทั้งหมด

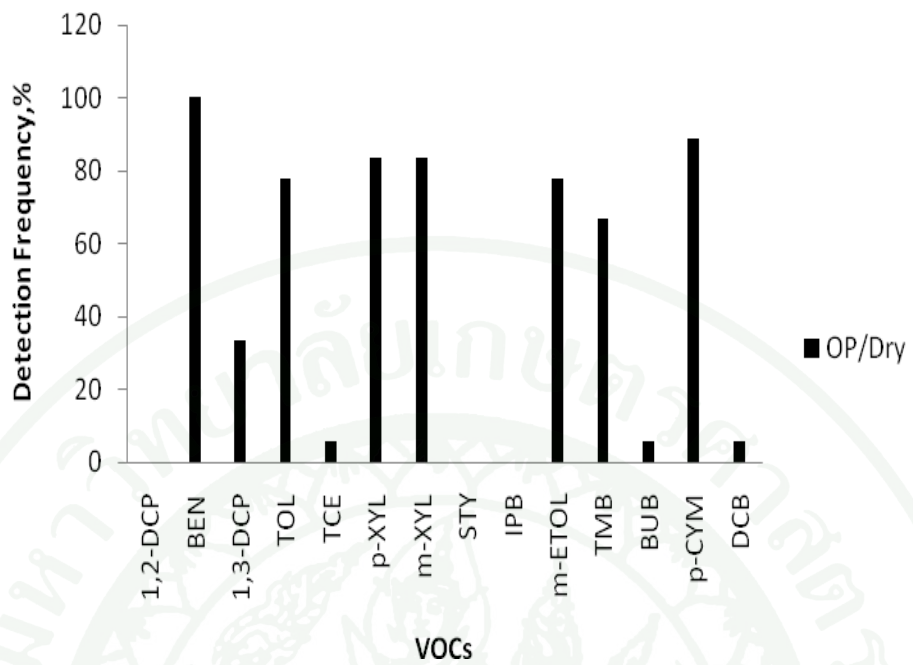
ตารางที่ 27 อัตราการแพร่ระบาดสารอินทรีย์ระเหยบริเวณกองมูลฝอยเปิดในฤดูแล้ง

อัตราการแพร่ระบาดสารอินทรีย์ระเหย

สาร (mg/m<sup>2</sup>/d)(n=18)

	ค่าต่ำสุด	ค่าสูงสุด	ค่ากลาง	เฉลี่ย	SD
1,2-Dichloropropane	-	-	-	-	-
Benzene (CAS) Phene	32.970	44.694	37.916	38.276	3.438
1,3-Dichloropropane	4.302	5.154	4.564	4.594	0.324
Toluene	2.458	4.397	2.605	2.911	0.643
Tetrachloroethylene	0.028	0.028	0.028	0.028	0.000
p-Xylene	0.172	1.258	0.617	0.625	0.324
m-Xylene	17.838	27.8118	21.656	21.741	2.981
Styrene	-	-	-	-	-
Isopropylbenzene	-	-	-	-	-
m-Ethyltoluene	1.809	4.727	2.386	2.611	0.782
1,3,5-Trimethylbenzene	0.259	3.744	1.063	1.449	1.129
sec-Butylbenzene	1.880	1.880	1.880	1.880	0.000
p-Cymene	2.561	19.047	4.100	6.623	5.451
o-Dichlorobenzene	3.200	3.200	3.200	3.200	0.000

หมายเหตุ : - หมายความว่า ตรวจไม่พบ



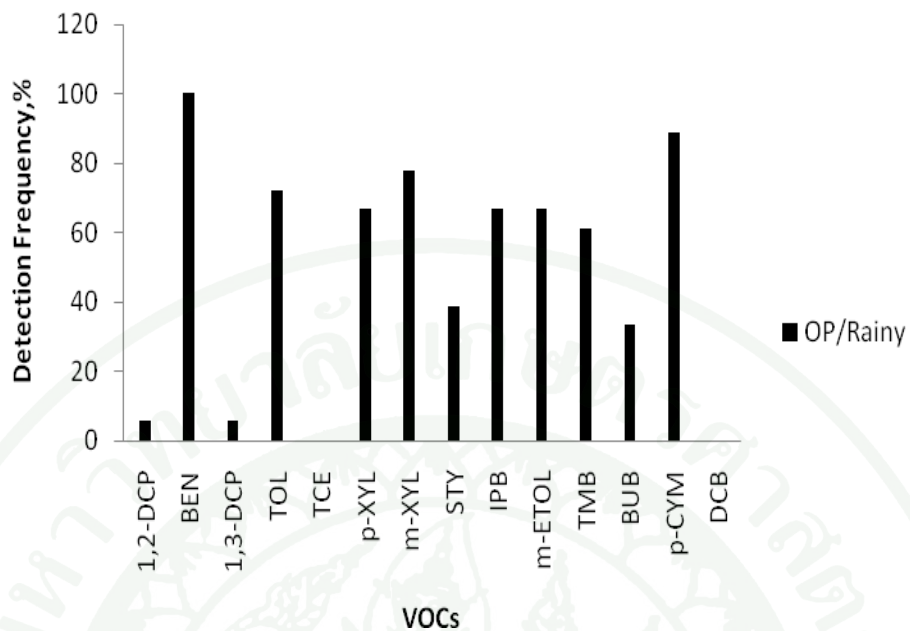
ภาพที่ 14 ร้อยละการตรวจพบของสารอินทรีย์ระเหยบริเวณกองมูลฝอยเปิดในฤดูแล้ง

อัตราการแพร่ระบาดของสารอินทรีย์ระเหยบริเวณกองมูลฝอยเปิดในฤดูฝนและความถี่ของการตรวจพบแสดงในตารางที่ 28 และภาพที่ 15 ตามลำดับ พนสารอินทรีย์ระเหย คือ o-Dichlorobenzene มีค่าเฉลี่ย 1.883 มิลลิกรัมต่อตารางเมตรต่อวัน ตรวจพบคิดเป็นร้อยละ 5.56 Benzene (CAS) Phene มีค่าเฉลี่ย 34.835 มิลลิกรัมต่อตารางเมตรต่อวัน ตรวจพบทั้งหมดทุกตัวอย่าง คิดเป็นร้อยละ 100 1,3-Dichloropropane มีค่าเฉลี่ย 5.001 มิลลิกรัมต่อตารางเมตรต่อวัน ตรวจพบคิดเป็นร้อยละ 5.56 Toluene มีค่าเฉลี่ย 4.034 มิลลิกรัมต่อตารางเมตรต่อวัน ตรวจพบคิดเป็นร้อยละ 72.22 p-Xylene มีค่าเฉลี่ย 0.498 มิลลิกรัมต่อตารางเมตรต่อวัน ตรวจพบคิดเป็นร้อยละ 66.67 m-Xylene มีค่าเฉลี่ย 25.315 มิลลิกรัมต่อตารางเมตรต่อวัน ตรวจพบคิดเป็นร้อยละ 77.78 Styrene มีค่าเฉลี่ย 2.521 มิลลิกรัมต่อตารางเมตรต่อวัน ตรวจพบคิดเป็นร้อยละ 38.89 Ethyltoluene มีค่าเฉลี่ย 2.170 มิลลิกรัมต่อตารางเมตรต่อวัน ตรวจพบคิดเป็นร้อยละ 66.67 Isopropylbenzene มีค่าเฉลี่ย 1.919 มิลลิกรัมต่อตารางเมตรต่อวัน ตรวจพบคิดเป็นร้อยละ 66.67 Trimethylbenzene มีค่าเฉลี่ย 1.166 มิลลิกรัมต่อตารางเมตรต่อวัน ตรวจพบคิดเป็นร้อยละ 61.11 sec-Butylbenzene มีค่าเฉลี่ย 2.151 มิลลิกรัมต่อตารางเมตรต่อวัน ตรวจพบคิดเป็นร้อยละ 33.33 และ p-Cymene มีค่าเฉลี่ย 2.825 มิลลิกรัมต่อตารางเมตรต่อวัน ตรวจพบคิดเป็นร้อยละ 88.89 ของตัวอย่างทั้งหมด

ตารางที่ 28 อัตราการแพร่ระบาดสารอินทรีชีร์ระเหยบริเวณกองมูลฝอยเปิดในฤดูฝน

สาร	อัตราการแพร่ระบาดสารอินทรีชีร์ระเหย (mg/m <sup>2</sup> /d)(n=18)				
	ค่าต่ำสุด	ค่าสูงสุด	ค่ากลาง	เฉลี่ย	SD
1,2-Dichloropropane	1.883	1.883	1.883	1.883	0.000
Benzene (CAS) Phene	29.091	37.875	34.911	34.835	2.222
1,3-Dichloropropane	5.001	5.001	5.001	5.001	0.000
Toluene	2.517	5.166	4.086	4.034	0.870
Tetrachloroethylene	-	-	-	-	-
p-Xylene	0.208	1.439	0.3359	0.498	0.363
m-Xylene	16.492	34.045	22.672	25.315	7.127
Styrene	2.314	2.704	2.539	2.521	0.137
Isopropylbenzene	1.219	2.873	1.878	1.919	0.359
m-Ethyltoluene	1.551	2.912	2.180	2.170	0.349
1,3,5-Trimethylbenzene	0.666	2.086	1.013	1.166	0.464
sec-Butylbenzene	1.755	2.633	2.068	2.151	0.390
p-Cymene	1.828	4.637	2.267	2.825	1.006
o-Dichlorobenzene	-	-	-	-	-

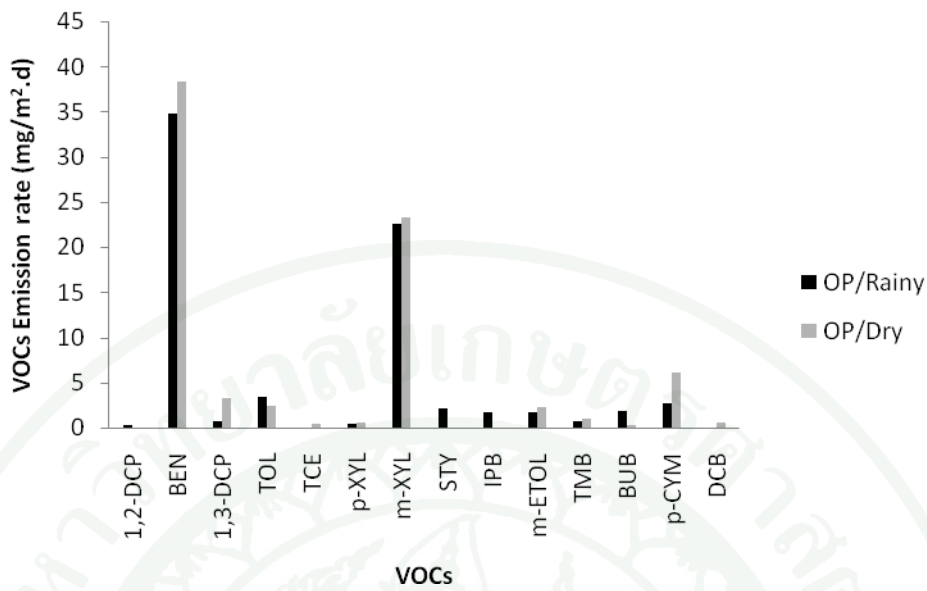
หมายเหตุ : - หมายความว่า ตรวจไม่พบ



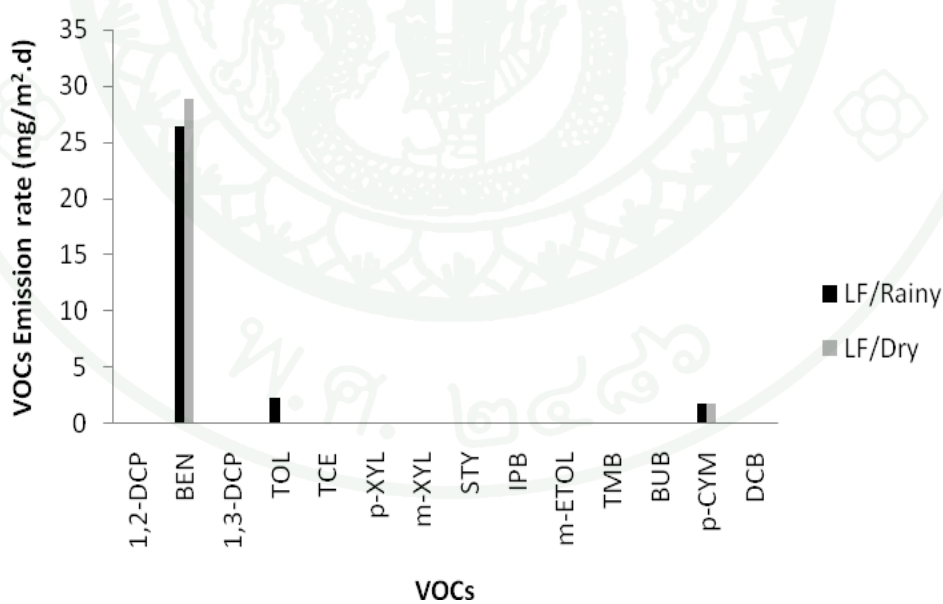
ภาพที่ 15 ร้อยละการตรวจพบของสารอินทรีย์ระเหยบริเวณกองมูลฝอยเปิดในฤดูฝน

เมื่อพิจารณาอัตราการแพร่ระบาดของสารอินทรีย์ระเหยในพื้นที่เดียวกันแต่ต่างฤดู (ภาพที่ 16 และ 17) พบว่า บริเวณหลุมฝังกลบในฤดูฝนสามารถตรวจพบสารอินทรีย์ระเหยได้มากชนิดกว่า อาจเนื่องจาก ความชื้นสูงในกอง/หลุมฝังกลบ สูงจึงมีการย่อยสลายสารอินทรีย์ต่าง ๆ ได้ดี (Merz and Stone (1964) และอาจเนื่องจากองค์ประกอบของมูลฝอยที่แตกต่างกันในแต่ละฤดู (มณีรัตน์, 2549) ทำให้เกิดสารที่ต่างกันได้ (มณีรัตน์, 2549) ส่วนสารที่ตรวจพบเหมือนกันคือ Benzene และ p-Cymene ซึ่ง Benzene

โดยมณีรัตน์, 2549 รายงานว่า ปริมาณการแพร่ระบาดสูงที่อุณหภูมิ 80 องศาเซลเซียส ส่วน บริเวณกองมูลฝอยเปิด พบว่า ในฤดูฝนและฤดูแล้งตรวจพบสารอินทรีย์ระเหยคล้าย ๆ กัน แตกต่าง กันบ้างเล็กน้อย และสามารถตรวจพบสารอินทรีย์ระเหยได้มากชนิดกว่าในหลุมฝังกลบ เพราะ ขึ้นอยู่กับองค์ประกอบของมูลฝอยในช่วงเวลาหนึ่ง และบริเวณกองเปิดมีค่าสูงกว่าในหลุมฝังกลบ อย่างมีนัยสำคัญ ( $P \leq 0.05$ ; ตารางผนวกที่ จ3) เนื่องจากบริเวณหลุมฝังกลบมีวัสดุคลบทับ ทำให้ลด อัตราการแพร่ระบาดได้มาก (อัญชรี, 2547)

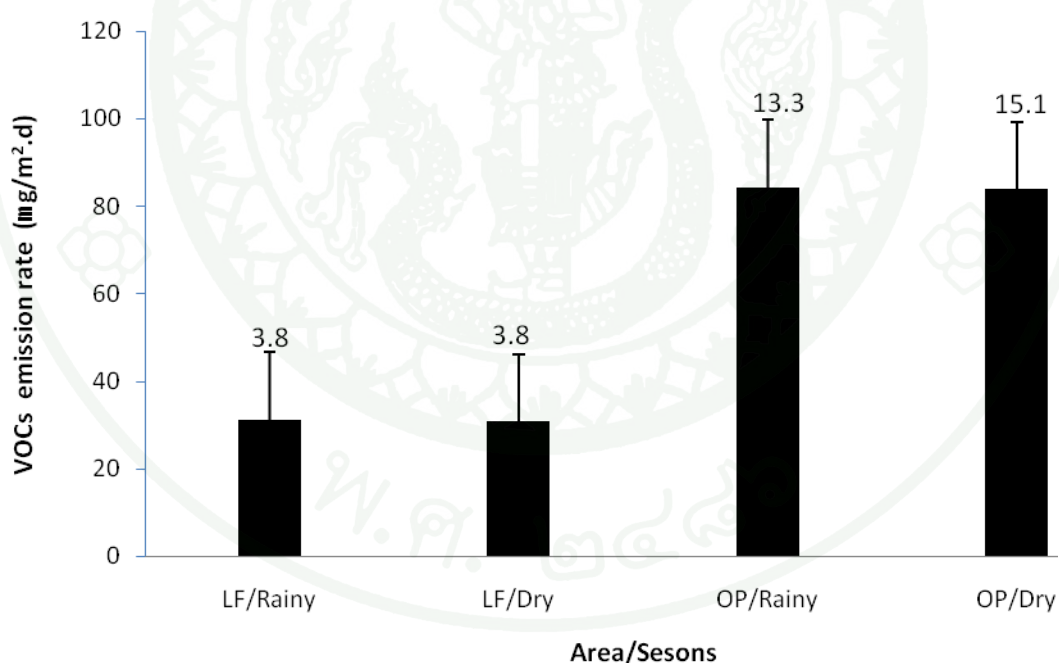


ภาพที่ 16 อัตราการแพร่ของสารอินทรีย์ระเหยบริเวณกองมูลฝอยเปิดในฤดูฝนและฤดูแล้ง



ภาพที่ 17 อัตราการแพร่ของสารอินทรีย์ระเหยบริเวณหลุมฝังกลบในฤดูฝนและฤดูแล้ง

จากการเฝ้าดูร้อยละการตรวจพบของสารอินทรีรั่วไหลบริเวณกองมูลฝอยเปิดและบริเวณหลุมฝังกลับทั้งในฤดูฝนและฤดูแล้ง พบว่า สารอินทรีรั่วไหลที่ตรวจพบทุกตัวอย่างคือ เป็นซีน และมีอัตราการแพร่ระบาดมากที่สุดทั้งสองบริเวณและทั้งสองฤดู เนื่องจาก เป็นซีนเป็นสารตั้งต้นที่จะทำให้เกิดสารอินทรีรั่วไหลชนิดอื่น ๆ ต่อไป ซึ่งตรงกับการศึกษาที่ผ่านมาที่พบอัตราการแพร่ระบาดบนซีนมากที่สุด และแหล่งที่มาของสารอินทรีรั่วไหลประเภทบนซีน โถลูอีน และไตรคลอโรเอทธิลีน ซึ่งส่วนใหญ่มาจากพลาสติกสด (มณีรัตน์, 2549) และการศึกษาอัตราการแพร่ระบาดของสารอินทรีรั่วไหล ได้แก่ ไตรคลอโรเอทธิลีน เป็นซีน โถลูอีน เอทธิลเบนซีน และไชลีน จากหลุมฝังกลบมูลฝอยขององค์การบริหารส่วนจังหวัดนนทบุรี พบว่า กองมูลฝอยเปิดมีอัตราการแพร่ระบาดของสารอินทรีรั่วไหลในรูป ก๊าซของเบนซีนสูงที่สุด (อันชรีย์, 2547) ส่วนในเมืองกว้างเจา ประเทศจีน พนอัตราการแพร่กระจายของสารอินทรีรั่วไหลจำนวน 38 ชนิด ในฤดูหนาว และ 60 ชนิด ในฤดูร้อน บริเวณบรรยายกาศหนือหลุ่มฝังกลบมูลฝอย Datianshan โดยกลุ่มหลักที่พบ คือ กลุ่ม Aromatic Hydrocarbon เช่นเดียวกันทั้ง 2 ฤดูกาล (Zou, 2003)



ภาพที่ 18 อัตราการแพร่ระบาดสารอินทรีรั่วไหลรวมทั้งหมดทุกชนิดในแต่ละพื้นที่แต่ละฤดู

จากภาพที่ 18 จะเห็นได้ว่า อัตราการแพร่ระบาดสารอินทรีในกองเปิดฤดูฝนและฤดูแล้ง มีค่า  $84.3 \pm 13.3$  และ  $83.9 \pm 15.1$  มิลลิกรัมต่อตารางเมตรต่อวัน ตามลำดับ และบริเวณหลุมฝังกลบในฤดูฝนและฤดูแล้ง มีค่าเท่ากับ  $31.2 \pm 3.8$  และ  $30.7 \pm 3.8$  มิลลิกรัมต่อตารางเมตรต่อวัน ตามลำดับ

เมื่อพิจารณาต่างพื้นที่กัน พบว่า อัตราการแพร่ระบาดสารอินทรีย์ระเหยบริเวณกองมูลฝอยเปิดมีค่าสูงกว่าหลุมฝังกลบทั้งในถุงฟอนและถุงแล้ง อย่างมีความแตกต่างกันตามนัยสำคัญทางสถิติ ( $P<0.05$ ; ตารางผนวกที่ 13) เนื่องจาก บริเวณหลุมฝังกลบมีวัสดุคลบหับทำให้ลดอัตราการแพร่ระบาดก้าชได้ ถ้าเปรียบเทียบพื้นที่เดียวกันและต่างถุงกัน พบว่า อัตราการแพร่ระบาดก้าชที่ทั้งสองชนิดไม่มีความแตกต่างกันตามนัยสำคัญทางสถิติ ( $P>0.05$ ; ตารางผนวกที่ 13) ทั้งสองถุง เนื่องจาก วัสดุคลบหับหนาผิวทำให้อัตราการแพร่ระบาดบริเวณหลุมฝังกลบทั้งสองถุงมีค่าใกล้เคียงกัน

#### 4. ระดับการทำลายดีเอ็นเอพีช(พลูด่าง) บริเวณกองเปิดและหลุมฝังกลบ ในถุงฟอนและถุงแล้ง

เก็บตัวอย่างพีช(พลูด่าง) ชั่วโมงที่ 0 และชั่วโมงที่ 96 ถุงละสองครั้ง ทำการทดลองในถุงฟอนครั้งที่ 1 ระหว่างวันที่ 26-30 กันยายน 2551 ครั้งที่ 2 วันที่ 20-24 ตุลาคม 2551 และในถุงแล้งครั้งที่ 1 ทดสอบระหว่างวันที่ 2-6 มีนาคม 2552 ครั้งที่ 2 วันที่ 25-29 เมษายน 2552 ผลการทำลายดีเอ็นเอพีชชุดควบคุมชั่วโมงที่ 0 มีค่าร้อยละ  $13.2\pm4.5$  ชั่วโมงที่ 96 มีค่าร้อยละ  $18.8\pm3.7$  บริเวณหลุมฝังกลบและกองเปิด มีค่าร้อยละ  $31.4\pm4.1$  และ  $42.9\pm10.5$  ตามลำดับ ในถุงแล้งชุดควบคุมชั่วโมงที่ 0 มีค่าร้อยละ  $19.3\pm2.7$  ชั่วโมงที่ 96 มีค่าร้อยละ  $22.8\pm2.6$  บริเวณหลุมฝังกลบและกองเปิดมีค่าร้อยละ  $41.7\pm10.5$  และ  $60.6\pm13.5$  ตามลำดับ สรุปได้ว่า ระดับการทำลายดีเอ็นเอของบริเวณกองเปิดมีค่าสูงกว่าบริเวณหลุมฝังกลบ ทั้งในถุงฟอนและถุง แล้ง และบ่อกำจัดยะทั้งสองบริเวณมีค่าสูงกว่าชุดควบคุมที่ระยะเวลาสัมผัส 96 ชั่วโมง อย่างมีนัยสำคัญทางสถิติ ( $P<0.05$ ; ตารางผนวกที่ 13) เนื่องจากอัตราการแพร่ระบาดก้าชชีวภาพและอุณหภูมิในกองเปิดมีค่าสูงกว่าหลุมฝังกลบทั้งในถุงฟอนและถุงแล้ง (ตารางที่ 19)

บริเวณบ่อกำจัดยะมีการทำลายดีเอ็นเอของพลูด่างสูงกว่าชุดควบคุม ( $P<0.05$ ; ตารางผนวกที่ 13) ส่วนบริเวณกองเปิด (ร้อยละ 43-61) มีค่าสูงกว่าในหลุมฝังกลบ (ร้อยละ 31-42) ถ้าเปรียบเทียบตามถุงคลาพบว่าถุงแล้ง (ร้อยละ 42-61) มีค่าสูงกว่าถุงฟอน (ร้อยละ 31-43) ทั้งสองบริเวณ ( $P<0.05$ ; ตารางผนวกที่ 13) ซึ่งสอดคล้องกับอัตราการแพร่ระบาดของก้าชชีวภาพ (ตารางที่ 14-17) ความเข้มข้นของก้าชชีวภาพในบรรยายกาศ (ตารางที่ 20-23) และอัตราการแพร่ระษายสารอินทรีย์ระเหย (ตารางที่ 25-28) ถ้าเปรียบเทียบกับในการศึกษาห้องปฏิบัติการ (ประดิษฐ์, 2551) การทำลายดีเอ็นเอของพลูด่างในบ่อกำจัดยะจริงมีค่าสูงกว่าการศึกษาในห้องปฏิบัติการ (ร้อยละ 37 ที่ 144 ชั่วโมง ความเข้มข้นมีเทนร้อยละ 10) ทั้งนี้เนื่องจากในห้องปฏิบัติการสามารถควบคุมปัจจัย

แวดล้อม เช่น แสง อุณหภูมิ ได้ดี ซึ่งระดับการทำลายดีเอ็นเอของพืชมีปัจจัยอื่นนอกเหนือจากก้าช  
ชีวภาพ เช่น อุณหภูมิ ความเข้มแสง สารพิษอื่น ๆ เป็นต้น

ตารางที่ 29 การทำลายดีเอ็นเอพืชชุดควบคุม

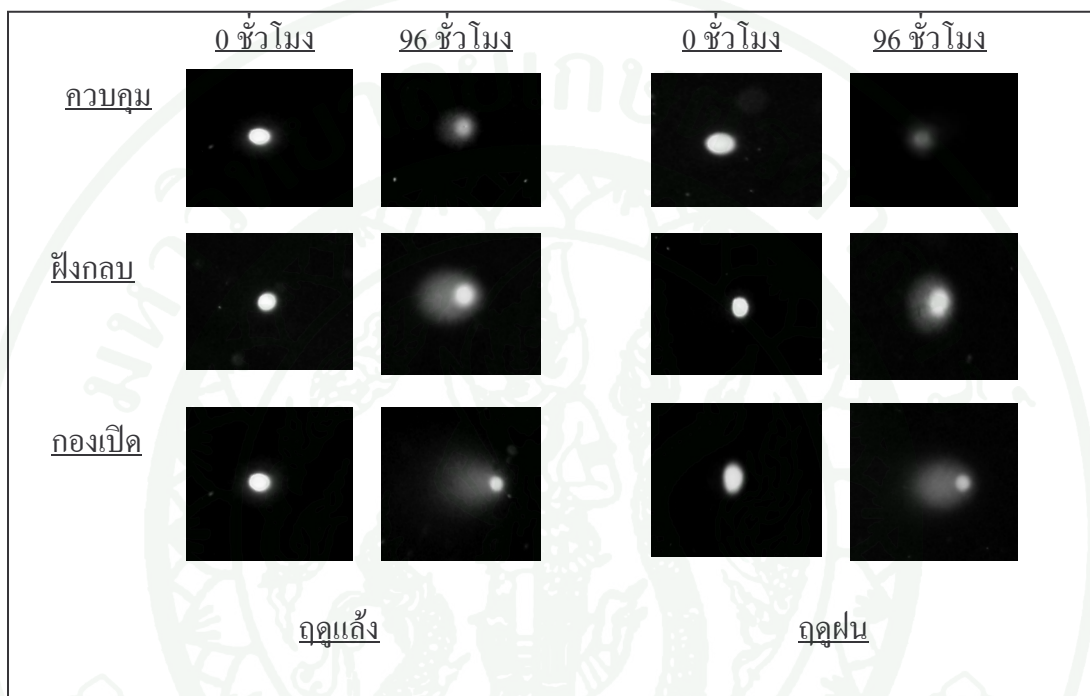
เวลา	การทำลายดีเอ็นเอพืชช้าโคงที่ 0 (%)				การทำลายดีเอ็นเอพืชระยะสัมผัส 96 ชั่วโมง (%)			
	ช่วง	ค่ากลาง	เฉลี่ย	SD	ช่วง	ค่ากลาง	เฉลี่ย	SD
<b>ถ้วน</b>								
-26-30/09/51	5.8-20.7	14.7	12.7	4.82	13.2-22.2	20.2	17.6	4.23
-20-24/10/51	6.6-22.5	14.8	13.6	5.25	13.6-26.0	17.4	19.9	2.91
รวม	5.8-22.5	14.8	13.2	4.94	13.2-26.0	18.5	18.8	3.68
<b>ถ้วนแล้ง</b>								
-2-6/03/52	15.4-23.8	19.4	18.8	3.13	19.1-25.6	23.6	22.1	2.80
-25-29/04/52	16.8-27.3	18.3	19.9	2.34	20.0-28.7	22.9	23.5	2.35
รวม	15.4-27.3	18.8	19.3	2.72	19.1-28.7	23.1	22.8	2.56

ตารางที่ 30 การทำลายดีเอ็นเอพืชบริเวณกองเปิดและหลุมฝังกลบที่ระยะเวลาสัมผัส 96 ชั่วโมง

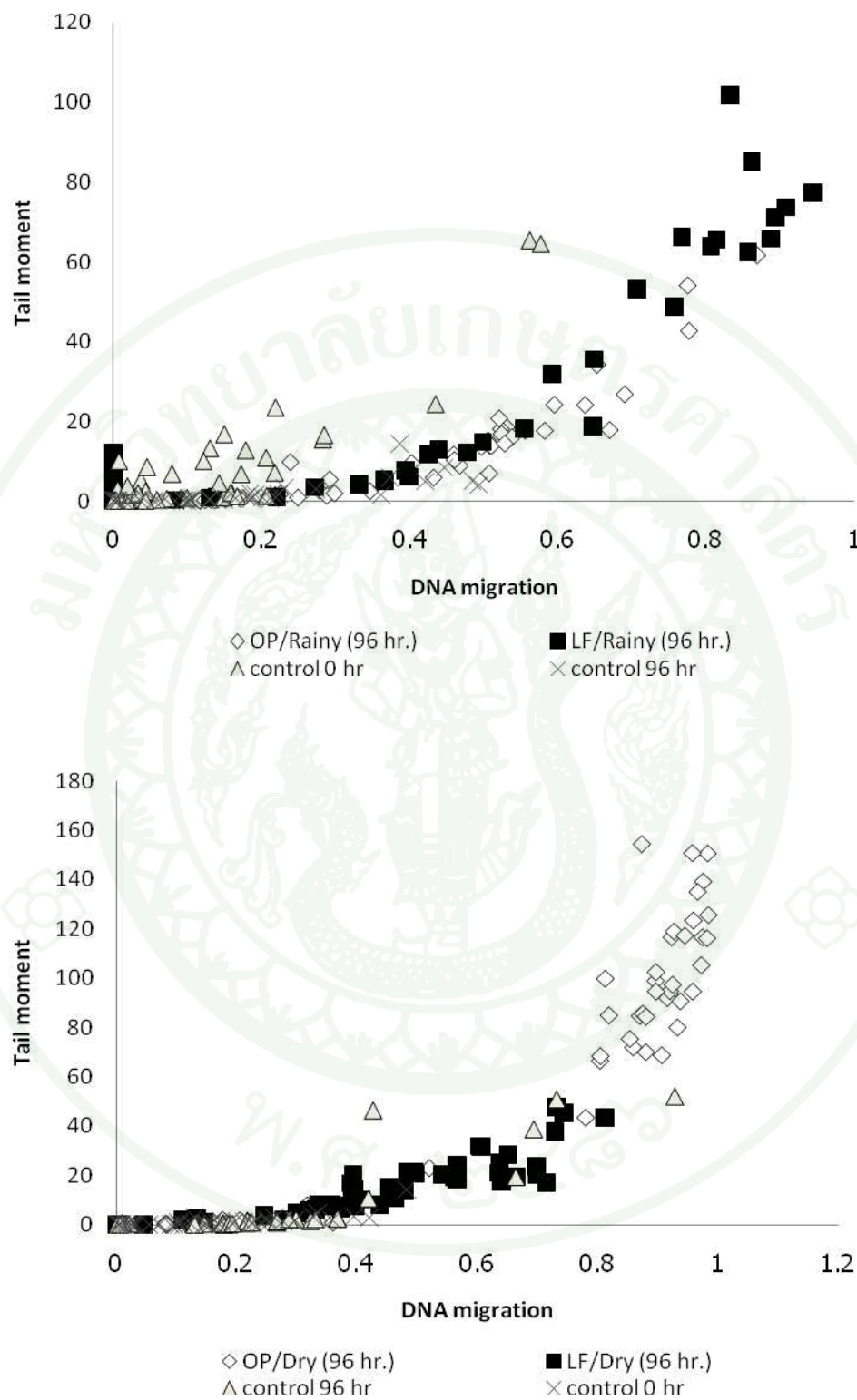
เวลา	กองเปิด (%)				หลุมฝังกลบ (%)			
	ช่วง	ค่ากลาง	เฉลี่ย	SD	ช่วง	ค่ากลาง	เฉลี่ย	SD
<b>ถ้วน</b>								
-26-30/09/51	33.1-62.0	36.9	43.5	10.92	27.7-39.4	32.0	32.1	3.38
-20-24/10/51	31.5-64.5	37.7	42.3	10.60	26.0-41.7	28.8	30.6	4.71
รวม	31.5-64.5	37.0	42.9	10.54	26.0-41.7	31.5	31.4	4.11
<b>ถ้วนแล้ง</b>								
-2-6/03/52	35.0-78.2	66.0	61.7	13.87	30.1-58.0	38.6	41.4	11.30
-25-29/04/52	39.2-76.2	63.7	59.6	13.71	29.9-59.8	41.2	42.1	10.22
รวม	35.0-78.2	64.6	60.6	13.54	29.9-59.8	39.9	41.7	10.51

เมื่อพิจารณาจากกราฟระหว่างการเคลื่อนที่ของดีเอ็นเอ (tail moment) และระดับการทำลายดีเอ็นเอพืชพลูต่าง (DNA migration) พบว่า ในกองเปิดถ้วนค่าการทำลายดีเอ็นเอพืชที่เคลื่อนที่ของดีเอ็นเอ (tail moment) มีการเคลื่อนที่ของดีเอ็นเอน้อยกว่ากองเปิดถ้วนแล้ง ในหลุมฝังกลบการเคลื่อนที่ดี

เอ็นเอในคุณและคุณแล้วไม่แตกต่างกัน ชุดควบคุมทั้งในคุณและคุณแล้วก็ไม่มีความแตกต่างกันของการเคลื่อนที่ของดีเอ็นเอ ซึ่งมีค่าสอดคล้องกับระดับการทำลายดีเอ็นเอ คือ เมื่อระดับการทำลายดีเอ็นเอสูงการเคลื่อนที่ของดีเอ็นเอก็มีค่าสูง ระดับการทำลายดีเอ็นเอต่ำการเคลื่อนที่ของดีเอ็นเอก็ต่ำด้วย ถ้ามีการเคลื่อนที่มากแสดงว่ามีการทำลายดีเอ็นเอมากเข่นกัน



ภาพที่ 19 ตัวอย่างการทำลายดีเอ็นเอพลูค่าง



ภาพที่ 20 กราฟการเคลื่อนที่ของดีเอ็นเอ และระดับการทำลายดีเอ็นเอพีช(พลูค่าง)

## 5. ความสัมพันธ์ระหว่างอัตราการแพร่ระบาดก้าชชีวภาพและสารอินทรีย์ระเหยกับการทำลายดีเอ็นเอพีช (พลูค่าจ)

จากการทดลองโดยให้สมมุติฐานว่าไม่เกิดภาวะ Synergistic effect ของพลูค่าจหรือการเกิดภาวะส่งเสริมซึ่งกันและกันของสาร จะได้ความสัมพันธ์ระหว่าง ระดับการทำลายดีเอ็นเอและอัตราการแพร่ระบาดก้าชชีวภาพและสารอินทรีย์ระเหยดังสมการต่อไปนี้คือ

$$\text{ก้าชมีเทน } y = 11.06x(\text{CH}_4) + 17.99, R^2 = 0.807 \quad (4)$$

$$\text{และการ์บอนไครออกไซด์ } y = 8.193x(\text{CO}_2) + 26.99, R^2 = 0.777 \quad (5)$$

$$\text{สารอินทรีย์ระเหย } y = 0.342x(\text{VOCs}) + 23.69, R^2 = 0.733 \quad (6)$$

ส่วนความสัมพันธ์ระหว่างระดับการทำลายดีเอ็นเอและความเข้มข้นของก้าชชีวภาพในบรรยายกาศ ดังสมการต่อไปนี้คือ

$$\text{ก้าชมีเทน } y = 76.97x(\text{CH}_4) + 18.08, R^2 = 0.703 \quad (7)$$

$$\text{และการ์บอนไครออกไซด์ } y = 52.55x(\text{CO}_2) + 21.40, R^2 = 0.789 \quad (8)$$

โดยที่

$y$  = ร้อยละระดับการทำลายดีเอ็นเอ

$x$  =  $\ln \text{CO}_2$  หรือ  $\ln \text{CH}_4$  emission ( $\text{g}/\text{m}^2.\text{d}$ ) และ VOCs emission ( $\text{mg}/\text{m}^2.\text{d}$ ) และ  
ความเข้มข้นก้าชชีวภาพในบรรยายกาศ (%)

### ตัวอย่างการคำนวณ

ทำการทำลายดีเอ็นเอที่มีอัตราการแพร่ระบาดก้าชมีเทนและการ์บอนไครออกไซด์มีค่า  $50 \text{ g}/\text{m}^2/\text{d}$  และมีอัตราการการแพร่ระบาดสารอินทรีย์ระเหยมีค่า  $5.0 \text{ mg}/\text{m}^2.\text{d}$  และความเข้มข้นของก้าชชีวภาพในบรรยายกาศทั้งสองชนิดมีค่า  $0.5\%$

$$\text{ดังนี้ } y = 11.06x + 17.99 \quad (1) \text{ ถ้า } \text{CH}_4 \text{ emission} = 50 \text{ g}/\text{m}^2.\text{d}$$

$$\text{จะได้ } x = 3.91 \text{ ดังนี้ } y = 61.2, \text{ การทำลายดีเอ็นเอร้อยละ } 61.2$$

$$y = 8.193x + 26.99 \quad (2) \text{ ถ้า } \text{CO}_2 \text{ emission} = 50 \text{ g}/\text{m}^2.\text{d}$$

$$\text{จะได้ } x = 3.91 \text{ ดังนี้ } y = 59.0, \text{ การทำลายดีเอ็นเอร้อยละ } 59.0$$

$$y = 0.342x + 23.69 \quad (3) \quad \text{ถ้า VOCs emission} = 5.0 \text{ mg/m}^2.\text{d}$$

จะได้  $x = 5.0$  ดังนั้น  $y = 25.0$ , การทำลายคีอีนเอร์อยละ 25.0

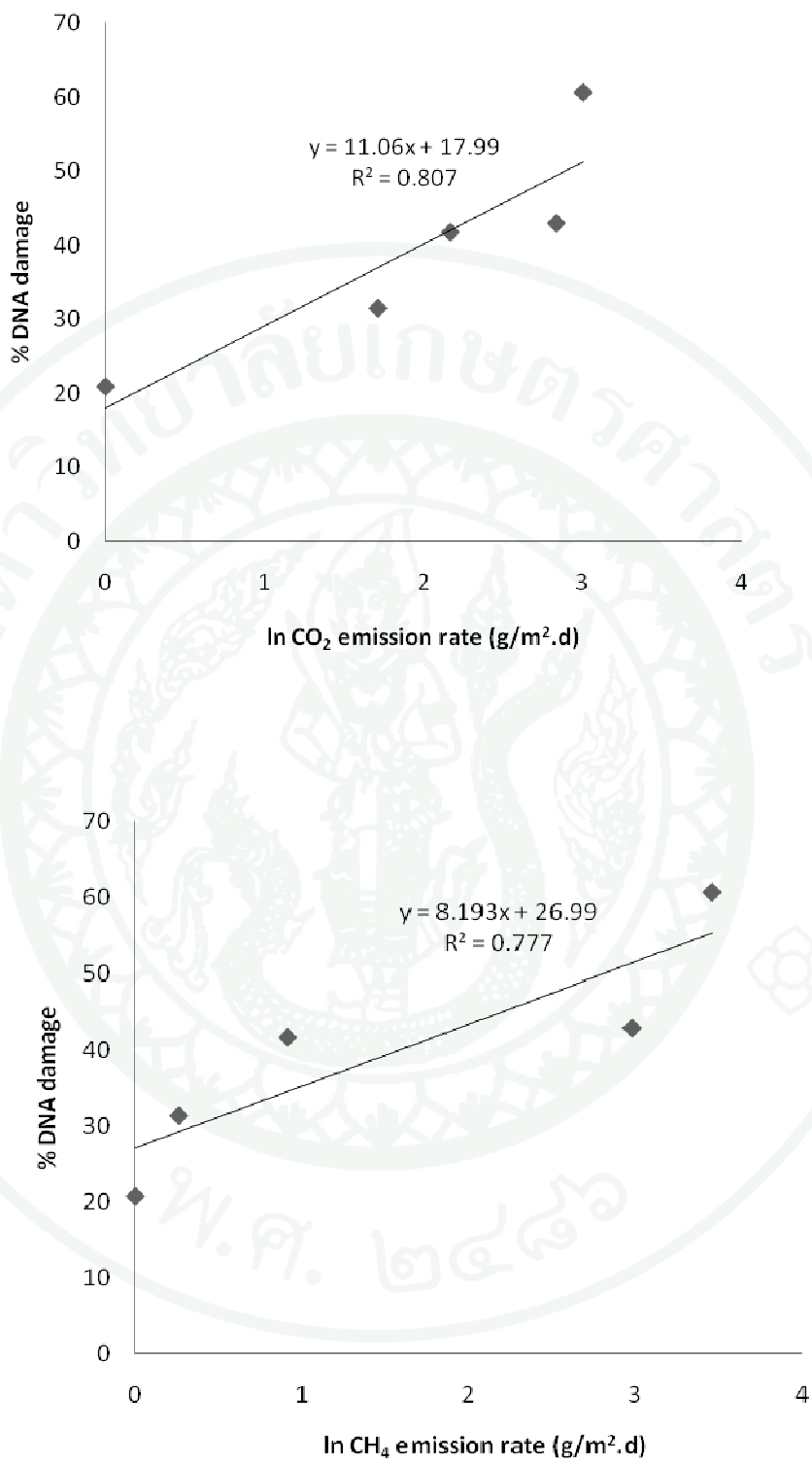
$$y = 76.97x + 18.08 \quad (4) \quad \text{ถ้า ความเข้มข้นก๊าซมีเทน} = 0.5 \%$$

จะได้  $x = 0.005$  ดังนั้น  $y = 56.6$ , การทำลายคีอีนเอร์อยละ 56.6

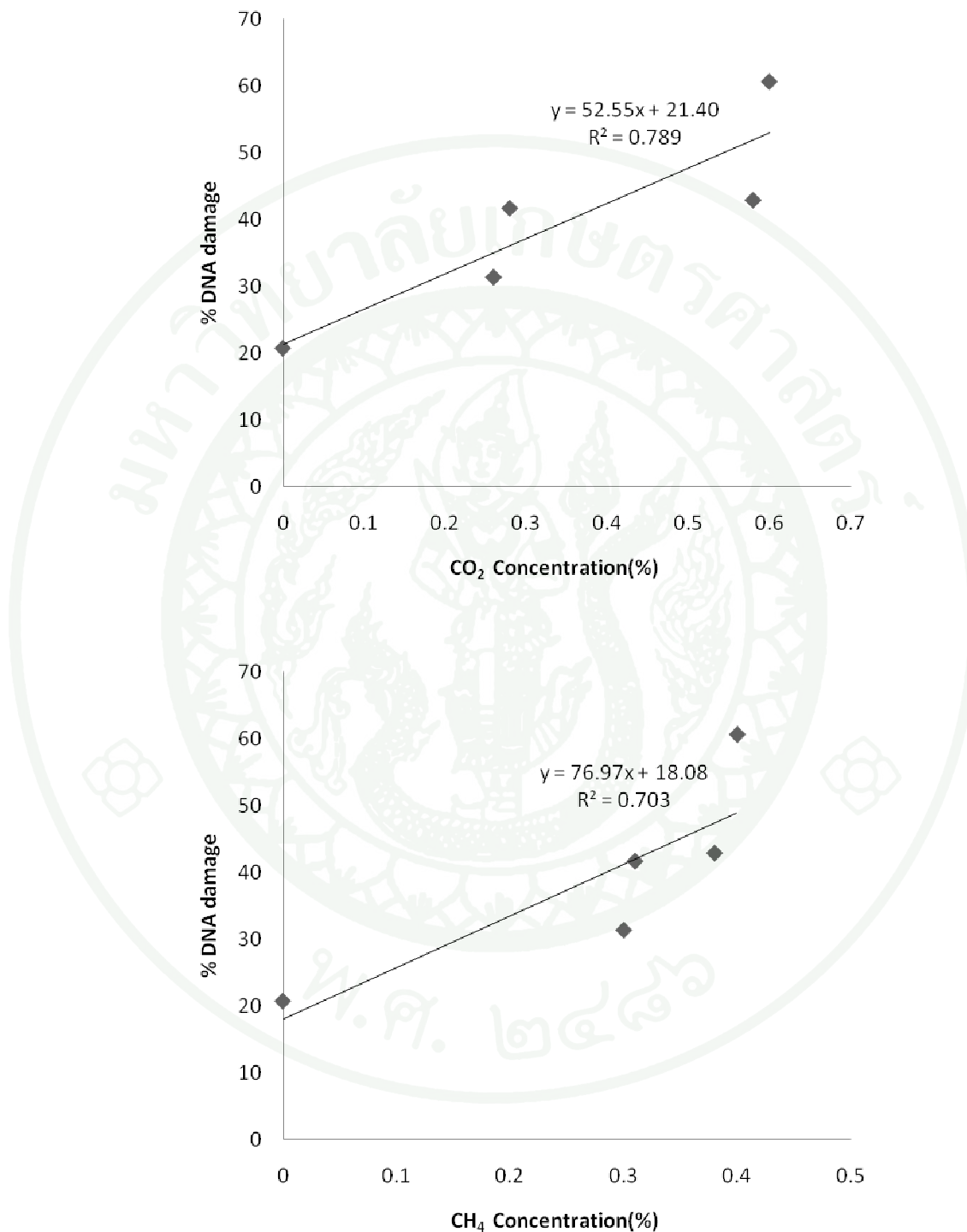
$$y = 52.55x + 21.40 \quad (5) \quad \text{ถ้า ความเข้มข้นก๊าซคาร์บอนไดออกไซด์} = 0.5 \%$$

จะได้  $x = 0.5$  ดังนั้น  $y = 47.7$ , การทำลายคีอีนเอร์อยละ 47.7

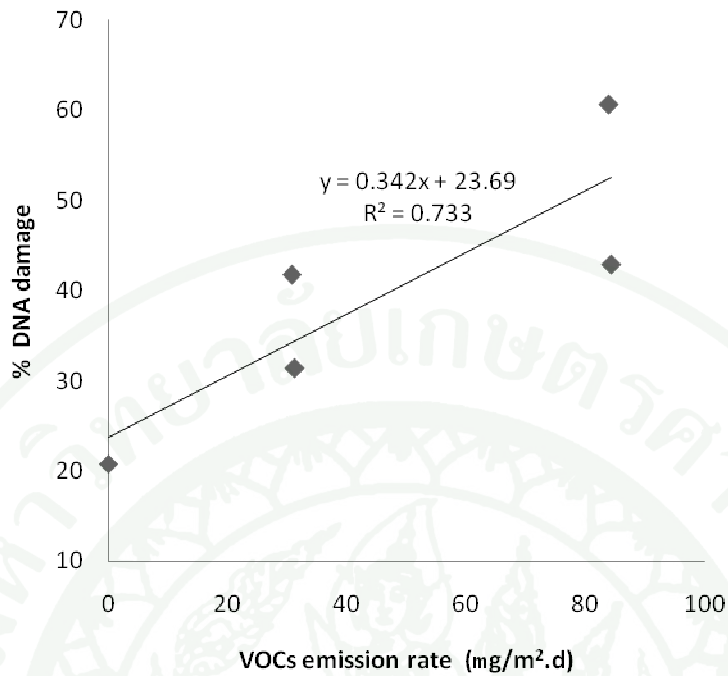
จากสมการที่ (1) ถึง (5) พบว่า การทำลายคีอีนเอร์มีความสัมพันธ์กับอัตราการแพร่ระเหยของก๊าซชีวภาพและสารอินทรีย์ระเหย และความเข้มข้นของก๊าซชีวภาพในบรรยากาศ มีความสัมพันธ์ในรูปแบบเป็นสมการเส้นตรง



ภาพที่ 21 กราฟความสัมพันธ์ระหว่าง ผลการทึบของอัตราการแพร่ระบาดก้าชชีวภาพ และร้อยละ ของระดับการทำลายดีเอ็นเอ



ภาพที่ 22 กราฟความสัมพันธ์ระหว่าง ความเข้มข้นกําชีวภาพในบรรยากาศ และร้อยละของ  
ระดับการทำลายดีอีนเอ



ภาพที่ 23 กราฟความสัมพันธ์ระหว่างอัตราการแพร่ระบาดของสารอินทรีย์ระเหย และร้อยละของระดับการทำลายคีอีนเอ

## สรุปและข้อเสนอแนะ

### สรุป

1. อัตราการแพร่ระบาดก้าzmีเทนและการรับอนไดออกไซด์มีค่าเฉลี่ยสูงสุดบริเวณกองเปิดในถุงแหล้งเคลี่ย  $31.8 \pm 14.1$  และ  $20.1 \pm 8.7$  กรัม/ตร.ม./วัน ตามลำดับ และมีค่าต่ำสุดบริเวณหลุมฝังกลบในถุงฝ่นเคลี่ย  $1.3 \pm 1.6$  และ  $5.5 \pm 1.2$  กรัม/ตร.ม./วัน ตามลำดับ พบว่า อัตราการแพร่ระบาดก้าzmีเทนและก้าzcarรบอนไดออกไซด์ ในกองเปิดมีค่าสูงกว่าในหลุมฝังกลบทั้งในถุงฝ่นและถุงแหล้ง โดยมีความแตกต่างกันอย่างมีนัยสำคัญทางสถิติ ( $P < 0.05$ ) แต่ถ้าเทียบพื้นที่เดียวกันแต่ต่างถุง พบว่า ไม่มีความแตกต่างกันตามนัยสำคัญทางสถิติ ( $P > 0.05$ )

2. ความเข้มข้นก้าzmีเทนและการรับอนไดออกไซด์ในบรรยายกาศบริเวณกองเปิดมีค่าเฉลี่ยในถุงฝ่นร้อยละ  $0.38 \pm 0.07$  และ  $0.58 \pm 0.06$  ในถุงแหล้งร้อยละ  $0.40 \pm 0.09$  และ  $0.60 \pm 0.05$  บริเวณหลุมฝังกลบมีค่าเฉลี่ยในถุงฝ่นร้อยละ  $0.30 \pm 0.02$  และ  $0.26 \pm 0.05$  ในถุงแหล้งร้อยละ  $0.31 \pm 0.02$  และ  $0.28 \pm 0.06$  ความเข้มข้นก้าzทั้งสองชนิด ในบรรยายกาศ บริเวณกองเปิดมีค่าสูงกว่าในหลุมฝังกลบ อย่างมีความแตกต่างกัน ( $P < 0.05$ ) ทั้งถุงฝ่นและถุงแหล้ง เปรียบเทียบพื้นที่เดียวกันแต่ต่างถุง พบว่า ก้าzcarรบอนไดออกไซด์ในสองถุงและก้าzmีเทนบริเวณหลุมฝังกลบถุงแหล้งมีค่าสูงกว่าถุงฝ่น ( $P < 0.05$ ) แต่บริเวณกองเปิดก้าzmีเทนในสองถุงไม่มีแตกต่างกัน ( $P > 0.05$ )

3. อัตราการแพร่ระบาดสารอินทรีย์ในกองเปิดถุงฝ่นและถุงแหล้งมีค่า  $84.3 \pm 13.3$  และ  $83.9 \pm 15.1$  มิลลิกรัมต่อตารางเมตรต่อวัน ตามลำดับ และบริเวณหลุมฝังกลบในถุงฝ่นและถุงแหล้งมีค่าเท่ากับ  $31.2 \pm 3.8$  และ  $30.7 \pm 3.8$  มิลลิกรัมต่อตารางเมตรต่อวัน ตามลำดับ เมื่อพิจารณาต่างพื้นที่กัน พบว่า อัตราการแพร่ระบาดสารอินทรีย์ระหว่างบริเวณกองมูลฝอยเปิดมีค่าสูงกว่าหลุมฝังกลบทั้งในถุงฝ่นและถุงแหล้ง อย่างมีความแตกต่างกันตามนัยสำคัญทางสถิติ ( $P < 0.05$ ) ถ้าเปรียบเทียบพื้นที่เดียวกันและต่างถุงกัน พบว่า อัตราการแพร่ระบาดก้าzที่ทั้งสองชนิด ไม่มีความแตกต่างกันตามนัยสำคัญทางสถิติ ( $P > 0.05$ ) ทั้งสองถุง และสารที่พบมากที่สุดคือ เบนซิน

4. ระดับการทำลายคืออัตราของพลุ่ด่างมีค่าเฉลี่ยบริเวณกองเปิดสูงกว่าหลุมฝังกลบ ในถุงแหล้งมีค่าร้อยละ  $60.6 \pm 13.5$  และ  $41.7 \pm 10.5$  ตามลำดับ ซึ่งสูงกว่าในถุงฝ่น ( $P < 0.05$ ) ที่มีค่าร้อยละ

$42.9 \pm 10.5$  และ  $31.4 \pm 4.1$  ตามลำดับ และบริเวณบ่อกำจัดจะมีค่าสูงกว่าชุดควบคุมที่ระยะเวลาสัมผัส 96 ชั่วโมง อย่างมีนัยสำคัญทางสถิติ ( $P < 0.05$ )

5. ระดับการทำลายดีเอ็นเอพีช(พลุต่าจ)แปรตามกับอัตราการแพร่ระบาดก้าชชีวภาพและสารอินทรีย์ระเหยในบ่อกำจัดจะมีผลอย สามารถนำมาประยุกต์ใช้ในการประเมินความเสี่ยงหรือความเป็นพิษต่อพืชในสถานที่ต่างๆ ที่มีการปลดปล่อยสารที่เป็นมลพิษต่อสิ่งแวดล้อมได้

#### ข้อเสนอแนะ

1. ควรมีการตรวจวัดอัตราการแพร่ระบาดก้าชชีวภาพตลอดทั้งวัน (ทั้งกลางวันและกลางคืน) เพื่อจะได้ค่าการเปลี่ยนแปลงของการแพร่ระบาดก้าชชีวภาพจากหลุมฝังกลบมูลฝอยตลอดทั้งวันได้ถูกต้องมากยิ่งขึ้น
2. วิธีการโคมไฟพืชที่นำมาใช้ในการติดตามผลกระบทจากหลุมฝังกลบจริง ต้องทำการศึกษาในแต่ละพื้นที่ แต่ละช่วงเวลาที่ต้องการศึกษา เพราะแต่ละพื้นที่แต่ละช่วงเวลา มีความแตกต่างกัน การศึกษาครั้งนี้สามารถใช้ประเมินความเป็นพิษต่อพืชเบื้องต้นได้เท่านั้น

## เอกสารและสิ่งอ้างอิง

กรมโรงงานอุตสาหกรรม.2547. ตำราระบบบำบัดมลพิษอากาศ. ศูนย์บริการวิชาการแห่ง  
จุฬาลงกรณ์มหาวิทยาลัย. กรุงเทพฯ.

กรมอุตุนิยมวิทยา. 2548-2551,ระบบบริการสารสนเทศภูมิอากาศ,กรมอุตุนิยมวิทยา

กิตติผล จิตตานุกูล,2547 : อิทธิพลของน้ำระบายน้ำมลฟอยด์ต่อเมืองอากาศเด่นในชั้นดินกลับทับมลฟอยด์ที่  
มีการปลูกพืช. วิทยานิพนธ์ปริญญาโท, มหาวิทยาลัยเกษตรศาสตร์

ทัศนีย์ เอี่ยมกมล, ณรงค์ศักดิ์ พ่วงลาก, วิเชฐฐ์ คงชื่อ, กำธร ธีรคุปต์ และ เปี่ยมศักดิ์ เมนะเสวต.

2550. ผลงานคลอร์ไฟฟ์อสต์อุปกรณ์การทำลายดีเอ็นเอในเซลล์เม็ดเลือดกุ้งกุลาดำ

*Penaeus monodon*. Proceeding of the 33<sup>nd</sup> Congress on science and  
technology of Thailand.

พิพย์สุรีย์ กรนัญรักษ์, ชาติ เจียมไชยครี, วีไล เจียมไชยครี และสิรินทรเทพ เต้าประยูร. 2549 .

การวิเคราะห์อัตราการแพร่ระบาดของก้าชมีเทนจากพื้นที่กำจัดมลฟอยด์ในประเทศไทยโดย  
ประยุกต์ใช้ระบบข้อมูลสารสนเทศ. วารสารวิศวกรรมสิ่งแวดล้อม 19(3) : 11-23

ประดิษฐา ร้อยเอ็ด. 2551. การใช้วิธีโคเมทในพืชติดตามผลกระทบของก้าชชีวภาพและน้ำระบายน้ำมล  
ฟอย. วิทยานิพนธ์ปริญญาโท, มหาวิทยาลัยเกษตรศาสตร์

พิมลรัตน์ พุทธมิลินประทีป. 2544 . อิทธิพลของดูออกาลต่อองค์ประกอบและอัตราการแพร่ระบาด  
ของก้าชจากกุ้งกลับมลฟอย. วิทยานิพนธ์ปริญญาโท, มหาวิทยาลัยเกษตรศาสตร์

มนธิรา ศรีจักร โภค. 2550 .การทดสอบไมโครนิวเคลียสและโคเมทของสารสีที่ได้จากการ  
เพาะเลี้ยง ร่างเงิน ร่างทอง และร่างนา ก. วิทยานิพนธ์ปริญญาโท,  
มหาวิทยาลัยเกษตรศาสตร์

มณีรัตน์ บุชา. 2549. การประเมินอัตราการแพร่ระบาดของสารอินทรีย์ระเหยจากพื้นที่กำจัดมูลฟอยชุมชนในประเทศไทย. วิทยานิพนธ์ปริญญาโท, มหาวิทยาลัยเกษตรศาสตร์

รายงานฉบับสมบูรณ์ (Final Report). โครงการสำรวจและวิเคราะห์องค์ประกอบของมูลฟอยชุมชนของเทศบาลทั่วประเทศ. กรมควบคุมมลพิษ กระทรวงทรัพยากรธรรมชาติและสิ่งแวดล้อม

วันวิสา สุดประเสริฐ, บรรณี พักคง และ สิริกัญจน์ เนาพันธ์. 2549 .การใช้วิธี DNA Comet Assay สำหรับตรวจสอบเมล็ดถั่วเขียว ที่ผ่านการฉายรังสี gamma. Proceeding of the 32<sup>nd</sup> Congress on Science and Technology of Thailand.

วิจารณ์ อินทร์กำแหง. 2543. การประเมินอัตราการผลิตก้าชชีวภาพจากหลุมฝังกลบมูลฟอยชุมชน. วิทยานิพนธ์ปริญญาโท, มหาวิทยาลัยเกษตรศาสตร์

ศิริพร สิงหิประณีต. 2531. พันธุวิศวกรรม ปฏิบัติการเบื้องต้น. คณะวิทยาศาสตร์ จุฬาลงกรณ์มหาวิทยาลัย. กรุงเทพฯ.

ศูนย์ปฏิบัติการวิศวกรรมพลังงานและสิ่งแวดล้อม คณะวิศวกรรมศาสตร์ มหาวิทยาลัยเกษตรศาสตร์. 2539. โครงการศึกษาและออกแบบรายละเอียดศูนย์กำจัดมูลฟอยรวมแบบครบวงจรองค์การบริหารส่วนจังหวัดนนทบุรี

ศูนย์ปฏิบัติการวิศวกรรมพลังงานและสิ่งแวดล้อม คณะวิศวกรรมศาสตร์ มหาวิทยาลัยเกษตรศาสตร์(2545) . โครงการศึกษาและออกแบบรายละเอียดศูนย์กำจัดมูลฟอยรวมแบบครบวงจรองค์การบริหารส่วนจังหวัดนนทบุรี

สรรสรณ์ เนียร์ โพธิ์กิริย์. 2551. การประเมินการแพร่ระบาดของก้าชมีเทน สารอินทรีย์ระเหย และกลิ่น จากสถานที่กำจัดมูลฟอยชุมชน. วิทยานิพนธ์ปริญญาโท, มหาวิทยาลัยเกษตรศาสตร์

สุรัตน์ โภวนิชย์.2546. การศึกษาอัตราการแพร่ระบาดของก๊าซมีเทนจากชั้นดินกลบทับมูลฝอยลชุมชน.วิทยานิพนธ์ปริญญาโท, มหาวิทยาลัยเกษตรศาสตร์

สำนักวิชาความสะอาด. 2539. การฝังกลบขยะมูลฝอยอย่างถูกสุขาภิบาล กรุงเทพมหานคร,  
กระทรวงมหาดไทย. กรุงเทพฯ.

อันชรีช ขนัน ไทย. 2547. อิทธิพลของหน้าดินชั้นสุดท้ายต่อการระบายสารอินทรีย์ระเหยจากพื้นที่  
กำจัดมูลฝอยชุมชน. วิทยานิพนธ์ปริญญาโท, มหาวิทยาลัยเกษตรศาสตร์

อนุชิต สวัสดิ์ 2547. การลดอัตราการแพร่ระบาดของก๊าซมีเทนจากพื้นที่กำจัดมูลฝอยโดยใช้  
หน้าดินที่มีการปูกรด. วิทยานิพนธ์ปริญญาโท, มหาวิทยาลัยเกษตรศาสตร์

Allen,M.R.,A.Braitwaite and C.C.Hills 1997.Trace organic compounds in landfill gas at  
Seven U.K. Waste disposal site. **Environ. Sci. Tech.** 31: 1054-1061.

Andelman JB. **Human exposures to volatile halogenated organic chemicals in indoor and outdoor air.** Environ Health Perspect 62:313-318, 1985

Austin CC, Wang D. **Characterization of volatile organic compounds in smoke at municipal structural fires.** Ecobichon DJ, Dussault G.J Toxicol Environ Health 2001 July 20;63(6):437-58

Boeckx, P. and O.V. Cleemput. 1996. Methane oxidation in a neutral landfill cover soil: Influence of moisture content, temperature, and nitrogen turnover. **J. Environ. Qual.** 25: 178-183.

Bogner, J.,K. Spokas, M. Niemann and J. Baker. 1997. **Emissions of non-methane organic compounds at Illinois (USA) Landfill Site: Preliminary Field Measurement.**  
Proceedings of sixth international landfill symposium. Sardinia 97. Cagliari, Italy.

Bogner, J.E. 1992. Anaerobic buries of refuse in landills: increased atomospheric Methane and implications of increased carbon storage. **Ecological Bulletin** 42: 98-108.

Bogner, J.E. and P.Scott.1995. Landfill Methane Emission: Guidance for Field Measurement, pp. 119-126. *InProc. 18<sup>th</sup> Annual Landfill Gas Symposium*,Solid Waste Association of North America, New Orleans.

Bogner, J.E., E. Matthews, A. Katzenstein, D. Blake and M. Carolan. 2000. **Greenhouse gases emissions from landfill: What we know and what we don't know.**  
ISWA World Congress. Paris, France.

Borjesson,G. and B.H. Svensson. 1997. Seasonal and diurnal methane emissions from a landfill and their regulation by methane oxidation. **Waste Management & Research** 15 : 33-54.

Buivid, M.G., D.L. Wise, M.J. Blanchet et al. 1981. Fuel gas enhancement by Controlled landfill of municipal solid waste. **Resources and Conservation**6:3-20

Christophersen, M., P. Kjeldsen, H. Holst. And J. Chanton. 2001. Lateral gas transport in soil adjacent to an old landfill: factors governing emissions and methane oxidation.  
**Waste Management & Research** 19: 126-143

Cockerham, LG. , Shane, BS. **Basic environmental toxicology**, CRC Press Inc., USA. 1994.

Cooney, C.L. and D.L. Wise. 1975. Thermophilic anaerobic digestion of solid waste for fuel gas production. **Biotechnol. Bioeng.** 17: 1119-1135

Coutant, R.W., R.G. Lewis and J.D. Mulik. 1986. Modification and evaluation of a thermally desorable passive sampler for volatile organic compounds in air.**Analytical Chemistry**. 58: 445-448.

Eklund, B., E.P. Anderson, B.L. Walker and D.B. Burrows. 1998. Characterization of landfill gas comparison at the fresh kills municipal solid waste landfill. **Environ. Sci. Tech.** 32: 2233-2237.

Emon Associates. 1980. Methane generation and recovery from landfills. **Ann Arbor Science**. Michigan, United states of America. 139 p.

Flower, F.B., E.F. Gilman and L.A. Leone. 1981. Landfill gas, What it does to trees and how its injurious effects may be prevented. **Journal of arboriculture** 7(2) : 43-52.

Gendebien, A. 1992. Potential landfill gas damages to vegetation. **Landfill gas. Environment to Energy** 1:35-46

Gichner, T. and Z. Muhlfeldove. 2002. Induce DNA damage measured by the comet assay in 10 weed species. **Biologia Plantarum** 45(4) : 509-516

Gichner, T. 2003. Comet assay in higher plants. In: J. Maluszynska, M. Plewa, editors. **Bioassays in plant cells for improvement of ecosystem and human health**. Katowice: Wydawnictwo Uniwersytetu Slaskiego : 123-132

Gichner, T., Z. Patkova, J. Szakova and K. Demnerova. 2006 . Toxicity and DNA damage in tobacco and potato plants growing on soil polluted with heavy metal. **Ecotoxicology and Environmental Safety**.

Hettiaratchi, J.P.A. and C. Hansen. 1996. **Evaluation of a closed flux chamber method to measure landfill gas**. Calgary, Cannada.

Jones, H.A., and Nedwell, D.B. 1993. Methane emission and methane oxidation in landfill cover soil. **FEMS Microbiology Ecology**. 102: 185-195

Kim, K.H. and M-Y Kim. 2002. The distributions of BTEX compounds in the ambient atmosphere of the Nan-Ji-Do abandoned landfill site in Seoul. **Atmospheric Environment**. 36: 2433-2446.

Kjeldsen, P. and E.V. Fischer. 1995. Landfill gas migration-field investigations at Skellingsted landfill, Denmark. **Waste Management & Research** 13: 467-484.

Klink, R.E. and R.K. Ham. 1982. Effects of moisture movement on methane production in solid waste landfill samples, p. 129 Cited by T.H. Christensen, P. Kjeldsen and R. Stegmann. Elsevier. **Applied Science Press**. London and New York. 224 p.

Krost, K.J., E.D. Pellizzari, S.G. Walburn and S.A. Hubbard 1982. Collection and analysis of hazardous organic emissions. **Analytical Chemistry**. 54: 810-817.

Lagerkvist, A. 1995. The landfill gas activity of IEA bioenergy agreement. **Biomass and Bioenergy** 9: 399-413

Leckie, J.O., J.G. Pacey and C. Halvadakis. 1979. Landfill management with moisture control. **Journal of Environmental Engineering Division, ASCE**. 105: 337-355.

Matthias, A.D., A.M. Blackmer. And J.M. Bremner. 1980. A simple chamber technique for field measurement of emissions of nitrous oxide from soils. **J. Environ. Qual.** 9: 251-256.

Maurice, C. and A. Lagerkvist. 1998. **Landfill gas properties and effects on green plants**. Division of landfill Science and Technology, Department of Environmental Engineering Lulea.

McCarthy, P.J., S.F. Sweetman, P.G. Mckelvy. 1997. Evaluation of manual and image analysis quantification of DNA damage in the alkaline comet assay. **Mutagenesis**. 12(4): 209-214

McCarthy, P.L. 1964 Anaerobic waste treatment fundamentals-part one. Chemistry and microbiology. **Public Works** 95: 107-112.

Merz, R.C. and R. Stone. 1964. Gas production in a sanitary landfill. **Public Works** 95(2): 84.

Moffat, A.J and T.J. Houston. 1991. Tree establishment and growth at pitsea landfill site, Essex, U.K. **Waste Management and Research** 9: 35-46

Mosher, B.W., P.C. Czepiel., J. Shorter., E. Allwine., R.C. Harriss. C. Kolb. And B. Lamb 1996. Mitigation of methane emissions at landfill sites in New England, USA. **Energy Convers. Mgmt** 37. Nos 6-8 : 1093-1098.

Mosher, B.W., P.C. Czepiel, R. Harriss, J.H. ShorterKolb, C.E. Mcmanus and B.K. Lamb, 1999. Methane emissions at nine landfill sites in the Northeastern United States. **Environ. Sci. Tech.** 33(12) : 2088-2094.

NIOSH. 1996. **Manual of Analytical Method**. Washington D.C., US. Government Printing office. U.S.A.

Ostling, O.; and K.J. Johanson. 1984. Microelectrophoretic study of radiation-induced DNA damages in individual mammalian cells. **Biochem. Biophys. Res. Commun.** 123: 291-298.

Palumbo, D. 1995. **Temporal landfill gas production**. Master thesis. University of Central Florida, Orlando,Florida, U.S.A.

Palanthakumar, B. 1999. **Modeling of methane generation, Oxidation and emission in landfills.** AIT Master Thesis, Asian Institute of Technology, Pathumthani, Thailand.  
Pareek,

Rafson, H.J. 1998. **Odor and VOC Control Handbook.** McGraw-Hill. NY, USA.

Reinhart, D.R. 1996. Full-Scale experiences with leachate recirculating landfills: case Studies. **Waste Management & Research** 14: 347-365.

Rettenber, G. and R. Stemann. 1993. **Landfill gas component.** Landfill of waste : biogas cited  
T.H. Christentensen, R.Cossu and R. Stagmann. 1995. academic Press. P 50-55.

Singh, N.P., M.T. McCoy, R.R. Tice, E.L. Schneider. 1988. A simple technique for quantitation  
of low levels of DNA damage individual cells. **Exp. Cell Res.** 175: 184-191.

Speit, G., S. Haupter and A. Hartmann 1998. Evaluation of the genotoxic properties of paraquat  
in v79nChinese hamster cell. **Mutat. Res.** 412: 187-193

Sriussadaporn, C., K Yamamoto., K. Fukushi and D. Simazaki 2003. Comparison of DNA  
damage detected by plant comet assay in roadside and non-roadside environment.  
**Mutation research** 514: 13-44.

Tchobanoglous, G., H. Theisen and S.A. Vigil. 1993. Intergrated solid waste management ,  
**Engineering principal and management issue.** McGraw Hill, Inc.,New York. 87p.

Tebbett, I. 1992. **Gas chromatography in forensic science.** Ellis Horwood Limited. Chichester,  
West Sussex, England.

Troost, J.R. 1997. **Method and apparatus for analyzing gases containing volatile organic compounds by use of Tetruglyme.** Plant number: 5650560

Tosh, J.E.; J.E. Smith and I.A. Watson-Craik. 1994. Landfill site restoration : the inimical channllengers of ethylene and methane. **Environmental Pollution.** 335 –340.

US.EPA. 1987. **Hazardous waste treatment, storage, and disposal facilities air emission models draft document.** QAQPS/RTP.

Walker, B.L., D.R. Reinhart and D.C. Cooper. 1992. Flux chamber design and operation for measurement of municipal solid waste landfill gas emission rates. **Journal of Air Waste Management Association.** 42(8): 1067-1070.

Ward, R.S.,G.M. Williams and C.C. Hills. 1996. Changes in major and trace components of landfill gas during subsurface migration. **Waste Management & Research** 14: 243-261.

Whalen, S.C., W.S. Reeburgh and K.A. Sandbeck. 1990. Rapid methane oxidation in a landfill cover soil. **App. Environ. Microb.** 56: 3405-3411.

Wolverton, B.C. 1996. **Eco-friendly houseplants : 50 indoor plants that purify the air.** Weidenfeld and Nicolson, Ltd London.

Wong, M.H. and C. Yu. 1989. Monitoring of gin drinker Bay landfill, Hongkong: II gas content, soil properties, and vegetation performance on the side slope. **Environmental Management** 13: 753-762

Yuen, S.T.S., J.R. Styles and T.A. McMahon. 1994. Process-Based landfills achieved by leachate recirculation – a critical review and summary. **Centre for Environmental Applied Hydrology Report.** University of Melbourne, November 1994.

Zou, S.C., C.Y. LeeChan, K.F. Ho, X.M. Wang, L.Y. Chan and Z.X. Zhang. 2003.

Characterization of ambient volatile organic compounds at a landfill site in  
Guangzhou, South Chaina. **Chemosphere**. 51: 1015-1022.



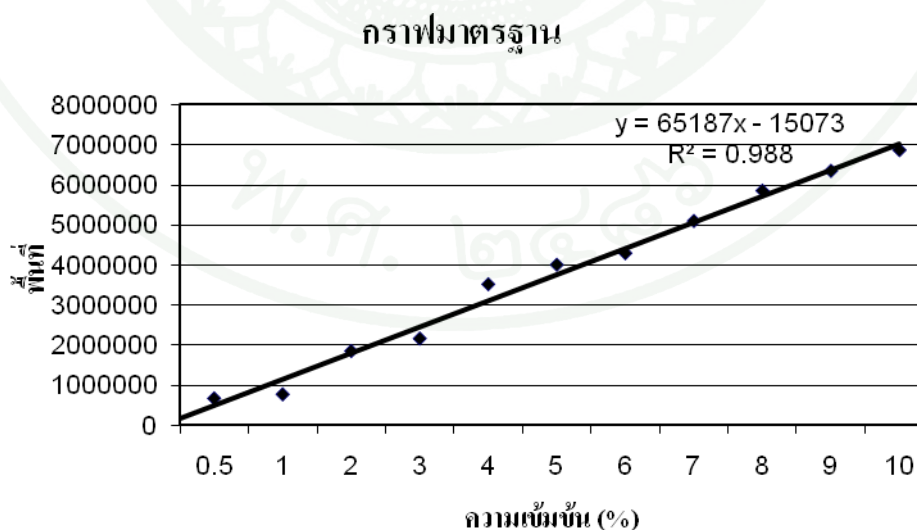


สิงหนาท ๑๗๖๙  
มหาวิทยาลัยเกษตรศาสตร์



ตารางผนวกที่ ก1 ข้อมูลกราฟมาตรฐานของเครื่อง GC 14B

Composition(%)	RT	AR
0.05	0.636	75081.6
0.125	0.632	153089.2
0.25	0.632	248690.6
0.5	0.631	673380.6
1	0.626	774795.2
2	0.637	1851500
3	0.634	2161759.3
4	0.636	3512795.4
5	0.633	3997091.3
6	0.648	4283427.7
7	0.659	5086750.5
8	0.666	5840637.2
9	0.666	6333493.6
10	0.666	6850056.9



ภาพผนวกที่ ก1 กราฟมาตรฐานมีเทน

ตารางผนวกที่ ก2 ความเข้มข้นก๊าซมีเทนและการ์บอนไดไซด์ในกองเปิด ในฤดูฝน ครั้งที่ 1  
วันที่ 19 กันยายน 2551

Point Time	Time	Temp. (°C)	Composition(%)	
			$CH_4$	$CO_2$
7.00-9.00	0	30	2.215012	1.211178
	10	31	2.50369	1.235911
	20	32	3.07142	1.27107
	30	34	2.858617	1.258823
	40	35	3.770776	1.267392
	50	36	3.445569	1.247403
	60	36	3.754189	1.242724
10.00-12.00	0	35	1.747381	1.237096
	10	39.5	1.993023	1.454318
	20	41	4.949544	1.591355
	30	42	4.705786	1.933882
	40	43	5.678892	1.84684
	50	44	5.631547	1.985165
	60	44.5	5.657483	1.919736
13.00-15.00	0	41	1.744001	1.195653
	10	43	4.077401	1.601048
	20	44.5	5.280441	1.604031
	30	46	6.185259	1.884915
	40	46.5	7.321298	2.378694
	50	47	7.817106	2.256318
	60	48	8.505667	2.102464

ตารางผนวกที่ ก3 ความเข้มข้นก๊าซมีเทนและการ์บอนไดไซด์ในกองเปิด ในฤดูฝน ครั้งที่ 2  
วันที่ 4 ตุลาคม 2551

Point Time	Time	Temp. (°C)	Composition(%)	
			$CH_4$	$CO_2$
7.00-9.00	0	33	4.566218	0.998297
	10	34	5.122833	1.10462
	20	36.5	6.669143	1.130241
	30	37	7.240045	1.201585
	40	40	7.379005	1.360423
	50	41	7.197639	1.32663
	60	42.5	5.468036	1.296463
10.00-12.00	0	39.5	2.951781	1.041087
	10	41	4.799525	1.22111
	20	43	5.621291	1.348214
	30	43.5	6.228678	1.601982
	40	44.5	7.123308	1.531687
	50	45	6.71319	1.56146
	60	46	6.618349	1.498281
13.00-15.00	0	41	2.777371	1.018619
	10	43	3.905094	1.268908
	20	44	4.311321	1.405296
	30	45.5	4.126307	1.058325
	40	47	4.348875	1.308907
	50	47.5	4.545229	1.349867
	60	49	5.03119	1.702453

ตารางผนวกที่ ก4 ความเข้มข้นก๊าซมีเทนและคาร์บอนไดออกไซด์ในกองเปิด ในฤดูฝน ครั้งที่ 3  
วันที่ 3 พฤษภาคม 2551

Point Time	Time	Temp. (°C)	Composition(%)	
			$CH_4$	$CO_2$
7.00-9.00	0	27	0.579531	0.987535
	10	29	0.523707	1.138002
	20	41	0.540112	1.119286
	30	33	1.114706	1.107889
	40	35	1.298491	0.954866
	50	37	1.145387	1.115298
	60	37	0.840557	1.229571
10.00-12.00	0	38	2.803322	1.039487
	10	39	2.927399	1.210492
	20	39.5	3.45228	1.351135
	30	40	3.03894	1.654779
	40	41	3.125816	1.521401
	50	41	3.699508	1.557894
	60	43	3.400943	1.512142
13.00-15.00	0	36	5.405067	1.10029
	10	37	6.029412	1.311826
	20	38	5.762602	1.54134
	30	37	6.679577	1.59081
	40	36	6.78755	1.29485
	50	36	7.549535	1.387884
	60	35.5	7.139796	1.737422

ตารางผนวกที่ ก5 ความเข้มข้นก๊าซมีเทนและคาร์บอนไดออกไซด์ในกองปิด ในถุงฟัน ครั้งที่ 1  
วันที่ 23 กันยายน 2551

Point Time	Time	Temp. (°C)	Composition(%)	
			$CH_4$	$CO_2$
7.00-9.00	0	26	0.542711	0.452206
	10	28	0.555176	0.524218
	20	31	0.635641	0.660599
	30	33	0.663185	0.777556
	40	35	0.70177	0.754103
	50	38	0.695102	0.675322
	60	38.5	0.7353	0.821898
10.00-12.00	0	38	0.811185	0.530105
	10	39.5	0.932392	0.665975
	20	41	1.075714	0.686479
	30	41.5	1.038817	0.863198
	40	42	1.060084	0.953794
	50	43	0.998138	0.900941
	60	45	0.933725	0.806083
13.00-15.00	0	45	0.555594	0.370771
	10	45	0.845	0.50212
	20	46	1.005038	0.494823
	30	46.5	1.175435	0.593557
	40	47	1.196159	0.713673
	50	48	1.151089	0.700898
	60	48	1.170885	0.643665

ตารางผนวกที่ ก6 ความเข้มข้นก๊าซมีเทนและการ์บอนไดไซด์ในกองปีต ในฤดูฝน ครั้งที่ 2  
วันที่ 17 ตุลาคม 2551

Point Time	Time	Temp. (°C)	Composition(%)	
			$CH_4$	$CO_2$
7.00-9.00	0	30	0.417394	0.418166
	10	30.5	0.420442	0.454993
	20	31	0.418216	0.451858
	30	32	0.465417	0.560242
	40	33	0.468745	0.493299
	50	34	0.388823	0.616116
	60	34.5	0.423204	0.704639
10.00-12.00	0	40	0.342945	0.4545
	10	41.5	0.349131	0.519144
	20	42	0.361428	0.564625
	30	42.5	0.364805	0.603762
	40	43	0.366396	0.679727
	50	44	0.363958	0.697395
	60	44	0.35116	0.708274
13.00-15.00	0	45	0.308921	0.324302
	10	46	0.317689	0.572682
	20	46.5	0.319487	0.512748
	30	47	0.321254	0.613236
	40	47	0.321941	0.691337
	50	47.5	0.319327	0.709836
	60	47.5	0.308927	0.692107

ตารางผนวกที่ ก7 ความเข้มข้นก๊าซมีเทนและคาร์บอนไดออกไซด์ในกองปิด ในถุงฟุน ครั้งที่ 3  
วันที่ 14 พฤษภาคม 2551

Point Time	Time	Temp. (°C)	Composition(%)	
			$CH_4$	$CO_2$
7.00-9.00	0	28	0.359401	0.499539
	10	28	0.367286	0.542473
	20	29	0.375928	0.523483
	30	29.5	0.410225	0.592229
	40	30	0.457951	0.608328
	50	30	0.352449	0.585794
	60	31	0.358251	0.697562
10.00-12.00	0	35	0.311732	0.54937
	10	35	0.320504	0.600285
	20	38	0.324243	0.716024
	30	40	0.322811	0.625942
	40	40	0.324105	0.807756
	50	41	0.3222	0.781483
	60	43	0.311807	0.846458
13.00-15.00	0	40	0.317013	0.452488
	10	40.5	0.313742	0.586967
	20	41	0.333261	0.597726
	30	41.5	0.329964	0.664545
	40	42	0.328503	0.736554
	50	43	0.312565	0.665753
	60	43.5	0.322933	0.677682

ตารางผนวกที่ ก8 ความเข้มข้นก๊าซมีเทนและการ์บอนไดไซด์ในกองเปิด ในฤดูแล้ง ครั้งที่ 1  
วันที่ 5 กุมภาพันธ์ 2552

Point Time	Time	Temp. (°C)	Composition(%)	
			$CH_4$	$CO_2$
7.00-9.00	0	36	2.83525	1.187237
	10	37	3.430901	1.430068
	20	38.5	3.816599	1.5215
	30	39	4.106385	1.563582
	40	41	5.247333	1.568361
	50	44	5.697991	1.379269
	60	45.5	6.016603	1.379269
10.00-12.00	0	45	2.456766	1.39956
	10	46	4.107239	1.473113
	20	46.5	5.68607	1.605562
	30	46.5	7.002005	1.899035
	40	48	8.541091	2.008082
	50	50	9.226683	2.17744
	60	54	9.416623	2.044134
13.00-15.00	0	46.5	2.154354	1.217128
	10	47	4.119472	1.395066
	20	47.5	7.719422	1.615244
	30	49	8.688435	2.075339
	40	51	9.097116	2.306518
	50	52	11.49495	2.471949
	60	53	12.86147	2.50424

ตารางผนวกที่ ก9 ความเข้มข้นก๊าซมีเทนและคาร์บอนไดออกไซด์ในกองเปิด ในฤดูแล้ง ครั้งที่ 2  
วันที่ 1 มีนาคม 2552

Point Time	Time	Temp. (°C)	Composition(%)	
			$CH_4$	$CO_2$
7.00-9.00	0	37	2.468796	1.055699
	10	39.5	3.295004	1.146034
	20	42	3.683942	1.251774
	30	43	3.967683	1.201585
	40	44	4.103943	1.506452
	50	46	4.322176	1.436106
	60	48	4.735672	1.51879
10.00-12.00	0	49	3.245675	1.114692
	10	50	3.656273	1.18397
	20	52	4.198322	1.311143
	30	53	4.732432	1.462232
	40	54	5.626537	1.677645
	50	55	6.325213	1.596177
	60	56	7.013363	1.708722
13.00-15.00	0	44	4.122234	0.98056
	10	47	4.619878	1.193744
	20	49	5.283442	1.405296
	30	50	6.002352	1.439012
	40	51	7.045635	1.572554
	50	52	7.523991	1.650825
	60	53	7.945623	1.665252

ตารางผนวกที่ ก10 ความเข้มข้นก๊าซมีเทนและคาร์บอนไดออกไซด์ในกองเปปิด ในฤดูแล้ง ครั้งที่ 3  
วันที่ 30 มีนาคม 2552

Point Time	Time	Temp. (°C)	Composition(%)	
			$CH_4$	$CO_2$
7.00-9.00	0	30	2.524211	1.026286
	10	31	3.723332	1.099621
	20	33	4.023344	1.194934
	30	35.5	4.67309	1.292611
	40	37.5	4.673221	1.274668
	50	39	5.120092	1.188547
	60	42	5.354545	1.377724
10.00-12.00	0	40	3.954327	1.076378
	10	41	4.357872	1.285179
	20	41.5	5.012344	1.388007
	30	41.5	5.656633	1.513626
	40	43	6.044563	1.557941
	50	45	7.354489	1.662495
	60	48	8.396531	1.547255
13.00-15.00	0	48	3.214689	1.062612
	10	50	4.622457	1.200626
	20	55	5.532369	1.503075
	30	55	6.954356	1.628352
	40	56	7.456709	1.48446
	50	56	7.744591	1.53872
	60	56.5	9.12357	1.811473

ตารางผนวกที่ ก11 ความเข้มข้นก๊าซมีเทนและการ์บอนไดออกไซด์ในกองปิด ในฤดูแล้ง ครั้งที่ 1  
วันที่ 16 กุมภาพันธ์ 2552

Point Time	Time	Temp. (°C)	Composition(%)	
			$CH_4$	$CO_2$
7.00-9.00	0	38	0.308286	0.839225
	10	39.5	0.31825	0.915779
	20	41	0.345955	0.96174
	30	43	0.335793	1.209512
	40	44	0.290096	1.16417
	50	45	0.375467	1.24919
	60	46	0.302638	1.317534
10.00-12.00	0	48	0.390052	0.97735
	10	50	0.408648	1.13271
	20	52	0.630465	1.039475
	30	52.5	0.71391	1.291065
	40	53	0.821645	1.277994
	50	54	1.006126	1.423938
	60	54	0.988032	1.549577
13.00-15.00	0	45	0.37733	0.804805
	10	47	0.397695	0.951068
	20	47	0.503961	1.130268
	30	48	0.360472	1.371016
	40	49	0.469599	1.288548
	50	50	0.520133	1.433884
	60	50.5	0.502922	1.541841

ตารางผนวกที่ ก12 ความเข้มข้นก๊าซมีเทนและการ์บอนไดไซด์ในกองปิด ในถุงแล้ง ครั้งที่ 2  
วันที่ 20 มีนาคม 2552

Point Time	Time	Temp. (°C)	Composition(%)	
			$CH_4$	$CO_2$
7.00-9.00	0	34	0.361975	0.428023
	10	35	0.370107	0.814795
	20	38	0.385599	0.828323
	30	39	0.414747	0.951828
	40	42	0.431062	0.868011
	50	43	0.430283	0.764305
	60	43.5	0.427806	0.695633
10.00-12.00	0	44	0.393277	0.412981
	10	45	0.414363	0.55867
	20	46	0.588422	0.511664
	30	46.5	0.618339	0.476174
	40	48	0.640539	0.654303
	50	49	0.564189	0.672448
	60	50.5	0.642746	0.789296
13.00-15.00	0	44	0.389936	0.332049
	10	46	0.412023	0.585954
	20	47	0.524812	0.508047
	30	49	0.569201	0.694426
	40	51	0.559558	0.688214
	50	52	0.584723	0.750362
	60	54	0.594259	0.788503

ตารางผนวกที่ ก13 ความเข้มข้นก๊าซมีเทนและการ์บอนไดออกไซด์ในกองเปิด ในฤดูแล้ง ครั้งที่ 3  
วันที่ 4 เมษายน 2552

Point Time	Time	Temp. (°C)	Composition(%)	
			$CH_4$	$CO_2$
7.00-9.00	0	27.5	0.445295	0.460523
	10	30	0.453826	0.51415
	20	32	0.59594	0.523483
	30	34.5	0.599819	0.551846
	40	36	0.596508	0.622244
	50	37	0.686175	0.58064
	60	38	0.786648	0.657894
10.00-12.00	0	49	0.537027	0.509717
	10	50	0.565648	0.520738
	20	52	0.684814	0.551279
	30	52.5	0.763541	0.505726
	40	53	0.879594	0.566709
	50	54	0.972946	0.580784
	60	54.5	0.925009	0.60874
13.00-15.00	0	38	0.513847	0.492829
	10	39	0.527287	0.547625
	20	41.5	0.661909	0.471646
	30	41.5	0.745236	0.586376
	40	42	0.797205	0.617012
	50	43	0.81967	0.627137
	60	45	0.855537	0.716494

ตารางผนวกที่ ก14 ความเข้มข้นก๊าซมีเทนในบรรยากาศบนบริเวณกองเปิดดูดฝุ่น วันที่ 26-30/09/51 และ 20-24/10/51

Time	% gas								
	7.00-9.00 am.			10.00-12.00 am.			13.00-15.00 am.		
	1	2	3	1	2	3	1	2	3
day 1	0.311944	0.287442	0.301378	0.414438	0.776952	0.339795	0.482453	0.3346	0.35209
day 2	0.475917	0.466242	0.282396	0.446101	0.308195	0.477577	0.643413	0.332787	0.364503
day 3	0.301317	0.349871	0.324954	0.323984	0.30824	0.361453	0.331464	0.422775	0.320725
day 4	0.34092	0.307874	0.30419	0.354072	0.327116	0.461664	0.431647	0.333882	0.322123
day 5	0.323326	0.340306	0.398927	0.297724	0.340559	0.296725	0.311546	0.41623	0.33692
day 6	0.343909	0.329918	0.362299	0.404187	0.484254	0.359389	0.344011	0.442294	0.361104
day 7	0.346942	0.360445	0.313193	0.428569	0.498214	0.375459	0.51446	0.344042	0.374754
day 8	0.307433	0.360626	0.379079	0.334543	0.312425	0.422319	0.345614	0.379327	0.380864
day 9	0.32862	0.379709	0.491291	0.376456	0.497422	0.359358	0.399273	0.360614	0.343911
day 10	0.313956	0.306071	0.315475	0.481911	0.374869	0.390263	0.498695	0.32223	0.34391

หมายเหตุ : 1 , 2 , 3 ครั้งที่ทำการเก็บตัวอย่าง

ตารางผนวกที่ ก15 ความเข้มข้นก๊าซมีเทนในบรรยากาศบริเวณหลุมฝังกลบถูกไฟ วันที่ 26-30/09/51 และ 20-24/10/51

Time	% gas								
	7.00-9.00 am.			10.00-12.00 am.			13.00-15.00 am.		
	1	2	3	1	2	3	1	2	3
day 1	0.292946	0.313619	0.281258	0.322222	0.331301	0.331224	0.299539	0.305103	0.29688
day 2	0.289777	0.302389	0.307988	0.301867	0.344106	0.312803	0.302996	0.31815	0.307193
day 3	0.318198	0.300877	0.290031	0.29614	0.295809	0.301809	0.258419	0.310086	0.302306
day 4	0.278467	0.322223	0.292467	0.31119	0.301162	0.287939	0.308534	0.309392	0.311725
day 5	0.284235	0.298795	0.297096	0.321993	0.302622	0.301791	0.330119	0.333699	0.337016
day 6	0.268428	0.279882	0.28411	0.303663	0.313001	0.303034	0.30108	0.313178	0.291923
day 7	0.298017	0.27591	0.284191	0.289312	0.295375	0.310257	0.279311	0.282516	0.314576
day 8	0.276745	0.280223	0.307059	0.30332	0.31508	0.289499	0.31322	0.298416	0.277139
day 9	0.270902	0.286657	0.293735	0.296407	0.277945	0.308159	0.289442	0.320674	0.300001
day 10	0.284402	0.294708	0.282134	0.303125	0.312366	0.314068	0.291027	0.315343	0.287839

หมายเหตุ : 1 , 2 , 3 ครั้งที่ทำการเก็บตัวอย่าง

**ตารางผนวกที่ ก16 ความเข้มข้นกําชีวมีเทนในบรรยากาศบนบริเวณกองเปิดกุดแล้ง วันที่ 2-6/03/52 และ 25-29/04/52**

Time	% gas								
	7.00-9.00 am.			10.00-12.00 am.			13.00-15.00 am.		
	1	2	3	1	2	3	1	2	3
day 1	0.360893	0.322272	0.345543	0.360891	0.373238	0.497416	0.361087	0.543807	0.357563
day 2	0.345552	0.313755	0.383505	0.412816	0.360962	0.376397	0.361116	0.483411	0.361133
day 3	0.358319	0.408672	0.360548	0.26248	0.351638	0.374895	0.441196	0.358634	0.376427
day 4	0.329717	0.344075	0.388747	0.54521	0.329946	0.484146	0.390388	0.425662	0.331908
day 5	0.4602	0.330913	0.335418	0.376558	0.366895	0.714138	0.506331	0.376619	0.358628
day 6	0.345608	0.361054	0.376534	0.345552	0.450192	0.344666	0.361293	0.375031	0.396669
day 7	0.328735	0.343904	0.328241	0.649225	0.412706	0.328703	0.405934	0.445634	0.346941
day 8	0.313801	0.350015	0.376458	0.70959	0.361045	0.359692	0.357841	0.467056	0.344049
day 9	0.38965	0.482106	0.347096	0.557739	0.344625	0.374893	0.375039	0.36529	0.62221
day 10	0.330359	0.319661	0.344044	0.611818	0.359361	0.46744	0.375039	0.332225	0.540316

หมายเหตุ : 1 , 2 , 3 ครั้งที่ทำการเก็บตัวอย่าง

ตารางผนวกที่ ก17 ความเข้มข้นก๊าซมีเทนในบรรยากาศบนบริเวณหลุมฝังกลบ วันที่ 2-6/03/52 และ 25-29/04/52

Time	% gas								
	7.00-9.00 am.			10.00-12.00 am.			13.00-15.00 am.		
	1	2	3	1	2	3	1	2	3
day 1	0.298299	0.281015	0.295424	0.31322	0.287614	0.298389	0.330207	0.32407	0.331543
day 2	0.290357	0.313901	0.279528	0.330621	0.321632	0.303079	0.347143	0.298408	0.311813
day 3	0.275043	0.301473	0.273345	0.345568	0.330836	0.290969	0.313395	0.330221	0.298196
day 4	0.280863	0.283896	0.296251	0.299741	0.328719	0.289562	0.306293	0.305478	0.322323
day 5	0.285803	0.304701	0.29964	0.33159	0.330514	0.315419	0.299725	0.298614	0.306707
day 6	0.298559	0.281837	0.263375	0.320957	0.328672	0.307414	0.298298	0.312889	0.295982
day 7	0.313942	0.29794	0.280266	0.342223	0.311848	0.311684	0.328522	0.330099	0.29206
day 8	0.285659	0.310674	0.293595	0.35925	0.311525	0.343562	0.314757	0.328517	0.333337
day 9	0.29849	0.289456	0.27643	0.297546	0.330109	0.311692	0.296017	0.301464	0.328229
day 10	0.308287	0.29349	0.291939	0.313493	0.29787	0.32332	0.294494	0.309137	0.297754

หมายเหตุ : 1 , 2 , 3 ครั้งที่ทำการเก็บตัวอย่าง

ตารางผนวกที่ ก18 ความเข้มข้นกําชการ์บอนไดออกไซด์ในบรรยากาศบริเวณกองเป็คคูณ วันที่ 26-30/09/51 และ 20-24/10/51

Time	% gas								
	7.00-9.00 am.			10.00-12.00 am.			13.00-15.00 am.		
	1	2	3	1	2	3	1	2	3
day 1	0.5029	0.6011	0.5194	0.4222	0.6084	0.5992	0.6329	0.6034	0.5374
day 2	0.5245	0.547	0.6332	0.6066	0.6104	0.5451	0.6182	0.5688	0.6968
day 3	0.6417	0.602	0.5908	0.6296	0.5157	0.5975	0.567	0.529	0.5424
day 4	0.5839	0.6078	0.5853	0.6096	0.6622	0.5462	0.5494	0.6565	0.5609
day 5	0.5505	0.5929	0.4816	0.5929	0.6174	0.5272	0.579	0.5297	0.6388
day 6	0.5259	0.5126	0.5898	0.4036	0.6473	0.6152	0.5588	0.5043	0.6298
day 7	0.6323	0.5443	0.6691	0.5199	0.5904	0.5345	0.5922	0.6746	0.7
day 8	0.6426	0.5759	0.6315	0.518	0.576	0.5464	0.565	0.4825	0.6645
day 9	0.6157	0.6542	0.6084	0.5741	0.6517	0.572	0.6002	0.6259	0.5635
day 10	0.6284	0.6523	0.5777	0.5508	0.5859	0.5943	0.6208	0.6114	0.6263

หมายเหตุ : 1 , 2 , 3 ครั้งที่ทำการเก็บตัวอย่าง

ตารางผนวกที่ ก19 ความเข้มข้นกําชการ์บอนไดออกไซด์ในบรรยากาศบนพื้นผิวโลกฤดูฝน วันที่ 26-30/09/51 และ 20-24/10/51

Time	% gas								
	7.00-9.00 am.			10.00-12.00 am.			13.00-15.00 am.		
	1	2	3	1	2	3	1	2	3
day 1	0.1913	0.1566	0.2316	0.2079	0.2911	0.2925	0.267	0.2585	0.3073
day 2	0.229	0.2463	0.1779	0.2704	0.2786	0.2443	0.2446	0.2683	0.2312
day 3	0.205	0.2399	0.2093	0.2738	0.2319	0.2619	0.2908	0.2264	0.2178
day 4	0.2893	0.2811	0.2005	0.2743	0.3211	0.2961	0.3022	0.3389	0.2853
day 5	0.3209	0.219	0.3042	0.3395	0.3019	0.2456	0.3478	0.2222	0.2808
day 6	0.1536	0.2232	0.2797	0.2299	0.3231	0.2678	0.2959	0.2671	0.2531
day 7	0.2136	0.179	0.1192	0.2507	0.3257	0.2525	0.2186	0.2436	0.2559
day 8	0.1893	0.2198	0.1869	0.2933	0.2262	0.2363	0.2731	0.2869	0.2488
day 9	0.2191	0.2488	0.2346	0.2665	0.2999	0.3206	0.2647	0.3588	0.2757
day 10	0.3145	0.2424	0.2523	0.3534	0.3313	0.2689	0.2874	0.2553	0.3442

หมายเหตุ : 1 , 2 , 3 ครั้งที่ทำการเก็บตัวอย่าง

ตารางผนวกที่ ก20 ความเข้มข้นกําชการบอนไดออกไซด์ในบรรยากาศบริเวณกองเปี๊คกุดແลือง วันที่ 2-6/03/52 และ 25-29/04/52

Time	% gas								
	7.00-9.00 am.			10.00-12.00 am.			13.00-15.00 am.		
	1	2	3	1	2	3	1	2	3
day 1	0.5569	0.5734	0.6037	0.5211	0.6946	0.5714	0.612	0.5461	0.5948
day 2	0.6075	0.6025	0.7188	0.5787	0.5553	0.5723	0.6468	0.6505	0.7785
day 3	0.6123	0.6905	0.6202	0.5751	0.544	0.5696	0.5945	0.5838	0.6012
day 4	0.6426	0.5437	0.5605	0.5538	0.492	0.6292	0.5768	0.5989	0.5883
day 5	0.4779	0.5642	0.5111	0.5367	0.6174	0.5553	0.5694	0.5575	0.668
day 6	0.5651	0.5749	0.6067	0.5055	0.7051	0.5863	0.6295	0.5364	0.5908
day 7	0.5972	0.5973	0.7236	0.5862	0.556	0.5713	0.646	0.6422	0.779
day 8	0.6059	0.6975	0.6055	0.5642	0.5536	0.5747	0.6033	0.595	0.607
day 9	0.6181	0.6506	0.5807	0.5517	0.5795	0.5839	0.6253	0.5906	0.6306
day 10	0.6054	0.6554	0.6215	0.5773	0.633	0.5845	0.5962	0.6231	0.5677

หมายเหตุ : 1 , 2 , 3 ครั้งที่ทำการเก็บตัวอย่าง

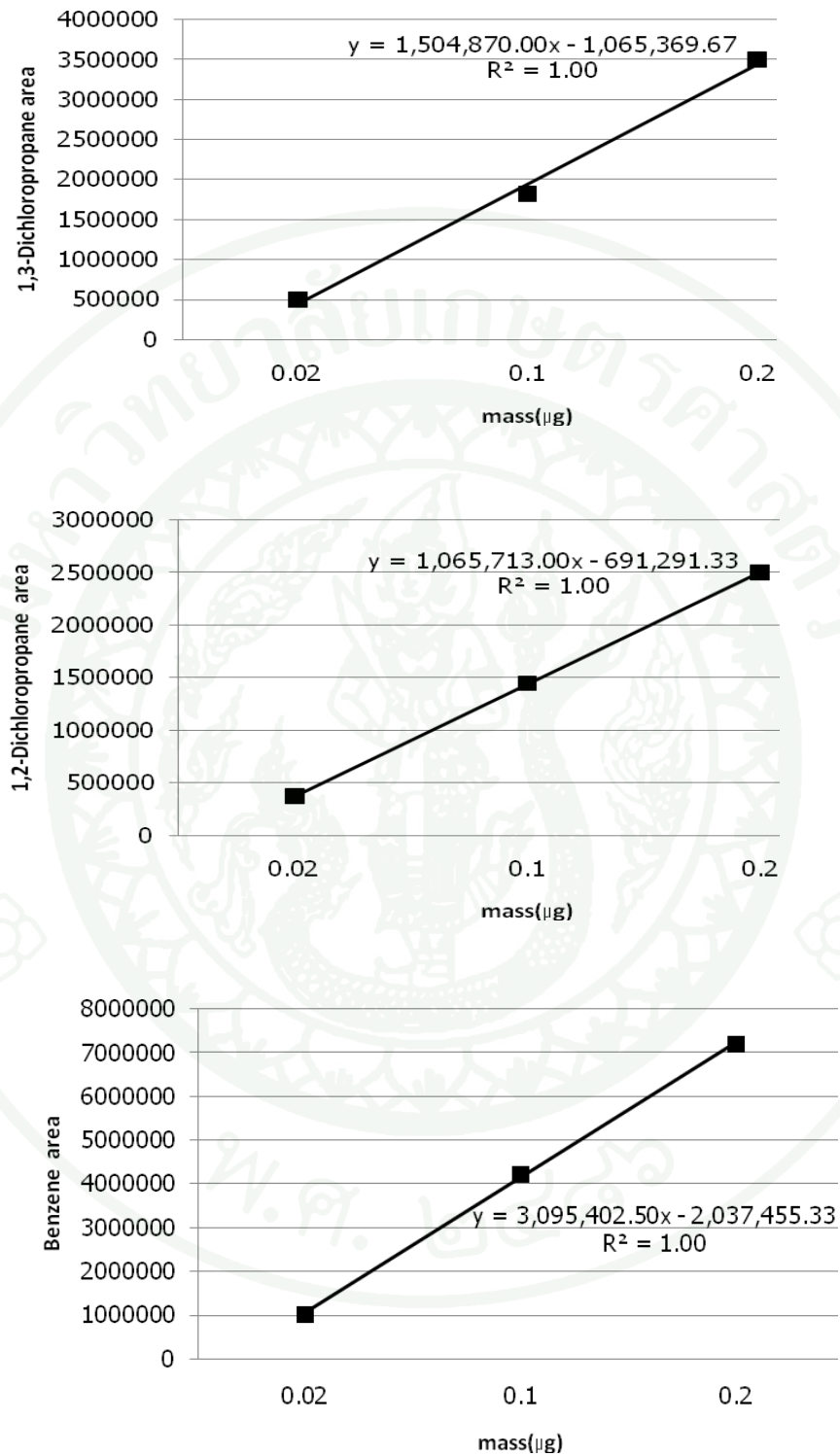
ตารางผนวกที่ ก21 ความเข้มข้นกําชการ์บอนไดออกไซด์ในบรรยากาศบนพื้นผืนดินหลุมฝังกลบถูกแลง วันที่ 2-6/03/52 และ 25-29/04/52

Time	% gas								
	7.00-9.00 am.			10.00-12.00 am.			13.00-15.00 am.		
	1	2	3	1	2	3	1	2	3
day 1	0.2593	0.2956	0.2376	0.2508	0.4356	0.3763	0.411	0.3733	0.2073
day 2	0.247	0.2126	0.3179	0.2985	0.3617	0.3539	0.4174	0.3778	0.2312
day 3	0.1993	0.2166	0.2667	0.3012	0.2604	0.2899	0.2353	0.3091	0.3065
day 4	0.3188	0.3104	0.2281	0.2743	0.3497	0.2961	0.3297	0.2519	0.2853
day 5	0.1768	0.3055	0.2745	0.3113	0.2731	0.3302	0.2922	0.3342	0.2894
day 6	0.2107	0.2348	0.2092	0.2118	0.3734	0.3195	0.3694	0.4296	0.3329
day 7	0.205	0.2456	0.2818	0.2415	0.3128	0.298	0.386	0.3415	0.258
day 8	0.1766	0.2471	0.199	0.3235	0.2419	0.2464	0.2626	0.2959	0.2515
day 9	0.2308	0.2518	0.173	0.2469	0.2927	0.3262	0.2756	0.2224	0.2564
day 10	0.1685	0.2192	0.2449	0.3109	0.2437	0.2966	0.2743	0.302	0.2192

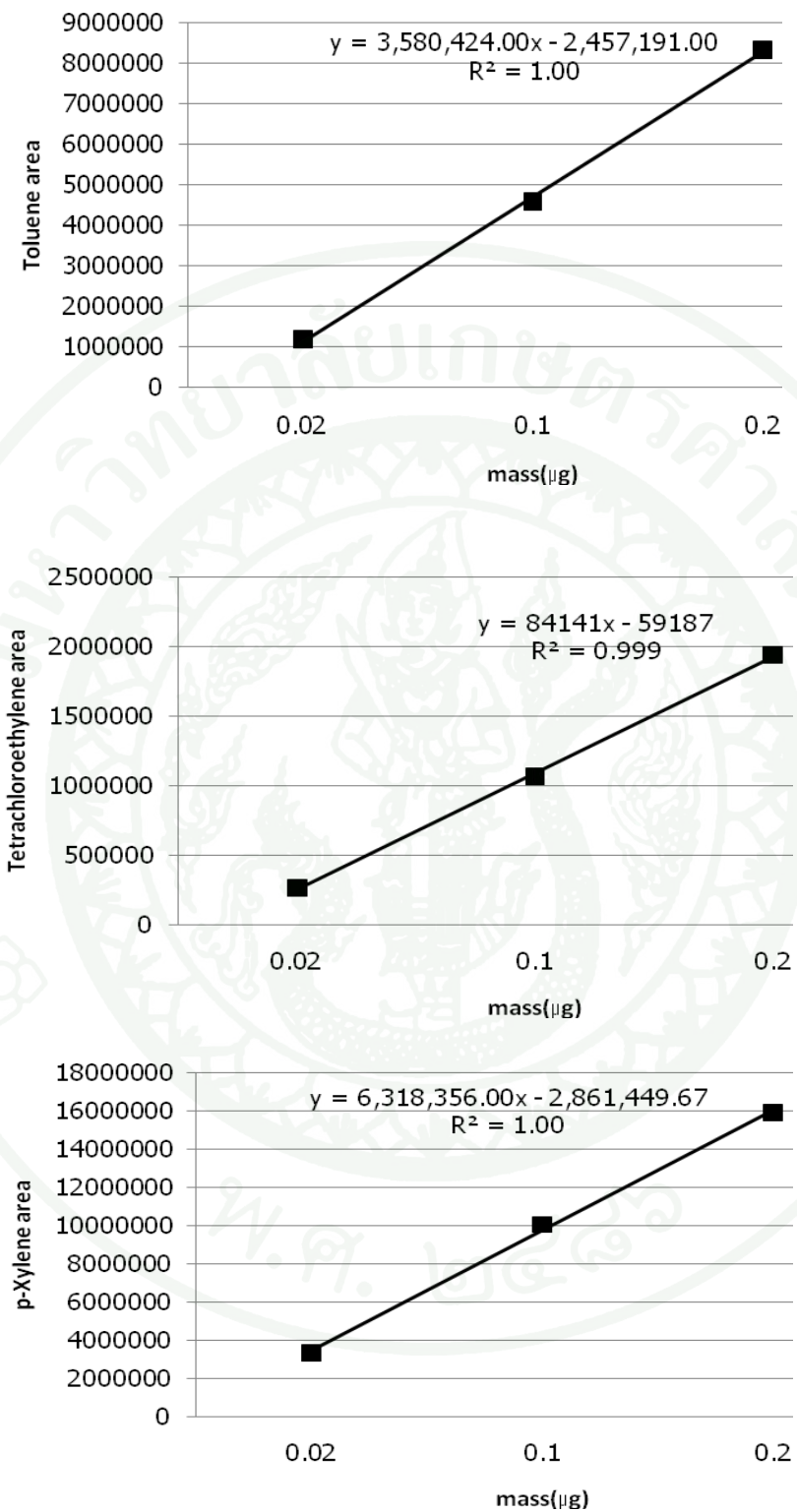
หมายเหตุ : 1 , 2 , 3 ครั้งที่ทำการเก็บตัวอย่าง

ตารางผนวกที่ ก22 ข้อมูลกราฟมาตรฐานของเครื่อง GCMS

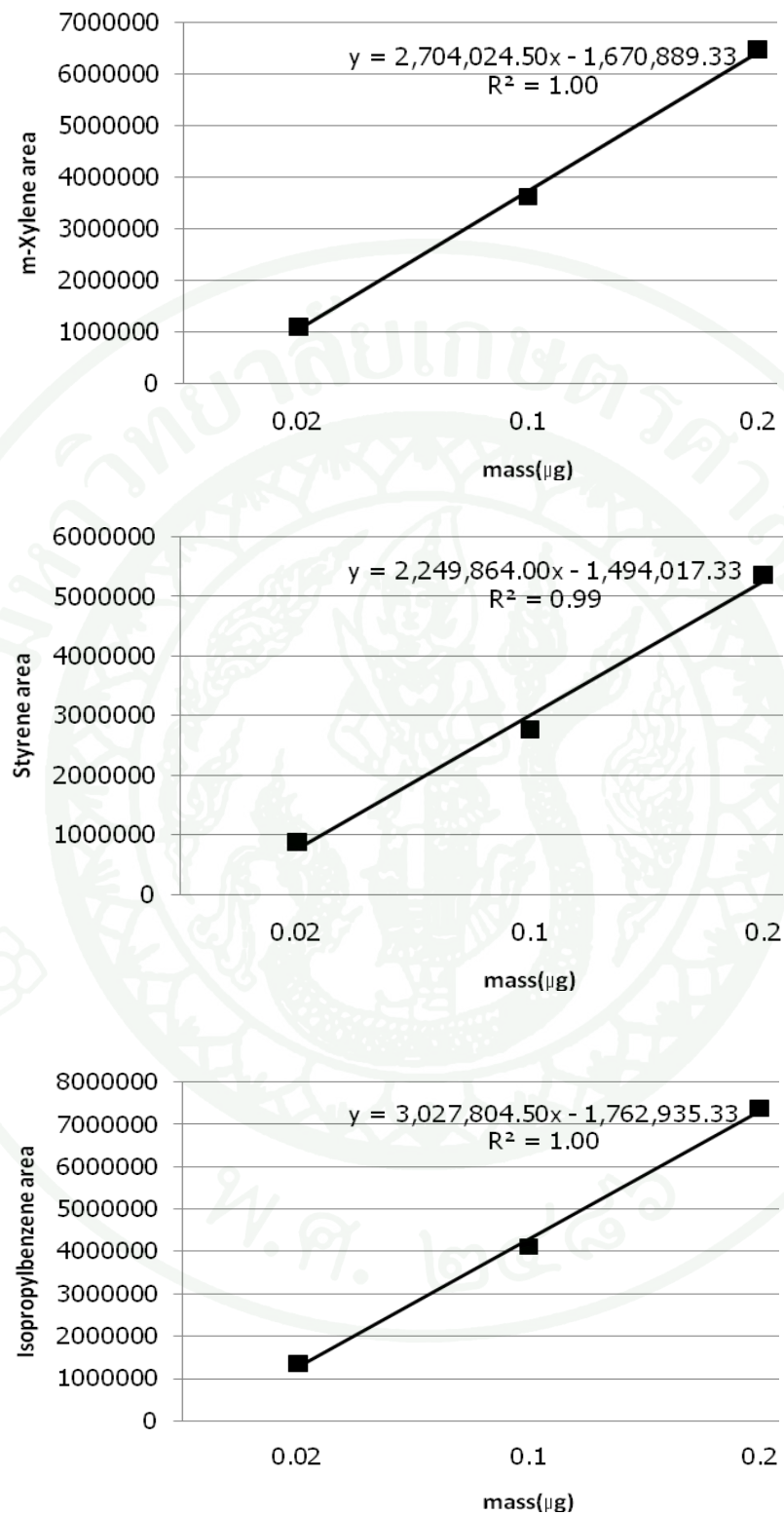
สาร	ปริมาณร่อง ( $\text{ไมโครลิตร}$ )			ปริมาณ ( $\text{ไมโครกรัม}$ )			พื้นที่		
	ครั้งที่ 1	ครั้งที่ 2	ครั้งที่ 3	ครั้งที่ 1	ครั้งที่ 2	ครั้งที่ 3	ครั้งที่ 1	ครั้งที่ 2	ครั้งที่ 3
1,2-Dichloropropane	0.1	0.5	1	0.02	0.1	0.2	371381	1446216	2502807
Benzene (CAS) Phene	0.1	0.5	1	0.02	0.1	0.2	1017854	4233536	7208659
1,3-Dichloropropane	0.1	0.5	1	0.02	0.1	0.2	498853	1825665	3508593
Toluene	0.1	0.5	1	0.02	0.1	0.2	1179219	4591685	8340067
Tetrachloroethylene	0.1	0.5	1	0.02	0.1	0.2	260740	1068538	1943563
p-Xylene	0.1	0.5	1	0.02	0.1	0.2	3316267	10056541	15952979
m-Xylene	0.1	0.5	1	0.02	0.1	0.2	1089414	3624602	6497463
Styrene	0.1	0.5	1	0.02	0.1	0.2	875305	2766794	5375033
Isopropylbenzene	0.1	0.5	1	0.02	0.1	0.2	1350830	4120752	7406439
m-Ethyltoluene	0.1	0.5	1	0.02	0.1	0.2	1136311	3080799	6048354
1,3,5-Trimethylbenzene	0.1	0.5	1	0.02	0.1	0.2	1173905	3210247	5890634
sec-Butylbenzene	0.1	0.5	1	0.02	0.1	0.2	1516175	4232234	8448026
p-Cymene	0.1	0.5	1	0.02	0.1	0.2	1242165	3325917	6756296
o-Dichlorobenzene	0.1	0.5	1	0.02	0.1	0.2	659887	1763207	3738627
Ethyl phthalate	0.1	0.5	1	0.02	0.1	0.2	178071	171447	196631



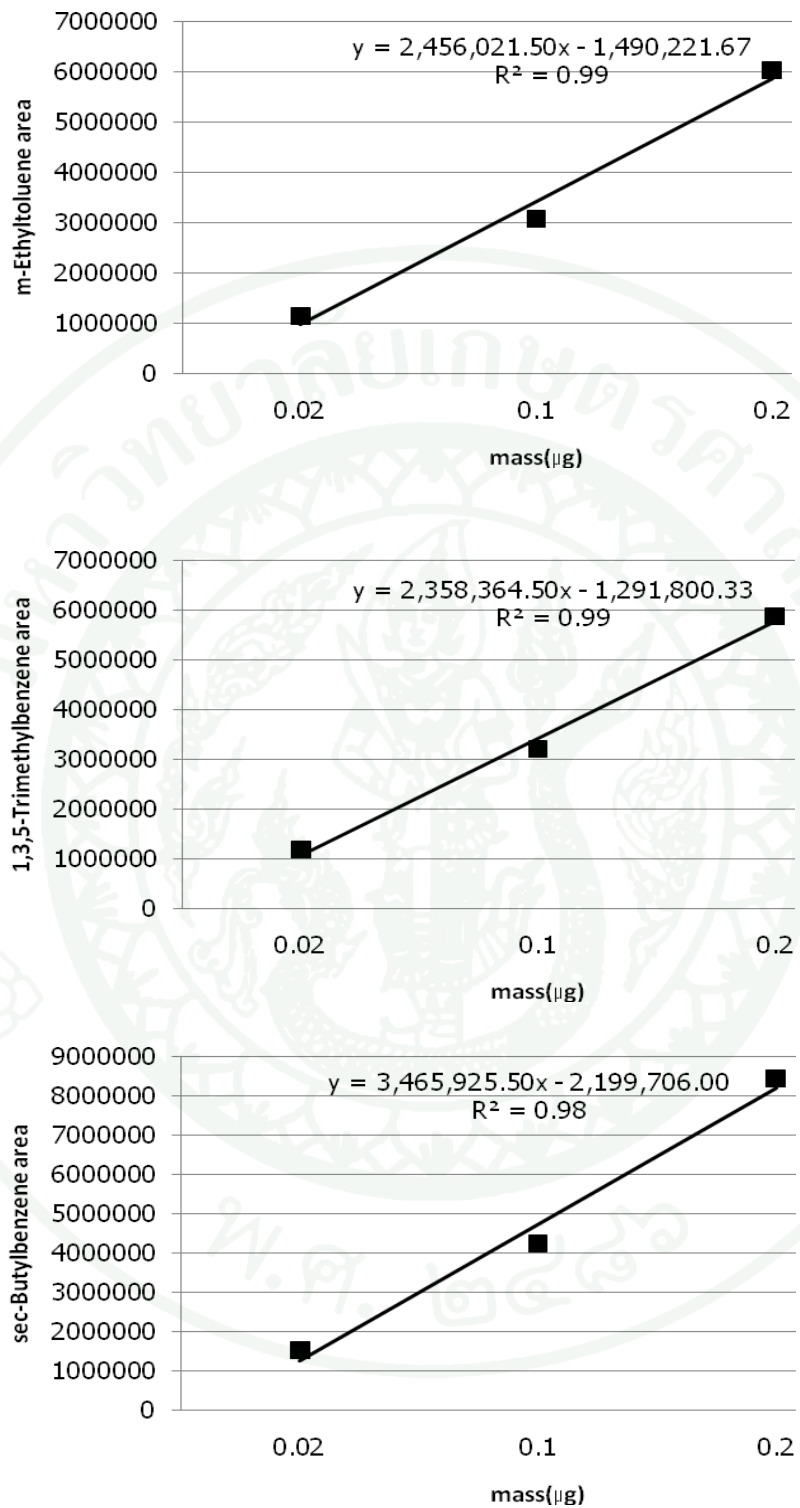
ภาพผนวกที่ ก2 กราฟมาตรฐานปริมาณสารอินทรีย์ระเหยกับพื้นที่กราฟ



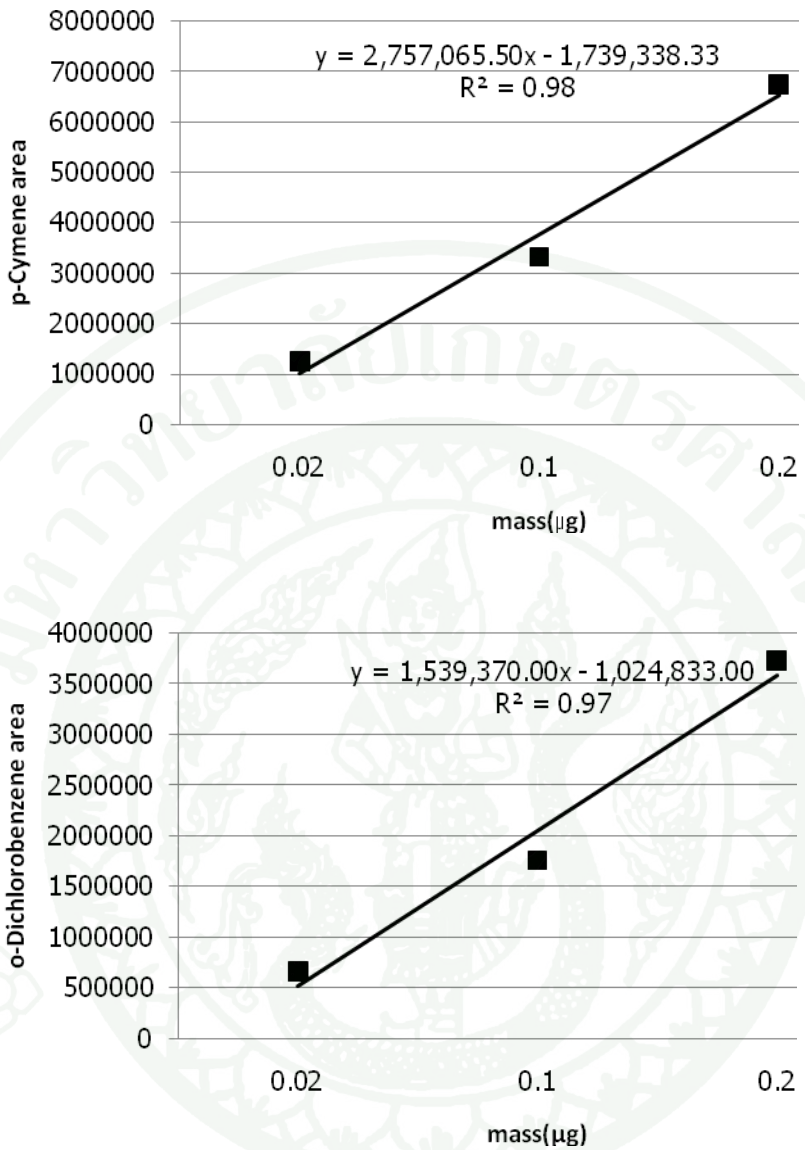
ภาพพนักพิง ก2 (ต่อ)



ภาพผนวกที่ ก2 (ต่อ)



ภาพผนวกที่ ก2 (ต่อ)



ภาพพนักที่ ก2 (ต่อ)

ตารางผนวกที่ ก23 ความเข้มข้นของสารอินทรีย์ระเหยในช่วงเวลาต่าง ๆ จากการใช้เครื่อง GCMS บริเวณกองเปิดในกูฟน

name	Blank			8.00-9.00		9.00-10.00			10.00-11.00			
	area H	area T	µg/L	area H	area T	µg/L	area H	area T	µg/L	area H	area T	µg/L
1,2-Dichloropropane	0	0	0	9344.667	493	15.1063	0	0	0	0	0	0
Benzene (CAS) Phene	42027	1883	16.1158	5146240	3582957	273.4577	4888486	3977063	277.4977	5278127	4250313	297.139
1,3-Dichloropropane	0	0	0	42899	24854	16.82231	0	0	0	0	0	0
Toluene	0	0	0	643852.3	16302	34.37494	478603.7	66109	30.95445	351995.3	70765.67	27.34107
Tetrachloroethylene	0	0	0	0	0	0	0	0	0	0	0	0
p-Xylene	0	0	0	451976.7	65554.67	30.14908	203307.3	92531.67	23.58041	90222.67	45952.33	18.84963
m-Xylene	0	0	0	205712.7	60337.67	22.69779	157395	38953	20.63253	188161	66819.33	22.36979
Styrene	0	0	0	24089.33	8916.333	15.79276	59386.67	32299.33	17.53144	32182.67	11520.33	16.10972
Isopropylbenzene	0	0	0	90847.67	46210.67	18.8758	58538.33	174402.3	21.71676	92830	40942.67	18.77845
m-Ethyltoluene	0	0	0	52045.33	21346.33	16.98938	0	0	0	24641.33	25647.67	16.30486
1,3,5-Trimethylbenzene	0	0	0	119823.7	21660	19.00692	129842.3	197163	24.50386	84091	43675.33	18.60048
sec-Butylbenzene	0	0	0	5725.667	13641.33	15.38865	3624.333	18949	15.48365	22830	23130	16.17659
p-Cymene	0	0	0	183258.7	49783.33	21.71976	90769	52199.67	19.05092	283595.7	79552.67	25.57477
o-Dichlorobenzene	0	0	0	0	0	0	0	0	0	0	0	0

หมายเหตุ : 0 หมายถึง ตรวจไม่พบ

ตารางผนวกที่ ก23 (ต่อ)

name	11.00-12.00			12.00-13.00			13.00-14.00		
	area H	area T	µg/L	area H	area T	µg/L.	area H	area T	µg/L
1,2-Dichloropropane	0	0	0	0	0	0	0	0	0
Benzene (CAS) Phene	5330791	4097926	294.1842	5515699	4001920	296.8183	5578239	4135783	302.6377
1,3-Dichloropropane	0	0	0	0	0	0	0	0	0
Toluene	412960.7	134732.7	31.04277	591592	37100.33	33.44274	182689.3	44309.33	21.5407
Tetrachloroethylene	0	0	0	0	0	0	0	0	0
p-Xylene	105182.7	55960.67	19.58943	60555.33	53646	18.19856	58713.67	61984.33	18.39105
m-Xylene	188512.3	44991.67	21.73345	213308.3	57242	22.83112	187960.3	40960.33	21.59765
Styrene	34886	14260	16.27099	42489.33	13999.67	16.48856	32162.33	28857.67	16.62281
Isopropylbenzene	108471.3	45611	19.38022	107046.7	34690.67	19.01444	98211	54225.67	19.33146
m-Ethyltoluene	211544	48491.67	22.51958	119671	72187	20.4995	199411	59031.67	22.47238
1,3,5-Trimethylbenzene	119501.7	53039	19.92713	28178.67	21789.33	16.29535	119116.7	23714	19.04684
sec-Butylbenzene	112906.3	16241	18.6414	44948.33	26180	16.92232	105492.7	19481.67	18.51776
p-Cymene	294151.7	89520.67	26.18289	263918.3	158670.3	27.33596	395330.7	147791.3	30.90732
o-Dichlorobenzene	0	0	0	0	0	0	0	0	0

หมายเหตุ : 0 หมายถึง ตรวจไม่พบ

ตารางผนวกที่ ก24 ความเข้มข้นของสารอินทรีย์ระเหยในช่วงเวลาต่าง ๆ จากการใช้เครื่อง GCMS บริเวณกองเปิดในฤดูแล้ง

name	Blank			8.00-9.00			9.00-10.00			10.00-11.00		
	area H	area T	µg/L	area H	area T	µg/L	area H	area T	µg/L	area H	area T	µg/L
1,2-Dichloropropane	0	0	0	0	0	0	0	0	0	0	0	0
Benzene (CAS) Phene	44099	2444	16.19387	2922957	2946451	188.7232	4120504	2751875	218.4409	4207443	2865219	224.3752
1,3-Dichloropropane	0	0	0	38149.33	14514.33	16.37522	458.3333	29146	15.69198	6063636	4458351	326.5774
Toluene	0	0	0	277545.3	63398.33	24.91685	174956.3	63413.67	21.87763	0	0	0
Tetrachloroethylene	0	0	0	0	0	0	0	0	0	419191	75846.67	29.4826
p-Xylene	0	0	0	271104.7	54546	24.46372	147214	60030.67	20.9554	0	0	0
m-Xylene	0	0	0	280896.3	58820	24.88048	221175	61467.67	23.18941	299804.3	110859.7	26.98264
Styrene	0	0	0	0	0	0	0	0	0	107170.7	53586	19.57798
Isopropylbenzene	0	0	0	0	0	0	0	0	0	0	0	0
m-Ethyltoluene	0	0	0	171361.7	107853.3	23.08785	258238	59553	24.23084	0	0	0
1,3,5-Trimethylbenzene	0	0	0	130799.3	39248.67	19.85327	160229.3	43756	20.85882	357441.7	47762.33	26.82086
sec-Butylbenzene	0	0	0	0	0	0	0	0	0	294234	59392	25.29262
p-Cymene	0	0	0	1499968	19055.67	59.82292	1533192	68588.33	62.27497	10494.33	24549.67	15.85316
o-Dichlorobenzene	0	0	0	0	0	0	0	0	0	1832996	113052.7	72.47552

หมายเหตุ : 0 หมายถึง ตรวจไม่พบ

ตารางผนวกที่ ก24 (ต่อ)

name	11.00-12.00			12.00-13.00			13.00-14.00		
	area H	area T	µg/L	area H	area T	µg/L	area H	area T	µg/L
1,2-Dichloropropane	0	0	0	0	0	0	0	0	0
Benzene (CAS) Phene	3764080	3012671	215.6074	3859860	3418620	230.4735	4226266	3449887	242.2564
1,3-Dichloropropane	49441.67	25494.33	17.03514	26042.33	58855.33	17.3303	29479.67	15121.67	16.13634
Toluene	0	0	0	144000.7	44063.33	20.38708	298674.7	45059.33	24.99953
Tetrachloroethylene	0	0	0	0	0	0	5781.333	0	14.98611
p-Xylene	255946.7	34370	23.41679	278050	47615.67	24.46417	418165	56330.67	28.87395
m-Xylene	124395.7	81146.67	20.90496	176257.3	86462	22.59909	237914.7	75650	24.10562
Styrene	0	0	0	0	0	0	0	0	0
Isopropylbenzene	0	0	0	0	0	0	0	0	0
m-Ethyltoluene	60251.67	71382	18.71507	60154	48118.67	18.02289	114635	70230.33	20.29231
1,3,5-Trimethylbenzene	51811	4291	16.4771	318267	34846.33	25.27743	108064	59478	19.77902
sec-Butylbenzene	0	0	0	0	0	0	0	0	0
p-Cymene	171091	260824.3	27.61231	289959	37700	24.52323	1257383	322018.3	61.61189
o-Dichlorobenzene	31971	22916.33	16.44111	0	0	0	0	0	0

หมายเหตุ : 0 หมายถึง ตรวจไม่พบ

ตารางผนวกที่ ก25 ความเข้มข้นของสารอินทรีย์ระเหยในช่วงเวลาต่าง ๆ จากการใช้เครื่อง GCMS บริเวณหลุมฝังกลบในจุดฝน

name	Blank			8.00-9.00			9.00-10.00			10.00-11.00		
	area H	area T	$\mu\text{g/L}$	area H	area H	area T	$\mu\text{g/L}$	area H	area H	area H	area T	
1,2-Dichloropropane	0	0	0	0	0	0	0	0	0	0	0	0
Benzene (CAS) Phene	36021	2598	15.95908	5304606	4495878	305.1995	5298382	4817338	314.5399	5476906	5199248	331.1453
1,3-Dichloropropane	0	0	0	0	0	0	0	0	0	0	0	0
Toluene	0	0	0	35615.67	29140.67	16.73352	51800	25134.33	17.09435	28794.67	26306.6	16.44745
Tetrachloroethylene	0	0	0	0	0	0	0	0	0	0	0	0
p-Xylene	0	0	0	0	0	0	0	0	0	0	0	0
m-Xylene	0	0	0	0	0	0	0	0	0	0	0	0
Styrene	0	0	0	0	0	0	0	0	0	0	0	0
Isopropylbenzene	0	0	0	0	0	0	0	0	0	0	0	0
m-Ethyltoluene	0	0	0	0	0	0	0	0	0	0	0	0
1,3,5-Trimethylbenzene	0	0	0	4540.667	31894.33	15.89437	0	0	0	0	0	0
sec-Butylbenzene	0	0	0	0	0	0	0	0	0	0	0	0
p-Cymene	0	0	0	48383.67	17320	16.76159	86544	12764	17.75727	48264.33	2063.33	16.306
o-Dichlorobenzene	0	0	0	0	0	0	0	0	0	0	0	0

หมายเหตุ : 0 หมายถึง ตรวจไม่พบ

ตารางผนวกที่ ก25 (ต่อ)

name	11.00-12.00			12.00-13.00			13.00-14.00		
	area H	area T	µg/L	area H	area T	µg/L	area H	area T	µg/L
1,2-Dichloropropane	0	0	0	0	0	0	0	0	0
Benzene (CAS) Phene	5906395	4155572	312.9472	6006470	4408369	323.4026	6063636	4458351	326.5774
1,3-Dichloropropane	0	0	0	0	0	0	0	0	0
Toluene	31624	15271.67	16.20432	24571.33	21296	16.17385	16642.67	23131.33	15.9933
Tetrachloroethylene	0	0	0	0	0	0	0	0	0
p-Xylene	0	0	0	0	0	0	0	0	0
m-Xylene	0	0	0	0	0	0	0	0	0
Styrene	0	0	0	0	0	0	0	0	0
Isopropylbenzene	0	0	0	0	0	0	0	0	0
m-Ethyltoluene	0	0	0	0	0	0	0	0	0
1,3,5-Trimethylbenzene	0	0	0	0	0	0	0	0	0
sec-Butylbenzene	0	0	0	0	0	0	0	0	0
p-Cymene	63259	19648	17.27132	60113	26269.33	17.37429	87248.33	28645.67	18.24871
o-Dichlorobenzene	0	0	0	0	0	0	0	0	0

หมายเหตุ : 0 หมายถึง ตรวจไม่พบ

**ตารางผนวกที่ ก26 ความเข้มข้นของสารอินทรีย์ระเหยในช่วงเวลาต่าง ๆ จากการใช้เครื่อง GCMS บริเวณหลุมฝังกลบในจุดเดือด**

name	Blank			8.00-9.00			9.00-10.00			10.00-11.00		
	area H	area T	µg/L	area H	area T	µg/L	area H	area T	µg/L	area H	area T	µg/L
1,2-Dichloropropane	0	0	0	0	0	0	0	0	0	0	0	0
Benzene (CAS) Phene	41004	2978	16.11799	2981895	3299933	200.9431	4440299	2892659	232.0876	4041288	3313015	232.7201
1,3-Dichloropropane	0	0	0	0	0	0	0	0	0	0	0	0
Toluene	0	0	0	0	0	0	0	0	0	0	0	0
Tetrachloroethylene	0	0	0	0	0	0	0	0	0	0	0	0
p-Xylene	0	0	0	0	0	0	0	0	0	0	0	0
m-Xylene	0	0	0	0	0	0	0	0	0	0	0	0
Styrene	0	0	0	0	0	0	0	0	0	0	0	0
Isopropylbenzene	0	0	0	0	0	0	0	0	0	0	0	0
m-Ethyltoluene	0	0	0	0	0	0	0	0	0	0	0	0
1,3,5-	0	0	0	0	0	0	0	0	0	0	0	0
Trimethylbenzene	0	0	0	0	0	0	0	0	0	0	0	0
sec-Butylbenzene	0	0	0	0	0	0	0	0	0	0	0	0
p-Cymene	0	0	0	30225.33	21873.33	16.35848	79900.33	33284.67	18.16844	98301	25903.67	18.49495
o-Dichlorobenzene	0	0	0	0	0	0	0	0	0	0	0	0

หมายเหตุ : 0 หมายถึง ตรวจไม่พบ

ตารางผนวกที่ ก26 (ต่อ)

name	11.00-12.00			12.00-13.00			13.00-14.00		
	area H	area T	µg/L	area H	area T	µg/L	area H	area T	µg/L
1,2-Dichloropropane	0	0	0	0	0	0	0	0	0
Benzene (CAS) Phene	4261568	3525445	245.5411	4765030	3402241	256.808	4934930	3725674	271.4253
1,3-Dichloropropane	0	0	0	0	0	0	0	0	0
Toluene	0	0	0	0	0	0	0	0	0
Tetrachloroethylene	0	0	0	0	0	0	0	0	0
p-Xylene	0	0	0	0	0	0	0	0	0
m-Xylene	0	0	0	0	0	0	0	0	0
Styrene	0	0	0	0	0	0	0	0	0
Isopropylbenzene	0	0	0	0	0	0	0	0	0
m-Ethyltoluene	0	0	0	0	0	0	0	0	0
1,3,5-Trimethylbenzene	0	0	0	0	0	0	0	0	0
sec-Butylbenzene	0	0	0	0	0	0	0	0	0
p-Cymene	69307.67	22632	17.53895	97900	19798.33	18.30217	115008.3	23561.33	18.92058
o-Dichlorobenzene	0	0	0	0	0	0	0	0	0

หมายเหตุ : 0 หมายถึง ตรวจไม่พบ

ตารางผนวกที่ ก27 ตัวอย่างสารอินทรีย์ระเหยที่สามารถตรวจพบโดยใช้เครื่อง GCMS

no.	name	Column	Area	%area	Hight	% Hight
1	Benzene (CAS) Phene	TIC	10532604	9.59	486479	1.81
2	Thiophene (CAS) Thiofuran	TIC	3621809	3.3	220417	0.82
3	Thiophene (CAS) Thiofuran	TIC	175656	0.16	29010	0.11
4	1-Propene, 1-chloro-, (E)- (CAS) trans-1-Chloropropene	TIC	2754	0	1758	0.01
5	1-methylthio-4-azido-butane	TIC	79906	0.07	6409	0.02
6	2-Ethylpentane	TIC	239143	0.22	36411	0.14
7	Cyclotrisiloxane, hexamethyl	TIC	100163	0.09	12244	0.05
8	Benzene, methyl- (CAS) Toluene	TIC	10653506	9.7	981462	3.64
9	1-Heptanol	TIC	190623	0.17	27762	0.1
10	Tetramethylbutane	TIC	46336	0.04	12423	0.05
11	Ethene, tetrachloro- (CAS) Tetrachloroethylene	TIC	770198	0.7	90533	0.34
12	Nonane (CAS) n-Nonane	TIC	527517	0.48	90269	0.34
13	Cyclohexane, 1,1-dimethyl- (CAS) 1,1-Dimethylcyclohexane	TIC	79845	0.07	13164	0.05
14	Ethanedioic acid, dibutyl ester	TIC	64971	0.06	14562	0.05
15	Butanoic acid, 2-methyl-, 2-methylbutyl ester	TIC	149007	0.14	25519	0.09
16	Octane, 3,6-dimethyl- (CAS) 3,6-Dimethyloctane	TIC	118114	0.11	25680	0.1
17	5-Octen-4-one, 7-methyl	TIC	16485	0.02	8116	0.03
18	Pentane, 2,3-dimethyl- (CAS) 2,3-Dimethylpentane	TIC	136565	0.12	31119	0.12
19	Ethylbenzee	TIC	917979	0.84	251348	0.93
20	Benzene, 1,4-dimethyl- (CAS) p-Xylene	TIC	2535396	2.31	440911	1.64
21	2-Pinene	TIC	3083435	2.81	561407	2.08
22	Benzene, 1,2-dimethyl- (CAS) o-Xylene	TIC	952022	0.87	179903	0.67
23	Styrene	TIC	92688	0.08	24064	0.09
24	Decane (CAS) n-Decane	TIC	2038753	1.86	393164	1.46
25	Benzene, (1-methylethyl)- (CAS) Isopropylbenzene	TIC	401372	0.37	103601	0.38

ตารางผนวกที่ ก27 (ต่อ)

no.	name	Column	Area	%area	Hight	% Hight
26	Decane, 4-methyl- (CAS) 4-Methyldecane	TIC	310846	0.28	73580	0.27
27	Cyclohexane, 1,1-dimethyl- (CAS) 1,1-Dimethylcyclohexane	TIC	110429	0.1	17618	0.07
28	Tetradecane (CAS) n-Tetradecane	TIC	39859	0.04	13349	0.05
29	2-.BETA.-PINENE	TIC	3846024	3.5	892337	3.31
30	Benzene, 1-ethyl-3-methyl- (CAS) m-Ethyltoluene	TIC	5013009	4.56	1103074	4.09
31	2-Ethylhexyl ester of butanoic acid	TIC	44229	0.04	22208	0.08
32	OCTANE, 2,3,3-TRIMETHYL	TIC	68376	0.06	32122	0.12
33	Cyclohexane, butyl- (CAS) n-Butylcyclohexane	TIC	16926	0.02	10500	0.04
34	Cyclopentane, pentylidene- (CAS)	TIC	117931	0.11	48600	0.18
35	Decane, 3-methyl- (CAS) 3-Methyldecane	TIC	68087	0.06	24860	0.09
36	Benzene, 1,3,5-trimethyl- (CAS) 1,3,5-Trimethylbenzene	TIC	1648096	1.5	427802	1.59
37	Benzene, 1,2,3-trimethyl- (CAS) 1,2,3-Trimethylbenzene	TIC	2927500	2.67	1022548	3.8
38	dl-Limonene	TIC	22444180	20.38	7883064	29.27
39	Undecane (CAS) n-Undecane	TIC	931504	0.85	239518	0.89
40	Benzene, methyl(1-methylethyl)- (CAS) Cymol	TIC	1912411	1.74	727628	2.7
41	1,8-Cineole	TIC	357701	0.33	136212	0.51
42	Trisulfide, dimethyl (CAS) 2,3,4-Trithiapentane	TIC	120767	0.11	52255	0.19
43	(E)-3-Methylpent-3-en-2-ol	TIC	9431	0.01	4972	0.02
44	Benzene, 1,3,5-trimethyl- (CAS) 1,3,5-Trimethylbenzene	TIC	596683	0.54	236844	0.88
45	Ethane, hexafluoro- (CAS) Hexafluoroethane	TIC	5495	0.01	3273	0.01
46	Benzene, (1-methylpropyl)- (CAS) sec-Butylbenzene	TIC	196930	0.18	81127	0.3
47	Benzene, 1,2-diethyl- (CAS) 1,2-Diethylbenzene	TIC	156578	0.14	73608	0.27
48	Benzene, 1-ethyl-2,3-dimethyl- (CAS) 3-Ethyl-o-xylene	TIC	257102	0.23	96565	0.36
49	Butane, 1-bromo-2-methyl- (CAS) 1-Bromo-2-methylbutane	TIC	10309	0.01	6240	0.02
50	Trimethylcyclohexanone	TIC	142232	0.13	54776	0.2

ตารางผนวกที่ ก27 (ต่อ)

no.	name	Column	Area	%area	Hight	% Hight
51	Benzene, cyclopropyl- (CAS) Cyclopropylbenzene	TIC	298675	0.27	73185	0.27
52	Propyl hexanoate	TIC	693233	0.63	317794	1.18
53	Heptanoic acid, ethyl ester (CAS) Ethyl heptanoate	TIC	406039	0.37	177112	0.66
54	Benzene, methyl(1-methylethyl)- (CAS) Cymol	TIC	118320	0.11	58252	0.22
55	Cyclododecanone (CAS) CYCLODODECANON	TIC	6447	0.01	5136	0.02
56	Benzene, 1-ethyl-2,3-dimethyl- (CAS) 3-Ethyl-o-xylene	TIC	177526	0.16	84797	0.31
57	4,7-Methano-1H-indene, octahydro- (CAS) Tricyclo[5.2.1.0(2,6)]decane	TIC	49879	0.05	25226	0.09
58	Benzyl 4-methylphenyl ketone	TIC	8457	0.01	3768	0.01
59	ISO BUTYL HEXANOATE	TIC	550708	0.5	232211	0.86
60	Methyl 4-chlorodecanoate	TIC	31422	0.03	12025	0.04
61	7-Methyl-7-(p-tolylsulfonyl)bicyclo[4.2.0]octa-1,3,5-triene	TIC	25707	0.02	8698	0.03
62	Ethanone, 1-(2-methylphenyl)- (CAS) o-Methylacetophenone	TIC	25414	0.02	13750	0.05
63	Benzene, 1,2,3,5-tetramethyl- (CAS) 1,2,3,5-Tetramethylbenzene	TIC	130795	0.12	59557	0.22
64	Benzene, 1,2,3,4-tetramethyl- (CAS) Prehnitol	TIC	105484	0.1	47413	0.18
65	tetra(2,4,6-trimethylphenyl)cyclotetrasilabane	TIC	13152	0.01	5611	0.02
66	Dodecamethylcyclohexasiloxane	TIC	1017472	0.93	222178	0.82
67	2-(Dichloroamino)-2-methylpropane	TIC	18833	0.02	3969	0.01
68	propyl heptanoate	TIC	314450	0.29	122067	0.45
69	Octanoic acid, ethyl ester (CAS) Ethyl caprylate	TIC	104439	0.1	52610	0.2
70	2,3,5-trimethylidenebicyclo[2.2.1]heptane	TIC	4947	0	3515	0.01
71	Ethyl 2-ethyl-3-oxothiolhexanoate	TIC	8805	0.01	5567	0.02
72	Butyl heptanoate	TIC	163584	0.15	86603	0.32
73	4-Heptanone, 3-methyl- (CAS) 3-Methyl-4-heptanone	TIC	16622	0.02	10143	0.04
74	4,4-Dimethyl-1-hepten-5-yne	TIC	11154	0.01	7347	0.03
75	3-METHYLBUTYL HEXANOATE	TIC	21323	0.02	11726	0.04

ตารางผนวกที่ ก27 (ต่อ)

no.	name	Column	Area	%area	Hight	% Hight
76	2H-Pyran-2-one, tetrahydro-6-propyl- (CAS) .delta.-Octalactone	TIC	6085	0.01	5023	0.02
77	Ethyl 3-Hydroxy-2-methylene-4-methylpentanoate	TIC	4710	0	4099	0.02
78	6-heptenonitrile	TIC	2156	0	2137	0.01
79	2,2,2-trifluoroethyl (methanesulfonyl)methanesulfonate	TIC	5680	0.01	1637	0.01
80	2-ethylhexyl 2-ethylbutyrate	TIC	26186	0.02	15723	0.06
81	Propyl octanoate	TIC	43022	0.04	27481	0.1
82	Cycloheptasiloxane, tetradecamethyl- (CAS)	TIC	458771	0.42	155066	0.58
83	Pentadecane (CAS) n-Pentadecane	TIC	34539	0.03	18519	0.07
84	Formic acid, pentyl ester (CAS) Amyl formate	TIC	3324	0	2475	0.01
85	2,2,5,5-tetramethyl-3,4-bis(methylene)cyclopent-1-yl p-toluenesulfonate	TIC	8912	0.01	4338	0.02
86	LONGIBORN-8-ENE	TIC	45917	0.04	25380	0.09
87	.alpha.-Copaene	TIC	341712	0.31	171359	0.64
88	N-n-Butyl-N'-n-pentyldiazene	TIC	6164	0.01	5057	0.02
89	Gamma-Cadinene	TIC	69040	0.06	36191	0.13
90	Di-n-octyl disulfide	TIC	6578	0.01	4478	0.02
91	Perilla alcohol	TIC	33316	0.03	20095	0.07
92	trans-Caryophyllene	TIC	1044847	0.95	487916	1.81
93	.alpha.-Humulene	TIC	170429	0.16	86169	0.32
94	1-pentylhexylbenzene	TIC	5156	0	4744	0.02
95	Di-n-octyl disulfide	TIC	7895	0.01	5543	0.02
96	aromadendrene 2	TIC	30237	0.03	18234	0.07
97	aromadendrene 2	TIC	17226	0.02	11607	0.04
98	tert-butyl(2-methylbutyl)isopropoxyborane	TIC	6722	0.01	4076	0.02
99	epithio-2,8-p-menthene-1	TIC	50079	0.05	26475	0.1
100	SILICATE ANION TETRAMER	TIC	24015	0.02	9655	0.04



**ตารางผนวกที่ ข1 ระดับการทำลายดีเอ็นเอกองเปิดๆ ณ ผน**

no	Comet Area (px)	Head Area (px)	%DNA in Head	Tail Area(px)	%DNA in Tail	Tail Moment	Olive Moment	DNA migration
1	587	514	75.78182	73	24.21818	0.242182	1.494182	0.124361
2	359	265	58.88749	94	41.11251	1.233375	2.366688	0.261838
3	525	278	34.4468	247	65.5532	11.79958	5.024442	0.470476
4	831	556	37.20971	275	62.79029	6.279029	3.537572	0.330927
5	656	241	42.96	415	57.04	9.6968	6.5348	0.632622
6	595	418	59.26868	177	40.73132	8.146264	3.813037	0.297479
7	4093	1856	37.30888	2237	62.69112	43.25687	17.92275	0.546543
8	1091	564	49.83224	527	50.16776	8.52852	5.317758	0.483043
9	1026	997	94.69311	29	5.306888	0.053069	0.119807	0.028265
10	1130	734	44.13215	396	55.86785	3.910749	3.920208	0.350442
11	1557	535	50.09977	1022	49.90023	16.96608	8.274776	0.65639
12	757	662	73.19986	95	26.80014	2.948016	1.621397	0.125495
13	823	650	56.09619	173	43.90381	4.829419	2.973368	0.210207
14	4406	1328	35.41764	3078	64.58236	43.27018	26.47001	0.698593
15	410	384	68.13786	26	31.86214	0	1.447558	0.063415
16	785	468	56.80043	317	43.19958	7.775924	2.878294	0.403822
17	718	346	50.85927	372	49.14073	4.422666	2.887393	0.518106
18	544	519	98.73908	25	1.260926	0.025219	0.098295	0.045956
19	477	212	39.96679	265	60.03321	7.203986	3.034182	0.555556
20	529	374	72.90919	155	27.09081	5.147253	2.186426	0.293006
21	2530	1280	49.59688	1250	50.40312	12.60078	7.151004	0.494071
22	814	766	75.84147	48	24.15853	1.207926	0.917986	0.058968
23	619	414	40.91933	205	59.08068	5.317261	3.047186	0.331179
24	746	688	97.75796	58	2.242038	0.112102	0.047643	0.077748
25	1716	660	33.25377	1056	66.74624	10.01194	7.013435	0.615385
26	1516	926	71.81682	590	28.18318	7.327628	4.765199	0.389182
27	1009	983	79.3634	26	20.6366	1.238196	1.134484	0.025768
28	4500	2646	62.2825	1854	37.7175	12.0696	11.70569	0.412

ตารางผนวกที่ ข1 (ต่อ)

no	Comet Area (px)	Head Area (px)	%DNA in Head	Tail Area(px)	%DNA in Tail	Tail Moment	Olive Moment	DNA migration
29	1434	1253	72.20815	181	27.79185	0.555837	1.865991	0.12622
30	1434	1253	72.20815	181	27.79185	0.555837	1.865991	0.12622
31	475	430	86.18411	45	13.81589	0.138159	0.653296	0.094737
32	6614	4366	79.92527	2248	20.07473	3.814199	7.15903	0.339885
33	1963	536	51.83466	1427	48.16534	19.26614	10.20324	0.726949
34	1458	1447	69.6052	11	30.3948	0.607896	1.46467	0.007545
35	1044	923	81.61191	121	18.38809	0	0.799903	0.1159
36	397	290	61.16435	107	38.83565	1.553426	1.504193	0.269521
37	433	357	57.30152	76	42.69848	1.707939	2.029823	0.17552
38	1086	958	93.55387	128	6.446133	0.386768	0.68397	0.117864
39	267	210	89.00605	57	10.99395	0.219879	0.598387	0.213483
40	1463	1024	71.42306	439	28.57694	1.428847	3.519581	0.300068
41	1552	1240	85.91737	312	14.08263	2.253221	2.661255	0.201031
42	1205	866	77.4174	339	22.5826	1.12913	1.9417	0.281328
43	517	498	85.94695	19	14.05305	0.140531	0.688217	0.03675
44	2444	488	27.63653	1956	72.36347	34.01083	12.23311	0.800327
45	631	314	67.5693	317	32.4307	5.837526	2.528236	0.502377
46	493	395	92.05523	98	7.944778	0.556134	0.884258	0.198783
47	641	378	61.80673	263	38.19327	4.583193	3.259506	0.410296
48	8124	2800	45.48312	5324	54.51688	49.06519	25.76616	0.655342
49	1391	248	30.89877	1143	69.10123	24.87644	9.62667	0.821711
50	1022	474	67.20219	548	32.79781	6.887539	3.451734	0.536204
0.331178								

**ตารางผนวกที่ ข2 ระดับการทำลายดีเอ็นเอกองปิดฤทธิ์**

no	Comet Area (px)	Head Area (px)	%DNA in Head	Tail Area(px)	%DNA in Tail	Tail Moment	Olive Moment	DNA migration
1	1489	1261	61.15945	228	38.84055	3.49565	2.857855	0.153123
2	2070	2069	76.5822	1	23.4178	0	3.026627	0.000483
3	1590	1582	63.70739	8	36.29261	2.540483	2.434266	0.005031
4	992	991	85.10258	1	14.89743	0	0.988021	0.001008
5	949	928	45.59872	21	54.40128	10.88026	5.111014	0.022129
6	970	952	68.23764	18	31.76237	0.635247	1.609359	0.018557
7	647	645	79.77941	2	20.22059	0.202206	1.307394	0.003091
8	575	574	75.44555	1	24.55446	0	1.078988	0.001739
9	672	671	78.65571	1	21.34429	0	0.863181	0.001488
10	7267	7228	68.10503	39	31.89497	12.75799	8.897512	0.005367
11	517	232	57.86707	285	42.13293	3.791964	1.869133	0.551257
12	739	585	80.07257	154	19.92743	0.996372	1.096807	0.20839
13	1285	556	53.73492	729	46.26508	4.626508	3.957315	0.567315
14	1333	763	39.27448	570	60.72552	9.108828	4.408751	0.427607
15	773	516	40.65066	257	59.34933	7.12192	3.378553	0.332471
16	733	166	16.84332	567	83.15668	9.147234	6.002313	0.773533
17	510	250	64.80123	260	35.19877	3.167889	2.191432	0.509804
18	14763	11169	58.0649	3594	41.93511	25.99977	18.36779	0.243446
19	1922	1564	53.64192	358	46.35808	5.56297	3.249392	0.186264
20	677	334	69.61024	343	30.38976	2.735078	2.219761	0.506647
21	1101	1064	75.10368	37	24.89632	2.240669	1.088696	0.033606
22	911	416	35.71975	495	64.28025	7.070827	3.233905	0.543359
23	897	888	66.37392	9	33.62608	2.690086	1.622868	0.010033
24	614	571	53.17907	43	46.82094	3.277466	1.531574	0.070033
25	728	672	75.76943	56	24.23057	1.69614	1.062598	0.076923
26	491	186	66.80353	305	33.19647	3.983576	2.305276	0.621181
27	688	538	56.33611	150	43.6639	2.183195	1.662302	0.218023
28	450	209	58.86023	241	41.13977	2.879784	2.046034	0.535556

ตารางผนวกที่ ๖๒ (ต่อ)

no	Comet Area (px)	Head Area (px)	%DNA in Head	Tail Area(px)	%DNA in Tail	Tail Moment	Olive Moment	DNA migration
29	1248	978	62.90016	270	37.09984	4.080983	2.33851	0.216346
30	1263	1165	77.98283	98	22.01717	0.220172	0.940687	0.077593
31	1019	642	59.2953	377	40.70469	2.442282	1.966027	0.369971
32	2436	1575	46.73389	861	53.26611	5.326612	5.331751	0.353448
33	342	272	98.11716	70	1.882845	0.056485	0.135565	0.204678
34	1956	1882	77.50985	74	22.49015	2.923719	1.736673	0.037832
35	625	603	74.93969	22	25.06031	1.754222	1.089684	0.0352
36	1297	1176	98.36218	121	1.637814	0	0.202223	0.093292
37	1195	1077	75.50613	118	24.49387	3.184203	1.430322	0.098745
38	1126	591	36.7141	535	63.2859	10.7586	4.449894	0.475133
39	655	580	72.41927	75	27.58073	1.103229	0.891124	0.114504
40	2963	1665	37.57684	1298	62.42316	6.866548	8.490603	0.43807
41	2785	2134	62.92209	651	37.07791	8.15714	3.385614	0.233752
42	3398	2244	54.43252	1154	45.56748	13.67024	6.368593	0.339612
43	1295	803	55.88476	492	44.11524	3.970371	3.529492	0.379923
44	2065	582	35.502	1483	64.498	11.60964	8.014368	0.71816
45	971	712	63.25737	259	36.74263	2.204558	1.995924	0.266735
46	718	392	56.12434	326	43.87566	5.265079	2.105097	0.454039
47	1092	539	39.35033	553	60.64968	10.31045	3.833283	0.50641
48	1317	643	59.71078	674	40.28922	8.057844	3.900874	0.511769
49	2704	2084	66.69523	620	33.30477	3.996572	3.60383	0.22929
50	525	418	65.99166	107	34.00834	2.0405	1.191979	0.20381
								0.259716

**ตารางผนวกที่ ข3 ระดับการทำลายดีเอ็นเอกองเปิดๆดูแล้ว**

no	Comet Area (px)	Head Area (px)	%DNA in Head	Tail Area(px)	%DNA in Tail	Tail Moment	Olive Moment	DNA migration
1	1069	524	26.76974	545	73.23026	13.91375	9.844616	0.509822
2	2182	1906	85.3237	276	14.6763	1.174104	1.693401	0.126489
3	1457	1044	66.72399	413	33.27601	3.993121	2.969501	0.283459
4	1712	1122	74.45358	590	25.54642	3.831963	4.350482	0.344626
5	438	206	46.35294	232	53.64706	10.19294	3.362647	0.52968
6	643	488	82.11994	155	17.88006	3.218411	1.961496	0.241058
7	1498	388	38.5111	1110	61.4889	29.51467	13.35192	0.740988
8	502	126	29.12546	376	70.87454	9.922436	5.744619	0.749004
9	1177	587	69.97766	590	30.02234	8.706478	6.07662	0.501274
10	641	186	25.64974	455	74.35026	16.35706	7.705004	0.709828
11	3121	2235	59.87245	886	40.12754	18.05739	8.084095	0.283883
12	463	229	38.93983	234	61.06018	7.937823	3.825471	0.5054
13	1138	606	44.57045	532	55.42955	2.217182	5.408964	0.467487
14	1015	372	37.45239	643	62.54761	11.88405	6.619807	0.633498
15	1079	784	61.14747	295	38.85253	7.38198	3.123417	0.273401
16	2254	548	21.91542	1706	78.08458	40.60398	19.06274	0.756877
17	1303	1050	84.21012	253	15.78988	3.157976	2.712862	0.194167
18	1587	889	45.35333	698	54.64667	9.289934	7.526853	0.439824
19	1361	1108	75.8083	253	24.1917	0.241917	3.063805	0.185893
20	1696	1222	77.63485	474	22.36515	2.907469	4.905406	0.279481
21	984	288	36.36161	696	63.63839	17.18237	6.865843	0.707317
22	1187	908	56.65382	279	43.34618	3.901156	4.339719	0.235046
23	1632	1488	74.38773	144	25.61227	0.512245	2.051423	0.088235
24	4404	3697	73.27806	707	26.72194	4.809948	4.639979	0.160536
25	4850	1980	32.13024	2870	67.86977	24.43312	12.63561	0.591753
26	1992	954	47.63832	1038	52.36168	12.04319	6.255651	0.521084
27	3115	2786	86.99963	329	13.00037	0	1.009968	0.105618
28	4519	2082	33.05617	2437	66.94383	24.76922	17.3633	0.539279

**ตารางผนวกที่ ข3 ระดับการทำลายดีเอ็นเอกองเปิดๆดูแล้ว**

no	Comet Area (px)	Head Area (px)	%DNA in Head	Tail Area(px)	%DNA in Tail	Tail Moment	Olive Moment	DNA migration
29	3112	3048	94.40487	64	5.595129	0.839269	0.900578	0.020566
30	4528	1865	25.56784	2663	74.43216	43.17065	21.27697	0.588118
31	1268	985	76.58645	283	23.41355	1.873084	2.548605	0.223186
32	5599	4485	53.5544	1114	46.4456	14.86259	7.549804	0.198964
33	7793	3986	53.74289	3807	46.25711	19.89056	16.82357	0.488515
34	1589	1569	97.39475	20	2.605247	0.026052	0.057474	0.012587
35	1320	796	27.24068	524	72.75932	18.91743	9.636946	0.39697
36	619	609	71.88104	10	28.11896	1.968327	1.097921	0.016155
37	1085	1055	81.15886	30	18.84114	1.507291	0.753645	0.02765
38	995	652	44.84365	343	55.15635	6.067199	3.57078	0.344724
39	734	641	77.53017	93	22.46983	2.022285	1.456578	0.126703
40	392	308	63.79191	84	36.20809	1.810405	1.541984	0.214286
41	776	678	86.22273	98	13.77727	0.551091	0.994145	0.126289
42	1038	756	70.08379	282	29.91622	3.589946	2.373513	0.271676
43	911	840	84.89345	71	15.10655	0	0.698258	0.077936
44	484	308	78.31169	176	21.68831	3.253247	1.750487	0.363636
45	5031	2196	38.11131	2835	61.8887	22.89882	16.08357	0.563506
46	1201	941	56.63211	260	43.3679	4.770469	4.012263	0.216486
47	2642	1412	32.36483	1230	67.63517	28.40677	9.915638	0.465556
48	2132	1726	71.53912	406	28.46089	0	3.351442	0.190432
49	13589	5562	53.54521	8027	46.45479	25.08559	23.06016	0.590698
50	3187	2250	68.26183	937	31.73817	7.29978	7.383888	0.294007

**ตารางผนวกที่ ข4 ระดับการทำลายดีเอ็นเอกองปีกตูแลง**

no	Comet Area (px)	Head Area (px)	%DNA in Head	Tail Area (px)	%DNA in Tail	Tail Moment	Olive Moment	DNA migration
1	248	216	84.13793	32	15.86207	0.158621	0.432439	0.129032
2	141	129	97.34548	12	2.654517	0.026545	0.11767	0.085106
3	168	153	80.12422	15	19.87578	0.397516	0.546894	0.089286
4	3178	620	37.05955	2558	62.94045	25.17618	19.62624	0.804909
5	664	514	75.10991	150	24.89009	0.746703	1.427173	0.225904
6	288	174	73.28736	114	26.71264	1.335632	1.304521	0.395833
7	186	126	58.40665	60	41.59335	1.663734	1.464565	0.322581
8	190	171	98.28125	19	1.71875	0	0.11224	0.1
9	154	86	57.04287	68	42.95713	1.718285	1.300087	0.441558
10	121	108	98.51463	13	1.485365	0.014854	0.081258	0.107438
11	144	110	92.41645	34	7.583547	0.227506	0.327442	0.236111
12	111	80	65.38637	31	34.61363	1.038409	0.888889	0.279279
13	122	118	99.95364	4	0.046361	0	0	0.032787
14	162	80	36.15257	82	63.84743	3.830846	2.037728	0.506173
15	925	570	67.14201	355	32.85799	0.98574	2.273143	0.383784
16	1053	640	64.10029	413	35.89971	3.948968	2.479676	0.392213
17	388	152	58.9132	236	41.0868	3.697812	1.839238	0.608247
18	812	416	60.17631	396	39.82369	4.380606	2.694247	0.487685
19	222	120	52.85235	102	47.14765	2.357383	1.985403	0.459459
20	250	180	79.01072	70	20.98928	0.419786	0.826381	0.28
21	1078	836	69.82544	242	30.17456	1.810474	1.921106	0.22449
22	596	148	28.65182	448	71.34818	9.988746	4.086752	0.751678
23	320	174	58.75441	146	41.2456	2.887192	2.032168	0.45625
24	280	188	63.37781	92	36.62219	0	1.422577	0.328571
25	302	174	71.53961	128	28.46039	0.853812	1.281614	0.423841
26	328	128	35.13976	200	64.86024	6.486024	2.632915	0.609756
27	306	196	62.82201	110	37.17799	1.487119	1.418033	0.359477
28	258	214	95.24552	44	4.754482	0.09509	0.304949	0.170543

ตารางผนวกที่ ข4 (ต่อ)

no	Comet Area (px)	Head Area (px)	%DNA in Head	Tail Area(px)	%DNA in Tail	Tail Moment	Olive Moment	DNA migration
29	264	144	59.71026	120	40.28974	2.014487	1.401331	0.454545
30	608	339	49.76017	269	50.23983	3.516788	2.613872	0.442434
31	471	358	75.38273	113	24.61727	0.738518	0.974036	0.239915
32	262	208	85.92734	54	14.07266	0.281453	0.513002	0.206107
33	275	106	40.55147	169	59.44853	5.944853	2.430699	0.614545
34	333	228	77.90882	105	22.09118	0.662735	0.931174	0.315315
35	241	190	70.23367	51	29.76632	0.595326	0.86591	0.211618
36	164	116	71.79197	48	28.20803	1.128321	0.901357	0.292683
37	519	457	70.81592	62	29.18409	0.583682	1.375941	0.119461
38	895	704	84.90766	191	15.09233	1.207387	1.292414	0.213408
39	555	554	96.96714	1	3.032856	0.030329	0.032716	0.001802
40	414	390	85.57532	24	14.42468	0	0.419956	0.057971
41	365	291	77.32635	74	22.67366	1.360419	1.177869	0.20274
42	550	386	67.44065	164	32.55935	2.930342	2.472215	0.298182
43	1341	1291	71.09578	50	28.90422	4.913716	1.760828	0.037286
44	648	340	44.64693	308	55.35308	7.749431	4.115694	0.475309
45	252	223	87.67576	29	12.32424	0.616212	0.503722	0.115079
46	509	508	98.67182	1	1.328174	0	0.02238	0.001965
47	1033	821	70.71852	212	29.28149	1.756889	2.025011	0.205227
48	966	771	61.4041	195	38.5959	4.245549	2.202583	0.201863
49	1166	1083	70.55272	83	29.44728	3.828147	2.190742	0.071184
50	1274	676	57.11169	598	42.88831	4.288831	3.767273	0.469388
								0.2988

**ตารางผนวกที่ ข5 ระดับการทำลายดีเอ็นเอควบคุมกดูฟันที่ 0 ชั่วโภง**

no	Comet	Head	%DNA in	Tail	%DNA in	Tail	Olive	DNA
	Area (px)	Area (px)	Head	Area(px)	Tail	Moment	Moment	migration
1	4294	3865	93.173468	429	6.826534	0.75092	2.029159	0.09991
2	6239	6190	79.989189	49	20.010813	10.0054	7.686648	0.00785
3	6194	5963	83.302015	231	16.697985	5.17638	6.801164	0.03729
4	1800	1726	99.781579	74	0.218421	0.01311	0.046447	0.04111
5	11026	4820	40.465751	6206	59.534252	65.4877	33.304565	0.56285
6	3407	2898	95.455313	509	4.544684	0.86349	1.350154	0.1494
7	6879	4930	69.080693	1949	30.919307	15.4597	10.0619	0.28333
8	5990	5207	69.264412	783	30.735588	13.2163	8.914845	0.13072
9	1125	1124	99.999064	1	0.000936	9E-06	0	0.00089
10	10170	4296	39.071789	5874	60.928208	64.5839	30.121748	0.57758
11	378	377	99.997395	1	0.002602	0	0	0.00265
12	2456	2278	95.873886	178	4.126113	0.5364	0.978873	0.07248
13	7770	4385	68.420821	3385	31.579179	24.316	12.392065	0.43565
14	2334	2233	94.228566	101	5.771437	0.46172	1.167829	0.04327
15	1484	1483	99.999005	1	0.000994	0.00001	0	0.00067
16	3205	2692	88.907385	513	11.092612	1.99667	3.708869	0.16006
17	3605	2818	81.766135	787	18.233865	7.11121	5.106812	0.21831
18	460	459	99.998689	1	0.001312	3.9E-05	0	0.00217
19	1558	1557	79.15796	1	20.842038	0.62526	3.637992	0.00064
20	3748	2970	93.315518	778	6.684483	1.27005	2.160917	0.20758
21	3906	3735	89.553297	171	10.446703	2.40274	3.217393	0.04378
22	1151	1145	99.849236	6	0.150762	0.00452	0.027276	0.00521
23	3905	3881	88.520873	24	11.479129	2.86978	3.010495	0.00615
24	5011	4217	90.342379	794	9.657618	2.0281	3.248045	0.15845
25	7248	6160	68.934405	1088	31.065595	16.7754	9.943979	0.15011
26	7055	5836	77.43746	1219	22.562541	6.76876	7.174709	0.17279
27	3504	3467	99.477369	37	0.522633	0.02613	0.135833	0.01056
28	3278	3202	96.611315	76	3.388685	0.37276	0.776152	0.02318

ตารางผนวกที่ ๖๕ (ต่อ)

no	Comet	Head	%DNA in	Tail	%DNA in	Tail	Olive	DNA
	Area (px)	Area (px)	Head	Area(px)	Tail	Moment	Moment	migration
29	6278	4981	76.482421	1297	23.51758	10.8181	6.162917	0.20659
30	4699	4520	97.232848	179	2.76715	0.3874	0.845934	0.03809
31	3780	3779	99.383199	1	0.616801	0	0.171815	0.00026
32	2618	2569	99.521983	49	0.478015	0.0239	0.099988	0.01872
33	2478	2477	99.999464	1	0.000536	5E-06	0	0.0004
34	4788	4664	91.918588	124	8.081411	1.53547	2.366576	0.0259
35	5544	5358	92.324811	186	7.675187	1.9188	2.345328	0.03355
36	4858	4044	93.107867	814	6.892131	1.17166	1.597961	0.16756
37	4137	3893	97.830766	244	2.169234	0.23862	0.580586	0.05898
38	3226	3085	99.323469	141	0.67653	0.04736	0.194078	0.04371
39	6936	5694	76.880246	1242	23.119754	12.7159	7.639588	0.17907
40	5251	4834	80.5188	417	19.481203	6.81842	5.612734	0.07941
41	4150	4070	87.678164	80	12.321836	3.69655	3.11879	0.01928
42	750	749	99.998087	1	0.001911	0	0	0.00133
43	7191	6312	78.270012	879	21.729988	9.99579	7.600391	0.12224
44	8588	6705	59.620738	1883	40.379262	23.42	14.469465	0.21926
45	479	478	99.996895	1	0.003107	3.1E-05	0	0.00209
46	5938	5922	98.507535	16	1.492467	0.26864	0.378231	0.00269
47	3223	2304	54.087967	919	45.912033	16.5283	9.641418	0.28514
48	5099	5098	99.999166	1	0.000832	0	0	0.0002
49	7715	7362	81.494004	353	18.505998	8.51276	5.799229	0.04576
50	4507	3862	83.383363	645	16.616639	4.48649	4.344214	0.14311

ตารางผนวกที่ ข6 ระดับการทำลายดีเอ็นเอควบคุมกตัญญางานที่ 0 ชั่วโมง

no	Comet Area (px)	Head Area (px)	%DNA in Head	Tail Area(px)	%DNA in Tail	Tail Moment	Olive Moment	DNA migration
1	546	467	86.717957	79	13.282041	0.39846	0.81636	0.14469
2	603	466	69.802624	137	30.197373	1.81184	1.866063	0.2272
3	2772	2743	95.060092	29	4.939906	0	0.5325	0.01046
4	4676	4660	90.791285	16	9.208716	0	1.506826	0.00342
5	3422	3357	89.475167	65	10.524835	0	1.616402	0.01899
6	1824	1632	84.447789	192	15.552212	0	2.059138	0.10526
7	360	288	76.72928	72	23.270719	1.39624	1.536354	0.2
8	1091	864	72.866338	227	27.133664	1.62802	2.821988	0.20807
9	893	892	96.908247	1	3.091753	0	0.130684	0.00112
10	523	512	92.641979	11	7.358022	0	0.385387	0.02103
11	622	605	95.240045	17	4.759958	0.0476	0.496666	0.02733
12	1542	1325	78.976929	217	21.023072	1.47162	2.526443	0.14073
13	2209	2123	87.448722	86	12.551276	0	1.243472	0.03893
14	688	616	87.060058	72	12.93994	0.3882	0.811517	0.10465
15	747	711	91.776484	36	8.223516	0.24671	0.75644	0.04819
16	852	610	58.646584	242	41.353413	3.72181	3.702191	0.28404
17	270	200	60.097486	70	39.902517	1.99513	1.875576	0.25926
18	1112	1083	90.666997	29	9.333006	0	0.851164	0.02608
19	359	330	95.527655	29	4.472346	0.08945	0.267978	0.08078
20	505	288	51.723641	217	48.276362	4.82764	3.58658	0.4297
21	555	554	99.996829	1	0.003169	0	0	0.0018
22	569	486	81.145769	83	18.854231	0.56563	1.411269	0.14587
23	236	217	91.61756	19	8.38244	0.16765	0.516131	0.08051
24	438	366	84.46514	72	15.534861	0.62139	1.217891	0.16438
25	578	422	60.88199	156	39.11801	2.34708	3.15019	0.2699
26	462	461	97.939849	1	2.060154	0	0.064963	0.00216
27	1053	858	71.317667	195	28.68233	1.72094	2.878407	0.18519
28	898	824	89.854872	74	10.145129	0.40581	0.927055	0.08241

ตารางผนวกที่ ๖ (ต่อ)

no	Comet Area (px)	Head Area (px)	Head	%DNA in Tail Area (px)	%DNA in Tail	Tail Moment	Olive Moment	DNA migration
29	1577	1422	81.512958	155	18.487045	0.55461	1.939661	0.09829
30	319	246	71.349353	73	28.650647	1.14603	1.673845	0.22884
31	317	244	72.937149	73	27.062851	0.81189	1.490125	0.23028
32	238	235	96.587515	3	3.412482	0	0.174517	0.01261
33	962	835	87.909311	127	12.090691	0.24181	0.840767	0.13202
34	2965	2886	91.36886	79	8.631139	0	0.905603	0.02664
35	1269	914	63.484311	355	36.515689	3.28641	4.116152	0.27975
36	1120	1011	86.616534	109	13.383463	0.53534	1.235014	0.09732
37	2703	2564	89.715993	139	10.284007	0.10284	1.539311	0.05142
38	462	282	58.05282	180	41.947177	3.35577	3.60107	0.38961
39	2719	1248	40.575272	1471	59.424728	16.6389	12.461913	0.54101
40	371	343	90.421897	28	9.578101	0.19156	0.671886	0.07547
41	923	410	47.630477	513	52.369523	10.4739	8.428145	0.5558
42	829	794	86.859071	35	13.14093	0	0.869228	0.04222
43	350	282	77.377051	68	22.62295	0.90492	1.463031	0.19429
44	542	234	38.008121	308	61.991882	8.05895	5.400822	0.56827
45	478	292	58.833504	186	41.166499	2.88166	3.195105	0.38912
46	333	282	80.455279	51	19.544719	0.39089	1.167565	0.15315
47	684	540	74.688482	144	25.311515	1.26558	2.21123	0.21053
48	1408	796	63.140804	612	36.859196	5.16029	5.059961	0.43466
49	766	562	71.390033	204	28.60997	2.0027	2.566777	0.26632
50	938	812	80.682468	126	19.317532	0.7727	1.89669	0.13433
0.16848								

ตารางผนวกที่ ข7 ระดับการทำลายดีเอ็นเอควบคุมกดุฟนที่ 96 ชั่วโมง

no	Comet Area (px)	Head Area (px)	%DNA in Head	Tail Area(px)	%DNA in Tail	Tail Moment	Olive Moment	DNA migration
1	421	391	88.65248	30	11.347517	0.22695	0.807086	0.07126
2	429	254	63.106441	175	36.893561	3.32042	2.955073	0.40793
3	393	266	65.847778	127	34.152225	2.39066	2.600791	0.32316
4	988	900	90.02856	88	9.971439	0.698	1.346662	0.08907
5	227	182	81.116676	45	18.883324	0.75533	1.025497	0.19824
6	973	628	69.382292	345	30.617708	3.67413	3.853248	0.35457
7	617	585	88.297963	32	11.702035	0.23404	0.763318	0.05186
8	289	210	65.838116	79	34.161881	1.36648	1.890524	0.27336
9	342	336	94.833368	6	5.166634	0.05167	0.308499	0.01754
10	323	300	90.03883	23	9.96117	0.09961	0.500238	0.07121
11	625	487	74.288124	138	25.711876	1.28559	2.312976	0.2208
12	370	296	75.887519	74	24.112479	0.9645	1.513276	0.2
13	1317	1034	78.395307	283	21.604694	1.29628	2.982849	0.21488
14	221	142	57.532078	79	42.467919	2.1234	2.241379	0.35747
15	155	144	90.186954	11	9.813044	0.09813	0.437188	0.07097
16	1233	927	74.525863	306	25.474137	2.29267	3.562475	0.24818
17	1000	702	64.899546	298	35.100451	2.45703	4.261991	0.298
18	1160	1097	89.779723	63	10.220276	0.20441	1.164688	0.05431
19	759	690	93.216419	69	6.783579	0.27134	0.891387	0.09091
20	1572	1305	82.437575	267	17.562427	1.40499	2.810871	0.16985
21	1709	1066	62.269568	643	37.730435	6.03687	6.797423	0.37624
22	2091	1770	88.399535	321	11.600462	0.46402	2.212003	0.15352
23	2259	1911	80.390674	348	19.609326	1.37265	3.036971	0.15405
24	284	216	72.95258	68	27.04742	1.0819	1.746434	0.23944
25	677	518	71.927685	159	28.072315	2.24579	2.818109	0.23486
26	398	268	63.583475	130	36.416525	2.91332	2.839652	0.32663
27	542	452	79.845703	90	20.154296	1.00772	1.594614	0.16605
28	2889	1853	70.946378	1036	29.053622	6.68233	6.447578	0.3586

ตารางผนวกที่ ข7 (ต่อ)

no	Comet Area (px)	Head Area (px)	%DNA in Head	Tail Area (px)	%DNA in Tail	Tail Moment	Olive Moment	DNA migration
29	710	622	85.194325	88	14.805672	0.14806	1.188964	0.12394
30	329	262	73.780382	67	26.219615	0.78659	1.753315	0.20365
31	585	499	82.549822	86	17.450179	0.87251	1.683934	0.14701
32	393	353	90.205079	40	9.794918	0.1959	0.763776	0.10178
33	309	280	90.142006	29	9.857994	0.09858	0.630692	0.09385
34	999	947	90.899712	52	9.10029	0.18201	0.959164	0.05205
35	366	220	57.656503	146	42.3435	3.38748	3.324701	0.39891
36	233	212	88.224274	21	11.775726	0.23552	0.622708	0.09013
37	1852	1632	84.63912	220	15.360877	1.22887	2.482859	0.11879
38	184	157	85.782808	27	14.217189	0.28434	0.836833	0.14674
39	1701	1392	83.428609	309	16.571394	1.49143	2.898119	0.18166
40	1483	1442	97.104371	41	2.895629	0.02896	0.275671	0.02765
41	1855	1512	80.570161	343	19.429842	1.36009	3.334808	0.18491
42	255	212	82.068968	43	17.931035	0.35862	1.026886	0.16863
43	3848	3312	90.275282	536	9.724718	2.82017	3.220786	0.13929
44	1356	1329	93.607885	27	6.392118	0	0.648364	0.01991
45	384	288	72.801769	96	27.198231	1.63189	2.092449	0.25
46	358	272	73.898035	86	26.101965	1.04408	1.666523	0.24022
47	507	353	68.494207	154	31.505796	2.83552	2.844903	0.30375
48	395	278	67.517692	117	32.482308	1.62412	2.373144	0.2962
49	282	214	73.197532	68	26.802468	1.34012	1.675634	0.24113
50	468	264	57.581407	204	42.418593	3.39349	3.168046	0.4359
0.19518								

ตารางผนวกที่ ข8 ระดับการทำลายดีเอ็นเอควบคุมกตุ้แล้งที่ 96 ชั่วโมง

no	Comet Area (px)	Head Area (px)	Head	%DNA in Tail Area (px)	%DNA in Tail	Tail Moment	Olive Moment	DNA migration
1	4104	4103	70.07795	1	29.922053	4.48831	6.280003	0.00024
2	1924	1923	99.614954	1	0.385049	0	0.014036	0.00052
3	5848	5847	69.525933	1	30.474067	5.48533	6.833953	0.00017
4	2150	2149	73.650318	1	26.349685	0	2.539418	0.00047
5	7433	4141	64.403945	3292	35.596055	19.9338	13.163017	0.44289
6	7553	3818	59.03585	3735	40.96415	24.1688	15.17664	0.49451
7	6135	4670	70.980489	1465	29.019511	12.7686	8.822547	0.23879
8	1147	1146	95.547682	1	4.452318	0	0.274535	0.00087
9	832	831	64.901245	1	35.098755	0	1.778968	0.0012
10	4340	4339	73.784363	1	26.215634	2.09725	3.890047	0.00023
11	5616	5615	74.458015	1	25.541982	0	4.712438	0.00018
12	5293	5292	58.833718	1	41.166282	4.93995	10.1473	0.00019
13	3657	3656	84.774667	1	15.225333	0	2.132002	0.00027
14	5616	5615	57.849622	1	42.150378	2.52902	10.378869	0.00018
15	4392	4024	73.372024	368	26.627973	6.12443	5.135239	0.08379
16	5720	5719	48.850915	1	51.149088	11.7643	11.935448	0.00017
17	6806	6805	63.76282	1	36.23718	0	9.068809	0.00015
18	1786	1785	87.934476	1	12.065524	0	0.992784	0.00056
19	4864	4863	72.404152	1	27.595845	3.3115	6.837751	0.00021
20	2192	1634	81.291139	558	18.708859	2.43215	3.665016	0.25456
21	1901	1612	80.083281	289	19.916719	1.39417	2.801035	0.15203
22	3888	2386	60.574037	1502	39.425963	10.2508	10.701962	0.38632
23	1408	1407	99.983841	1	0.016157	0	0.002424	0.00071
24	4026	4025	69.273806	1	30.726194	1.53631	5.193007	0.00025
25	4473	4472	72.227049	1	27.772954	2.22184	5.835049	0.00022
26	3445	3444	62.942129	1	37.057868	4.44694	6.617906	0.00029
27	5396	5395	76.330554	1	23.669444	1.18347	4.557371	0.00019
28	1085	1084	92.91693	1	7.083073	0	0.624193	0.00092

ตารางผนวกที่ ข8 (ต่อ)

no	Comet Area (px)	Head Area (px)	Head	%DNA in (px)	Tail Area	%DNA in Tail	Tail Moment	Olive Moment	DNA migration
29	2685	208	9.967405	2477	90.032595	45.9166	30.640621	0.92253	
30	1939	832	40.735734	1107	59.264266	13.0381	10.089295	0.57091	
31	1816	1136	64.08183	680	35.918173	5.38773	6.237538	0.37445	
32	2175	2120	97.961622	55	2.03838	0.02038	0.32752	0.02529	
33	7592	7591	85.940033	1	14.059965	4.35859	5.447086	0.00013	
34	1221	1220	84.827352	1	15.172647	0	1.018781	0.00082	
35	9396	9395	61.634231	1	38.365769	8.05681	14.003659	0.00011	
36	10580	10579	64.154077	1	35.84592	8.24456	12.5576	9.5E-05	
37	5448	1114	15.359385	4334	84.640616	50.7844	28.475088	0.79552	
38	4889	344	5.324971	4545	94.675028	71.953	35.843266	0.92964	
39	10246	10245	54.284221	1	45.715779	6.85737	15.259269	9.8E-05	
40	600	599	97.986317	1	2.013681	0	0.123895	0.00167	
41	1216	1215	92.833567	1	7.166435	0	0.563062	0.00082	
42	3233	3232	97.145778	1	2.854222	0	0.282072	0.00031	
43	9114	9113	34.611574	1	65.388423	3.26942	19.360752	0.00011	
44	8312	1986	12.578937	6326	87.42106	62.069	32.232052	0.76107	
45	5937	736	6.843606	5201	93.156391	71.7304	33.705906	0.87603	
46	8289	2130	14.399019	6159	85.600978	59.0647	31.247471	0.74303	
47	8637	1560	11.163669	7077	88.83633	73.7342	36.649612	0.81938	
48	7487	1142	8.566537	6345	91.433465	74.0611	36.385586	0.84747	
49	7044	1596	15.141675	5448	84.858322	64.4923	31.150465	0.77342	
50	6559	1007	10.028544	5552	89.971453	67.4786	32.568176	0.84647	
0.22701									



1. 200 mM EDTA (Stock Solution)

ละลายน้ำ Ethylenediamine tetraacetic acid (EDTA) disodium salt 37.224 กรัม ในน้ำกลั่นปรับปริมาตร เป็น 500 มิลลิลิตร

2. PBS x1

ละลายน้ำสารต่อไปนี้ในน้ำกลั่น 1000 มิลลิลิตร

- NaCl            8            กรัม
- Na<sub>2</sub>HPO<sub>4</sub>    1.15        กรัม
- KCl            0.2        กรัม
- KH<sub>2</sub>PO<sub>4</sub>    0.2        กรัม

ปรับ pH ให้ได้ 7.4 และนำสารละลายที่เตรียมไว้ไป Autoclave ที่อุณหภูมิ 121 องศาเซลเซียส เป็นเวลา 20 นาที(เก็บสารละลายนี้ไว้ในตู้เย็น)

3. Sorensen Buffer ( 50 mM KH<sub>2</sub>PO<sub>4</sub> : 136.09 , 50 mM Na<sub>2</sub>HPO<sub>4</sub> 12 H<sub>2</sub>O : 358.14 , 0.1 mM EDTA : 372.24 , 0.5% DMSO , pH 6.8 )

ละลายน้ำสารต่อไปนี้ในน้ำกลั่น 1000 มิลลิลิตร (เก็บสารละลายนี้ไว้ในตู้เย็น)

- KH<sub>2</sub>PO<sub>4</sub>            6.805        กรัม
- Na<sub>2</sub>HPO<sub>4</sub> 12 H<sub>2</sub>O    17.907        กรัม
- 200 mM EDTA sol 0.5        มิลลิลิตร
- DMSO            5        มิลลิลิตร

4. Lysis solution (2.5 M NaCl , 100 mM EDTA , 10 mM Trizma Base)

ละลายน้ำสารต่อไปนี้ในน้ำกลั่น 700 มิลลิลิตร

- NaCl            146.1        กรัม
- EDTA            37.2        กรัม
- Trizma base 1.2        กรัม คนให้เข้ากัน

ผสม NaOH 8 กรัม แล้วคนอีก 20 นาที ปรับ pH 10 (โดยใช้ con. HCl or NaOH) ปรับปริมาตรให้ได้ 890 มิลลิลิตร แล้วเก็บสารละลายไว้ในอุณหภูมิห้อง

### 5. Neutralisation Buffer

ละลายน้ำ Trizma 48.5 กรัม ในน้ำกลั่น 800 มิลลิลิตร ปรับ pH ให้ได้ 7.5 ด้วย con. HCl คนให้เข้ากัน เติมน้ำกลั่นปรับปริมาตรเป็น 1000 มิลลิลิตร เก็บไว้ที่อุณหภูมิห้อง

### 6. Syber safe green (สีเขียว)

เจือจาง SYBR® Green stock ใน TE Buffer (pH 7.5-8) ให้ได้สัดส่วน 1:10000 (1 µl SYBR® Green ใน TE buffer 10 ml)



ภาพพนวกที่ ค1 บริเวณกองมูลฝอยเปิด อ.ไทรน้อย จ.นนทบุรี



ภาพพนวกที่ ค2 บริเวณหลุมฝังกลบ อ.ไทรน้อย จ.นนทบุรี



ภาพพนวกที่ ค3 Chamber เก็บตัวอย่างก้าช



ภาพพนวกที่ ค4 ด้านบนของ Chamber เก็บตัวอย่างก้าช



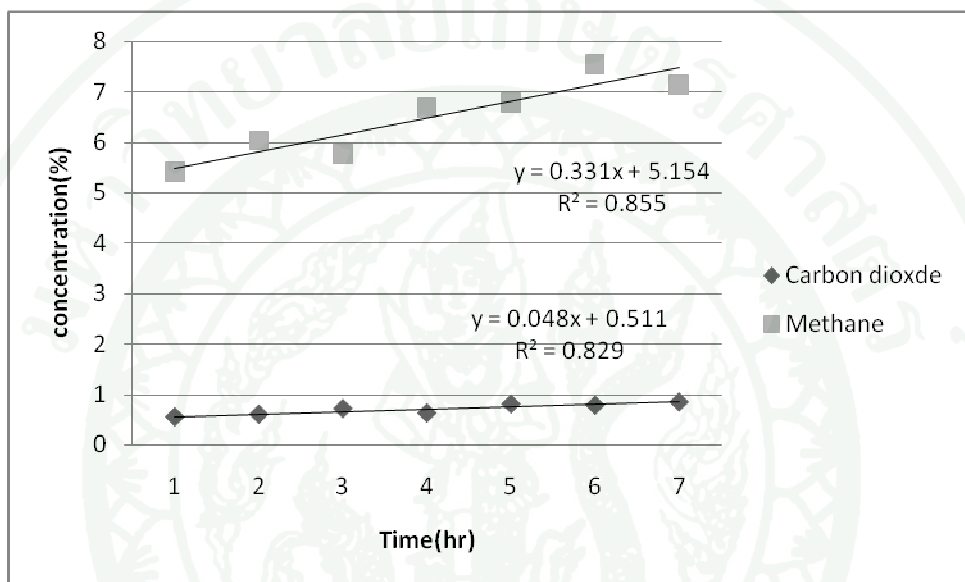
ภาพพนักที่ ค5 พลูค่างที่ทำการทดสอบ(กระถาง)

พ.ศ. ๒๕๖๙



**การวัดอัตราการแพร่ระบาดของก๊าซมีเทนและก๊าซคาร์บอนไดออกไซด์ผ่านชั้นดินกลบ  
ทับโดยวิธี Close Flux Chamber**

การคำนวณอัตราการแพร่ระบาดของก๊าซมีเทนและก๊าซคาร์บอนไดออกไซด์ใช้สมการที่(1)  
และเส้น Regression ของความสัมพันธ์ระหว่างความเข้มข้นของก๊าซกับเวลา



ภาพพนวกที่ ง1 ตัวอย่างกราฟเส้น Regression ของความสัมพันธ์ระหว่างความเข้มข้นของก๊าซ กับเวลา

$$F = \frac{\rho V \Delta C}{A \Delta t} \quad (ง1)$$

อุณหภูมิใน Chamber เท่ากับ 38 oC

ความหนาแน่นของอากาศ(Air Density) ที่อุณหภูมิ 38 C =  $1.13 \text{ kg/m}^3$

ความถ่วงจำเพาะของก๊าซมีเทน(Specific gravity) = 0.55

$$\rho \text{ CH}_4 = 0.55 \times 1.13$$

$$= 0.621 \text{ kg/m}^3$$

ความถ่วงจำเพาะของก๊าซคาร์บอนไดออกไซด์(Specific gravity) = 1.5

$$\rho \text{ CO}_2 = 1.5 \times 1.13$$

$$= 1.69 \text{ kg/m}^3$$

V = ปริมาตรของ Chamber =  $0.02133 \text{ m}^3$

A = พื้นที่ที่ Chamber ปิดล็อก =  $0.0711 \text{ m}^2$

$\Delta C$  = ความเพิ่มขึ้นของก๊าซที่เปลี่ยนแปลง(%) v/v

$\Delta t$  = ช่วงเวลาที่ใช้ในการเก็บตัวอย่าง(Hour)

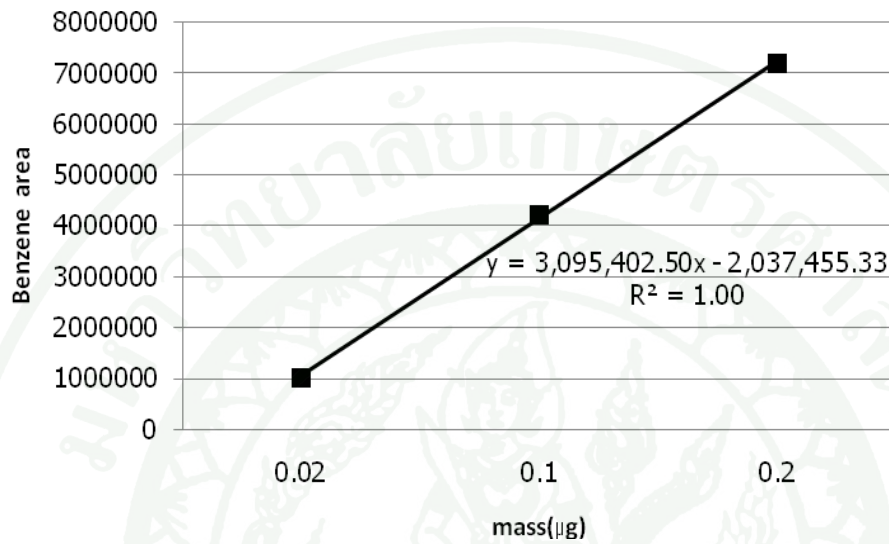
$\Delta C / \Delta t$  = ความชันของเส้นตรงของความสัมพันธ์ระหว่างความเพิ่มขึ้นของก๊าซกับเวลา

$$\begin{aligned} F_{\text{CH}_4} &= (0.621 \text{ kg/m}^3) \times (0.02133 \text{ m}^3) \times (0.331 \%/\text{hr}) \times (1000/100) / (0.0711 \text{ m}^2) \\ &= 0.617 \text{ g/m}^2.\text{hr} \\ &= 14.81 \text{ g/m}^2.\text{d} \end{aligned}$$

$$\begin{aligned} F_{\text{CO}_2} &= (1.69 \text{ kg/m}^3) \times (0.02133 \text{ m}^3) \times (0.048 \%/\text{hr}) \times (1000/100) / (0.0711 \text{ m}^2) \\ &= 0.243 \text{ g/m}^2.\text{hr} \\ &= 5.84 \text{ g/m}^2.\text{d} \end{aligned}$$

## การหาความเข้มข้นและอัตราการแพร่ระบาดของสารอินทรีร์ะเหย

การคำนวณหาความเข้มข้นของสารอินทรีร์ะเหยจากสมการดังต่อไปนี้



ภาพพนวกที่ ๑๒ ตัวอย่างกราฟเส้นมาตรฐานของแบบชีน

การคำนวณหาความเข้มข้นในตัวอย่างอากาศ ามาวลสารอินทรีร์ะเหยแต่ละตัวอย่างในของเหลวที่สกัดได้ โดยใช้สมการจากราฟ(ภาพพนวกที่ ๑๒) และนำมาราคาความเข้มข้นของสารด้วยสมการนี้

$$C = \frac{(Wf + Wb - Bf - Bb) * f}{V} \quad (๑๒)$$

เมื่อ  $C$  = ปริมาณความเข้มข้นสารในอากาศ,  $\mu\text{g/L}$

$Wf$  = ปริมาณสารอินทรีร์ะเหยที่สกัดได้จากหลอดส่วนหน้า, mg

$Wb$  = ปริมาณสารอินทรีร์ะเหยที่สกัดได้จากหลอดส่วนหลัง, mg

$Bf$  = ปริมาณสารอินทรีร์ะเหยที่สกัดได้จากหลอด Blank ส่วนหน้า, mg

$Bb$  = ปริมาณสารอินทรีร์ะเหยที่สกัดได้จากหลอด Blank ส่วนหลัง, mg

$V$  = ปริมาตรของอากาศที่เก็บผ่านหลอดเก็บตัวอย่าง, L

$f$  = ค่า factor

ตัวอย่างการคำนวณอัตราการแพร่ระบาดสารอินทรีย์ระเหย โดยเก็บตัวอย่างอากาศเป็นเวลา 1 ชั่วโมง โดยใช้ปั๊มอากาศที่มีอัตรา 30 มิลลิลิตรต่อนาที ใน 1 ชั่วโมงสามารถดูดอากาศได้ 1.8 ลิตร สารอินทรีย์ระเหยด้วยการบอนไซซัลไฟฟ์ 1 มิลลิลิตร นิดตัวอย่างสารสกัดสารอินทรีย์ระเหย 0.5 ไมโครลิตร ในเครื่อง GCMS พบสารเบนซิน พื้นที่ 4.5 ล้าน จะได้ว่า

หากความเข้มข้นของเบนซิน พบว่า เมื่อคูจักราฟมาตรฐานของเบนซิน พื้นที่ตัวอย่าง 4.5 ล้าน มีปริมาณของเบนซิน 0.1 ไมโครกรัม

ตัวอย่างสารละลายน้ำมุก 0.5 ไมโครลิตร พบริมาณของเบนซีน 0.1 ไมโครกรัม	
จะได้ว่า ความเข้มข้นเบนซีน	= 0.1 ไมโครกรัม / 0.5 ไมโครลิตร
	= 0.20 ไมโครกรัมต่อไมโครลิตร
ปริมาณเบนซีนในสารละลายน้ำมุก	= 0.20 ไมโครกรัมต่อไมโครลิตร x 1000 ไมโครลิตร
	= 200 ไมโครกรัม
สารที่สกัดในอากาศ 1.8 ลิตร	= 200 ไมโครกรัม / 1.8 ลิตร
ดังนั้น ความเข้มข้นของเบนซีนในกล่อง	= 111.11 ไมโครกรัมต่อลิตร(อากาศ)

$$\begin{aligned}
 \text{จะได้ว่า อัตราการแพร่ระบาดของ VOCs} &= \frac{\text{ความเข้มข้นของ VOCs} \times \text{ปริมาตรกล่อง}}{\text{เวลา} \times \text{พื้นที่หน้าตัดกล่อง}} \\
 &= \frac{111.11 \text{ ไมโครกรัมต่อลิตร} \times 21.33 \text{ ลิตร}}{1 \text{ ชั่วโมง}} \\
 &= 2369.9 \text{ ไมโครกรัมต่ochั่วโมง} \\
 &= \frac{13.33 \text{ มิลลิกรัมต่อตารางเมตรต่อวัน}}{0.0711 \text{ ตารางเมตร}} \\
 &= 33,333 \text{ ไมโครกรัมต่อตารางเมตรต่อชั่วโมง} \\
 &= 799.99 \text{ มิลลิกรัมต่อตารางเมตรต่อวัน}
 \end{aligned}$$

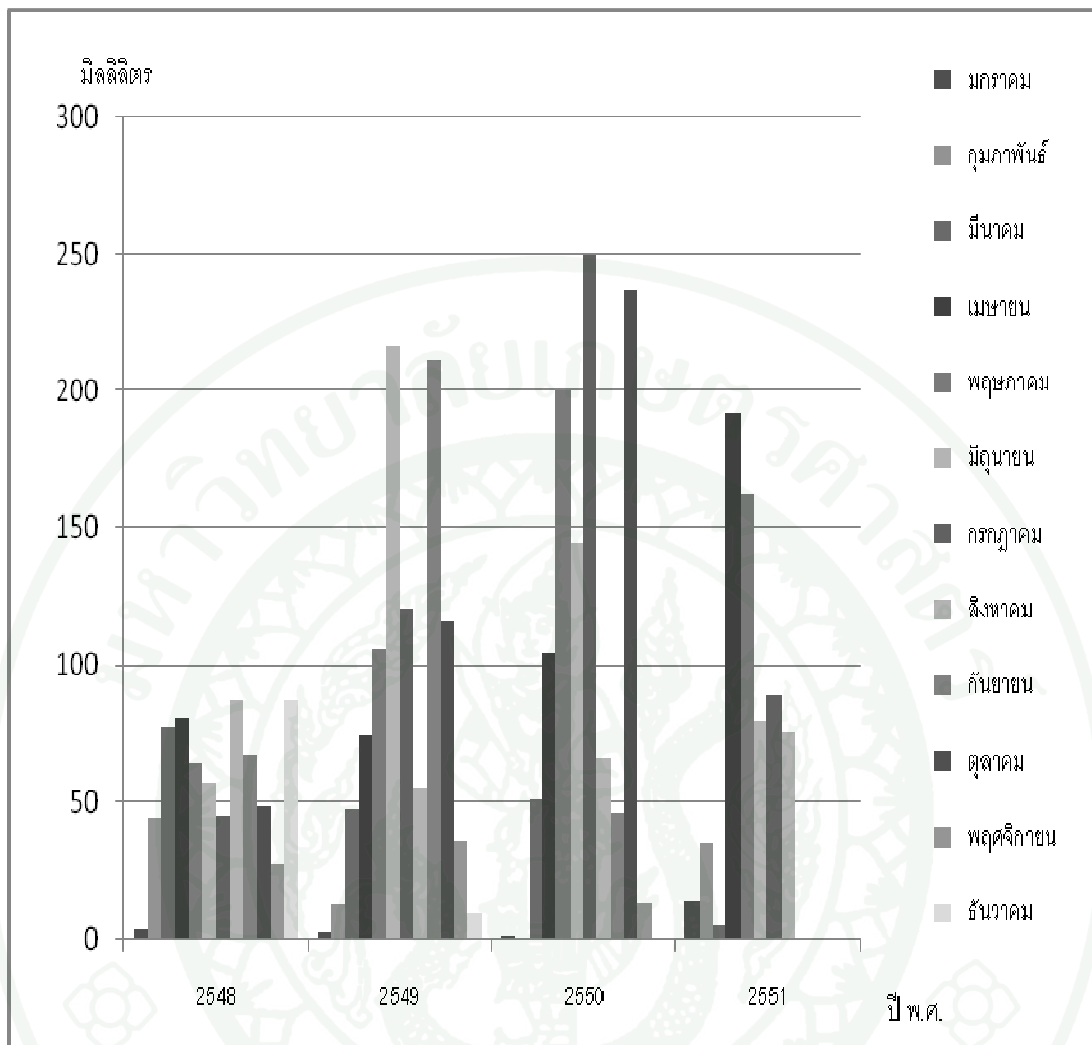


ตารางผนวกที่ จ1 อุณหภูมิเฉลี่ย สูงสุด ต่ำสุด ของจังหวัดนนทบุรี ระหว่างปี พ.ศ.2548 – 2551

อุณหภูมิ(องศาเซลเซียล)

ปี พ.ศ.	อุณหภูมิเฉลี่ย		อุณหภูมิเฉลี่ย		อุณหภูมิ	อุณหภูมิ
	อุณหภูมิเฉลี่ย	สูงสุด	อุณหภูมิเฉลี่ย	ต่ำสุด		
2548	29.8	33.8	25.9	25.9	36.7	22.7
2549	29.5	33.6	26	26	35.9	23
2550	28.9	33.2	25.7	25.7	35.7	22.4
2551	21.5	24.8	19.3	19.3	26.5	17.2

ที่มา: กรมอุตุนิยมวิทยา



ภาคผนวกที่ จ1 ปริมาณน้ำฝนเฉลี่ยแต่ละเดือนของจังหวัดนนทบุรี ปี พ.ศ.2548 – 2551

ที่มา: กรมอุตุนิยมวิทยา หมายเหตุ: เดือนกันยายน – ธันวาคม 2551 ยังไม่มีรายงานข้อมูล

ตารางผนวกที่ จ2 ปริมาณน้ำฝนในอำเภอไทยน้อย จังหวัดนนทบุรี

สถานี	เดือน/ปี	วันที่														
		1	2	3	4	5	6	7	8	9	10	11	12	13	14	15
อำเภอไทยน้อย	ม.ค.-08	0	0	0	0	0	T	0	0	0	0	0	0	0	0	0
จ.นนทบุรี	ก.พ.-08	0	0	9.6	3.4	0	0	0	0	0	0	0	0	T	T	0
	มี.ค.-08	0	0	0	0	0	0	0	0	0	0	0	0	0	0	0
	พ.ค.-08	0	0	0	6	0	0	0	0	0	0	3.9	39	T	6.7	0
	มิ.ย.-08	3.4	0	0	33	0	6.7	0	0	0	0	47	5.4	0	T	T
	ก.ค.-08	19	8.7	0	0	0	21	0	0	4.4	0	0	0	0	0	20
	ส.ค.-08	42	0	0	0	T	0	T	0	T	0	12	3.4	0	0	0
	ก.ย.-08	0	2.7	0	0	8	18	25	2.7	3.1	7.7	19	3.4	5.4	0	5.6
	ต.ค.-08	T	29	0	0	0	0	0	0	0	0	0	0	T	0	0
	พ.ย.-08	14	0	0	T	0	0	0	0	0	0	0	0	0	0	0
	ธ.ค.-08	0	0	0	0	0	0	0	0	0	0	0	0	0	0	0
	ม.ค.-09	0	0	0	0	0	0	0	0	0	0	0	0	0	0	0
	ก.พ.-09	0	0	0	0	0	0	0	0	0	0	0	0	0	0	0
	มี.ค.-09	0	0	0	0	0	0	0	0	0	0	0	0	0	0	0
	เม.ย.-09	0	0	0	T	0	15	0	0	0	0	T	T	0	0	0
	พ.ค.-09	0	0	0	0	0	0	0	0	0	T	7.1	4.7	19	43	8.1
	มิ.ย.-09	0	0	0	0	0	0	0	0	T	0	0	4.5	4.5	0	18
	ก.ค.-09	0	0	0	0	4	12	T	0	0	0	0	0	T	0	0
	ส.ค.-09	0	0	0	0	0	0	0	0	0	0	0	29	0	T	

ตารางผนวกที่ จ2 (ต่อ)

สถานี	เดือน/ปี	จำนวน													รวม			
		16	17	18	19	20	21	22	23	24	25	26	27	28	29	30	31	
อ.แก่งไกรน้อย	ม.ค.-08	0	0	0	42	0	0	3.9	4.4	38	9.9	T	23	T	59	0	0	180.5
ช.นนทบุรี	ก.พ.-08	0	0	0	0	0	0	0	0	0	0	0	12	0	0	-	-	25.1
	มี.ค.-08	0	0	0	0	0	0	0	0	0	0	0	0	0	0	0	5.6	5.6
	พ.ค.-08	0	0	0	6.4	7.6	6.3	46	0	11	0	0	0	T	30	T	T	162.5
	มิ.ย.-08	17	13	15	21	T	0	0	0	0	0	0	0	0	0	0	-	161.6
	ก.ค.-08	T	26	0	19	0	4.1	T	0	0	9.8	T	0	0	0	0	0	132.4
	ส.ค.-08	0	0	0	0	7.8	46	0	0	0	0	0	4.2	T	0	0	0	115
	ก.ย.-08	2.8	0	37	1.7	0	0	0	0	0	0	0	2.2	4.8	0	1.8	-	150.6
	ต.ค.-08	0	0	16	25	T	0	0	0	12	2.2	27	T	T	15	8.3	6.1	139.8
	พ.ย.-08	T	0	0	0	0	0	0	0	0	0	0	0	0	0	0	-	13.8
	ธ.ค.-08	0	0	0	0	0	0	0	0	0	0	0	0	0	0	0	0	-
	ม.ค.-09	0	0	0	0	0	0	0	0	0	0	0	0	0	0	0	0	-
	ก.พ.-09	0	0	0	0	0	0	0	0	0	0	0	0	0	-	-	-	-
	มี.ค.-09	0	0	48	0	0	T	0	0	0	0	0	0	0	0	7.4	26	80.9
	เม.ย.-09	0	0	T	0	0	0	0	0	0	0	0	38	3.2	0	0	-	55.9
	พ.ค.-09	4.4	6.5	30	T	0	0	0	0	T	7.2	9.8	0	0	12	5.8	0	157.2
	มิ.ย.-09	0	0	4.6	0	0	0	0	12	0	18	0	4.8	12	46	T	-	123.1
	ก.ค.-09	0	0	0	T	T	3.7	46	30	6.9	0	0	0	7.5	0	0	0	109.7
	ส.ค.-09	0	0	0	0	0	0	27	0	0	0	18	4.3	9.2	T	17	T	103.9

ตารางพนวกที่ จ3 ค่าสถิติ t-test ที่ความเชื่อมั่น 95%

อัตราการแพร่กําชีวภาพ	ค่า P	อัตราการแพร่สารอินทรีย์ระเหย	ค่า P	ความเข้มข้นกําชีวภาพใน บรรยายกาศ	ค่า P	การทำลายดีเอ็นเอพีช(พลูด่าง)	ค่า P
CO <sub>2</sub> OP Dry + CO <sub>2</sub> OP Rain	0.176	VOCs OP Dry+VOCsOP Rain	0.314	CO <sub>2</sub> OP Dry + CO <sub>2</sub> OP Rain	0.013	OP Dry + OP Rain	0.0001
CO <sub>2</sub> LF Dry + CO <sub>2</sub> LF Rain	0.107	VOCsLF Dry+VOCsLF Rain	0.402	CO <sub>2</sub> LF Dry + CO <sub>2</sub> LF Rain	0.003	LF Dry + LF Rain	0.0003
CO <sub>2</sub> OP Dry + CO <sub>2</sub> LF Dry	0.015	VOCsOP Dry +VOCsLF Dry	0.002	CO <sub>2</sub> OP Dry + CO <sub>2</sub> LF Dry	0.0001	OP Dry + LF Dry	0.001
CO <sub>2</sub> OP Rain + CO <sub>2</sub> LF Rain	0.001	VOCsOP Rain +VOCsLF Rain	0.006	CO <sub>2</sub> OP Rain + CO <sub>2</sub> LF Rain	0.0001	OP Rain + LF Rain	0.001
CH <sub>4</sub> OP Dry +CH <sub>4</sub> OP Rain	0.067	-	-	CH <sub>4</sub> OP Dry +CH <sub>4</sub> OP Rain	0.081	Con0OP Dry +Con0OP Rain	0.003
CH <sub>4</sub> LF Dry +CH <sub>4</sub> LF Rain	0.078	-	-	CH <sub>4</sub> LF Dry +CH <sub>4</sub> LF Rain	0.009	Con0LF Dry + Con0LF Rain	0.005
CH <sub>4</sub> OP Dry +CH <sub>4</sub> LF Dry	0.0001	-	-	CH <sub>4</sub> OP Dry +CH <sub>4</sub> LF Dry	0.001	Con96OP Dry +Con96OP Rain	0.015
CH <sub>4</sub> OP Rain +CH <sub>4</sub> LF Rain	0.003	-	-	CH <sub>4</sub> OP Rain +CH <sub>4</sub> LF Rain	0.003	Con96LF Dry + Con96LF Rain	0.001
-	-	-	-	-	-	Con0OP Dry +Con96OP Dry	0.004
-	-	-	-	-	-	Con0LF Rain+ Con96LF Rain	0.003
-	-	-	-	-	-	Con96OP Dry +OP Dry	0.0001
-	-	-	-	-	-	Con96LF Rain+ LF Rain	0.0001
-	-	-	-	-	-	Con96OP Rain +OP Rain	0.0003
-	-	-	-	-	-	Con96LF Dry+ LF Dry	0.0001

## ประวัติการศึกษา และการทำงาน

ชื่อ – นามสกุล	นางสาวสุดารัตน์ ฤกามูล
วัน เดือน ปี ที่เกิด	วันที่ 9 สิงหาคม 2527
สถานที่เกิด	จังหวัดอุบลราชธานี
ประวัติการศึกษา	วิทยาศาสตรบัณฑิต (สาขาวรรณสุขศาสตร์) มหาวิทยาลัยมหิดล
ตำแหน่งหน้าที่การงานปัจจุบัน	-
สถานที่ทำงานปัจจุบัน	-
ผลงานเด่นและรางวัลทางวิชาการ	-
ทุนการศึกษาที่ได้รับ	-